

el observador de estrellas dobles

23

julio · diciembre de 2019



GAIA Y LAS ESTRELLAS DOBLES

Nuevos pares con movimiento propio común

Fernando Limón
Gianpiero Locatelli
Antonio Egea

Medidas de estrellas dobles con Lucky Imaging

Lluís Ribé



El ojo crítico del doblista: una nueva binaria mpc en el campo de una supernova

por Andrea MANTERO y Gianpiero LOCATELLI

Actualización de la astrometría de sistemas dobles

Antonio Egea



PROYECTO SEDA-WDS

Nueva campaña y resultados de la anterior

índice

ACTUALIDAD

Editorial | 3

Noticias de actualidad | 4

por *Francisco M. Rica*

Noticias Comisión G1 de la UAI | 9

por *Edgardo R. Masa Martín*

SEDA-WDS

Presentación de la nueva campaña del Proyecto SEDA-WDS | 17

Resultados de la 10ª Campaña del Proyecto SEDA-WDS | 20

por *AA. VV.*

INVESTIGACIÓN

El ojo crítico del doblista: un nuevo par en el campo de SN 2019ein | 14

por *Andrea Mantero y Gianpiero Locatelli*

220 nuevas binarias, 3 triples y una nueva componente de BVD 321 | 18

por *Fernando Limón*

Estrellas dobles con movimiento propio común y GAIA DR2: 218 nuevos pares, 8 triples y 1 cuádruple | 39

por *Gianpiero Locatelli*

Estrellas dobles con movimiento propio común y GAIA DR2: 210 nuevos pares y 3 nuevos sistemas triples | 63

por *Gianpiero Locatelli*

Propuesta de sistemas dobles no catalogados | 84

por *Antonio Egea*

OBSERVACIÓN

Actualización de la astrometría de sistemas dobles | 102

por *Antonio Egea*

Medidas de sistemas dobles cerrados con la técnica Lucky Imaging | 109

por *Lluís Ribé*

condiciones de publicación

Cualquier trabajo **relacionado con la astronomía de las estrellas dobles** es bienvenido para ser publicado en **El Observador de Estrellas Dobles** (OED). Los interesados deben atenerse a las siguientes pautas:

- Se aceptará cualquier tipo de trabajo que tenga relación con las estrellas dobles, independientemente de la temática que aborde.
- Los trabajos deberán remitirse a cualquiera de los editores a través de los correos electrónicos que figuran en la parte inferior de la página siguiente.
- Se remitirán archivos de texto en formato Word o similar. Se agradece que vengan corregidos ortográfica y sintácticamente. No hay que dar formato al texto (sin columnas ni tipografía especial).
- Se deberán adjuntar las imágenes o dibujos que se desean publicar, preferentemente insertados en el texto.
- En la cabecera del artículo deberán figurar los siguientes datos: nombre y apellidos del autor, agrupación o asociación astronómica a la que pertenezca y dirección de correo electrónico.
- Los artículos deberán venir precedidos por un breve resumen del contenido del mismo (4 líneas) en inglés y en español.
- OED tendrá una periodicidad semestral. La fecha límite de recepción de trabajos para el próximo número será el 1 de noviembre de 2019.
- En la web de OED se puede encontrar una guía con las instrucciones de formato y estilo para publicar en la revista (<http://elobservadordoeestrellasdobles.wordpress.com>), rogamos a los interesados leerlas con atención.

En el anterior número de *El Observador de Estrellas* Dobles empezamos a desgranar los primeros trabajos de minería de datos obtenidos en base al catálogo Gaia DR2, pero no es hasta este número en el cual dichos proyectos, algunos corporativos y otros individuales, se han consolidado recogiendo los frutos que empezaron a madurar hace meses. En este ejemplar que tienes en tus manos se presentan, de la mano de Gianpiero Locatelli, Fernando Limón y Antonio Egea, casi 1000 nuevos sistemas de movimiento propio común, algunos de ellos formados por tres componentes, otros incluso por cuatro. Sí, has leído bien: casi 1000 estrellas dobles inéditas hasta ahora que dentro de poco pasarán a formar parte del WDS Catalog con el código personal de su descubridor. Como anticipábamos hace meses, esto es solo el principio y serán muchos más los sistemas físicos que están aún por descubrir desvelándonos algunos de sus secretos. Apenas llevamos unos meses de exploración y queda mucho trabajo por hacer en esta búsqueda realmente apasionante.



Andrea Mantero y Gianpiero Locatelli nos presentan el descubrimiento de una nueva pareja de movimiento común detectada en una observación de seguimiento fotométrico de supernovas. Con esto queda demostrado que no es necesario dedicarse por completo a las estrellas dobles. Dentro de muchos de los campos a los que se dedican los aficionados a la astronomía, como puede ser el seguimiento de cuerpos menores (asteroides y cometas) y el estudio fotométrico de supernovas y estrellas variables, pueden aparecer verdaderas joyas que han permanecido ocultas y escondidas a los ojos de la mayoría de los mortales. Y muchas de ellas están en nuestras imágenes esperando a ser descubiertas.

Tampoco podemos olvidar los trabajos clásicos de astrometría, midiendo los parámetros fundamentales de los sistemas binarios, que ha sido la principal actividad del observador durante décadas. Antonio Egea y Luis Ribé, por medio de la técnica de lucky imaging, nos presentan trabajos de contrastada calidad que mejorarán los datos presentes en el WDS Catalog.

Además, en la sección de Actualidad Francisco Rica nos pone al día con todas las noticias y las últimas publicaciones e investigaciones publicadas en revistas profesionales en los últimos meses. Edgar R. Masa nos presenta del mismo modo las últimas noticias de la Comisión G1 de la Unión Astronómica Internacional dedicada a los sistemas de estrellas binarias y múltiples.

Publicamos los resultados de la 10ª campaña del Proyecto SEDA-WDS donde colaboran observadores de Argentina y España, como son Carlos Botana, Enrique de Ferra, Carlos Krawczenko y Roberto Vasconi, dedicada a la constelación de Monoceros y presentamos la campaña actual dedicada a la constelación de Pegaso donde hay muchos y variados sistemas que permanecen abandonados y necesitan una urgente actualización de sus parámetros y medidas. Muchos de ellos llevan sin observarse desde el siglo XIX. Animamos a todos los demás observadores a dedicar algunas noches de observación a este interesante proyecto.

Por nuestra parte, esperamos que este número sea de vuestro agrado y os animéis a participar y colaborar en el próximo con vuestras observaciones y trabajos. Feliz verano a todos los observadores del hemisferio norte y feliz invierno a nuestros amigos del hemisferio sur llenos de cielos despejados y estrellas dobles.

Muchas gracias a todos. ☺

LOS EDITORES

director honorífico

Sr. D. José Luis Comellas García-Llera

editores

Rafael Benavides Palencia
Juan-Luis González Carballo
Edgardo R. Masa Martín

rafaelbenpal@gmail.com
struve1@gmail.com
ermasa.dsa@gmail.com

sitio web

www.elobservadordiestrellasdobles.wordpress.com

colaboradores

Florent Losse, Rafael Caballero, José Martín Carro, Francisco Violat Bordonau, Juan Jordano, Francisco M. Rica, Carlos A. Krawczenko, Martine Castets, Bernard Tregon, Ángel M. López Borrega, Jesús R. Sánchez, Óscar Lleixà Subirats, Paco Bellido, Ignacio Novalbos, Ángel R. López, Ángel Otero, Juan M.ª Díaz, Tomás Vázquez, Miguel Muro, Ángel Gómez Roldán, Javier Armentia, Margarita Granado, Pablo Santos Sanz, Israel Tejera Falcón, Josefina F. Ling, Rainer Antón, Brian D. Mason, David Galadí, Juan Lendínez, Antonio Agudo Azcona, Lluís Ribé de Pont, Germán Bresciano, Giuseppe Micello, J. A. Docobo, Carlos Alberto Lasgoity, T. Tobal, X. Miret, Francisco Soldán Alfaro, David Cejudo, Enrique de Ferra, Faustino García, Javier M. López Cuñat, Roberto Vasconi, Julio Castellano, W. Hartkopf, Luis Lahuerta, Salvador Lahuerta, José Antonio Caballero, Joerg Schlimmer, Mark Kidger, Gianni Galli, Manuel J. del Valle, Fco. Gutiérrez Turpín, Oleg Malkov, Vladimir Surdin, Giuseppe Donatiello, Marcel Fay, David Chiron, Blanca Troughton, Carme Jordi, Enzo de Bernardini, Amadeo Aznar, A. Egea, Richard Harshaw, Jordi Lopesino, Gianpiero Locatelli, Andrea Mantero, Carlos Botana

con el apoyo de

El sistema cuádruple HD 86588: joven y excéntrico

■ Un equipo de astrónomos norteamericanos liderados por Andrei Tokovinin (Cerro-Tololo Inter-American Observatory) ha presentado observaciones de espectroscopía de alta resolución e interferometría speckle que revelan a la joven estrella HD 86588 como un sistema cuádruple. La binaria resuelta ($\rho = 0,3''$) A,B con un periodo estimado de unos 300 años, contiene al par Aa, Abc (también potencialmente resoluble) de periodo 8 años. El par Ab, Ac es una binaria espectroscópica de doble línea con componentes iguales, a la cual los astrónomos calcularon su órbita. A pesar de su corto periodo de 2,4058 días, la órbita de Ab,Ac es excéntrica ($e = 0,086 \pm 0,003$). La órbita tiene una gran inclinación, pero no hay eclipses. Asumiendo una extinción moderada de $A_V = 0,5$ mag. y una paralaje de 5,2 msa, los astrónomos encontraron que las estrellas están o bien sobre o cerca de la secuencia principal (edad > 10 millones de años) y sus masas son de entre 1,0 y 1,3 masas solares. Usando la detección de litio y la rotación de la componente B, estimaron que el sistema es más joven que 150 millones de años. Este equipo de astrónomos propuso escenarios para los cuales pudo formarse esta órbita excéntrica. [A. Tokovinin et al., septiembre 2018, AJ, 156, 120T]

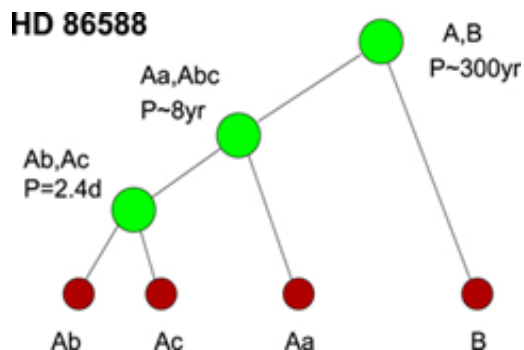


Figura 1. Sistema cuádruple descubierto por Andrei Tokovinin. Crédito: https://cdn.ipscience.com/images/1538-3881/156/3/120/Full/ajaad694f1_lr.jpg

Primeras mediciones speckle en el Observatorio Pico Dos Días

■ Un equipo liderado por C. A. Guerrero (Observatorio Astronómico Nacional, Universidad Nacional Autónoma de México) y formado por astrónomos mexicanos, brasileños y un norteamericano, ha presentado las primeras mediciones speckle de estrellas binarias realizadas con el Observatorio Pico dos Días (Brasil). Para las observaciones utilizaron el telescopio Perkin-Elmer de 1,60 metros de diámetro. Los astrónomos centraron sus esfuerzos en objetos del catálogo WDS y que fueron observados en cuatro sesiones de observación entre 2017 y 2018. Entre estos objetos los astrónomos estaban interesados en realizar un seguimiento de estrellas dobles descubiertas por el satélite Hipparcos. En total realizaron 464 medidas astrométricas de 139 pares de estrellas. Las separaciones angulares oscilaban entre $0,09''$ y $6,36''$, incluyendo 361 sistemas con separaciones más pequeñas que $1''$. El error medio estimado es de 15 msa para las separaciones y $1,2''$ para los ángulos de posición. Los astrónomos confirmaron 15 estrellas dobles descubiertas por Hipparcos así como 4 nuevos pares



Figura 2. Visión nocturna del Observatorio Pico dos Días. Recientemente ha realizado sus primeras mediciones astrométricas de estrellas dobles con un aparato de interferometría speckle. Crédito: Web de Facebook para Observatorio Pico dos Días.

observados en binarias previamente conocidas, por lo que estos objetos se convirtieron en triples. Tres de los cuales tenían separación menor de $0,16''$. [Guerrero C. A. et al., septiembre 2018, MNRAS.tmp.2509G].

El sistema GJ 504 revisitado

■ La estrella de tipo G llamada GJ 504 A (Figura 4) es conocida por albergar una compañera de 3 a 35 masas de Júpiter cuyas características lo convierte en un caso de estudio para las teorías de formación de planetas y modelos atmosféricos de planetas gigantes y enanas marrones.

Un equipo de astrónomos, principalmente franceses, liderados por Bonnefoy investigó de nuevo este sistema: su edad, su arquitectura y las propiedades de la compañera. Para ello usaron datos complementarios mediante interferometría, velocidad radial e imagen de alto contraste.

Los astrónomos usaron el potente interferómetro CHARA para medir el diámetro angular de GJ 504 A y así obtener una estimación de su radio en combinación con la paralaje del HIPPARCOS. El resultado fue un radio de 1,35 radios solares. El radio fue comparado con trazas evolucionarias para deducir un rango de edad de forma independiente.

Usando varios instrumentos, obtuvieron la distribución espectral de energía de la compañera. Posteriormente fue comparado con 5 modelos atmosféricos independientes para obtener los parámetros atmosféricos de GJ 504b. El tipo espectral determinado está entre T8 y T9,5 y una temperatura en torno a 550K. El semieje mayor de la órbita planetaria es mayor a 28 ua y la excentricidad es menor a 0,55. [Bonnefoy, M. et al., octubre 2018, A&A, 618A, 63B] ☈

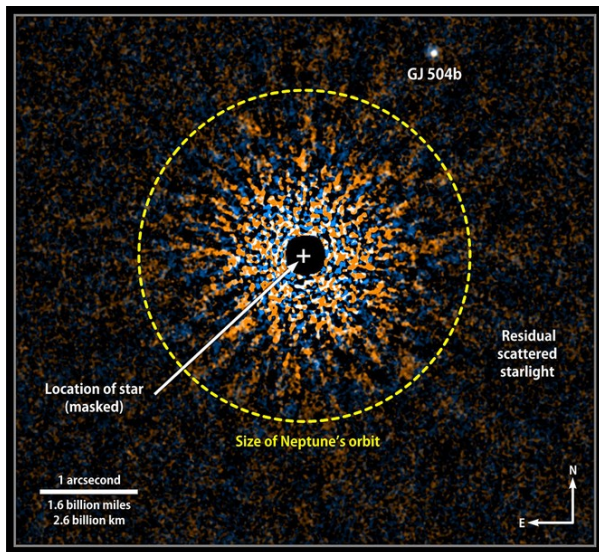


Figura 3. El sistema planetario GJ 504 donde la estrella aparece tapada por una máscara. Lejos vemos al planeta GJ 504 b. Por comparación aparece la órbita de Neptuno. Crédito: https://es.wikipedia.org/wiki/GJ_504_b#/media/File:Composite_combines_Subaru_images_of_GJ_504.jpg

Compañeras estelares y subestelares de estrellas cercanas usando GAIA DR2

■ El censo de compañeras estelares y subestelares de estrellas cercanas es aún muy incompleto, en particular para las enanas marrones de baja masa y exoplanetas de largo periodo. Sin embargo es de fundamental importancia entender los mecanismos de formación y evolución de planetas y estrellas. Las estrellas cercanas son particularmente adecuadas para realizar astrometrías de gran precisión.

Un equipo de astrónomos franceses liderado por Kervella (Observatorio de París) tiene como objetivo caracterizar la presencia de compañeras físicas de masa estrelar o subestelar en órbita alrededor de estrellas cercanas.

Las compañeras orbitando estas estrellas cercanas influyen en su movimiento propio a través de su movimiento reflejo gravitacional. Usando los catálogos Hipparcos y GAIA-DR2, estos astrónomos determinaron el movimiento propio de largo término de estrellas cercanas listadas en ambos catálogos. Posteriormente buscaron anomalías en el movimiento propio (aMP) entre el vector de movimiento propio de largo término y las medidas de GAIA-DR2 (o Hipparcos), indicando la presencia de un objeto secundario.

Los astrónomos presentaron un catálogo de aMP para 6741 estrellas cercanas localizadas a menos de 50 pc. El 30% de estos objetos presentan evidencias de la existencia de compañeras orbitando, con una significancia mayor que 3σ . Entre otros resultados, confirmaron la relación gravitacional de Próxima y α Centauri.

Las conclusiones son que basados en solamente 22 meses de datos del satélite GAIA, la combinación de sus datos con los del catálogo Hipparcos, permiten limitar de forma muy válida la binaridad de objetos cercanos. Este tipo de análisis abre la posibilidad de identificar compañeras orbitales de largo periodo que en otras situaciones serían indetectables. [Kervella, P. et al., noviembre 2018, A&A, 618A, 63B] ☈



Formación de binarias separadas a partir de núcleos adyacentes

■ Entre enero y septiembre de 2017 astrónomos del Observatorio Naval de los Estados Unidos (USNO) liderados por B. D. Mason publicaron 3989 observaciones interferométricas de estrellas dobles. Estas observaciones fueron realizadas con el refractor de 26" colocado en el USNO. Cada observación de un sistema representa la combinación de unas 2000

imágenes de corto tiempo de exposición. Estas observaciones fueron promediadas en 1911 posiciones relativas medias (ángulo de posición y distancia angular) y oscilan en separaciones entre 0,289" y 128,638", con una separación media de 8,699". Cuatro órbitas fueron mejoradas. [Mason, B.D. et al., noviembre 2018, AJ, 156, 240M] ©

Nuevas binarias en la asociación estelar Epsilon Cha

■ Un equipo liderado por J. A. Docobo (Observatorio Astronómico R. M. Aller) ha presentado observaciones speckle realizadas con el Telescopio Discovery Channel, el Géminis Norte y el telescopio de 6 metros del Observatorio Astrofísico Especial. Estas observaciones han permitido calcular la órbita visual de la binaria espectroscópica de doble línea (SB2) HD 114882 por primera vez y mejorar la órbita visual de otros dos sistemas SB2 (HD 30712 y HD 183255) usando algoritmos publicados por los autores de esta investigación. Recien-

temente, han sido obtenidas nuevas órbitas espectroscópicas de alta calidad para estas binarias por otros autores. El equipo de Docobo determinó sus órbitas tridimensionales (3D), masas individuales, y paralajes de órbitas, presentándolas en este artículo. Las paralajes son comparadas con las disponibles a partir de la misión GAIA, y la comparación entre los valores confirma la precisión de los resultados obtenidos en este trabajo. [Docobo, J. A., Campo, P. P., Gómez, J., Horch, E. P., noviembre 2018, AJ, 156, 185D] ©

GSC 6214-210: movimiento orbital de la compañera separada de masa planetaria

■ Un equipo liderado por Pearce, L. A. (Universidad de Texas, USA) ha obtenido medidas astrométricas de la compañera separada y de masa planetaria de la estrella GSC 6214-210 (14 veces la masa de Júpiter y separación de 240 ua) usando el telescopio Keck mediante la técnica de óptica adaptativa. Estas medidas fueron realizadas durante 10 años obteniendo una gran precisión astrométrica (incertidumbre de sólo 0,001" por época observacional). Los astrónomos obtuvieron un movimiento relativo de $1,12 \pm 0,15$ mas yr^{-1} ($0,61 \pm 0,09$ km s^{-1}). Esta es la primera detección del movimiento orbital de este sistema. El análisis dinámico del sistema llevó a la conclusión de que las órbitas con distancia de periaastro pequeño, podría indicar que la compañera fue dinámicamente dispersada. Estos astrónomos concluyeron que la formación en separaciones orbitales pequeñas y subsecuente dispersión dinámica a través de interacciones con otro objeto más interior es un proceso de formación improbable para esta compañera subestelar estudiada. [Pearce, L. A. et al., diciembre 2018, arXiv181208660P] ©

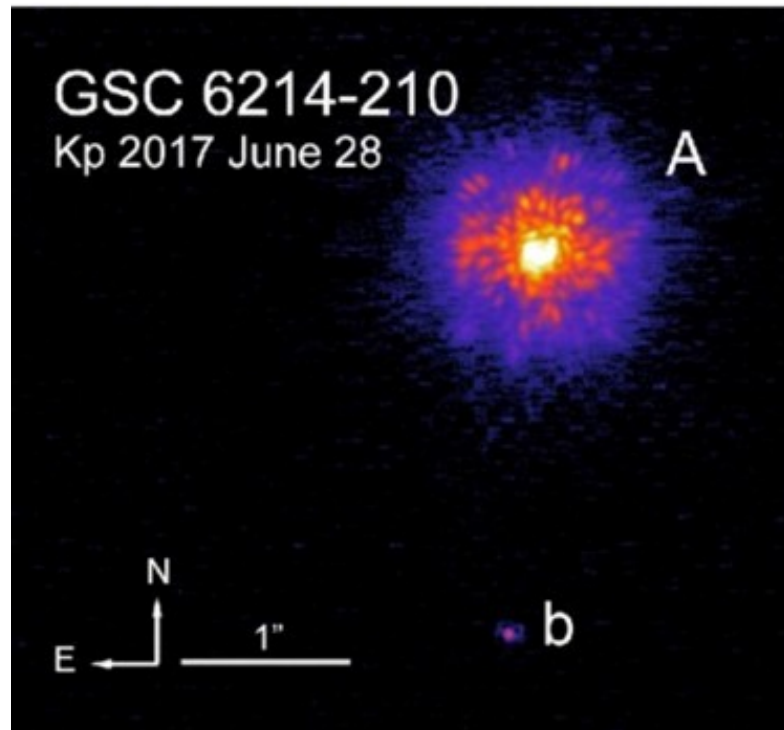


Figura 4. El Sistema GSC 6214-210 con su compañera de masa planetaria.
Credit: <https://arxiv.er.moonhats.com/2018/12/25/orbital-motion-of-the-wide-planetary-mass-companion-gsc-6214-210-b-no-evidence-for-dynamical-scattering-epa-2/>.

Órbitas de 14 binarias basadas en observaciones speckle con el SOAR



Figura 5. Telescopio SOAR de 4,3 metros situado en Chile. Crédito: https://en.wikipedia.org/wiki/Southern_Astrophysical_Research_Telescope#/media/File:SOAR_telescope_at_twilight.jpg.

■ Un equipo de astrónomos liderado por J. A. Docobo (Observatorio Astronómico Ramón María Aller) obtuvo nuevos datos speckle en la primavera del 2018 con el telescopio SOAR de 4,1 metros, situado en Chile. Estas observaciones permitieron recalcular las órbitas de las binarias STT 157, FIN 334Aa,Ab, A 671, CVN 16Aa,Ab, RST 1658, FIN 380, HU 642, RST 1785, I 557, HU 169, LPM 629, A 2189, RST 2073, FIN 357. Para este estudio se utilizó la paralaje GAIA para calcular la masa total de cada uno de estos sistemas a pesar del hecho de

que para unos pocos casos sólo se disponía de la paralaje del Hipparcos. Los astrónomos presentaron las primeras órbitas para tres sistemas: HU 642, RST 1785, and RST 207. Finalmente, usando las paralajes dinámicas para estas órbitas, los astrónomos han sido capaces de calcular las luminosidades de estos sistemas. Tales luminosidades nos permiten obtener una edad aproximada para cada componente del sistema, situándolas dentro del diagrama HR. [Docobo, J. A. et al., enero 2019, MNRAS, 482, 4096] 

Sistemas Estelares Binarios y Múltiples

por Edgardo Rubén Masa Martín
Miembro Asociado de la Comisión G1 de la UAI



En febrero de este año se publicó la Circular Informativa número 197 de la Comisión G1 de la UAI.

En esta entrega, formando parte de los contenidos habituales, se incluye la presentación de 12 nuevas órbitas para otros tantos sistemas binarios. Todos los cálculos fueron realizados por astrónomos pertenecientes al equipo de J. A. Doco en la Universidad de Santiago de Compostela.

Nuevamente, nuestro compañero y redactor de la sección de noticias de OED, Francisco Rica Romero, da a conocer tres nuevas componentes en estrellas anfitrionas de exoplanetas. Para ello ha hecho uso del catálogo GAIA DR2. De acuerdo estas investigaciones se añaden dos componentes respectivamente para las estrellas

HD 17092 y para Kepler-181.

Continuando con sus programas de observación se presentan nuevas estrellas dobles descubiertas por Marco Scardia y por André Debackère. El primero, usando la cámara speckle PISCO sobre el telescopio Epsilon del Observatorio Calera, revela dos nuevas componentes cerradas para los sistemas BU1223 y COU 899. Por su parte, Debackère, trabajando con el LCO Global Telescope Network, presenta 18 nuevos pares. Sus descubrimientos dentro de este proyecto ascienden ya a 313 pares.

Finalmente, la circular concluye con un listado alfabético con los 74 artículos sobre estrellas dobles publicados a lo largo de 2018 en todo el mundo. ☾

Obituario | René Gili (1951-2018)



René GILI

EL 12 DE OCTUBRE DE 2018 llegaba la noticia del fallecimiento de René Gili, nacido en 1951 en Lausanne, Suiza, aunque su familia se trasladó a Niza y allí es donde el astrónomo pasó su infancia. Durante una visita, a comienzos de los años 70, al Observatorio de Niza, el Dr. Paul Couteau se percató del interés del joven por la observación astronómica y rápidamente le instruyó en el uso de los instrumentos. En 1974, René Gili adquirió el estado de voluntario. Algunas veces asistió a Paul Couteau midiendo estrellas dobles por las tardes. De manera gradual aprendió el uso del micrómetro y en 1987 comenzó un programa personal de observación de estrellas dobles usando los refractores de 0,50 y 0,76 metros. En 1991 publica sus primeras medidas en solitario y en septiembre de ese mismo año acompaña al Paul Couteau y a Josefina Ling al Observatorio Pic du Midi de Bigorre para completar un programa de observación de estrellas dobles cerradas usando el telescopio Bernard Lyot de 2 metros de diámetro.

Desde mediados de los 90 su curiosidad hizo que se interesara en la informática y en la obtención de imágenes digitales. En 1996, con Jean-Claude Thorel y con el consejo del óptico Yves Bresson, puso en marcha observaciones CCD de alta resolución mediante una cámara HiSis. En 2009 Gili publicó dos series de medidas con Jean-Louis Agati. Al mismo tiempo, comenzó a realizar capturas digitales con el Gran Ecuatorial usando una cámara EMCCD que él pagó de su propio bolsillo, permitiéndole acercarse a la interferometría de manchas. La extensión de este proyecto, llevado a cabo con la colaboración de Daniel Bonneau, Marco Scardia y Jean-Louis Prieur, fue la construcción de una verdadera cámara speckle llamada PISCO 2. Gracias a esta técnica las imágenes obtenidas rondaban el poder teórico del telescopio, 0,16", sobrepasando la magnitud 12 y soportando grandes diferencias de brillo entre las estrellas.

El nombre de René Gili está asociado de cien nuevos pares que él descubrió y que fueron publicados en la Circular Informativa de la Comisión de Estrellas dobles de la Unión Astronómica Internacional. Miles de medidas realizadas desde 2014 con el instrumento PISCO 2 acoplado al gran refractor de Niza aún están sin explotar. Desde 2008 a 2012 Gili participó en varias campañas para evaluar un dispositivo difractivo para capturar imágenes (Fresnel imager) sobre el Gran Ecuatorial, desarrollado por el equipo de Laurent Koechlin del Observatorio de Toulouse, en colaboración con Jean-Pierre Rivet.

Fue miembro de la Sociedad Astronómica de Francia, perteneciendo a las comisiones de planetaria y de estrellas dobles. Esto le permitió presentar sus trabajos durante los congresos de la Comisión y firmar como coautor publicaciones en el journal "Observations et Travaux". Gili fue un hombre hecho a sí mismo con una rica personalidad, adquiriendo gran conocimiento en los campos de la astronomía, la fotografía y la ópera. Estas cualidades le permitieron llegar a ser un eficiente y productivo observador. Ferviente admirador de Paul Couteau, desarrolló un particular cariño por Observatorio Côte d'Azur.

Una más completa biografía puede, consultarse en "Observations et Travaux" (Société Astronomique de France), nº 86, diciembre de 2018.



Introducción

UNO DE LOS OBJETIVOS que proponíamos en el planteamiento inicial del Proyecto de Seguimiento de Estrellas Dobles Abandonadas del Washington Double Star Catalog (SEDA-WDS) era el de presentar campañas que sirvieran para actualizar el referido catálogo, administrado y mantenido por el Observatorio Naval de Estados Unidos (USNO). Con la publicación de este número de *El Observador* culmina la campaña dedicada a la constelación de Leo; es, pues, momento de presentar una nueva...

Los objetivos

El Washington Double Star Catalog (WDS), el catálogo de referencia mundial en este campo, es mantenido y administrado por el Observatorio Naval de los EE.UU. (USNO). En él se catalogan más de 142000 estrellas dobles y múltiples y está en constante actualización, en base a medidas remitidas por observatorios profesionales y, sobre todo, por astrónomos amateur que, de esta manera, desarrollan un interesante proyecto de colaboración Pro-Am de primer nivel. Además, el número de estrellas que aparecen publicadas en el WDS aumenta cada día en base a descubrimientos recientes, la mayoría de ellos realizados por esos dedicados astrónomos aficionados.

No obstante, como ocurre en todos los catálogos tan extensos, son muchas las estrellas dobles que requieren una revisión de sus datos. Teniendo presente que buena parte de las estrellas allí publicadas pertenecen a descubrimientos

de observadores históricos (algunos de los cuales realizaron sus observaciones hace dos siglos) y, sobre todo, debido al enorme número de estrellas allí listadas, muchas de las dobles del WDS se consideran abandonadas (*neglected*): son estrellas que no han sido confirmadas y/u observadas hace más de 20 años (algunos casos son especialmente llamativos: no se miden desde hace 200 años).

El proyecto SEDA-WDS (Seguimiento de Estrellas Dobles Abandonadas del WDS) pretende, por tanto, realizar una importante aportación de cara a la actualización de los datos que aparecen en el WDS. Con una periodicidad semestral se propondrá la realización de la astrometría relativa de los pares de una cierta constelación y por sus peculiaridades ofrezcan un especial interés a nivel astrofísico, y siempre, con el único requisito de que puedan ser observadas y medidas por el mayor número posible de observadores.

A través del presente proyecto de investigación se pretende aunar la labor de observadores amateur en una propuesta abierta a la cooperación internacional, pretendiendo realizar una interesante aportación a la investigación sobre el apasionante mundo de las estrellas dobles. Teniendo presente, además, que los tiempos de observación de los observatorios profesionales son muy limitados, este es un trabajo que recae de forma casi exclusiva en la labor callada y constante de astrónomos no profesionales.

Los criterios de selección para confeccionar las listas de estrellas dobles a observar han variado ligeramente con respecto a la primera versión de SEDA-WDS. En esta nueva propuesta hemos querido que

los listados contengan pares de variadas características que puedan ser observadas por un amplio abanico de observadores. De esa forma se incluyen pares cerrados y olvidados, a veces sin confirmar, muy indicados para aprovechar al máximo toda la potencia y la precisión de las técnicas de alta resolución y los modernos equipos de los observadores más exigentes. De igual modo habrá también estrellas dobles más fáciles con separaciones mayores y más fáciles de localizar destinadas a los doblistas más noveles. La idea general es que las parejas sean abandonadas, considerando como tales a aquellas que llevan sin observarse al menos 20 años. Sin embargo, en esta nueva edición habrá excepciones y es que por su interés propondremos pares de rápido movimiento propio común (parejas LDS) y ciertos sistemas orbitales que, a pesar de ser conocidos, todo el mundo debería observar por su acusado atractivo astrofísico. En definitiva, habrá sistemas para todos los equipos y combinaciones de cámaras posibles.

En suma, los objetivos del proyecto SEDA-WDS son:

- Aportar datos actualizados al WDS.
- Participar en un proyecto de colaboración Pro-Am de primer nivel.
- Desarrollar un proyecto colaborativo entre la comunidad amateur internacional.
- Aumentar el interés por la observación y estudio de las estrellas dobles, especialmente entre aquellos que no se dedican habitualmente a este campo de trabajo.
- Fomentar el uso de las técnicas digitales que provienen del uso de las cámaras CCD para la realización de astrometría relativa de estrellas

dobles y el software específico de reducción de datos.

Campaña julio/diciembre 2019

En esta ocasión hemos elegido la constelación de **Pegaso** y proponemos un primer listado de 20 pares que será observable desde ambos hemisferios a lo largo de los próximos meses. Algunos de ellos permanecen perdidos desde el siglo XIX por lo que animamos a todos a intentar localizar estas parejas tan fascinantes. Es una zona del cielo tan rica y extensa en pares olvidados que necesariamente volveremos a ella en futuras campañas observacionales.

Los coordinadores del proyecto se ofrecen para atender cualquier tipo de consulta o duda que pueda surgir, además de orientar siempre que sea necesario.

Participar es muy sencillo y agradecemos la colaboración de todos los interesados, sean expertos doblistas o no. Para ello sólo se requiere el uso de un telescopio dotado de cámara CCD y unas mínimas nociones sobre el uso de software especializado. Un amateur especializado en cometas, asteroides, estrellas variables o cualquier otro campo de la astronomía bien puede dedicar un pequeño tiempo de su observación a este apasionante proyecto. El plazo límite en el envío de las medidas será el próximo 1 de junio.

Los resultados obtenidos serán publicados en las páginas de esta revista, seleccionada por el USNO como publicación de referencia para la admisión de datos en el WDS. Cada observador conservará la autoría de su medida dentro del proyecto. 

Toda la información sobre SEDA-WDS
(incluyendo tutoriales e instrucciones, formularios de envío de medidas
y la tabla de estrellas seleccionadas en formato PDF),
puede consultarse y descargarse desde la web del proyecto:

<https://sites.google.com/site/sedawds/>



CAMPÀÑA JULIO/DICIEMBRE DE 2019 | SEDA-WDS | PEGASO

ID. WDS	DESC.	RHO	THETA	MG. A	MG. B	Nº	ÚLTIMA	COORDENADAS	PMA AR	PMA DEC	PMB AR	PMB DEC	COORD. PRECISA
21307+2258	COU 134	1,5	13	10,3	10,5	1	1965	213039,61+225742,1	+001	-003			sí
21321+2605	TDT3013	2,1	240	10,65	11,38	1	1991	213205,17+260441,4	+017	+006	+017	+006	no
21384+2614	TDT3074	2,4	135	10,16	12,82	1	1991	213823,05+261402,5	-091	-074	-091	-074	sí
21401+2426	POU5456	3,7	264	12,2	12,3	1	1898	214011 +242618	+004	-004			no
21539+1102	GWP3105	4,3	113	15,8	17,3	1	1990	215355,06+110228,5	+066	+032	+064	+026	sí
21587+2949	BUP 231	55,4	76	6,94	13,3	2	1997	215840,83+294845,4	-357	-388			sí
21598+2356	STF2850	2,8	264	7,0	11,0	15	1983	215949,60+235627,4	-006	-027			sí
22029+1647	GWP3116	3,6	29	15,5	16,7	2	1998	220252,77+164700,2	+064	+008	+070	+004	sí
22032+2358	J 289 AC	21,8	354	12,2	14,5	1	1943	220311,46+235721,8	-001	-003			sí
22032+2701	TDT3312	2,5	197	11,56	11,66	1	1991	220311,51+270027,9	-014	-035			sí
22046+1122	OSO167	14,7	270	14,7	14,7	1	1994	220434,35+112225,1	-046	-196	-008	000	sí
22050+0838	OSO 168 AB	13,4	329	12,03	17,2	1	1994	2205,142+083818,9	+311	-077	+044	+030	sí
22068+3435	ES 386	7,0	76	9,35	13,0	1	1906	220648,60+343512,2	+034	-004			sí
22115+3205	HO 178	3,4	223	7,40	11,16	14	1991	221128,36+320509,9	+047	+009	+045	+007	sí
22186+0827	OSO 175	4,9	197	10,38	16,0	2	1994	221836,50+082644,9	+284	-103			sí
22191+2000	LDS1492	93,0	259	12,6	13,0	1	1962		+065	+125			no
22229+3402	ES 2201	3,8	266	10,18	13,9	3	1998	222257,74+340224,6	+037	+005			sí
22246+2337	POU5698	11,6	90	10,8	11,1	1	1891	222437,65+233742,1	-004	-001			no
22372+2645	HO 618AB	6,4	236	9,3	14,3	5	1921	223711,74+264443,3	-005	-028			sí
22502+2229	COU 237	3,0	100	11,18	12,7	2	1995	225009,55+222848,6	+008	+006			sí

Resultados de la 10^a campaña del Proyecto SEDA-WDS: dobles abandonadas en Monoceros (1^{er} semestre de 2019)

Results of the 10th Campaign of SEDA-WDS Project:
Neglected Double Stars in Monoceros (Ist Half of 2019)

Carlos Botana, Enrique de Ferra Martín, Carlos Krawczenko y Roberto Vasconi

■ Correo-e: seda-wds@gmail.com

Presentamos las medidas recibidas por parte de los observadores participantes en la campaña dedicada a la constelación de Monoceros del Proyecto SEDA-WDS. Dichas medidas corresponden al primer semestre de 2019.

We present the measurements received by the participant observers in the SEDA-WDS Project campaign (Monoceros constellation). These measurements are from the first half of 2019

El programa observacional

LA CONSTELACIÓN ELEGIDA para esta campaña fue Monoceros, bien visible desde ambos hemisferios durante el tiempo de vigencia del programa (primer semestre de 2019).

Los observadores

En esta ocasión hemos contados con cuatro observadores repartidos entre España y Argentina. En la tabla 1 (página siguiente) damos relación de todos ellos, así como del equipo observacional usado y la resolución/píxel a la que han trabajado.

Los códigos de observadores son propios y de carácter interno dentro de nuestro proyecto, aunque muchos de ellos son los mismos adjudicados por el propio Brian Mason. Como hemos comentado en anteriores campañas, cada una de las medidas aportadas aparecerá en el Washington Double Star Catalog (en adelante WDS) con el código asignado al proyecto SEDA-WDS del que todos formamos parte (SDA).

Según la preferencia de cada observador, las imágenes obtenidas fueron medidas mediante dos métodos principales (tabla 2, página siguiente):

—**Reduc**: específico para el trabajo y medida en estrellas dobles. Su creador es el conocido doblista francés, y querido colaborador nuestro, Florent Losse.

—**Astrometrica**: programa muy utilizado para el



Figura 1. Representación de Monoceros realizada por Sydney Hall en 1825. El grabado está incluido en su obra *Urania's Mirror*, placa nº 31. <https://www.loc.gov/pictures/resource/cph.3g10076/>

cálculo de astrometría absoluta creado por Herbert Raab.

Ambos métodos son totalmente fiables, obteniéndose unos resultados totalmente congruentes entre ellos.

Resultados

Desgraciadamente según comunican los observadores, bastantes de los pares propuestos no han sido identificados/localizados/separados. En general, comunican que han sido demasiado cerrados para la instrumentación utilizada. Debido a estos motivos se han

OBSERVADOR	TELESCOPIO	CCD	ESCALA DE PLACA ("/PIXEL)	CÓDIGO
Roberto Vasconi	Schmidt-Cassegrain 406,4 mm	SBIG STF 8300 M	0,27	RVA
Carlos Krawczenco	Newton Skywatcher 254 mm	ATIK 16IC	1,28	KWR
Enrique de Ferra	Newton TSO 150 mm	ATIK 16IC	2,04	EDF
Carlos Botana	Newton Skywatcher 200 mm	ZWO ASI120 MM	0,774/0,291	BOT

Tabla 1. Relación de observadores, instrumental usado y resolución a la que han tomado las imágenes.

NOMBRE OBSERVADOR	MÉTODO
Roberto Vasconi	Astrometrica+Reduc
Carlos Krawczenco	Reduc
Enrique de Ferra	Astrometrica+Reduc
Carlos Botana	Reduc

Tabla 2. Métodos de reducción usados por cada observador.

observado 6 sistemas (10 medidas en total) de los 17 propuestos en la campaña.

Agradecimientos

A cada uno de los observadores que han partici-

pado en esta campaña que con su esfuerzo e ilusión hacen posible que este proyecto sea realidad. ☺

Referencias

Reduc: <http://astrosurf.com/hfosaf/>

Astrometrica: <http://www.astrometrica.at/> ArtSoftUtil/Software.html

Mason, B.D., Wycoff, G.L., Hartkopf, W.I., Douglas, G.G. et Worley, C.E. 2011 – Washington Double Star Catalog y actualizaciones electrónicas mantenidas por el USNO: <http://ad.usno.navy.mil/wds/>

Esta investigación ha hecho uso del Washington Double Star Catalog mantenido por el Observatorio Naval de los Estados Unidos (USNO).

TABLA 3. ASTROMETRÍA RELATIVA DE LOS PARES OBSERVADOS EN MONOCEROS.

WDS ID.	DESC.	WDS MAG.	ÉPOCA	THETA (°)	RHO (")	NOCHES	OBS.
06014-0745	A 663	10,11 - 11,8	2019,127	325,36	2,627	1	BOT
			2109,2228	323,24	2,279	1	VAS
06550-0147	BAL 359	12,4 - 13,0	2019,228	218,79	23,860	1	EDF
06294+0244	HEI 701	9,98 -11,9	2019,135	173,75	2,447	1	BOT
06346+0822	SLE 538AD	10,32 - 9,134	2019,302	202,31	34,762	1	KWR
06392+0628	HEI 332	10,65 - 12,5	2019,138	235,75	3,582	1	BOT
			2019,2228	235,05	3,292	1	VAS
06473+1055	STF 965AB	8,92 -10,5	2019,146	342,93	5,270	1	BOT
			2019,2228	342,84	4,865	1	VAS
			2019,302	346,08	5,97	1	KWR

FIGURA 2. IMÁGENES DE LOS PARES MEDIDOS POR CARLOS BOTANA.



El ojo crítico del doblista: descubrimiento de un nuevo par con movimiento propio común durante la campaña fotométrica de SN 2019ein

The double star observer's critical eye: discovery of a new pair with common proper motion during the photometric campaign of the SN2019ein

Andrea Mantero

Bernezzo Observatory (Italia) — IAU MPC C77

■ Correo-e: manteandrea@libero.it

Gianpiero Locatelli

Maritime Alps Observatory (Italia) — IAU MPC K32

■ Correo-e: locatellivet@inode.it

Este artículo presenta el descubrimiento de un nuevo par de movimiento propio común durante la campaña fotométrica de la supernova SN 2019ein. La existencia del nuevo par ha sido confirmada utilizando placas del *Digital Sky Survey*. También se comprobó que este sistema no estaba incluido en el *Washington Double Star Catalog*.

This article presents the discovery of a new pair of common proper motion during the photometry campaign of the supernova SN 2019ein. The existence of the new pair has been confirmed using *Digital Sky Survey* plates. The system was not found in the *Washington Double Star Catalog*.

Introducción

DESDE EL DÍA DE SU DESCUBRIMIENTO, el primero de mayo 2019, la SN 2019ein (Tipo Ia) ha sido objeto de investigación fotométrica por parte de muchos astrónomos amateurs en todo el mundo. Los autores, aprovechando muy pocas noches despejadas, han dado su contribución a la campaña fotométrica de esta interesante supernova del grupo español de observadores ObSN (véase la página web <https://sites.google.com/view/sn2017eaw/sn2019ein>). Pero, solo uno entre nosotros (Andrea Mantero) se fijó en una pareja de estrellas muy cerca de la galaxia huésped de la supernova. Se trata de un par bastante brillante, más que la supernova objeto de estudios fotométricos, y también bastante cerrado, según los parámetros de la astronomía amateur. En fin, una pareja interesante.

Metodología

Ambos autores observan desde un lugar en las afueras de la ciudad de Cuneo, en el noroeste de Italia. Los dos observatorios se encuentran a unos diez kilómetros de distancia entre ellos.

Andrea Mantero suele observar con un Newton de 25 centímetros de diámetro al que acopla a una

cámara ATIK 314L+ y hace fotometría en banda V Johnson.

Gianpiero Locatelli observa con un Schmidt-Cassegrain de 25 centímetros de diámetro dotado de una cámara QHY9 y hace fotometría en bandas V Johnson, R Cousins, Sloan g, Sloan r y Sloan i.

En el curso de varias noches dedicadas a la fotometría de la supernova SN 2019ein, el espíritu investigador de Andrea no ha podido obviar la presencia de un par interesante. Antes de todo, se consultó el *Washington Double Star catalog* (WDS) al fin de controlar la eventual catalogación de un sistema ya clasificado. Luego, su presencia ha sido confirmada sobre placas del *Digital Sky Survey* (DSS) y, siempre por medio del Observatorio Virtual *Aladin Sky Atlas*, se buscaron los datos más importantes para la caracterización del par. La fotometría de la nueva pareja ha sido calculada utilizando la herramienta *Fotodif SN 2.10* (desarrollado por Julio Castellano) y tomando como estrella de comparación la misma estrella utilizada en el caso de la fotometría de la supernova SN 2019ein.

Resultados

El nuevo par se encuentra a las siguientes coor-

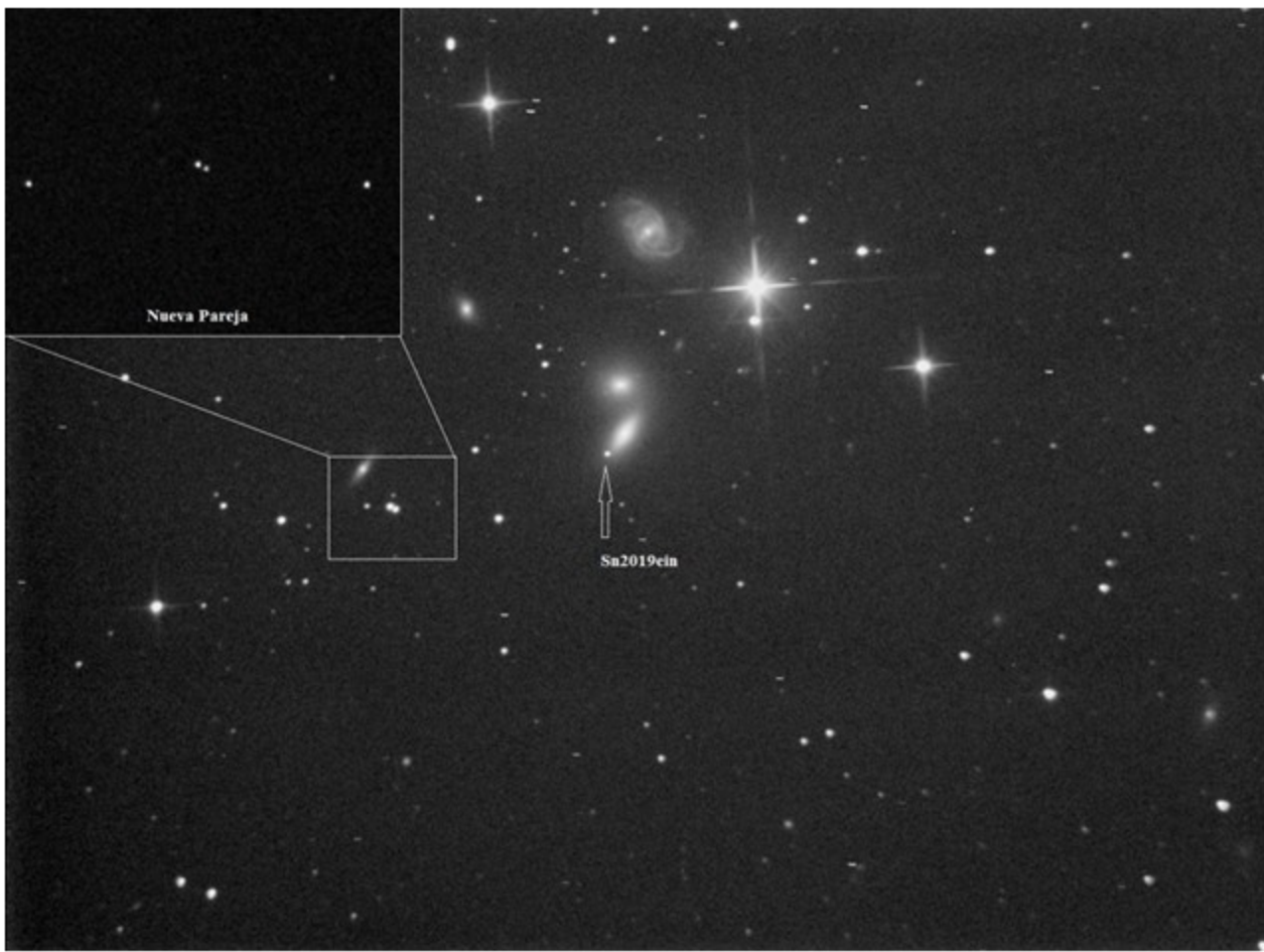


Figura 1. Imagen del campo de Sn 2019ein en el que se localiza la nueva pareja objeto de estudio (Andrea Mantero).

denadas precisas:

Componente A

AR J2000 13h 53m 57,434s
DEC J2000 +40° 15' 40,19"

Componente B

AR J2000 13h 53m 56,799s
DEC J2000 +40° 15' 35,74"

En la Figura 1 se puede apreciar la posición del par estudiado, no muy lejos de la supernova SN2019ein. Se trata de un campo estupendo, riquísimo en galaxias, la supernova es una de las más bonitas del año 2019 y un sistema doble tan precioso queda perfecto en la imagen.

Como es habitual, en el momento del descubrimiento, hicimos un trabajo de búsqueda de datos en los catálogos más utilizados, hoy en día, primero *Gaia DR2*. Un resumen de los datos de mayor interés se encuentra en la tabla 1 (página siguiente). Movimientos propios y paralajes que parecen casi iguales y con errores de un valor pequeñísimo, nos confirman que estamos delante de un par de movimiento propio común situado casi a la misma distancia. Desgraciadamente, *Gaia DR2* en este caso no presenta el dato de la velocidad radial, que completaría las informaciones

sobre el movimiento de este par.

Pero hay datos que nos dicen otras cosas interesantes sobre nuestra pareja.

La temperatura de ambas componentes indica que se trata de dos estrellas un poco menos calientes que nuestro Sol, la secundaria es algo más fría. Los datos de luminosidad y radio también demuestran que las dos estrellas son más pequeñas y menos brillantes que el Sol.

Otros catálogos ofrecen algunos datos de un cierto interés, pero solo en caso da la primaria.

Así que la astrofísica de la nueva pareja ha empezado a despertar la curiosidad de los autores. En este sentido, por medio de los medios de nivel amateur de los que disponemos, hemos intentado hacer una fotometría lo más completa posible de las dos componentes. Hay que precisar que los datos fotométricos no están transformados. Toda la información medida o calculada por los autores se encuentra en la tabla 2 (página siguiente).

Utilizando la fotometría en V Johnson de las dos componentes se ha calculado su magnitud absoluta en V. Se ha obtenido una magnitud de 5,66 en caso de

	COMPONENTE A	COMPONENTE B	FUENTE
Denominación Gaia	Gaia DR2 1497121459315202816	Gaia DR2 1497121459315202560	
Coord. ICRS AR	208,48893538817 °	208,48628881179 °	
DEC	+40,2612291207 °	+40,25999400624 °	
Mov propio AR	-66,389 ± 0,023 mas/año	-66,153 ± 0,019 mas/año	
Mov propio DEC	15,211 ± 0,026 mas/año	15,445 ± 0,022 mas/año	
Paralaje	3,0562 ± 0,0222 mas	3,0774 ± 0,0187 mas	
Mag G	13,0268 ± 0,0003	13,4168 ± 0,0003	
Mag BP	13,4302 ± 0,0012	13,8736 ± 0,0012	Gaia DR2
Mag RP	12,4718 ± 0,0011	12,8133 ± 0,0012	
Color BP-RP	0,9584	1,0603	
Color BP-G	0,4034	0,4569	
Color G-RP	0,5551	0,6035	
Teff	5427,50 K	5135,56 K	
Radio	0,80 Sol	0,76 Sol	
Luminosidad	0,506 Sol	0,363 Sol	
Mag B	13,541		
Mag V	12,785		
Mag g	13,048		
Mag r	12,577		
Mag i	12,393		
Mag J	11,843	12,099	
Mag H	11,426	11,640	
Mag K	11,577	11,572	

Tabla 1. Datos procedentes de catálogos profesionales.

	COMP. A	COMP. B
Rho (ρ)	8,523"	
Theta (θ)	238,55°	
Distancia	327,2 psec	324,9 psec
Línea de Separación Proyectada	2779,46 UA	
Mag V	13,23 ± 0,006	13,644 ± 0,007
Mag R	12,8 ± 0,006	13,15 ± 0,006
Mag g	13,416 ± 0,006	13,859 ± 0,008
Mag r	12,935 ± 0,006	13,306 ± 0,007
Mag i	12,742 ± 0,006	13,103 ± 0,007
Mag Absoluta V	5,66	6,08
Mag Absoluta G Gaia	5,47	5,86

Tabla 2. Datos medidos y calculados por los autores.

la primaria y de 6,08 en el caso de la secundaria. Las magnitudes absolutas han sido calculadas con los datos de *Gaia*, aunque en bandas de color diferente, están en consonancia con los nuestros. Estos resultados, junto con los de la temperatura, radio, luminosidad y los índices de color, hacen presumir que, en la hipótesis de estrellas de la Secuencia Principal, la clase espectral pueda situarse en las últimas subclases de la clase G o, más probablemente, en las primeras de la clase K.

Al final, algunas palabras sobre los datos que caracterizan el sistema doble. Aunque en las imágenes parezca un par un poco cerrado, la separación de 8,5 segundos de arco, lo pone entre los sistemas “abiertos”, que, sin embargo, hacen la felicidad de los doblistas amateurs, además teniendo en cuenta el brillo al alcance de muchos telescopios no profesionales (Figura 2, página siguiente).

Se ha calculado también la línea de separación proyectada, aprovechando los precisos datos de la paralaje de *Gaia*. La distancia entre las componentes de 2779 unidades astronómicas sugiere que, si hay una relación física entre ellas, esta habrá de ser bastante débil y con un presumible periodo muy largo. Claro, que un estudio más profundo puede arrojar más luz sobre estas consideraciones.

Los autores proponen como denominación provisional del nuevo sistema la sigla MTR 4. ©



Figura 2. Tricromía Sloan g, r, i obtenida por Gianpiero Locatelli.

Agradecimientos

Este trabajo ha utilizado los siguientes recursos:

Aladin Sky Atlas - Centre de données astronomiques de Strasbourg (CDS), <http://cdsweb.u-strasbg.fr>

Washington Double Star Catalog (WDS) - United States Naval Observatory, <https://ad.usno.navy.mil/wds/>

Observadores de Supernovas, [https://sites.google.com/view/sn2017eaw/página-principal](https://sites.google.com/view/sn2017eaw/p%C3%A1gina-principal)

Igualmente, se ha utilizado la siguiente bibliografía:

Benavides, R, González, J. L., Masa, E.: *Observación de estrellas dobles*. Ed. Marcombo (2017).

Locatelli, G.: *Estrellas dobles y GAIA DR2: identificación de 123 nuevos pares y 2 nuevos sistemas triples con mpc*. OED n. 22. Enero - Junio 2019

220 nuevas binarias, 3 triples y una nueva componente de BVD 321 con movimiento propio común en la zona AR 180º/270º—DEC +76º/+90º

220 New Binaries, 3 triples and a new component of BVD 321 with common proper motion at AR 0º/90º—DEC +76º/+90º

Fernando Limón Martínez

Observatorio Mazariegos (Palencia, España) — IAU MPC Z50—AAVSO LFEA—USNO WDS MFL
Southern Europe Double Stars Survey (SEDSS)

Este trabajo presenta el descubrimiento de 220 nuevas parejas de estrellas con elevado movimiento propio común, tres triples y un nuevo componente de la ya conocida BVD 321, detectadas aplicando técnicas de minería de datos sobre al catálogo Gaia DR2. Todas las parejas se han verificado mediante el examen visual de placas profesionales.

This paper presents the discovery of 220 new pairs of stars with high common proper motion, three triples and a new component of the already known BVD 321, detected by applying Data Science techniques to the Gaia DR2 catalogue. All pairs have been verified by visual examination of professional plates.

Introducción

LA PUESTA A DISPOSICIÓN de la comunidad científica de los datos contenidos en el catálogo Gaia DR2 el pasado 25 de abril de 2018, junto con la cantidad, calidad de datos y parámetros que proporciona de una ingente cantidad de estrellas, ha abierto las puertas a la realización de estudios utilizando técnicas de Ciencia de Datos.

Metodología

Buscar pares de estrellas dobles partiendo de una base de datos con más de 1.300 millones de estrellas es algo a todas luces inabordable por métodos clásicos. Es por ello que a la hora de plantear este proyecto se tuvo claro que era necesario disponer de herramientas que permitieran manejar un volumen elevado de información, empleando métodos convencionales únicamente para la verificación de los pares encontrados.

Aunque el Archivo Gaia (Gaia Archive) de la ESA permite lanzar búsquedas en un área determinada y recuperar sólo ciertos parámetros que nos puedan

interesar, el volumen de datos obtenidos sigue haciendo inabordable emplear búsquedas mediante métodos convencionales.

Para la realización de este trabajo se ha desarrollado una herramienta específica que permite realizar emparejamientos de estrellas en base a criterios de afinidad, lo que asegura con alta probabilidad que las parejas encontradas son dobles con movimiento propio común.

Tras algunas pruebas y aún a riesgo de ser muy conservadores, por lo que seguramente se hayan dejado en el anonimato muchos pares de estrellas, en el SEDSS decidieron aplicar los siguientes criterios que pueden observarse en la tabla de más abajo.

Tras procesar los resultados obtenidos de la BBDD de Gaia se dispone de un conjunto de potenciales parejas de estrellas que se deberán verificar. Para ello se ha utilizado la herramienta Aladin Sky Atlas, visualizando los pares de estrellas sobre placas Digitized Sky Survey (DSS), aunque cuando éstas no disponían de resolución suficiente como para resolver el par se han utilizado imágenes de PanSTARRS.

TABLA 1. CRITERIOS DE BÚSQUEDA.

Distancia entre estrellas (d)	$1 \text{ arcseg} \leq d \leq 60 \text{ arcseg}$
Magnitud G (g)	$8 \leq g \leq 19$
Movimiento Propio (mp)	$mp \geq 40 \text{ arcseg/año en AR o DEC}$
Diferencia entre MP de la pareja (Δmp)	$\Delta mp \leq 10\%$

Se tenía previsto hacer fotografías de algunos pares detectados desde el Observatorio de Mazariegos (Palencia, España), pero la meteorología ha forzado a abandonar esta idea.

Mediante la utilización de filtros ha sido posible representar sobre las imágenes, en forma de vector, el movimiento propio de cada estrella. Cuando la separación de las estrellas era suficiente se han superpuesto imágenes de POSSI (época 1951) y POSSII (época 1991) del Palomar Observatory Sky Survey, lo que permite apreciar sin dificultad el movimiento aparente que han tenido las estrellas en estudio. En casos de estrellas poco separadas, se ha recurrido a fotos procedentes de PanSTARRS. Al final del trabajo se muestran algunos ejemplos de pares de estrellas dobles objeto de este trabajo.

Resultados

A lo largo de la elaboración de este trabajo se han descartado numerosos pares de estrellas que, aunque estaban claramente identificadas por los datos proporcionados por Gaia DR2, algunas de ellas presentaban magnitudes fuera de rango o separaciones que impedían la resolución en los medios utilizados en la verificación.

Los 224 pares de estrellas dobles verificadas aparecen en la Tabla 2, donde se presenta la designa-

ción provisional, la designación Gaia de cada una de ellas, coordenadas RA y DEC, movimiento propio en RA y DEC, la paralaje, la distancia (Rho) y el ángulo (Theta) entre ellas.

En la Tabla 3 se presentan algunos ejemplos de las imágenes utilizadas para verificar las nuevas estrellas dobles.

Referencias

Para este trabajo se ha utilizado:

Gaia Archive, de la Agencia Europea del Espacio (ESA): <https://gea.esac.esa.int/archive/>

Aladin Sky Atlas, Strasbourg astronomical Data Center (CDS): <http://cdsweb.u-strasbg.fr/>

Washington Double Star Catalog (WDS), United States Naval Observatory: <http://ad.usno.navy.mil/wds>.

Agradecimientos

Mención especial a Oscar Cubo, amigo, compañero de trabajo e Ingeniero de Sistemas, que ha sacado horas de su tiempo libre para ayudar en el desarrollo de la herramienta software que ha permitido elaborar este trabajo. ☺

TABLA 2. ASTROMETRÍA RELATIVA DE LOS NUEVOS SISTEMAS.

CANDIDATE	COMP.	GAIA DESIGNATION	AR_HMS (ICRS)	DEC_DMS (ICRS)	PMRA	PMDEC	g MEAN MAG.	PARA- LLAX	RHO	THETA	IMAGE
MFL-39	A	Gaia DR2 1720368013909165440	12 07 11,34	+83 54 32,6	83,16	13,48	10,741	5,542	6,56	339,81	
	B	Gaia DR2 1720368018206351360	12 07 09,92	+83 54 38,8	83,57	12,79	13,975	5,621			
MFL-40	A	Gaia DR2 1720311870097113600	12 14 22,45	+83 18 22,5	-40,17	-13,92	18,448	2,227	8,21	25,71	
	B	Gaia DR2 1720311874393817472	12 14 24,48	+83 18 29,9	-40,21	-14,11	18,463	1,788			
MFL-41	A	Gaia DR2 1719616398928461056	12 11 04,02	+81 13 41,7	-51,19	19,71	13,689	2,647	7,46	297,96	2
	B	Gaia DR2 1719616398928461312	12 11 01,14	+81 13 45,2	-51,41	19,97	17,133	2,566			
MFL-42	A	Gaia DR2 1718013551493479424	12 16 27,33	+80 15 40,4	32,49	-49,63	13,844	4,752	18,63	128,55	4
	B	Gaia DR2 1718013482774002304	12 16 33,08	+80 15 28,8	32,63	-49,77	15,392	4,667			
MFL-43	A	Gaia DR2 1719648525283858560	12 12 46,34	+81 36 26,6	24,31	-38,93	14,384	5,332	28,48	15,34	3
	B	Gaia DR2 1719648903240981248	12 12 49,78	+81 36 54,1	24,37	-38,39	17,022	5,324			
MFL-44	A	Gaia DR2 1719605300732960768	12 11 58,40	+81 06 03,8	-72,10	42,62	15,565	3,618	19,53	257,18	
	B	Gaia DR2 1719605300732960896	12 11 50,20	+81 05 59,5	-71,01	41,60	17,124	3,535			
MFL-45	A	Gaia DR2 1719629489988835840	12 04 26,05	+81 22 48,3	-66,44	-55,67	15,606	1,989	39,68	339,85	1
	B	Gaia DR2 1719630963161703552	12 04 19,97	+81 23 25,6	-66,95	-54,80	16,058	1,923			

(Continúa en la página siguiente)

TABLA 2. ASTROMETRÍA RELATIVA DE LOS NUEVOS SISTEMAS (CONT.).

CANDIDATE	COMP.	GAIA DESIGNATION	AR_HMS (ICRS)	DEC_DMS (ICRS)	PMRA	PMDEC	g MEAN MAG.	PARA- LLAX	RHO	THETA	IMAGE
MFL-46	A	Gaia DR2 1717526639641250560	12 09 44,18	+79 07 07,6	-107,19	-74,95	11,184	9,663	19,20	77,95	
	B	Gaia DR2 1717526433481567872	12 09 50,81	+79 07 11,6	-107,61	-75,34	18,331	9,725			
MFL-47	A	Gaia DR2 1717445408923596928	12 13 07,65	+78 45 08,0	54,16	-33,03	11,703	3,466	9,76	283,30	
	B	Gaia DR2 1717445413218411520	12 13 04,41	+78 45 10,2	54,32	-31,39	18,589	3,267			
MFL-48	A	Gaia DR2 1717895216554665472	12 18 26,17	+79 38 49,1	-91,78	-22,83	16,228	3,753	10,45	12,64	
	B	Gaia DR2 1717895212258392320	12 18 27,02	+79 38 59,2	-91,93	-22,83	17,902	3,882			
MFL-49	A	Gaia DR2 1717553783834625664	12 05 52,11	+79 29 25,3	-36,91	31,32	16,957	4,571	7,28	85,95	
	B	Gaia DR2 1717553715115148672	12 05 54,77	+79 29 25,8	-37,14	29,83	17,225	4,889			
MFL-50	A	Gaia DR2 1693261861124968192	12 18 05,35	+77 32 45,2	-44,80	-5,26	9,134	7,108	14,90	323,78	
	B	Gaia DR2 1693261856829711488	12 18 02,63	+77 32 57,2	-45,73	-5,17	17,946	7,141			
MFL-51	A	Gaia DR2 1693130778722957056	12 10 14,45	+76 50 39,9	-13,88	-68,46	15,505	2,741	5,08	190,61	
	B	Gaia DR2 1693130774427789696	12 10 14,18	+76 50 34,9	-14,75	-68,15	18,915	2,553			
MFL-52	A	Gaia DR2 1693116175834095872	12 19 19,52	+76 40 23,5	-45,10	-19,51	16,125	3,568	15,98	8,47	
	B	Gaia DR2 1693116171538892160	12 19 20,20	+76 40 39,3	-45,16	-19,12	18,184	3,782			
MFL-53	A	Gaia DR2 1726493672362282880	12 30 18,25	+85 04 59,0	-66,04	10,57	15,080	6,795	4,11	224,61	
	B	Gaia DR2 1726493668066176000	12 30 16,01	+85 04 56,0	-66,56	11,07	18,018	6,566			
MFL-54	A	Gaia DR2 1720158629959713536	12 25 18,40	+82 51 51,6	-32,95	3,14	12,441	3,037	5,20	282,60	
	B	Gaia DR2 1720158629959713792	12 25 15,68	+82 51 52,7	-32,87	3,26	14,512	2,997			
MFL-55	A	Gaia DR2 1726310775474550528	12 26 26,93	+83 50 26,8	39,06	0,72	15,640	3,992	12,82	250,24	
	B	Gaia DR2 1726310775474550400	12 26 19,43	+83 50 22,4	38,83	0,68	18,246	3,736			
MFL-56	A	Gaia DR2 1720106574956044800	12 30 18,28	+82 21 59,5	-51,68	-7,69	15,752	4,684	4,50	255,10	
	B	Gaia DR2 1720106570660540160	12 30 16,10	+82 21 58,4	-51,80	-7,70	17,563	4,642			
MFL-57	A	Gaia DR2 1719575064163143168	12 28 19,48	+81 06 09,5	-21,10	-71,06	15,090	4,183	5,00	238,96	8
	B	Gaia DR2 1719575025508079488	12 28 17,64	+81 06 07,0	-20,76	-70,96	17,954	4,076			
MFL-58	A	Gaia DR2 1719361140432496640	12 35 36,85	+80 43 50,0	-27,57	-70,82	15,734	6,910	9,44	52,67	
	B	Gaia DR2 1719361136136252032	12 35 39,96	+80 43 55,7	-28,33	-70,46	18,588	6,622			
MFL-59	A	Gaia DR2 1717627038796900480	12 39 12,62	+79 12 12,8	-81,33	-33,08	10,900	7,879	5,56	317,28	
	B	Gaia DR2 1717627038796900608	12 39 11,28	+79 12 16,9	-81,86	-33,93	16,588	7,777			
MFL-60	A	Gaia DR2 171723368851207129	12 24 12,87	+78 24 23,0	30,31	12,57	13,500	2,074	6,40	33,98	5
	B	Gaia DR2 171723368851207142	12 24 14,05	+78 24 28,3	30,30	12,75	16,420	2,124			

TABLA 2. ASTROMETRÍA RELATIVA DE LOS NUEVOS SISTEMAS (CONT.).

CANDIDATE	COMP.	GAIA DESIGNATION	AR_HMS (ICRS)	DEC_DMS (ICRS)	PMRA	PMDEC	g MEAN MAG.	PARA- LLAX	RHO	THETA	IMAGE
MFL-61	A	Gaia DR2 1717590102078123904	12 39 20,05	+78 49 30,1	-49,21	6,06	14,011	3,279	6,54	142,36	
	B	Gaia DR2 1717590097782299904	12 39 21,42	+78 49 24,9	-49,21	6,63	18,157	3,192			
MFL-62	A	Gaia DR2 1717664456552044800	12 27 16,75	+79 18 25,5	-79,90	31,69	14,456	7,842	8,63	273,42	7
	B	Gaia DR2 1717664456552044928	12 27 13,65	+79 18 26,0	-79,78	30,74	16,799	7,812			
MFL-63	A	Gaia DR2 1693066010616213120	12 25 38,10	+77 20 39,0	42,85	-11,29	17,037	1,262	18,77	257,25	6
	B	Gaia DR2 1693066006320201344	12 25 32,53	+77 20 34,9	42,59	-11,09	18,113	1,236			
MFL-64	A	Gaia DR2 1692993442848706688	12 34 51,05	+76 52 40,7	-85,17	-31,08	17,604	1,324	9,55	49,64	
	B	Gaia DR2 1692993374129230464	12 34 53,19	+76 52 46,8	-84,93	-30,78	18,529	1,354			
MFL-65	A	Gaia DR2 1717122015066169856	12 24 59,81	+77 49 47,7	-67,67	-18,38	17,636	0,872	10,41	324,67	
	B	Gaia DR2 1717122015066170112	12 24 57,91	+77 49 56,2	-67,81	-18,06	18,780	0,727			
MFL-66	A	Gaia DR2 1728558280320839680	12 57 56,88	+86 41 51,1	-78,05	-12,01	14,952	2,183	32,27	80,71	
	B	Gaia DR2 1728558314680578176	12 58 33,74	+86 41 56,3	-77,50	-11,69	17,920	1,567			
MFL-67	A	Gaia DR2 1726859947172516224	12 48 49,58	+85 14 19,4	-50,91	26,21	14,431	2,203	5,29	191,42	10
	B	Gaia DR2 1726859947172516096	12 48 48,74	+85 14 14,2	-50,74	24,23	14,567	2,228			
MFL-68	A	Gaia DR2 1719898389301310336	12 43 41,89	+82 01 45,2	-46,08	-3,34	15,583	4,436	4,22	224,23	
	B	Gaia DR2 1719898385005906944	12 43 40,47	+82 01 42,1	-47,18	-3,09	18,033	4,680			
MFL-69	A	Gaia DR2 1726141927424284032	12 47 06,67	+83 59 22,6	-41,91	-17,12	17,558	3,216	6,55	23,16	
	B	Gaia DR2 1726141961784101760	12 47 08,31	+83 59 28,7	-41,47	-16,62	17,733	3,152			
MFL-70	A	Gaia DR2 1719460470139661184	12 42 37,04	+80 54 16,6	-13,55	-32,85	11,109	5,432	4,58	273,83	
	B	Gaia DR2 1719460474435650560	12 42 35,12	+80 54 16,9	-12,25	-33,73	12,425	5,422			
MFL-71	A	Gaia DR2 1719860937186422144	12 59 45,43	+81 55 39,8	-31,89	-11,05	13,616	10,503	9,96	359,10	
	B	Gaia DR2 1719860932890780544	12 59 45,35	+81 55 49,7	-33,22	-9,99	17,183	10,358			
MFL-72	A	Gaia DR2 1719354955679527552	12 41 01,18	+80 32 37,9	-84,57	17,54	15,858	7,971	4,26	84,25	9
	B	Gaia DR2 1719354955679527424	12 41 02,89	+80 32 38,3	-85,69	17,78	15,998	7,860			
MFL-73	A	Gaia DR2 1719866434744560640	12 53 29,30	+81 53 11,8	-41,72	14,01	16,804	4,722	8,29	224,64	
	B	Gaia DR2 1719866434743531904	12 53 26,54	+81 53 05,9	-41,52	14,26	17,758	4,770			
MFL-74	A	Gaia DR2 1692185954637321088	12 42 57,73	+76 12 45,4	-12,40	37,10	11,415	4,269	4,64	359,44	
	B	Gaia DR2 1692185950342107904	12 42 57,72	+76 12 50,1	-12,77	37,94	12,649	4,291			
MFL-75	A	Gaia DR2 171619561209591308	12 55 59,36	+76 43 01,8	53,29	5,41	11,952	6,383	5,94	271,89	
	B	Gaia DR2 171619561209591321	12 55 57,64	+76 43 02,0	51,94	5,17	16,780	6,314			

(Continúa en la página siguiente)

TABLA 2. ASTROMETRÍA RELATIVA DE LOS NUEVOS SISTEMAS (CONT.).

CANDIDATE	COMP.	GAIA DESIGNATION	AR_HMS (ICRS)	DEC_DMS (ICRS)	PMRA	PMDEC	g MEAN MAG.	PARA- LLAX	RHO	THETA	IMAGE
MFL-76	A	Gaia DR2 1715550267490520832	14 15 29,41	+79 59 56,2	22,44	-36,97	8,678	4,208	33,95	17,87	
	B	Gaia DR2 1715550301850259712	14 15 33,41	+80 00 28,5	22,56	-34,90	16,738	4,212			
MFL-77	A	Gaia DR2 1715243606825532928	13 42 13,36	+78 52 22,2	-33,53	30,89	8,776	6,148	22,59	338,56	
	B	Gaia DR2 1715244362739777792	13 42 10,51	+78 52 43,2	-33,86	31,11	17,292	6,007			
MFL-78	A	Gaia DR2 1727032192540911872	13 00 50,94	+86 14 18,5	-62,26	14,72	9,362	5,553	12,59	106,51	
	B	Gaia DR2 1727032192540911360	13 01 03,21	+86 14 14,9	-61,32	14,51	11,798	5,578			
MFL-79	A	Gaia DR2 1728335457417524224	13 30 00,74	+86 19 32,0	16,05	36,39	9,453	10,333	40,03	74,18	
	B	Gaia DR2 1728335491777262848	13 30 40,81	+86 19 42,9	16,21	36,62	18,345	10,460			
MFL-80	A	Gaia DR2 1729109444884582144	13 49 48,25	+88 07 39,6	-68,56	-8,38	10,586	4,256	47,82	14,47	
	B	Gaia DR2 1729109479244322432	13 50 12,64	+88 08 25,9	-69,45	-8,49	14,670	4,309			
MFL-81	A	Gaia DR2 1718627246484346880	13 07 59,58	+80 27 18,7	-39,18	9,44	10,912	4,956	5,33	324,53	
	B	Gaia DR2 1718627250780304896	13 07 58,33	+80 27 23,1	-38,54	9,41	16,861	6,317			
MFL-82	A	Gaia DR2 1719081383442628608	13 10 35,51	+81 31 19,3	-31,15	12,51	10,933	7,341	8,19	166,98	
	B	Gaia DR2 1719081383442628352	13 10 36,34	+81 31 11,3	-30,89	12,12	15,853	7,275			
MFL-83	A	Gaia DR2 1726800397449997440	13 08 53,46	+85 39 08,1	-38,12	49,40	10,940	5,232	4,70	308,22	
	B	Gaia DR2 1726800401745186560	13 08 50,21	+85 39 11,0	-37,92	49,50	18,160	5,383			
MFL-84	A	Gaia DR2 1713617772724908544	13 30 53,52	+78 08 36,9	-38,18	2,28	11,197	2,521	18,76	350,33	
	B	Gaia DR2 1713617772724908672	13 30 52,49	+78 08 55,4	-38,37	2,06	13,594	2,385			
MFL-85	A	Gaia DR2 1718227372145268864	13 16 16,02	+79 18 09,9	-34,05	10,09	11,236	6,960	10,61	151,00	
	B	Gaia DR2 1718227372145268608	13 16 17,87	+79 18 00,6	-34,17	9,13	15,765	6,973			
MFL-86	A	Gaia DR2 1715029992331458304	13 46 55,85	+77 44 30,8	-65,96	22,53	11,471	6,425	7,06	176,67	
	B	Gaia DR2 1715029992331458176	13 46 55,98	+77 44 23,8	-66,22	23,69	15,160	6,545			
MFL-87	A	Gaia DR2 1715852392670090624	14 06 56,01	+80 57 10,7	-53,14	-	11,489	3,423	4,28	219,92	24
	B	Gaia DR2 1715852461388183552	14 06 54,84	+80 57 07,5	-52,93	-	17,787	3,334			
MFL-88	A	Gaia DR2 1715635617080558720	14 05 45,23	+79 40 27,5	-32,62	41,87	11,612	2,367	4,28	253,28	21
	B	Gaia DR2 1715635617078972800	14 05 43,70	+79 40 26,2	-30,96	41,39	18,035	2,200			
MFL-89	A	Gaia DR2 1721908640154413824	14 11 45,32	+81 35 08,5	-37,92	48,72	11,713	4,233	5,09	87,33	
	B	Gaia DR2 1721908640154459008	14 11 47,64	+81 35 08,7	-40,04	52,68	18,561	3,974			
MFL-90	A	Gaia DR2 1725758305240951808	14 07 02,09	+83 48 34,6	-68,92	32,27	11,773	3,902	12,07	176,61	25
	B	Gaia DR2 1725758300944937728	14 07 02,53	+83 48 22,6	-69,32	32,60	18,209	3,697			

(Continúa en la página siguiente)

TABLA 2. ASTROMETRÍA RELATIVA DE LOS NUEVOS SISTEMAS (CONT.).

CANDIDATE	COMP.	GAIA DESIGNATION	AR_HMS (ICRS)	DEC_DMS (ICRS)	PMRA	PMDEC	g MEAN MAG.	PARA- LLAX	RHO	THETA	IMAGE
MFL-91	A	Gaia DR2 1725078012485258752	14 06 22,40	+82 41 07,6	4,39	-34,61	11,774	3,965	17,22	126,52	22
	B	Gaia DR2 1725078012485258880	14 06 29,65	+82 40 57,4	4,63	-34,80	12,257	3,954			
MFL-92	A	Gaia DR2 1718864332975559808	13 56 09,51	+80 57 21,1	-43,48	24,22	11,905	3,907	10,86	313,95	
	B	Gaia DR2 1718864328679850752	13 56 06,19	+80 57 28,6	-44,68	24,29	18,963	4,025			
MFL-93	A	Gaia DR2 1714056164331035392	14 19 33,29	+77 09 02,4	-32,73	-6,32	11,973	4,593	38,18	236,15	
	B	Gaia DR2 1714050361831195648	14 19 23,79	+77 08 41,2	-32,71	-6,56	15,726	4,663			
MFL-94	A	Gaia DR2 1719011461374971008	13 22 14,68	+81 10 33,4	-40,38	14,71	12,205	6,806	11,55	154,22	
	B	Gaia DR2 1719011461374970752	13 22 16,87	+81 10 23,0	-39,89	14,14	15,986	6,797			
MFL-95	A	Gaia DR2 1714776795419339520	13 56 13,96	+77 20 36,7	-31,00	17,64	12,668	2,266	7,27	331,43	
	B	Gaia DR2 1714776864138816640	13 56 12,91	+77 20 43,1	-30,89	17,50	16,039	2,300			
MFL-96	A	Gaia DR2 1718447068312205824	13 12 56,92	+79 37 35,2	19,71	-54,14	13,019	3,563	4,21	39,71	
	B	Gaia DR2 1718447068311229312	13 12 57,92	+79 37 38,5	19,38	-53,65	17,347	3,275			
MFL-97	A	Gaia DR2 171817722323258624	13 27 53,71	+78 56 34,7	-61,27	12,84	13,067	4,441	5,20	12,37	
	B	Gaia DR2 1718176962113644160	13 27 54,10	+78 56 39,8	-60,14	13,76	16,711	4,326			
MFL-98	A	Gaia DR2 1718669272740393984	13 03 29,18	+80 44 51,5	-32,73	5,71	13,077	5,240	5,02	109,77	
	B	Gaia DR2 1718669272740393728	13 03 31,14	+80 44 49,8	-32,69	5,58	15,021	5,281			
MFL-99	A	Gaia DR2 1716887754665564416	13 00 34,36	+78 47 21,7	40,50	19,83	13,196	13,660	4,76	170,10	11
	B	Gaia DR2 17168877546655644160	13 00 34,64	+78 47 17,0	41,71	20,77	14,047	13,660			
MFL-100	A	Gaia DR2 1713118113409452800	13 45 32,92	+76 13 41,8	-101,93	-46,14	13,610	17,006	16,64	250,08	
	B	Gaia DR2 1713118113409452544	13 45 28,54	+76 13 36,1	-102,71	-48,43	16,128	16,874			
MFL-101	A	Gaia DR2 1719230328612764288	13 21 01,16	+82 25 47,9	-103,76	15,04	13,679	4,203	5,71	47,85	14
	B	Gaia DR2 1719230332908824448	13 21 03,30	+82 25 51,7	-103,20	14,18	16,899	4,441			
MFL-102	A	Gaia DR2 1725881175665279232	14 16 14,98	+84 39 02,1	-38,75	-17,00	13,691	3,493	4,82	9,76	
	B	Gaia DR2 1725881175665279744	14 16 15,57	+84 39 06,9	-38,38	-17,05	15,735	3,475			
MFL-103	A	Gaia DR2 1715380186785435392	14 06 49,35	+78 44 36,8	-44,10	24,25	13,897	2,796	4,53	340,56	23
	B	Gaia DR2 1715380186785435520	14 06 48,83	+78 44 41,0	-43,53	24,49	17,012	2,919			
MFL-104	A	Gaia DR2 1715382420168438400	14 07 48,28	+78 51 02,4	0,93	-48,93	13,911	4,784	15,08	303,41	
	B	Gaia DR2 1715382622030919168	14 07 43,94	+78 51 10,7	0,89	-50,00	18,811	4,816			
MFL-105	A	Gaia DR2 1715285422627113344	13 49 37,26	+79 21 04,0	-44,86	-0,84	14,027	3,600	35,97	177,11	
	B	Gaia DR2 1715283940862064640	13 49 37,92	+79 20 28,1	-45,03	-0,84	17,374	3,469			

(Continúa en la página siguiente)

TABLA 2. ASTROMETRÍA RELATIVA DE LOS NUEVOS SISTEMAS (CONT.).

CANDIDATE	COMP.	GAIA DESIGNATION	AR_HMS (ICRS)	DEC_DMS (ICRS)	PMRA	PMDEC	g MEAN MAG.	PARA- LLAX	RHO	THETA	IMAGE
MFL-106	A	Gaia DR2 1713205730742243072	13 52 23,56	+76 22 50,0	-39,09	53,78	14,269	9,487			
	C	Gaia DR2 1713205730741376384	13 52 23,69	+76 22 51,2	-41,02	53,30	17,093	9,295	1,24	21,63	17 BVD 321
MFL-107	A	Gaia DR2 1716861881782510848	13 04 49,54	+78 28 13,3	42,16	-46,83	14,421	4,372			
	B	Gaia DR2 1716861877487003904	13 04 45,47	+78 28 02,2	41,88	-46,03	18,748	4,354	16,50	227,69	
MFL-108	A	Gaia DR2 1725438656595058304	13 27 25,04	+83 58 22,0	-37,46	5,64	14,501	6,166			
	B	Gaia DR2 1725438690954796928	13 27 36,97	+83 58 46,1	-38,96	5,73	16,892	8,559	30,52	38,00	
MFL-109	A	Gaia DR2 1718600347105161088	13 13 19,91	+80 27 36,9	-50,67	-36,32	14,506	5,174			
	B	Gaia DR2 1718600136651189248	13 13 24,13	+80 27 18,6	-50,69	-35,84	17,440	5,130	21,14	150,28	
MFL-110	A	Gaia DR2 1725180095267910656	13 33 22,76	+82 16 21,0	-38,61	7,71	14,552	3,065			
	B	Gaia DR2 1725180099564334080	13 33 20,54	+82 16 37,4	-38,50	8,15	17,999	2,684	17,02	344,76	16
MFL-110	A	Gaia DR2 1725180095267910656	13 33 22,76	+82 16 21,0	-38,61	7,71	14,552	3,065			
	C	Gaia DR2 1725180099562659456	13 33 20,80	+82 16 36,6	-40,55	7,90	18,260	2,719	16,10	345,78	16
MFL-111	A	Gaia DR2 1726681517051409280	13 10 57,05	+85 11 43,6	30,88	-62,88	14,576	2,286			
	B	Gaia DR2 1726681517051409408	13 11 01,07	+85 11 48,5	30,69	-62,84	16,886	2,310	7,06	45,70	13
MFL-112	A	Gaia DR2 1713247546543961216	13 55 54,28	+76 50 38,0	-31,53	12,73	14,652	2,037			
	B	Gaia DR2 1713247546543262464	13 55 54,77	+76 50 31,3	-30,96	13,15	18,287	2,118	6,90	165,92	
MFL-113	A	Gaia DR2 1718316913623501824	13 34 49,69	+79 36 04,3	-7,60	40,28	14,680	2,499			
	B	Gaia DR2 1718316909327603840	13 34 51,98	+79 36 07,5	-7,76	40,21	17,671	2,427	6,94	63,01	
MFL-114	A	Gaia DR2 1718352510312510336	13 22 27,06	+79 37 48,3	-38,40	2,54	14,691	2,320			
	B	Gaia DR2 1718352540376678528	13 22 26,17	+79 37 54,3	-38,57	2,53	18,078	2,202	6,43	338,02	
MFL-115	A	Gaia DR2 1713210781623784832	13 53 41,65	+76 23 29,9	41,14	-31,81	14,814	3,745			
	B	Gaia DR2 1713210777328113280	13 53 40,79	+76 23 41,1	40,84	-31,30	18,023	3,518	11,66	344,94	
MFL-116	A	Gaia DR2 1716302642681145088	13 00 55,03	+77 02 25,2	22,35	-58,07	14,963	3,229			
	B	Gaia DR2 1716114969790227584	13 01 07,76	+77 02 07,0	22,46	-58,33	16,009	3,266	46,55	113,02	12
MFL-117	A	Gaia DR2 1718611136063024512	13 15 38,39	+80 43 33,7	39,54	-25,42	15,097	2,794			
	B	Gaia DR2 1718611136063024640	13 15 38,05	+80 43 39,8	39,74	-25,70	16,675	2,910	6,19	352,43	
MFL-118	A	Gaia DR2 1719999956688622208	13 09 57,33	+82 41 40,3	-17,26	59,71	15,303	4,357			
	B	Gaia DR2 1720000678243128320	13 09 44,97	+82 41 47,4	-17,37	59,81	16,614	4,426	24,63	286,79	
MFL-119	A	Gaia DR2 1715411007470847488	14 03 03,03	+79 13 01,4	-32,84	14,48	15,495	2,331			
	B	Gaia DR2 1715411385427969920	14 03 07,43	+79 13 45,8	-34,39	14,01	16,586	1,715	46,07	15,56	

(Continúa en la página siguiente)

TABLA 2. ASTROMETRÍA RELATIVA DE LOS NUEVOS SISTEMAS (CONT.).

CANDIDATE	COMP.	GAIA DESIGNATION	AR_HMS (ICRS)	DEC_DMS (ICRS)	PMRA	PMDEC	g MEAN MAG.	PARA- LLAX	RHO	THETA	IMAGE
MFL-120	A	Gaia DR2 1715429596089275136	14 13 38,74	+79 25 22,1	-74,00	78,29	15,529	7,287	14,32	55,09	27
	B	Gaia DR2 1715429596089275392	14 13 43,01	+79 25 30,3	-73,58	78,22	17,555	7,190			
MFL-121	A	Gaia DR2 1725125708097988864	14 06 55,10	+82 46 21,5	-38,31	-27,02	15,612	5,198	6,33	145,62	
	B	Gaia DR2 1725125639377620224	14 06 56,99	+82 46 16,3	-38,92	-27,59	18,977	5,187			
MFL-122	A	Gaia DR2 1715706191983303552	13 57 02,89	+80 04 38,3	-44,94	18,81	15,641	3,223	31,84	190,01	18
	B	Gaia DR2 1715706084607916800	13 57 00,75	+80 04 06,9	-45,08	18,64	17,572	3,183			
MFL-123	A	Gaia DR2 1729330446722160768	13 10 03,00	+89 10 42,1	-34,70	4,14	15,797	4,993	16,45	24,97	
	B	Gaia DR2 1729330236266564480	13 10 35,29	+89 10 57,0	-34,89	4,51	17,667	4,797			
MFL-124	A	Gaia DR2 1714001364843944192	14 05 25,63	+76 59 58,5	-36,85	-40,54	15,831	4,325	13,34	166,98	
	B	Gaia DR2 1714001360548524544	14 05 26,52	+76 59 45,5	-37,30	-40,99	18,637	4,348			
MFL-125	A	Gaia DR2 1718775581771525888	13 26 27,69	+80 23 49,7	-79,68	26,61	15,839	5,816	13,22	324,68	
	B	Gaia DR2 1718775581770189696	13 26 24,63	+80 24 00,5	-80,25	26,52	16,559	5,793			
MFL-126	A	Gaia DR2 1726053627192767360	13 14 33,94	+83 24 18,0	-21,99	-74,47	15,968	5,026	6,28	18,56	
	B	Gaia DR2 1726053627192767616	13 14 35,10	+83 24 24,0	-22,80	-74,58	17,764	4,910			
MFL-127	A	Gaia DR2 1724929788870140672	14 07 29,71	+82 00 52,0	-32,41	4,03	16,148	1,381	6,18	263,68	
	B	Gaia DR2 1724929784578091776	14 07 26,76	+82 00 51,3	-33,06	4,29	18,177	1,387			
MFL-128	A	Gaia DR2 1713352687343345536	13 33 05,72	+76 26 43,8	-45,00	-11,00	16,158	3,331	5,82	83,23	
	B	Gaia DR2 1713352687343345664	13 33 07,36	+76 26 44,5	-45,14	-10,64	17,725	3,265			
MFL-129	A	Gaia DR2 1728305976761930624	14 09 24,87	+86 20 07,1	-61,17	28,33	16,221	4,584	6,18	296,95	26
	B	Gaia DR2 1728305976761930752	14 09 19,12	+86 20 09,9	-60,99	28,38	16,316	4,601			
MFL-130	A	Gaia DR2 171478212117873312	14 02 05,96	+77 15 57,9	31,08	-31,21	16,230	3,460	24,19	298,68	19
	B	Gaia DR2 1714782185602495104	14 01 59,54	+77 16 09,5	30,37	-30,92	17,628	3,395			
MFL-131	A	Gaia DR2 1718710573146454400	13 36 57,98	+80 09 41,6	-59,70	3,09	16,352	5,511	5,41	289,78	
	B	Gaia DR2 1718710568850372864	13 36 55,99	+80 09 43,4	-60,31	2,93	18,751	5,631			
MFL-132	A	Gaia DR2 1728717091031847680	13 42 21,80	+87 35 28,2	-51,08	-19,55	16,384	5,164	34,99	177,00	
	B	Gaia DR2 1728716296462107648	13 42 24,71	+87 34 53,2	-51,64	-19,72	18,495	5,337			
MFL-133	A	Gaia DR2 1713446077112259072	13 30 42,37	+76 56 43,1	-30,48	6,43	16,442	1,015	8,93	95,45	
	B	Gaia DR2 1713446077112258944	13 30 44,99	+76 56 42,3	-30,21	6,43	16,738	0,905			
MFL-134	A	Gaia DR2 1725782185259196160	13 54 05,29	+84 10 44,2	-46,82	12,75	16,514	3,877	4,00	353,58	
	B	Gaia DR2 1725782180963766400	13 54 04,99	+84 10 48,2	-46,64	13,28	18,432	3,960			

(Continúa en la página siguiente)

TABLA 2. ASTROMETRÍA RELATIVA DE LOS NUEVOS SISTEMAS (CONT.).

CANDIDATE	COMP.	GAIA DESIGNATION	AR_HMS (ICRS)	DEC_DMS (ICRS)	PMRA	PMDEC	g MEAN MAG.	PARA- LLAX	RHO	THETA	IMAGE
MFL-135	A	Gaia DR2 1718942467020696704	13 45 28,61	+81 28 18,4	-62,31	-24,08	16,591	4,162	6,48	189,24	
	B	Gaia DR2 1718942467020695680	13 45 28,15	+81 28 12,0	-61,56	-24,15	16,921	3,919			
MFL-136	A	Gaia DR2 1726581461493167744	13 29 08,06	+84 30 58,9	-45,73	38,09	16,600	6,873	5,73	113,38	15
	B	Gaia DR2 1726581457197183104	13 29 11,73	+84 30 56,6	-45,25	36,68	18,195	6,858			
MFL-137	A	Gaia DR2 1725922166833169792	14 09 48,73	+84 51 15,6	-30,48	7,52	16,633	5,651	12,15	333,34	
	B	Gaia DR2 1725922162537228160	14 09 44,67	+84 51 26,5	-30,25	8,03	17,369	5,766			
MFL-138	A	Gaia DR2 1715687156688216704	13 48 56,39	+79 48 34,1	-36,03	24,14	16,898	1,883	8,65	203,42	
	B	Gaia DR2 1715687156688216576	13 48 55,10	+79 48 26,2	-36,33	24,12	17,468	1,983			
MFL-139	A	Gaia DR2 1726630424120376960	13 27 25,28	+84 59 04,9	-31,79	3,74	16,955	1,844	57,85	2,90	
	B	Gaia DR2 1726630802077500288	13 27 27,51	+85 00 02,7	-32,02	3,61	17,163	1,680			
MFL-140	A	Gaia DR2 1714042218573187840	14 19 19,97	+76 51 23,3	-50,65	-15,40	17,082	4,238	6,32	329,44	
	B	Gaia DR2 1714042218573187968	14 19 19,03	+76 51 28,7	-50,35	-15,55	17,494	4,166			
MFL-141	A	Gaia DR2 1715307309780512768	13 44 24,03	+79 41 00,1	-47,14	19,05	17,267	2,338	52,21	133,29	
	B	Gaia DR2 1715307099326245504	13 44 38,18	+79 40 24,3	-47,04	19,53	18,333	5,929			
MFL-142	A	Gaia DR2 1724922362870397952	14 02 40,15	+81 53 19,6	-32,92	5,42	17,322	0,322	24,31	10,50	20
	B	Gaia DR2 1724922362870398976	14 02 42,24	+81 53 43,5	-32,95	5,63	17,922	0,249			
MFL-143	A	Gaia DR2 1714858537236945792	13 55 29,03	+77 48 22,7	-47,90	18,98	17,612	2,605	4,32	173,67	
	B	Gaia DR2 1714858537236945408	13 55 29,18	+77 48 18,4	-47,27	18,72	17,939	2,608			
MFL-144	A	Gaia DR2 1715830058840179712	13 57 55,92	+80 38 42,9	-42,90	31,09	18,135	2,789	4,26	315,32	
	B	Gaia DR2 1715830810458492032	13 57 54,70	+80 38 45,9	-42,55	30,71	18,592	2,744			
MFL-145	A	Gaia DR2 1713471980059218048	13 26 43,55	+77 19 00,4	-45,11	6,01	18,791	2,607	9,14	192,39	
	B	Gaia DR2 1713471911339741184	13 26 42,96	+77 18 51,5	-45,38	6,23	18,991	2,135			
MFL-146	A	Gaia DR2 1721615585945889024	14 34 37,20	+80 42 31,7	-57,63	52,02	8,898	7,906	14,42	244,18	29
	B	Gaia DR2 1721615654665365632	14 34 31,84	+80 42 25,4	-56,52	52,76	14,935	7,911			
MFL-147	A	Gaia DR2 1707271048012470272	15 28 10,06	+77 10 11,2	-28,30	36,27	10,405	3,565	59,70	147,28	32
	B	Gaia DR2 17072709792993152	15 28 19,75	+77 09 21,0	-30,34	36,92	11,043	3,278			
MFL-148	A	Gaia DR2 1701162092688377984	15 23 07,40	+76 19 54,7	-30,98	35,39	11,125	4,650	59,96	142,71	31
	B	Gaia DR2 1701161886529946880	15 23 17,64	+76 19 07,0	-30,59	35,30	13,823	4,630			
MFL-149	A	Gaia DR2 1727162037993113344	14 59 16,85	+84 42 43,0	16,15	32,34	11,270	7,112	4,33	270,73	
	B	Gaia DR2 1727162037993113216	14 59 13,71	+84 42 43,0	15,23	31,32	14,199	6,941			

(Continúa en la página siguiente)

TABLA 2. ASTROMETRÍA RELATIVA DE LOS NUEVOS SISTEMAS (CONT.).

CANDIDATE	COMP.	GAIA DESIGNATION	AR_HMS (ICRS)	DEC_DMS (ICRS)	PMRA	PMDEC	g MEAN MAG.	PARA- LLAX	RHO	THETA	IMAGE
MFL-150	A	Gaia DR2 1714512324217299968	14 36 03,37	+78 20 44,0	-52,88	29,92	11,275	3,571	11,00	48,12	
	B	Gaia DR2 1714512362873280128	14 36 06,07	+78 20 51,3	-52,85	30,31	15,979	3,541			
MFL-151	A	Gaia DR2 1702194534107091968	14 53 08,79	+77 06 12,0	-43,95	9,95	11,396	4,034	5,70	141,19	
	B	Gaia DR2 1702194327947988864	14 53 09,86	+77 06 07,5	-44,23	9,08	18,412	4,001			
MFL-152	A	Gaia DR2 1721692272585954560	14 56 09,09	+81 14 18,9	-38,26	17,19	11,403	2,481	29,79	346,40	
	B	Gaia DR2 1721692345601143168	14 56 06,02	+81 14 47,8	-38,04	16,99	15,018	2,524			
MFL-153	A	Gaia DR2 1720888602601300736	14 50 20,28	+80 27 59,8	39,19	5,35	11,543	6,727	13,69	53,76	
	B	Gaia DR2 1720888632665726592	14 50 24,72	+80 28 07,8	39,52	5,86	18,787	6,746			
MFL-154	A	Gaia DR2 1720879840867958272	14 57 15,63	+80 28 34,4	9,90	40,78	11,643	4,306	30,41	34,43	
	B	Gaia DR2 1720879840867082368	14 57 22,55	+80 28 59,5	10,28	40,95	18,033	4,454			
MFL-155	A	Gaia DR2 1729353978845608448	14 55 05,53	+89 30 23,7	-31,26	-17,46	11,684	3,865	8,40	185,05	
	B	Gaia DR2 1729353978846829440	14 54 59,81	+89 30 15,3	-31,06	-18,07	18,938	4,131			
MFL-156	A	Gaia DR2 1701850215168772352	15 06 59,87	+76 12 14,3	-45,73	38,94	11,744	11,355	7,35	67,75	
	B	Gaia DR2 1701850249528510848	15 07 01,77	+76 12 17,1	-44,78	42,40	16,706	11,308			
MFL-157	A	Gaia DR2 1709052424351661056	15 48 01,03	+80 19 51,3	9,20	-55,04	11,767	6,827	9,77	279,95	
	B	Gaia DR2 1709052325569357184	15 47 57,21	+80 19 53,0	9,10	-54,77	15,643	6,846			
MFL-158	A	Gaia DR2 1721664131960637568	14 40 16,74	+80 49 54,0	-92,29	51,31	11,899	6,985	17,04	170,55	
	B	Gaia DR2 1721664097600976256	14 40 17,91	+80 49 37,2	-92,23	50,37	18,647	7,009			
MFL-159	A	Gaia DR2 1727632830831518080	14 53 48,44	+86 16 31,2	19,00	-34,37	11,942	6,217	11,36	239,79	30
	B	Gaia DR2 1727632835128084864	14 53 38,36	+86 16 25,5	18,12	-34,96	13,905	6,244			
MFL-160	A	Gaia DR2 1728460213331787392	14 34 11,75	+87 11 00,6	-30,97	9,03	12,135	4,640	10,25	312,05	
	B	Gaia DR2 1728460217628099328	14 34 01,43	+87 11 07,5	-30,66	9,01	15,315	4,676			
MFL-161	A	Gaia DR2 1728087380107212032	15 46 11,95	+87 17 51,8	-38,30	26,64	12,207	4,780	7,19	52,87	
	B	Gaia DR2 1728087380107212160	15 46 20,05	+87 17 56,2	-38,76	27,47	17,626	4,800			
MFL-162	A	Gaia DR2 1727136989743812224	14 56 35,51	+84 23 37,5	-40,01	30,78	12,238	2,528	7,31	18,95	
	B	Gaia DR2 1727136989742491008	14 56 37,13	+84 23 44,4	-40,50	31,26	18,925	2,757			
MFL-163	A	Gaia DR2 1720742917310891904	14 44 30,42	+79 49 08,0	-39,67	22,82	12,279	6,179	8,44	323,36	
	B	Gaia DR2 1720742917310892544	14 44 28,52	+79 49 14,8	-40,36	22,99	16,945	6,117			
MFL-164	A	Gaia DR2 1727463510337229184	14 54 40,89	+85 43 42,5	-33,08	7,36	12,355	6,250	9,79	280,60	
	B	Gaia DR2 1727463510337228928	14 54 32,28	+85 43 44,3	-33,33	7,32	15,637	6,245			

(Continúa en la página siguiente)

TABLA 2. ASTROMETRÍA RELATIVA DE LOS NUEVOS SISTEMAS (CONT.).

CANDIDATE	COMP.	GAIA DESIGNATION	AR_HMS (ICRS)	DEC_DMS (ICRS)	PMRA	PMDEC	g MEAN MAG.	PARA- LLAX	RHO	THETA	IMAGE
MFL-165	A	Gaia DR2 1725625397477140096	14 48 38,15	+84 03 14,4	-9,67	30,10	12,364	3,010	18,83	189,82	
	B	Gaia DR2 1725625397477722624	14 48 36,09	+84 02 55,9	-10,13	30,66	18,879	2,996			
MFL-166	A	Gaia DR2 1722266836130605696	15 28 07,29	+82 44 43,8	-20,39	61,67	12,411	2,716	7,63	115,49	
	B	Gaia DR2 1722266771707930752	15 28 10,92	+82 44 40,5	-20,12	60,85	16,100	2,527			
MFL-167	A	Gaia DR2 1721209449542078976	15 44 35,10	+81 41 46,5	-17,41	31,75	12,414	4,541	9,68	237,44	
	B	Gaia DR2 1721209449542205824	15 44 31,33	+81 41 41,3	-17,33	31,85	18,535	4,481			
MFL-168	A	Gaia DR2 1708503909784919168	15 15 19,31	+79 00 38,9	-9,11	38,31	12,488	5,299	23,54	129,11	
	B	Gaia DR2 1708503909784876928	15 15 25,70	+79 00 24,1	-8,91	38,48	14,365	5,292			
MFL-169	A	Gaia DR2 1725662883952045056	14 30 03,02	+84 02 51,9	-54,95	39,86	12,981	6,503	4,19	177,52	28
	B	Gaia DR2 1725662888247649920	14 30 03,13	+84 02 47,7	-55,23	39,91	13,176	6,464			
MFL-170	A	Gaia DR2 1707769470377259904	15 58 37,12	+78 21 59,1	27,65	-92,34	13,063	4,541	7,46	356,62	
	B	Gaia DR2 1707769470377260288	15 58 36,97	+78 22 06,5	27,84	-92,04	14,812	4,556			
MFL-171	A	Gaia DR2 1706922434106816384	15 39 54,14	+76 05 50,0	-50,07	33,48	13,130	2,891	4,07	131,87	
	B	Gaia DR2 1706922434105667200	15 39 54,98	+76 05 47,3	-51,41	32,17	18,226	2,933			
MFL-172	A	Gaia DR2 1707093683043056000	15 43 22,95	+76 43 09,4	-6,97	-40,75	13,160	2,054	5,69	316,54	
	B	Gaia DR2 1707093678747634304	15 43 21,81	+76 43 13,5	-7,33	-41,35	18,571	1,896			
MFL-173	A	Gaia DR2 1702225079914460544	14 59 33,41	+77 00 11,1	-54,74	37,55	13,332	7,495	31,52	326,63	
	B	Gaia DR2 1702225286072891008	14 59 28,27	+77 00 37,4	-54,74	37,75	17,458	7,452			
MFL-174	A	Gaia DR2 1729037667391218560	15 48 16,76	+88 26 06,7	50,24	10,32	13,424	6,707	5,21	310,78	
	B	Gaia DR2 1729037667389346816	15 48 07,12	+88 26 10,2	49,82	10,97	17,318	6,458			
MFL-175	A	Gaia DR2 1702336542905790464	15 03 46,51	+77 50 43,6	-36,76	-8,30	13,464	0,896	8,38	107,70	
	B	Gaia DR2 1702336542905790592	15 03 49,03	+77 50 41,0	-36,68	-8,31	14,975	0,922			
MFL-176	A	Gaia DR2 1722195062933439360	14 54 19,63	+82 24 21,7	-79,63	6,71	13,470	4,760	14,44	160,56	
	B	Gaia DR2 1722195062933439104	14 54 22,05	+82 24 08,1	-79,37	6,94	16,713	4,812			
MFL-177	A	Gaia DR2 1721795562255330944	14 21 35,48	+80 55 28,8	-31,69	9,21	13,673	3,978	35,04	70,30	
	B	Gaia DR2 172179559615069824	14 21 49,42	+80 55 40,6	-32,10	9,67	16,938	3,984			
MFL-178	A	Gaia DR2 1721931248862066176	14 27 22,48	+81 30 13,3	-47,70	-17,88	13,737	5,390	6,58	96,42	
	B	Gaia DR2 1721931248862066432	14 27 25,43	+81 30 12,6	-47,30	-17,81	16,419	5,481			
MFL-179	A	Gaia DR2 1727420766822643072	14 40 34,39	+85 05 02,0	-32,45	42,33	14,265	3,921	2,07	117,75	37
	B	Gaia DR2 1727420766822642944	14 40 35,82	+85 05 01,0	-34,33	41,82	15,453	3,550			

(Continúa en la página siguiente)

TABLA 2. ASTROMETRÍA RELATIVA DE LOS NUEVOS SISTEMAS (CONT.).

CANDIDATE	COMP.	GAIA DESIGNATION	AR_HMS (ICRS)	DEC_DMS (ICRS)	PMRA	PMDEC	g MEAN MAG.	PARA- LLAX	RHO	THETA	IMAGE
MFL-180	A	Gaia DR2 1702304760147827840	14 55 46,15	+77 33 00,3	-35,83	17,12	14,282	3,891	15,47	335,99	
	B	Gaia DR2 1702304828867304832	14 55 44,20	+77 33 14,5	-33,12	15,68	16,811	3,659			
MFL-181	A	Gaia DR2 1708890044524771840	15 43 10,80	+79 43 54,0	-32,84	37,30	14,414	5,973	7,96	357,51	
	B	Gaia DR2 1708890040228608768	15 43 10,67	+79 44 01,9	-32,81	38,11	18,868	5,861			
MFL-182	A	Gaia DR2 1708618258994305408	15 55 18,67	+79 11 34,2	-14,04	30,57	14,417	2,538	14,57	84,31	
	B	Gaia DR2 1708618258994305792	15 55 23,83	+79 11 35,7	-14,04	30,82	16,494	2,540			
MFL-183	A	Gaia DR2 1707036267920248064	15 47 54,58	+76 36 13,3	-31,72	-13,65	14,640	3,368	31,90	258,59	
	B	Gaia DR2 1707036263624585472	15 47 45,59	+76 36 07,0	-31,50	-13,26	17,509	3,217			
MFL-184	A	Gaia DR2 1714435671937139584	14 49 02,36	+78 30 19,2	-32,84	15,55	14,856	2,403	14,04	244,49	
	B	Gaia DR2 1714435637576488320	14 48 58,13	+78 30 13,1	-32,13	16,00	18,405	2,421			
MFL-185	A	Gaia DR2 1722913765581564032	15 49 00,85	+82 08 58,6	-30,57	57,67	14,914	8,284	6,36	154,78	
	B	Gaia DR2 1722913696862087168	15 49 02,18	+82 08 52,8	-29,61	57,85	17,084	8,191			
MFL-186	A	Gaia DR2 1707325370759008128	15 47 38,28	+77 22 16,3	-71,63	73,08	14,921	3,634	6,06	248,09	
	B	Gaia DR2 1707325366463760512	15 47 36,57	+77 22 14,0	-72,16	73,60	18,941	3,537			
MFL-187	A	Gaia DR2 1722203412349883136	15 01 10,55	+82 36 36,2	6,68	-34,54	15,121	5,652	29,05	223,38	
	B	Gaia DR2 1722203412349883008	15 01 00,21	+82 36 15,1	6,21	-35,84	17,288	5,680			
MFL-188	A	Gaia DR2 1708405744012116352	15 11 49,99	+78 49 23,7	-2,35	-39,99	15,168	0,984	8,73	60,33	
	B	Gaia DR2 1708405744012116480	15 11 52,60	+78 49 28,0	-2,48	-39,94	16,814	0,924			
MFL-189	A	Gaia DR2 1715460485494021504	14 27 46,78	+79 21 06,2	-33,31	7,18	15,183	2,208	5,71	321,20	
	B	Gaia DR2 1715460485492555904	14 27 45,49	+79 21 10,7	-33,36	7,21	18,293	2,277			
MFL-190	A	Gaia DR2 1701931475950082304	15 00 23,16	+76 34 45,4	37,31	-8,76	15,189	4,921	17,37	314,92	
	B	Gaia DR2 1701931475950082432	15 00 19,62	+76 34 57,6	37,47	-8,47	16,751	4,851			
MFL-191	A	Gaia DR2 1722160600115878656	14 47 04,71	+82 06 53,0	14,22	-45,38	15,308	3,696	9,58	140,68	
	B	Gaia DR2 1722160595819576960	14 47 07,66	+82 06 45,6	14,36	-45,38	18,193	3,645			
MFL-192	A	Gaia DR2 1702089668185545984	14 52 53,63	+76 22 27,7	-19,65	30,68	15,793	2,180	13,81	229,12	
	B	Gaia DR2 1702089663890392960	14 52 50,67	+76 22 18,7	-19,81	31,05	18,427	2,186			
MFL-193	A	Gaia DR2 1701715043958272128	14 42 28,72	+76 04 31,3	-17,20	-38,89	15,795	5,165	31,91	337,85	
	B	Gaia DR2 1701715039662661504	14 42 25,39	+76 05 00,9	-17,33	-38,84	17,665	5,116			
MFL-194	A	Gaia DR2 1728949637741499392	14 46 32,26	+88 14 48,0	3,34	33,31	16,215	5,389	29,54	241,73	
	B	Gaia DR2 1728949672101236608	14 45 35,58	+88 14 34,0	3,36	33,53	16,762	5,389			

(Continúa en la página siguiente)

TABLA 2. ASTROMETRÍA RELATIVA DE LOS NUEVOS SISTEMAS (CONT.).

CANDIDATE	COMP.	GAIA DESIGNATION	AR_HMS (ICRS)	DEC_DMS (ICRS)	PMRA	PMDEC	g MEAN MAG.	PARA- LLAX	RHO	THETA	IMAGE
MFL-195	A	Gaia DR2 1720990925903011968	15 30 55,87	+80 20 18,2	-20,57	31,28	16,669	3,578	9,59	347,57	
	B	Gaia DR2 1720990990326135296	15 30 55,05	+80 20 27,6	-21,31	31,06	18,781	3,430			
MFL-196	A	Gaia DR2 1724127557698974720	15 04 08,91	+84 09 30,9	-13,66	32,05	16,810	3,129	13,61	57,80	
	B	Gaia DR2 1724127553402860160	15 04 16,45	+84 09 38,1	-13,94	31,63	18,937	3,191			
MFL-197	A	Gaia DR2 1708541155741291776	15 19 50,54	+79 22 51,5	-47,35	28,73	16,911	0,819	5,44	94,19	
	B	Gaia DR2 1708541185807175168	15 19 52,50	+79 22 51,1	-47,44	28,92	18,836	0,791			
MFL-198	A	Gaia DR2 1701220018912262528	15 18 54,01	+76 26 22,9	-36,24	21,92	17,151	2,897	10,98	237,17	
	B	Gaia DR2 1701220018912262016	15 18 51,38	+76 26 16,9	-35,99	21,78	17,761	3,064			
MFL-199	A	Gaia DR2 1722136410859998208	14 51 43,37	+81 45 09,5	-43,14	40,45	17,223	2,845	20,42	316,93	
	B	Gaia DR2 1722139365797497984	14 51 36,89	+81 45 24,4	-44,12	40,26	18,175	2,891			
MFL-200	A	Gaia DR2 1727555246542960896	15 02 47,32	+85 45 49,1	-32,86	47,86	17,516	5,603	12,04	191,09	
	B	Gaia DR2 1727555250838764672	15 02 45,23	+85 45 37,3	-32,81	47,68	17,967	5,794			
MFL-201	A	Gaia DR2 1725597944046005248	14 44 23,13	+83 49 41,3	-	24,17	17,906	2,364	45,76	117,60	
	B	Gaia DR2 1725597875326526592	14 44 48,27	+83 49 20,1	189,3 -	25,51	18,980	2,182			
MFL-202	A	Gaia DR2 1702088804896925184	14 53 04,32	+76 20 06,6	-33,70	56,89	18,334	7,554	35,62	307,89	
	B	Gaia DR2 1702088809192084608	14 52 56,39	+76 20 28,5	-34,38	56,46	18,817	7,620			
MFL-203	A	Gaia DR2 1727556517853293312	15 03 47,02	+85 48 43,5	-34,46	24,83	18,450	1,836	28,26	71,52	
	B	Gaia DR2 1727556552213032832	15 04 11,49	+85 48 52,5	-34,06	25,26	18,641	1,788			
MFL-204	A	Gaia DR2 1709947190595606144	17 51 57,21	+81 39 45,2	-17,43	102,51	8,792	10,182	7,66	290,57	
	B	Gaia DR2 1709947259315082752	17 51 53,91	+81 39 47,9	-17,13	100,48	16,204	10,122			
MFL-205	A	Gaia DR2 1710945100476368384	17 22 30,29	+82 36 02,3	-19,75	36,06	8,975	7,251	4,85	238,80	
	B	Gaia DR2 1710945100476368000	17 22 28,15	+82 35 59,8	-19,42	35,37	16,534	7,140			
MFL-206	A	Gaia DR2 1707655911441479552	16 09 24,09	+78 06 57,0	-31,61	12,19	9,498	5,256	5,78	150,51	
	B	Gaia DR2 1707655907146318464	16 09 25,01	+78 06 51,9	-30,78	12,58	15,843	5,237			
MFL-207	A	Gaia DR2 1705886247477326592	16 59 30,60	+77 47 50,4	-56,31	172,04	10,781	7,623	4,63	88,57	
	B	Gaia DR2 1705886247475544064	16 59 32,06	+77 47 50,5	-56,71	171,75	16,608	7,556			
MFL-208	A	Gaia DR2 1728186782829518208	16 25 39,19	+87 32 26,7	18,97	46,52	10,810	4,404	18,90	152,82	
	B	Gaia DR2 1728186714110041216	16 25 52,60	+87 32 09,9	18,92	46,64	16,388	4,430			
MFL-209	A	Gaia DR2 1710395997497286272	16 41 50,27	+80 47 33,9	-7,45	-33,80	11,153	3,853	30,58	186,40	
	B	Gaia DR2 1710395963137547648	16 41 48,85	+80 47 03,5	-7,44	-34,12	15,681	3,886			

(Continúa en la página siguiente)

TABLA 2. ASTROMETRÍA RELATIVA DE LOS NUEVOS SISTEMAS (CONT.).

CANDIDATE	COMP.	GAIA DESIGNATION	AR_HMS (ICRS)	DEC_DMS (ICRS)	PMRA	PMDEC	g MEAN MAG.	PARA- LLAX	RHO	THETA	IMAGE
MFL-210	A	Gaia DR2 1710611089459539200	16 13 00,13	+81 22 33,8	-13,62	35,87	11,477	3,528	6,96	59,29	
	B	Gaia DR2 1710611089458627456	16 13 02,79	+81 22 37,3	-13,60	35,98	18,029	3,490			
MFL-211	A	Gaia DR2 1723092195702144768	16 28 13,81	+83 20 02,6	-30,94	-60,93	11,531	6,770	4,74	252,10	
	B	Gaia DR2 1723092195702144640	16 28 11,22	+83 20 01,2	-31,22	-59,42	17,177	6,892			
MFL-212	A	Gaia DR2 1728145070107171456	17 00 11,81	+87 37 17,5	108,2 9	-20,46	11,848	10,562	28,50	23,33	
	B	Gaia DR2 1728145070107172480	17 00 29,94	+87 37 43,7	107,5 5	-20,26	16,260	10,649			
MFL-213	A	Gaia DR2 1657315390039369856	17 53 19,33	+78 02 07,5	29,27	31,57	11,996	5,089	8,24	217,81	
	B	Gaia DR2 1657315385743351040	17 53 17,71	+78 02 01,0	27,68	31,48	17,391	5,732			
MFL-214	A	Gaia DR2 1711357589135441664	17 49 10,56	+83 52 27,3	-20,90	53,16	12,016	4,118	15,00	256,61	
	B	Gaia DR2 1711357589135441152	17 49 01,44	+83 52 23,9	-20,52	52,93	18,124	4,143			
MFL-215	A	Gaia DR2 170579092926457344	16 54 37,65	+77 41 09,6	-86,24	-60,13	12,100	3,685	8,32	292,97	
	B	Gaia DR2 1705790933562683776	16 54 35,25	+77 41 12,8	-86,21	-59,68	18,585	3,771			
MFL-216	A	Gaia DR2 1704590438663629056	16 31 54,06	+77 59 16,7	-13,63	37,23	12,320	2,090	5,27	11,40	
	B	Gaia DR2 1704590434368619008	16 31 54,39	+77 59 21,9	-13,82	38,47	18,710	1,874			
MFL-217	A	Gaia DR2 1723116488037192320	16 27 31,01	+83 36 02,9	-31,92	25,54	12,345	2,713	5,37	4,94	
	B	Gaia DR2 1723116483741887872	16 27 31,29	+83 36 08,3	-31,26	26,10	17,770	2,889			
MFL-218	A	Gaia DR2 1709902660374580352	17 43 02,23	+81 15 06,6	-84,35	-20,12	12,476	4,541	4,02	70,15	
	B	Gaia DR2 1709903038329881216	17 43 03,89	+81 15 07,9	-84,31	-19,27	17,094	4,696			
MFL-219	A	Gaia DR2 1706831827476914048	17 51 27,39	+80 38 02,1	-14,30	40,74	12,503	2,224	19,51	80,97	
	B	Gaia DR2 1706831823180618880	17 51 35,28	+80 38 05,1	-13,98	40,46	18,945	1,946			
MFL-220	A	Gaia DR2 1723632017255971200	17 19 58,97	+84 27 36,7	-37,41	66,34	12,534	2,244	7,60	42,35	
	B	Gaia DR2 1723632021551713792	17 20 02,51	+84 27 42,4	-37,68	66,58	16,784	2,168			
MFL-221	A	Gaia DR2 1710440562077978880	16 48 05,65	+81 12 29,5	-17,42	38,11	12,552	3,222	20,33	254,34	
	B	Gaia DR2 1710440562077978624	16 47 57,11	+81 12 24,0	-17,55	37,68	15,488	3,191			
MFL-222	A	Gaia DR2 1707857912343468544	16 09 42,53	+78 36 55,4	-42,27	-57,15	12,672	4,267	6,07	20,59	
	B	Gaia DR2 1707857908048197888	16 09 43,25	+78 37 01,1	-41,98	-57,40	16,282	4,066			
MFL-223	A	Gaia DR2 1706619720515921152	17 24 27,09	+79 30 27,6	-35,12	-29,97	12,709	4,777	13,81	313,16	
	B	Gaia DR2 1706619724812826624	17 24 23,40	+79 30 37,0	-35,04	-29,90	15,346	4,745			
MFL-224	A	Gaia DR2 1704153554590320512	16 13 16,60	+76 20 27,6	-15,27	31,54	12,715	1,614	8,79	135,94	
	B	Gaia DR2 1704153550294266624	16 13 18,33	+76 20 21,3	-15,31	31,47	17,412	1,542			

(Continúa en la página siguiente)

TABLA 2. ASTROMETRÍA RELATIVA DE LOS NUEVOS SISTEMAS (CONT.).

CANDIDATE	COMP.	GAIA DESIGNATION	AR_HMS (ICRS)	DEC_DMS (ICRS)	PMRA	PMDEC	g MEAN MAG.	PARA- LLAX	RHO	THETA	IMAGE
MFL-225	A	Gaia DR2 1705694623215855872	17 43 07,77	+79 04 35,8	14,02	-77,56	12,769	5,567	5,94	100,64	35
	B	Gaia DR2 1705694623215856128	17 43 09,83	+79 04 34,7	14,44	-78,22	14,811	5,612			
MFL-226	A	Gaia DR2 1709018240708846720	16 00 55,72	+80 22 21,7	39,98	-76,63	13,004	5,149	4,02	96,19	
	B	Gaia DR2 1709018240707091712	16 00 57,31	+80 22 21,3	40,72	-76,60	18,938	5,617			
MFL-227	A	Gaia DR2 1705316425575636096	17 38 53,66	+77 34 49,9	-32,24	13,80	13,170	1,746	4,43	150,42	
	B	Gaia DR2 1705316421281275904	17 38 54,33	+77 34 46,0	-32,11	14,05	18,030	1,721			
MFL-228	A	Gaia DR2 1703465569549198592	16 39 23,83	+76 27 41,6	-45,42	-31,59	13,265	3,677	5,99	343,75	
	B	Gaia DR2 1703465569549198848	16 39 23,35	+76 27 47,4	-41,32	-32,99	13,674	3,648			
MFL-229	A	Gaia DR2 1724525787066205696	17 52 47,75	+85 52 11,3	-23,13	-42,50	13,310	6,055	30,45	236,41	
	B	Gaia DR2 1724525787066204800	17 52 24,27	+85 51 54,5	-22,24	-43,55	18,435	6,218			
MFL-230	A	Gaia DR2 1724319834794292480	16 35 26,95	+84 21 36,0	-11,53	31,63	13,356	2,564	37,60	159,02	
	B	Gaia DR2 1724319624339963904	16 35 36,09	+84 21 00,9	-10,99	31,65	17,774	2,493			
MFL-231	A	Gaia DR2 1709853521651715328	17 45 01,27	+81 08 50,9	9,61	46,54	13,373	2,995	9,91	319,06	
	B	Gaia DR2 1709853727810307328	17 44 58,45	+81 08 58,4	9,90	46,68	16,768	3,016			
MFL-232	A	Gaia DR2 1705518289038496000	17 30 36,48	+78 25 55,8	-16,84	-41,19	13,489	1,106	5,00	153,58	
	B	Gaia DR2 1705518289038496128	17 30 37,22	+78 25 51,3	-16,98	-41,53	16,877	1,251			
MFL-233	A	Gaia DR2 1706789290120854272	17 58 25,50	+80 42 38,3	62,55	121,63	13,501	5,499	7,11	75,46	36
	B	Gaia DR2 1706789290120854784	17 58 28,34	+80 42 40,1	63,23	121,59	16,458	5,425			
MFL-234	A	Gaia DR2 1728018145234287616	16 01 36,19	+86 59 46,3	-45,06	22,34	13,606	4,444	19,81	95,99	
	B	Gaia DR2 1728018145234287872	16 02 01,25	+86 59 44,3	-42,96	22,23	15,985	2,227			
MFL-235	A	Gaia DR2 1704556285083630976	16 21 46,58	+77 34 11,3	19,17	-38,25	13,649	4,678	7,32	164,60	
	B	Gaia DR2 1704556285083630080	16 21 47,18	+77 34 04,3	19,12	-38,14	16,674	4,727			
MFL-236	A	Gaia DR2 1728027044406553472	16 18 42,69	+87 11 16,7	-42,03	-14,07	13,678	0,984	13,67	324,15	
	B	Gaia DR2 1728027040109963520	16 18 31,81	+87 11 27,8	-41,89	-13,30	18,907	0,951			
MFL-237	A	Gaia DR2 1706489604482646528	17 56 57,19	+79 44 22,5	24,58	78,64	13,729	4,659	4,94	177,28	
	B	Gaia DR2 1706489604481637888	17 56 57,28	+79 44 17,6	24,31	78,47	17,935	4,539			
MFL-238	A	Gaia DR2 1710695683135264256	16 35 48,44	+81 46 18,9	-30,72	15,66	14,104	7,781	5,08	220,90	
	B	Gaia DR2 1710695683135264128	16 35 46,89	+81 46 15,0	-30,90	15,90	17,512	7,564			
MFL-239	A	Gaia DR2 1711034676314188288	17 28 20,17	+82 37 51,7	-31,17	15,35	14,318	2,071	9,70	17,94	
	B	Gaia DR2 1711035427932386560	17 28 21,73	+82 38 00,9	-31,67	14,99	17,953	2,139			

(Continúa en la página siguiente)

TABLA 2. ASTROMETRÍA RELATIVA DE LOS NUEVOS SISTEMAS (CONT.).

CANDIDATE	COMP.	GAIA DESIGNATION	AR_HMS (ICRS)	DEC_DMS (ICRS)	PMRA	PMDEC	g MEAN MAG.	PARA- LLAX	RHO	THETA	IMAGE
MFL-240	A	Gaia DR2 1710717432849667200	16 40 36,97	+81 50 01,2	26,59	-40,59	14,414	3,538	4,95	141,85	
	B	Gaia DR2 1710717432849667072	16 40 38,40	+81 49 57,3	26,47	-39,92	17,186	3,489			
MFL-241	A	Gaia DR2 1703458113485950720	16 36 30,18	+76 17 48,6	9,25	33,80	14,448	2,418	20,02	69,87	
	B	Gaia DR2 1703458109189627136	16 36 35,48	+76 17 55,5	9,01	33,56	17,947	2,259			
MFL-242	A	Gaia DR2 1711213553112082176	17 12 14,58	+83 06 17,0	-27,99	47,75	14,481	5,133	17,86	285,98	
	B	Gaia DR2 1711213617536275200	17 12 05,05	+83 06 21,9	-26,45	49,34	17,124	4,961			
MFL-243	A	Gaia DR2 1709968012596127872	17 08 59,40	+80 46 52,4	-2,25	31,19	14,559	1,765	45,65	135,28	
	B	Gaia DR2 170996804269577792	17 09 12,77	+80 46 20,0	-2,16	31,54	18,015	2,337			
MFL-244	A	Gaia DR2 1709158565879714688	16 42 31,07	+78 55 27,9	-24,61	59,88	14,571	6,226	9,05	294,00	
	B	Gaia DR2 1709158565879714560	16 42 28,20	+78 55 31,6	-25,21	59,70	17,572	6,061			
MFL-245	A	Gaia DR2 1710438466133947008	16 52 07,87	+81 13 23,0	-38,20	8,17	14,691	1,197	5,05	227,37	
	B	Gaia DR2 1710438466133946752	16 52 06,25	+81 13 19,6	-38,21	8,09	14,934	1,196			
MFL-246	A	Gaia DR2 1710434858361537280	16 56 45,48	+81 20 25,7	-26,08	56,83	14,795	2,860	7,83	170,99	
	B	Gaia DR2 1710434854065410048	16 56 46,03	+81 20 17,9	-27,00	56,19	17,919	2,850			
MFL-247	A	Gaia DR2 1724365979922951168	17 01 05,92	+84 56 03,5	-13,59	143,26	14,833	5,909	6,90	245,72	34
	B	Gaia DR2 1724365979921783808	17 01 01,18	+84 56 00,7	-13,15	143,61	16,816	5,808			
MFL-247	A	Gaia DR2 1724365979922951168	17 01 05,92	+84 56 03,5	-13,59	143,26	14,833	5,909	1,41	18,23	34
	C	Gaia DR2 1724365979921784320	17 01 06,26	+84 56 04,8	-12,75	145,17	17,306	5,934			
MFL-248	A	Gaia DR2 1709547140160768640	16 47 58,14	+79 57 02,9	-22,18	30,98	15,167	3,778	18,76	94,88	
	B	Gaia DR2 1709547071441292160	16 48 05,28	+79 57 01,3	-22,08	30,44	17,251	1,668			
MFL-249	A	Gaia DR2 1706178717569785344	16 52 36,14	+78 31 17,8	49,03	-49,64	15,814	5,809	4,42	297,62	
	B	Gaia DR2 1706178713274548224	16 52 34,83	+78 31 19,8	50,69	-49,23	18,347	5,614			
MFL-250	A	Gaia DR2 1706852340240710528	17 47 14,01	+80 51 32,3	9,09	40,26	15,887	5,360	13,02	278,33	
	B	Gaia DR2 1706852404664026880	17 47 08,60	+80 51 34,2	9,07	40,38	17,096	5,333			
MFL-251	A	Gaia DR2 1724652024744802176	16 37 04,23	+85 34 54,9	-9,42	30,58	16,027	2,993	6,90	199,72	
	B	Gaia DR2 1724652024744801664	16 37 02,22	+85 34 48,4	-9,93	30,22	17,306	2,887			
MFL-252	A	Gaia DR2 1709886064620985728	17 52 42,66	+81 21 41,8	7,92	-41,16	16,128	2,548	8,74	323,47	
	B	Gaia DR2 1709886064620985344	17 52 40,35	+81 21 48,8	7,87	-40,92	16,198	2,461			
MFL-253	A	Gaia DR2 1709596102788028928	16 53 12,79	+80 28 48,8	33,80	100,88	16,145	4,367	4,22	340,55	33
	B	Gaia DR2 1709596098492919936	16 53 12,22	+80 28 52,8	33,50	101,64	17,867	4,312			

(Continúa en la página siguiente)

TABLA 2. ASTROMETRÍA RELATIVA DE LOS NUEVOS SISTEMAS (CONT.).

CANDIDATE	COMP.	GAIA DESIGNATION	AR_HMS (ICRS)	DEC_DMS (ICRS)	PMRA	PMDEC	g MEAN MAG.	PARA- LLAX	RHO	THETA	IMAGE
MFL-254	A	Gaia DR2 1656720691687586048	17 11 34,93	+76 15 27,1	32,17	18,86	16,155	2,993	5,98	39,15	
	B	Gaia DR2 1656720687392205568	17 11 35,99	+76 15 31,7	31,92	20,18	18,898	2,749			
MFL-255	A	Gaia DR2 1723239667699290624	17 10 37,40	+83 25 05,3	11,55	-35,99	16,393	4,958	50,44	55,93	
	B	Gaia DR2 1723239598979814528	17 11 01,70	+83 25 33,6	11,54	-35,96	16,527	4,956			
MFL-256	A	Gaia DR2 1705961082987529600	17 02 30,26	+78 15 20,1	-31,27	23,65	16,495	2,599	19,35	241,43	
	B	Gaia DR2 1705960700733958016	17 02 24,70	+78 15 10,8	-31,65	23,93	18,143	2,653			
MFL-257	A	Gaia DR2 1723537016875093504	17 11 36,80	+84 22 51,8	-8,44	35,08	16,661	2,126	11,24	353,13	
	B	Gaia DR2 1723537016875093632	17 11 35,89	+84 23 03,0	-8,55	34,97	16,800	2,209			
MFL-258	A	Gaia DR2 1711131776934690560	17 16 12,36	+82 35 18,8	-2,23	39,82	16,898	3,925	10,89	70,09	
	B	Gaia DR2 1711131772638924928	17 16 17,66	+82 35 22,5	-2,27	39,61	17,507	3,874			
MFL-259	A	Gaia DR2 1703452512848579328	16 34 39,21	+76 08 36,0	-9,32	48,20	17,208	6,173	7,75	257,37	
	B	Gaia DR2 1703452478488840704	16 34 37,11	+76 08 34,3	-8,69	47,46	18,587	5,828			
MFL-260	A	Gaia DR2 1722739664786689536	16 08 36,02	+82 12 49,8	13,36	31,35	17,326	4,095	4,78	241,56	
	B	Gaia DR2 1722739660491065984	16 08 33,95	+82 12 47,5	13,21	31,61	18,399	3,929			
MFL-261	A	Gaia DR2 1707863955361906944	16 10 45,21	+78 39 50,9	-44,29	-13,99	18,092	1,153	4,63	260,18	
	B	Gaia DR2 1707863955361791232	16 10 43,66	+78 39 50,1	-44,22	-14,46	18,769	1,076			
MFL-262	A	Gaia DR2 1705097790265008384	17 13 00,17	+77 39 25,1	38,97	-14,39	18,207	3,270	4,85	355,88	
	B	Gaia DR2 1705097790265234688	17 13 00,06	+77 39 29,9	39,47	-14,78	18,630	3,396			

TABLA 3. CATÁLOGO FOTOGRÁFICO.

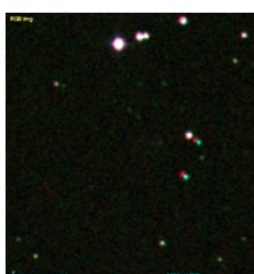


Imagen 1.- MFL 45

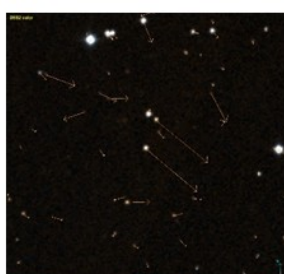


Imagen 2.- MFL 41

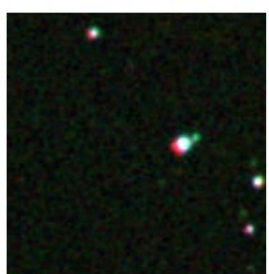


Imagen 3.- MFL 43

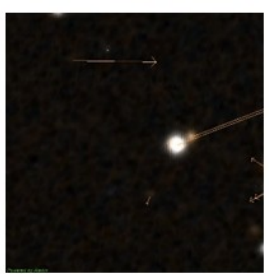


Imagen 4.- MFL 42

TABLA 3. CATÁLOGO FOTOGRÁFICO (CONT.).



Imagen 5.- MFL 60



Imagen 6.- MFL 63

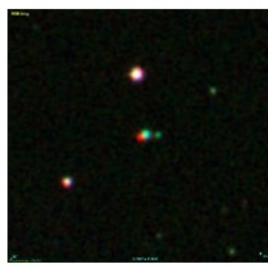
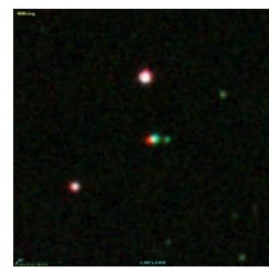


Imagen 7.- MFL 62

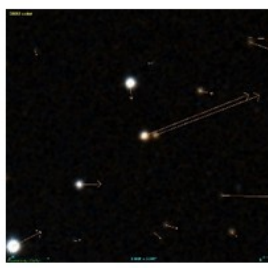


Imagen 8.- MFL 57



Imagen 9.- MFL 72



Imagen 10.- MFL 67

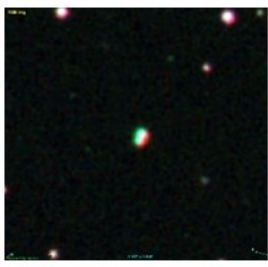


Imagen 11.- MFL 99

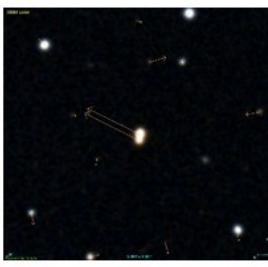


Imagen 12.- MFL 116



Imagen 13.- MFL 111



Imagen 14.- MFL 101



(Continúa en la página siguiente)

TABLA 3. CATÁLOGO FOTOGRÁFICO (CONT.).

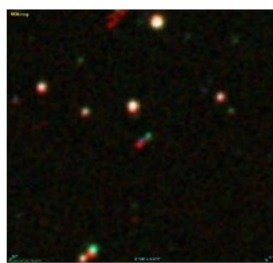


Imagen 15.- MFL 136

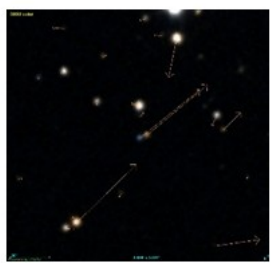


Imagen 16.- MFL 110

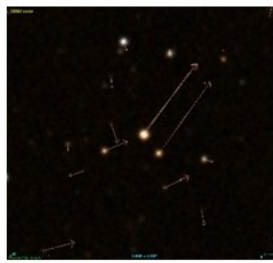


Imagen 17.- MFL 106

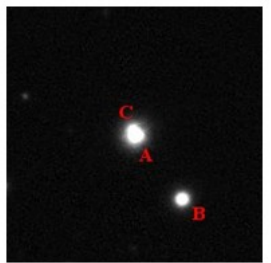


Imagen 18.- MFL 122

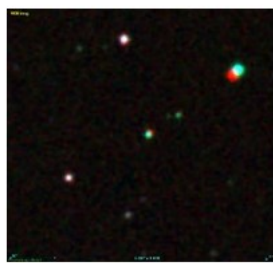
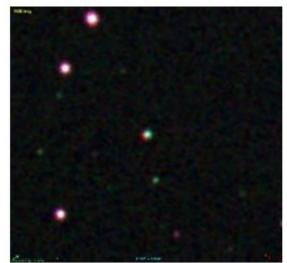


Imagen 19.- MFL 130



Imagen 20.- MFL 142



Imagen 21.- MFL 88

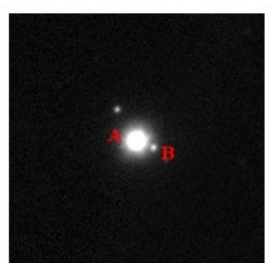


Imagen 22.- MFL 91

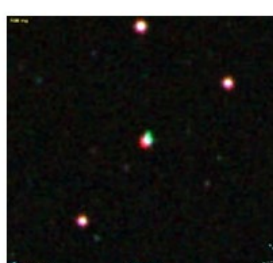
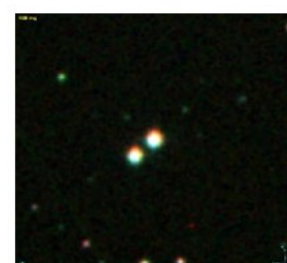


Imagen 23.- MFL 013



Imagen 24.- MFL 87

(Continúa en la página siguiente)

TABLA 3. CATÁLOGO FOTOGRÁFICO (CONT.).



Imagen 25.- MFL 90



Imagen 26.- MFL 129

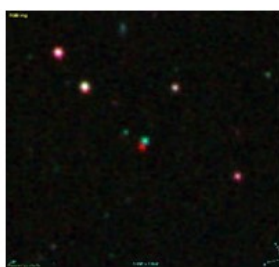


Imagen 27.- MFL 120



Imagen 28.- MFL 169

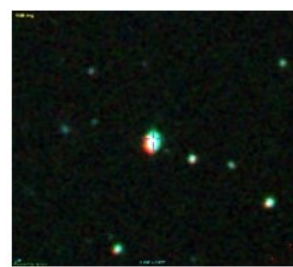


Imagen 29.- MFL 146

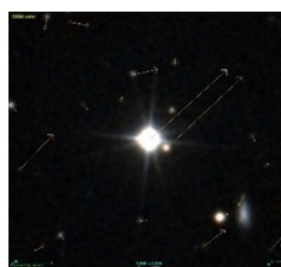


Imagen 30.- MFL 159

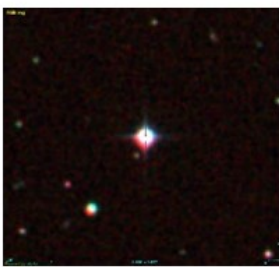


Imagen 31.- MFL 148

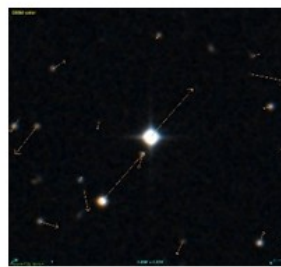


Imagen 32.- MFL 147

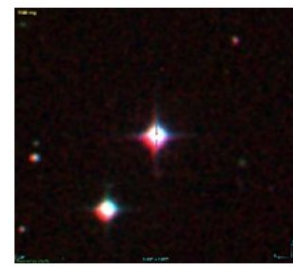


Imagen 33.- MFL 253



Imagen 34.- MFL 247

(Continúa en la página siguiente)

TABLA 3. CATÁLOGO FOTOGRÁFICO (CONT.).



Imagen 35.- MFL 225

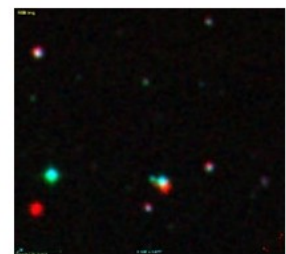
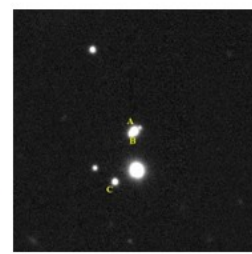


Imagen 36.- MFL 233



Imagen 37.- MFL 179



Estrellas dobles con movimiento propio común y GAIA DR2: identificación de 218 nuevos pares, 8 nuevos sistemas triples y uno cuádruple (2^a serie)

MPC Double Stars and GAIA DR2: identification of 218 new binaries, 8 triple and one new quadruple systems (2nd Series)

Gianpiero Locatelli

Maritime Alps Observatory (Italia) — IAU MPC K32

■ Correo-e: locatellivet@inode.it

En este artículo se presenta el descubrimiento de nuevos pares de movimiento propio común obtenidos por medio de una búsqueda en el catálogo Gaia DR2 entre las declinaciones +76° y +90° y entre los 90° y los 180° en ascensión recta. La existencia de los nuevos pares ha sido confirmada sobre placas del *Digital Sky Survey*.

In this paper we present the discovery of new common proper motion pairs obtained by means of a search in the Gaia DR2 catalog between the declinations +76° and +90° and between 90° and 180° in right ascension. The actual existence of the new pairs has been ascertained by examination of *Digital Sky Survey plates*.

Introducción

“EL HAMBRE VIENE COMIENDO”. El autor, cuyos conocimientos del idioma cervantino no son de nivel académico, no sabe si este refrán forma parte de la tradición hispánica, pero se trata de un refrán muy común en la península itálica. Su significado es bastante intuitivo: si se quiere algo, es normal que nuestra naturaleza nos empuje a querer más del objeto de nuestros deseos. Así pasa con los descubrimientos de estrellas dobles. Un primer trabajo de búsqueda publicado en el número 22 de *El Observador de Estrellas Dobles* (Locatelli, 2019), ha producido el descubrimiento de 123 nuevos pares y dos sistemas triples. En este artículo se presentan los resultados fruto del hambre de descubrimientos: 218 nuevos pares, 8 sistemas triples y un sistema cuádruple de movimiento propio común.

En lo que concierne el área de estudio, se ha investigado una porción de cielo por encima de la declinación 76° y entre los 90° y los 180° en ascensión recta (es decir entre las 6 y las 12 horas). En concreto ha sido analizado un cuarto de cielo por encima de los 76° en declinación.

Otras consideraciones pueden leerse en la introducción del artículo mencionado.

Metodología

Los métodos utilizados en esta búsqueda son

idénticos a los de la primera, por lo tanto, uno puede referirse al artículo de OED 22. Para el lector que quiera ir enseguida al grano, los elementos fundamentales son los siguientes.

La búsqueda se configura como minería de datos sobre el catálogo *Gaia DR2*, realizada por medio de un software expresamente concebido. Los criterios de selección pueden resumirse así:

- Distancia entre 1 y 60 arcosegundos
- Magnitud G entre 8 y 19
- Movimiento propio de al menos 40 arcseg/año en AR o DEC
- Diferencia entre los movimientos propios no superior al 10 por ciento.

Todos los nuevos pares han sido visualizados sobre placas DSS (*Digital Sky Survey*) o Pan STARRS DR1 (*Panoramic Survey Telescope & Rapid Response System*) por medio del observatorio virtual *Aladin Sky Atlas*.

Igualmente, todos los nuevos sistemas han sido investigados por su eventual presencia en el catálogo de referencia para las estrellas dobles, el *Washington Double Stars catalog* (WDS).

Resultados

Como la caza de nuevos sistemas ha sido bas-

Distribución porcentual de separaciones

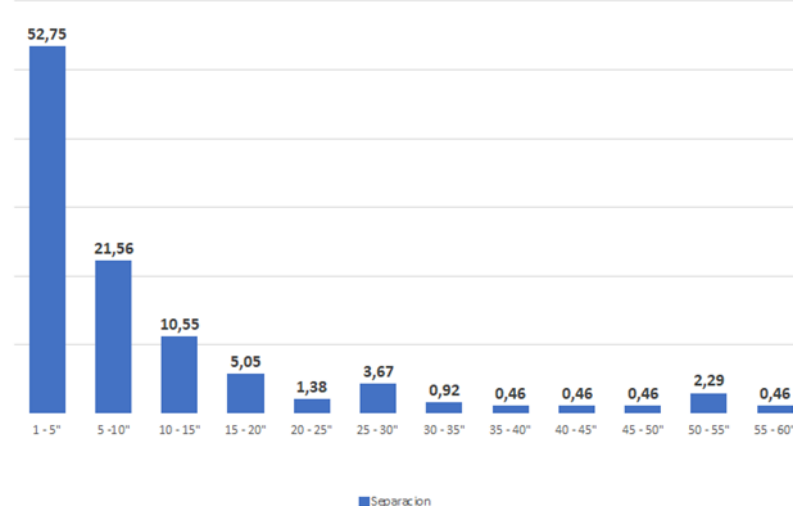


Figura 1. Distribución porcentual de separaciones de los sistemas de movimiento propio común encontrados.

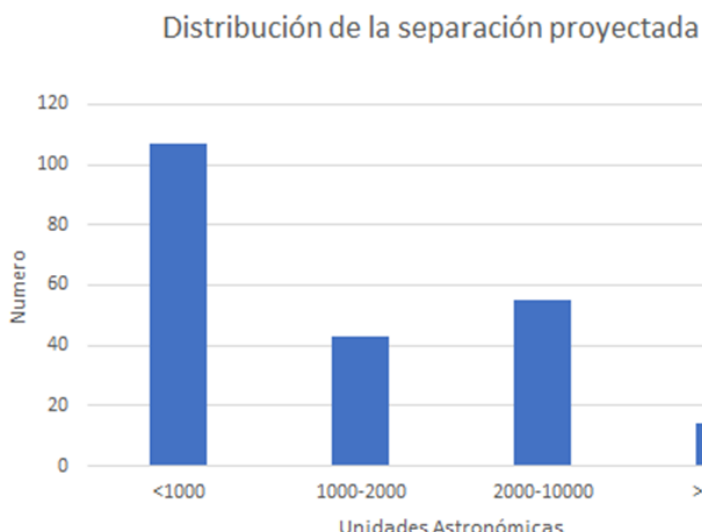


Figura 2. Distribución de la separación proyectada en unidades astronómicas de los sistemas descubiertos.

tante fructífera, parece conveniente analizar los resultados divididos por categorías; es decir, sistemas dobles, triples y el cuádruple.

Sistemas dobles

Por supuesto, los nuevos sistemas dobles constituyen la mayoría de los resultados obtenidos. Se encontraron 218 nuevas parejas. Los descubrimientos están resumidos en la tabla 1.

Sobre los datos obtenidos pueden hacerse algunas consideraciones. Las magnitudes resultaron bastante débiles, situándose entre 8,135 y 19,321 con promedio de 15,702. El dato de la separación siempre es interesante, siendo indicio de una posible naturaleza física del par. En la figura 1 se puede apreciar visual-

mente como la mayoría de las separaciones (más de la mitad) se sitúan por debajo de los cinco segundos de arco. En el ya mencionado artículo de OED 22 se pueden encontrar consideraciones sobre las posibles interpretaciones de estos datos. Para profundizar aún más en el concepto de cercanía entre las estrellas que forman parte de la pareja, en este trabajo se ha añadido el dato de la línea de separación proyectada. Recordamos que este valor se calcula teniendo en cuenta el precioso dato de la paralaje que nos ofrece el catálogo *Gaia DR2*. La figura 2 muestra como casi la mitad de las parejas tienen valores de separación proyectada por debajo de las 1000 unidades astronómicas; la probabilidad que dentro de este grupo puedan encontrarse dobles de carácter físico es bastante alta.

Sistemas triples

Se encontraron 8 sistemas triples. En la tabla 2 se resumen los datos de los sistemas descubiertos. Un breve comentario para cada uno parece conveniente.

- LOC 351. Sistema triple que se configura con una jerarquía AC,B. Hay que destacar que la componente C tiene una magnitud G Gaia que no queda dentro de los parámetros de la búsqueda, sin embargo los movimientos propios y la paralaje, nos indican que forma parte del sistema.
- LOC 352. La jerarquía de este sistema es AB,C. La pareja AB, con magnitudes bastante brillantes y velocidades radiales muy parecidas ($A = -11,21$ km/s y $B = -11,12$ km/s) sugieren una fuerte probabilidad de que la pareja sea física.
- LOC 353. Otro sistema con jerarquía AB,C.
- LOC 354. En este caso las componentes BC tienen magnitudes muy parecidas. Al tener en cuenta los datos de la fotometría de *Gaia*, el sistema se configura como AC,B.
- LOC 355. Sistema con jerarquía A,BC.
- LOC 356. Aquí tenemos un sistema de jerarquía AB,C. También en este caso no son respetados los parámetros iniciales de búsqueda, estando la componente C alejada más de 60 segundos de arco, pero sus movimientos propios y su paralaje sugieren la inclusión en el sistema.
- LOC 357. Sistema jerarquizado en forma de AB,C.

- LOC 358. Magnitudes bastante parecidas entre las tres componentes. La jerarquía es AC,B.

Sistema cuádruple

La caza a las dobles puede también reservar sorpresas muy interesantes. En el curso de la búsqueda se encontró un sistema cuádruple muy atractivo. Al comprobar el descubrimiento en el catálogo WDS resultó que ya existía un par con nombre UC 2028 cuya astrometría relativa es de 17,387 segundos de arco en separación y 137,04 grados de ángulo de posición. Sin embargo, los datos proporcionados por *Gaia DR2* indican claramente que ambas componentes tienen en realidad una compañera muy cercana de movimiento propio común, siendo la compañera de la componente B un poco más brillante con respecto a la compañera de la componente A. Por lo tanto el sistema se configura como un sistema del tipo Epsilon Lyrae, o sea doble-doble; su denominación provisional es LOC 359. Su jerarquía resulta ser AD,BC. En el anexo se puede encontrar la imagen DSS que explica con claridad estos conceptos.

Galería de imágenes

Todas las imágenes que aparecen en la tabla 4 han sido tomadas utilizando un telescopio Schmidt-

Cassegrain de 0,25 metros de diámetro, reductor de focal y cámara con chip KAF 8300. La escala de placa resultante es de 0,77"/píxel. Han sido utilizados filtros Sloan, junto al nombre de la imagen aparece el filtro específico. 

Referencias

Este trabajo ha utilizado los siguientes recursos:

— Gaia Archive – European Space Agency (ESA)
<https://gea.esac.esa.int/archive/>

— Aladin Sky Atlas - Centre de données astronomiques de Strasbourg (CDS)
<http://cdsweb.u-strasbg.fr>

— Washington Double Star Catalog (WDS) - United States Naval Observatory
<https://ad.usno.navy.mil/wds/>

Igualmente, se ha utilizado la siguiente bibliografía:

Benavides, R., González, J. L., Masa, E.: *Observación de estrellas dobles*. Ed. Marcombo (2017).

Locatelli, G.: *Estrellas dobles y GAIA DR2: identificación de 123 nuevos pares y 2 nuevos sistemas triples con mpc*. OED n. 22. Enero - Junio 2019

TABLA 1. NUEVOS PARES MPC IDENTIFICADOS.

N.º	DESIGN. PROV.	DESIGNACIÓN GAIA	COMP.	AR	DEC	MP AR	MP DEC	MAG G	PARALAJE	ρ ("")	θ (°)
1	LOC 133	Gaia DR2 1116276126380113024	A	6 05 33,22	+76 10 46,23	28,29	-57,70	12,029	7,73	5,794	311,17
		Gaia DR2 1116276126380113536	B	6 05 32,00	+76 10 50,04	26,63	-58,93	14,735	7,83		
2	LOC 134	Gaia DR2 1116291691341638912	A	6 00 33,12	+76 16 21,89	15,33	-45,16	13,744	3,57	1,379	129,72
		Gaia DR2 1116291691339837568	B	6 00 33,42	+76 16 21,01	15,44	-45,83	16,600	3,66		
3	LOC 135	Gaia DR2 1116767848595514368	A	6 17 04,89	+77 15 03,20	-8,70	-48,50	9,503	5,43	14,510	56,39
		Gaia DR2 1116767814235775360	B	6 17 08,54	+77 15 11,23	-9,14	-48,19	17,606	5,25		
4	LOC 136	Gaia DR2 1140896906144965888	A	6 06 34,18	+78 14 11,11	23,55	-	11,908	5,25	3,080	178,56
		Gaia DR2 1140896906144966272	B	6 06 34,20	+78 14 08,03	24,22	-	16,793	5,33		
5	LOC 137	Gaia DR2 1140935801368619776	A	6 09 34,42	+78 37 40,76	-14,91	-48,56	16,919	2,81	28,075	59,33
		Gaia DR2 1140935835728357888	B	6 09 42,58	+78 37 55,09	-14,39	-48,87	17,271	2,71		
6	LOC 138	Gaia DR2 1140972806807203840	A	6 19 44,08	+78 40 07,92	15,44	-55,60	17,768	2,41	1,481	323,27
		Gaia DR2 1140972802510532096	B	6 19 43,78	+78 40 09,11	15,87	-55,26	18,553	2,49		
7	LOC 139	Gaia DR2 1143281059671678080	A	6 15 10,96	+81 36 14,79	-41,60	-	11,706	5,53	5,822	30,42
		Gaia DR2 1143280990952201088	B	6 15 12,30	+81 36 19,81	-41,45	-	16,350	5,55		
8	LOC 140	Gaia DR2 1143144307912795648	A	6 12 04,77	+81 05 29,93	21,48	-48,54	13,710	4,21	25,439	2,23
		Gaia DR2 1143144337975342080	B	6 12 05,20	+81 05 55,35	22,40	-49,80	17,526	4,15		

(Continúa en la página siguiente)

TABLA 1. NUEVOS PARES MPC IDENTIFICADOS (CONT.).

N.º	DESIGN. PROV.	DESIGNACIÓN GAIA	COMP.	AR	DEC	MP AR	MP DEC	MAG G	PARALAJE	ρ ("")	θ (°)
9	LOC 141	Gaia DR2 1150065905407262080	A	6 10 30,61	+85 04 09,84	-65,15	-99,18	13,691	9,29	2,668	113,36
		Gaia DR2 1150065905405976064	B	6 10 32,51	+85 04 08,78	-63,67	-97,49	17,495	9,53		
10	LOC 142	Gaia DR2 1150487911713975552	A	6 14 55,63	+85 47 42,50	-15,80	-51,43	14,419	2,31	2,053	312,28
		Gaia DR2 1150487911712707968	B	6 14 54,25	+85 47 43,88	-14,37	-50,57	18,376	3,69		
11	LOC 143	Gaia DR2 1150478050469095808	A	6 09 46,70	+85 34 20,05	16,72	-47,16	15,280	1,32	42,096	78,62
		Gaia DR2 1150478011813022592	B	6 10 22,34	+85 34 28,36	15,81	-50,08	18,664	1,76		
12	LOC 144	Gaia DR2 1150617963322575360	A	6 13 29,62	+86 17 04,04	83,88	-28,04	17,631	2,84	1,554	325,18
		Gaia DR2 1150617959027233152	B	6 13 28,71	+86 17 05,31	84,17	-29,58	18,730	2,51		
13	LOC 145	Gaia DR2 1115720254532905344	A	6 39 09,80	+76 07 07,49	9,53	-52,56	16,966	3,14	2,758	65,14
		Gaia DR2 1115720254532905088	B	6 39 10,50	+76 07 08,65	9,36	-52,51	17,110	3,04		
14	LOC 146	Gaia DR2 1140562242294108928	A	6 31 21,72	+77 16 11,62	60,88	-79,57	12,069	9,86	5,118	90,02
		Gaia DR2 1140562242292142976	B	6 31 23,27	+77 16 11,62	60,58	-79,86	18,136	9,93		
15	LOC 147	Gaia DR2 1140644636946543872	A	6 31 13,32	+77 40 14,62	6,45	-59,87	12,611	3,60	3,780	318,23
		Gaia DR2 1140644636946758400	B	6 31 12,54	+77 40 17,44	6,46	-60,33	18,192	3,61		
16	LOC 148	Gaia DR2 1140685765552944384	A	6 39 07,94	+77 52 34,99	-1,47	-55,85	17,555	3,51	2,829	142,73
		Gaia DR2 1140685765551499008	B	6 39 08,48	+77 52 32,74	-1,35	-56,16	18,394	3,15		
17	LOC 149	Gaia DR2 1140667383093262720	A	6 23 35,60	+78 02 08,19	56,32	-114,48	13,378	15,94	13,257	16,24
		Gaia DR2 1140667413159303424	B	6 23 36,79	+78 02 20,92	59,81	-113,70	18,008	15,85		
18	LOC 150	Gaia DR2 1141227962223988224	A	6 27 03,63	+79 23 00,85	-20,56	-89,71	13,768	6,76	28,588	162,77
		Gaia DR2 1141227957927435008	B	6 27 06,69	+79 22 33,55	-21,14	-89,52	16,333	6,73		
19	LOC 151	Gaia DR2 1141160617136818944	A	6 37 37,23	+79 07 50,26	-51,40	-141,97	14,178	5,12	13,154	322,36
		Gaia DR2 1141160612840779136	B	6 37 34,39	+79 08 00,68	-51,76	-141,57	18,132	5,20		
20	LOC 152	Gaia DR2 1143223507109936512	A	6 28 34,44	+81 38 40,42	14,50	-87,68	11,575	3,63	6,575	222,90
		Gaia DR2 1143223674612498176	B	6 28 32,38	+81 38 35,60	13,28	-86,83	15,776	3,03		
21	LOC 153	Gaia DR2 1143067616975724672	A	6 32 25,73	+81 50 08,43	-57,05	-61,32	14,891	4,59	3,434	224,35
		Gaia DR2 1143067616975724800	B	6 32 24,60	+81 50 05,97	-56,41	-61,16	16,269	4,52		
22	LOC 154	Gaia DR2 1143801712786516992	A	6 25 48,82	+83 10 42,08	5,32	-43,44	10,447	3,32	1,975	6,40
		Gaia DR2 1143801712785614848	B	6 25 48,94	+83 10 44,04	5,72	-44,02	12,895	3,33		

(Continúa en la página siguiente)

TABLA 1. NUEVOS PARES MPC IDENTIFICADOS (CONT.).

N.º	DESIGN. PROV.	DESIGNACIÓN GAIA	COMP.	AR	DEC	MP AR	MP DEC	MAG G	PARALAJE	ρ (")	θ (°)
23	LOC 155	Gaia DR2 1150080405216783104	A	6 26 34,08	+85 04 42,84	9,67	-63,70	13,522	2,46	1,054	305,06
		Gaia DR2 1150080405215430016	B	6 26 33,41	+85 04 43,44	9,24	-63,84	16,478	2,70		
24	LOC 156	Gaia DR2 1150599649583061248	A	6 30 14,81	+86 01 24,17	-4,77	-44,56	17,520	1,82	3,938	267,55
		Gaia DR2 1150599649583061632	B	6 30 11,03	+86 01 24,00	-5,00	-44,14	18,734	1,94		
25	LOC 157	Gaia DR2 1115723931024895488	A	6 41 25,62	+76 07 57,98	4,70	-47,22	11,586	4,99	13,807	57,01
		Gaia DR2 1115723931024894464	B	6 41 28,84	+76 08 05,50	4,90	-47,17	16,585	5,11		
26	LOC 158	Gaia DR2 1139783577606289920	A	6 43 27,07	+76 48 28,24	27,39	-163,65	13,637	11,81	10,183	44,68
		Gaia DR2 1139783581900837888	B	6 43 29,16	+76 48 35,48	27,73	-164,75	18,884	11,89		
27	LOC 159	Gaia DR2 1140390271803185408	A	6 52 16,13	+78 51 37,25	50,29	-15,68	13,381	8,57	49,249	317,25
		Gaia DR2 1140390336226149504	B	6 52 04,59	+78 52 13,42	50,25	-15,33	17,853	8,75		
28	LOC 160	Gaia DR2 1140474758102599936	A	6 54 23,21	+78 57 01,09	-9,34	-60,89	16,478	4,35	4,965	99,32
		Gaia DR2 1140474551944412160	B	6 54 24,91	+78 57 00,28	-9,27	-60,79	17,276	4,42		
29	LOC 161	Gaia DR2 1142795002515741312	A	6 48 58,97	+79 57 07,24	-41,43	-71,46	10,483	4,85	1,635	244,00
		Gaia DR2 1142795006811749376	B	6 48 58,40	+79 57 06,52	-40,49	-68,98	13,380	4,90		
30	LOC 162	Gaia DR2 1140527985634335360	A	6 56 00,61	+79 25 19,37	7,50	-55,36	14,723	3,56	13,401	12,66
		Gaia DR2 1140527981337526016	B	6 56 01,68	+79 25 32,44	7,10	-55,93	18,611	3,37		
31	LOC 163	Gaia DR2 1140492904341654912	A	6 53 10,63	+79 03 24,29	5,91	41,68	16,017	6,37	9,202	295,91
		Gaia DR2 1140492904341655552	B	6 53 07,73	+79 03 28,31	6,25	41,55	18,229	6,40		
32	LOC 164	Gaia DR2 1143378538248983808	A	6 54 51,45	+81 41 16,00	-16,15	-44,51	15,006	5,51	15,647	73,56
		Gaia DR2 1143378469529506176	B	6 54 58,37	+81 41 20,43	-15,80	-44,48	15,069	5,55		
33	LOC 165	Gaia DR2 1149649602817740800	A	6 59 25,75	+83 28 28,82	14,07	-50,01	10,487	3,56	10,337	18,16
		Gaia DR2 1149649598521114240	B	6 59 27,64	+83 28 38,64	13,91	-49,61	18,379	3,94		
34	LOC 166	Gaia DR2 1143518038786610048	A	6 53 50,04	+82 26 49,03	-11,59	-88,29	15,481	5,85	4,031	246,23
		Gaia DR2 1143518038786610432	B	6 53 48,17	+82 26 47,40	-11,31	-88,87	17,064	5,83		
35	LOC 167	Gaia DR2 1150391738806469376	A	6 49 04,77	+85 03 30,60	-3,25	-44,61	12,215	2,70	19,846	147,99
		Gaia DR2 1150391670087025280	B	6 49 12,91	+85 03 13,77	-3,51	-44,55	14,609	2,74		
36	LOC 168	Gaia DR2 1150414759831103872	A	6 41 13,61	+85 17 12,33	-39,97	-65,80	15,819	4,52	4,234	300,40
		Gaia DR2 1150414759831104128	B	6 41 10,64	+85 17 14,47	-39,28	-65,53	16,678	4,53		

(Continúa en la página siguiente)

TABLA 1. NUEVOS PARES MPC IDENTIFICADOS (CONT.).

N.º	DESIGN. PROV.	DESIGNACIÓN GAIA	COMP.	AR	DEC	MP AR	MP DEC	MAG G	PARALAJE	ρ (")	θ (°)
37	LOC 169	Gaia DR2 1152737581222619264	A	6 43 58,77	+88 38 03,76	-8,61	-47,38	16,204	4,91	1,094	42,17
		Gaia DR2 1152737581222619008	B	6 44 00,83	+88 38 04,58	-8,12	-48,44	16,776	5,06		
38	LOC 170	Gaia DR2 1139530488069172864	A	7 04 49,96	+76 27 59,19	-14,17	-65,23	16,659	3,66	1,174	103,96
		Gaia DR2 1139530488067744128	B	7 04 50,28	+76 27 58,90	-14,29	-65,08	18,150	3,73		
39	LOC 171	Gaia DR2 1139877246550159744	A	7 01 48,24	+77 24 05,20	14,81	-62,29	9,957	4,73	7,844	37,53
		Gaia DR2 1139877177828357760	B	7 01 49,70	+77 24 11,42	13,95	-62,07	15,418	4,70		
40	LOC 172	Gaia DR2 1140044097439197824	A	7 11 40,68	+77 11 50,86	-26,04	-43,36	10,483	4,38	11,385	170,83
		Gaia DR2 1139668781719955840	B	7 11 41,23	+77 11 39,62	-26,56	-43,61	18,933	4,20		
41	LOC 173	Gaia DR2 1139988743900618496	A	7 18 09,31	+77 14 22,13	5,85	-52,31	10,942	7,56	14,456	148,46
		Gaia DR2 1139988709540879232	B	7 18 11,59	+77 14 09,81	5,53	-51,44	15,892	7,66		
42	LOC 174	Gaia DR2 1140048598564935168	A	7 09 58,02	+77 19 17,87	-30,00	-43,11	17,796	3,91	16,336	298,94
		Gaia DR2 1140048594268395776	B	7 09 53,67	+77 19 25,78	-29,72	-43,68	18,521	3,90		
43	LOC 175	Gaia DR2 1140193287423356160	A	7 13 23,48	+78 13 25,81	-28,84	-46,90	9,574	2,54	34,953	335,65
		Gaia DR2 1140193287421208064	B	7 13 18,78	+78 13 57,65	-28,66	-46,84	18,799	2,51		
44	LOC 176	Gaia DR2 1142016037183301376	A	7 00 51,52	+79 30 21,09	63,59	38,91	11,486	5,84	3,876	213,32
		Gaia DR2 1142016032887532544	B	7 00 50,74	+79 30 17,85	63,61	38,91	13,534	5,79		
45	LOC 177	Gaia DR2 1142091693030917248	A	7 14 13,94	+79 59 19,24	-37,41	-47,87	11,654	2,39	4,563	286,98
		Gaia DR2 1142091697326855552	B	7 14 12,26	+79 59 20,57	-37,27	-47,57	15,159	2,45		
46	LOC 178	Gaia DR2 1142147360102884352	A	7 15 46,15	+80 36 06,42	-16,91	-53,07	12,192	3,13	50,258	280,50
		Gaia DR2 1142147321447583232	B	7 15 25,97	+80 36 15,58	-16,93	-53,47	17,84	3,06		
47	LOC 179	Gaia DR2 1142111557255636864	A	7 12 43,14	+80 11 43,84	3,44	-75,20	15,20	3,23	3,607	126,39
		Gaia DR2 1142111557254660608	B	7 12 44,28	+80 11 41,70	3,24	-75,71	18,28	3,35		
48	LOC 180	Gaia DR2 1142203499619367680	A	7 07 46,81	+80 46 54,96	44,37	-50,22	16,553	1,89	18,785	238,82
		Gaia DR2 1142203499619366656	B	7 07 40,12	+80 46 45,23	44,31	-50,30	17,152	1,87		
49	LOC 181	Gaia DR2 1142207730163123968	A	7 06 33,06	+81 00 25,32	27,16	-61,86	12,607	5,77	10,970	237,91
		Gaia DR2 1142207725866892160	B	7 06 29,09	+81 00 19,49	26,46	-61,45	17,203	5,64		
50	LOC 182	Gaia DR2 1142744562419611392	A	7 13 47,92	+81 59 23,98	-27,08	-66,39	13,015	4,08	1,048	209,16
		Gaia DR2 1142744566715543936	B	7 13 47,68	+81 59 23,06	-27,73	-66,59	16,488	4,72		

(Continúa en la página siguiente)

TABLA 1. NUEVOS PARES MPC IDENTIFICADOS (CONT.).

N.º	DESIGN. PROV.	DESIGNACIÓN GAIA	COMP.	AR	DEC	MP AR	MP DEC	MAG G	PARALAJE	ρ ("")	θ (°)
51	LOC 183	Gaia DR2 1142638429483920512	A	7 04 51,26	+81 42 33,56	14,15	-40,62	13,829	5,41	7,764	29,80
		Gaia DR2 1142638429483920256	B	7 04 53,04	+81 42 40,30	13,92	-40,06	16,794	5,23		
52	LOC 184	Gaia DR2 1142595376731956864	A	7 04 53,78	+81 06 25,41	10,58	-55,36	15,110	8,89	5,323	85,66
		Gaia DR2 1142595372435141632	B	7 04 56,07	+81 06 25,81	10,48	-55,68	15,772	8,87		
53	LOC 185	Gaia DR2 1149707013643612672	A	7 06 09,66	+83 46 02,31	-8,47	-51,55	12,081	7,85	3,677	347,50
		Gaia DR2 1149707013646106624	B	7 06 09,17	+83 46 05,90	-7,83	-52,36	15,975	7,78		
54	LOC 186	Gaia DR2 1143503500320644224	A	7 07 06,04	+82 16 50,53	8,32	-64,26	14,111	3,88	6,828	137,73
		Gaia DR2 1143503500321148416	B	7 07 08,32	+82 16 45,47	8,19	-64,33	18,241	3,72		
55	LOC 187	Gaia DR2 1149597032418153984	A	7 07 08,48	+83 18 18,75	-25,25	-48,77	14,440	3,53	51,833	69,81
		Gaia DR2 1149597410375273600	B	7 07 36,30	+83 18 36,64	-25,36	-48,44	17,778	3,52		
56	LOC 188	Gaia DR2 1142778514136944256	A	7 10 56,99	+82 22 26,20	48,95	30,40	16,508	2,50	11,724	21,87
		Gaia DR2 1142778509841492352	B	7 10 59,19	+82 22 37,08	48,89	30,23	18,076	2,64		
57	LOC 189	Gaia DR2 1143541403407066880	A	7 05 37,40	+82 41 43,20	14,54	-130,32	18,062	2,40	1,676	146,42
		Gaia DR2 1143541403408775936	B	7 05 37,88	+82 41 41,80	15,42	-129,87	18,273	2,22		
58	LOC 190	Gaia DR2 1149718734611413376	A	7 08 12,66	+84 02 40,37	-21,72	-69,07	17,246	3,27	5,554	337,78
		Gaia DR2 1149718734611413504	B	7 08 11,31	+84 02 45,51	-21,70	-68,67	18,412	3,47		
59	LOC 191	Gaia DR2 1136517345171339392	A	7 30 08,88	+76 08 33,90	12,06	-72,19	14,779	4,02	1,575	178,88
		Gaia DR2 1136517345172837504	B	7 30 08,89	+76 08 32,33	12,40	-73,47	15,402	4,11		
60	LOC 192	Gaia DR2 1136575344411159168	A	7 23 02,18	+76 26 10,35	25,51	-121,34	16,496	7,99	2,916	251,60
		Gaia DR2 1136575344409602304	B	7 23 01,39	+76 26 11210876331	24,87	-122,74	16,956	7,82		
61	LOC 193	Gaia DR2 1136965018204131968	A	7 26 57,76	+76 57 18,31	-51,06	-34,48	17,880	4,06	11,014	191,91
		Gaia DR2 1136965018204132096	B	7 26 57,09	+76 57 07,54	-50,19	-34,61	18,205	4,18		
62	LOC 194	Gaia DR2 1137110153738946304	A	7 28 43,38	+77 35 40,23	6,50	-47,87	14,643	1,72	2,557	289,35
		Gaia DR2 1137110153738946176	B	7 28 42,63	+77 35 41,07	6,38	-47,85	15,774	1,75		
63	LOC 195	Gaia DR2 1137001370807326848	A	7 26 21,85	+77 06 06,23	57,45	-47,74	15,419	4,30	10,260	61,98
		Gaia DR2 1137001370807326080	B	7 26 24,55	+77 06 11,05	57,32	-47,90	16,718	4,17		
64	LOC 196	Gaia DR2 1140012520839539328	A	7 21 15,87	+77 22 34,48	-11,63	-40,37	15,551	1,79	4,993	313,46
		Gaia DR2 1140012520839539712	B	7 21 14,76	+77 22 37,92	-11,84	-40,76	17,358	1,56		

(Continúa en la página siguiente)

TABLA 1. NUEVOS PARES MPC IDENTIFICADOS (CONT.).

N.º	DESIGN. PROV.	DESIGNACIÓN GAIA	COMP.	AR	DEC	MP AR	MP DEC	MAG G	PARALAJE	ρ (")	θ (°)
66	LOC 198	Gaia DR2 1141771567645404288	A	7 23 23,20	+79 11 49,20	-27,56	89,48	11,270	8,59	21,546	102,81
		Gaia DR2 1141771498925926656	B	7 23 30,67	+79 11 44,42	-28,07	89,57	14,018	8,62		
67	LOC 199	Gaia DR2 1141810428509323008	A	7 35 03,95	+79 16 03,72	-22,33	-78,46	13,571	3,64	26,725	279,63
		Gaia DR2 1141810428509325184	B	7 34 54,52	+79 16 08,19	-22,61	-78,28	17,709	3,73		
68	LOC 200	Gaia DR2 1141918386805042816	A	7 31 55,21	+80 02 15,69	38,08	44,75	10,288	8,51	3,843	225,57
		Gaia DR2 1141918386807071616	B	7 31 54,15	+80 02 13,00	37,94	44,83	17,268	8,46		
69	LOC 201	Gaia DR2 1142351697467386240	A	7 32 05,19	+80 51 25,12	-18,99	-89,49	13,861	4,61	8,812	275,14
		Gaia DR2 1142351693170908544	B	7 32 01,51	+80 51 25,91	-19,57	-88,71	18,913	4,67		
70	LOC 202	Gaia DR2 1142323659920977664	A	7 27 43,98	+80 34 23,12	-13,96	-58,78	14,644	7,25	3,079	241,08
		Gaia DR2 1142323659920977792	B	7 27 42,88	+80 34 21,63	-14,55	-57,66	16,343	7,28		
71	LOC 203	Gaia DR2 1142306029078819328	A	7 33 07,73	+80 24 04,51	-93,83	112,53	15,532	11,53	1,422	167,62
		Gaia DR2 1142306033375291136	B	7 33 07,85	+80 24 03,12	-98,50		108,81	17,292		
72	LOC 204	Gaia DR2 1142669903004132608	A	7 21 07,24	+81 33 07,52	-19,59	-42,20	13,194	2,90	18,874	184,55
		Gaia DR2 1142669898707790976	B	7 21 06,56	+81 32 48,71	-20,19	-42,30	18,032	2,91		
73	LOC 205	Gaia DR2 1148769409399261568	A	7 35 36,67	+83 00 30,45	-27,35	51,32	15,556	6,02	1,683	132,32
		Gaia DR2 1148769409398106752	B	7 35 37,35	+83 00 29,32	-27,15	50,58	17,341	6,22		
74	LOC 206	Gaia DR2 1149719864185822464	A	7 25 01,44	+83 48 25,88	52,43	23,66	17,918	3,97	8,957	202,57
		Gaia DR2 1149719761106606592	B	7 24 59,32	+83 48 17,61	52,04	23,65	18,181	3,90		
75	LOC 207	Gaia DR2 1152280936004457088	A	7 22 36,75	+87 54 35,89	-16,58	-53,08	12,547	4,36	5,026	8,06
		Gaia DR2 1152280936005586944	B	7 22 38,04	+87 54 40,87	-17,32	-53,80	18,171	3,97		
76	LOC 208	Gaia DR2 1136662377628723968	A	7 47 07,11	+76 13 40,72	-8,16	-49,62	15,389	2,67	5,539	315,23
		Gaia DR2 1136662377628724352	B	7 47 06,02	+76 13 44,65	-8,58	-49,61	17,446	2,66		
77	LOC 209	Gaia DR2 1136731337623606912	A	7 42 00,62	+76 37 08,42	-43,53	-63,97	16,186	7,62	2,903	5,88
		Gaia DR2 1136731337621776384	B	7 42 00,71	+76 37 11,31	-43,69	-63,93	18,138	7,44		
78	LOC 210	Gaia DR2 1138367032968308096	A	7 55 40,78	+77 33 01,00	-45,98	-72,42	10,985	8,80	7,929	222,13
		Gaia DR2 1138367032968308224	B	7 55 39,13	+77 32 55,12	-43,94	-75,04	14,032	8,75		
79	LOC 211	Gaia DR2 1138523335417912960	A	7 58 06,41	+78 24 16,03	13,96	-52,37	17,678	2,09	12,364	92,67
		Gaia DR2 1138523369777650816	B	7 58 10,50	+78 24 15,45	13,82	-52,65	17,908	2,15		

(Continúa en la página siguiente)

TABLA 1. NUEVOS PARES MPC IDENTIFICADOS (CONT.).

N.º	DESIGN. PROV.	DESIGNACIÓN GAIA	COMP.	AR	DEC	MP AR	MP DEC	MAG G	PARALAJE	ρ (")	θ (°)
80	LOC 212	Gaia DR2 1138821165631069184	A	7 45 23,17	+79 20 10,09	-17,19	-41,85	13,645	1,84	54,414	185,29
		Gaia DR2 1138820714657575296	B	7 45 21,36	+79 19 15,91	-17,64	-40,46	18,759	2,34		
81	LOC 213	Gaia DR2 1138827625261872000	A	7 46 56,09	+79 25 34,82	-24,95	-71,99	13,844	2,49	4,279	318,53
		Gaia DR2 1138827620965630464	B	7 46 55,06	+79 25 38,02	-25,59	-73,20	18,016	2,16		
82	LOC 214	Gaia DR2 1141847914983744640	A	7 41 48,14	+79 39 01,57	-17,99	-58,95	17,073	3,63	8,096	203,73
		Gaia DR2 1141847914981824768	B	7 41 46,93	+79 38 54,16	-18,53	-58,69	18,146	3,60		
83	LOC 215	Gaia DR2 1149279170478561792	A	7 58 38,65	+83 52 14,10	-42,95	-49,13	11,349	3,11	1,803	159,89
		Gaia DR2 1149279170476927616	B	7 58 39,03	+83 52 12,41	-42,68	-49,79	15,119	3,15		
84	LOC 216	Gaia DR2 1148635578218313216	A	7 55 46,89	+82 34 41,67	-31,10	-58,05	17,132	9,28	12,372	329,44
		Gaia DR2 1148635573922531840	B	7 55 43,64	+82 34 52,32	-31,44	-57,24	18,118	9,41		
85	LOC 217	Gaia DR2 1150249901806711168	A	7 44 27,10	+85 01 30,82	43,12	14,68	13,969	4,92	3,777	198,08
		Gaia DR2 1150249901806711296	B	7 44 26,19	+85 01 27,23	43,08	14,21	17,535	4,93		
86	LOC 218	Gaia DR2 1149477220010739200	A	7 58 45,75	+84 43 35,42	-18,78	-45,94	15,691	1,82	5,713	340,25
		Gaia DR2 1149477215713444736	B	7 58 44,35	+84 43 40,79	-17,84	-46,10	18,129	1,81		
87	LOC 219	Gaia DR2 1135949550496630272	A	8 04 37,49	+76 01 09,22	44,93	-119,75	16,183	5,76	1,885	262,53
		Gaia DR2 1135949550496630528	B	8 04 36,98	+76 01 08,97	44,30	-121,38	17,994	5,35		
88	LOC 220	Gaia DR2 1136002705011811968	A	8 01 09,78	+76 13 51,26	-24,86	-41,12	17,000	5,05	2,326	177,00
		Gaia DR2 1136002705010043776	B	8 01 09,81	+76 13 48,94	-23,72	-42,00	18,485	4,70		
89	LOC 221	Gaia DR2 1138297454498197504	A	8 02 08,82	+77 10 59,33	23,74	56,36	12,058	7,59	3,638	183,40
		Gaia DR2 1138297454497041536	B	8 02 08,76	+77 10 55,69	23,59	55,84	15,993	7,96		
90	LOC 222	Gaia DR2 1137694715966422016	A	8 15 26,96	+77 49 40,92	-80,36	-104,45	15,951	6,01	1,050	58,31
		Gaia DR2 1137694715966421760	B	8 15 27,24	+77 49 41,47	-81,00	-105,72	16,247	5,70		
91	LOC 223	Gaia DR2 1137666884578345856	A	8 15 00,67	+77 33 35,26	-50,45	-23,36	17,547	2,27	1,263	75,23
		Gaia DR2 1137666884579547136	B	8 15 01,05	+77 33 35,58	-51,11	-24,78	18,356	1,66		
92	LOC 224	Gaia DR2 1138079682476360960	A	8 19 01,19	+78 07 32,26	-18,27	-55,32	12,477	3,24	4,286	340,40
		Gaia DR2 1138079682476361216	B	8 19 00,73	+78 07 36,30	-18,20	-55,00	18,065	3,70		
93	LOC 225	Gaia DR2 1138865554116792064	A	8 11 25,65	+78 31 12,13	-37,35	-53,76	15,439	5,68	5,056	291,20
		Gaia DR2 1138865554116875520	B	8 11 24,07	+78 31 13,96	-38,55	-53,36	18,960	5,53		

(Continúa en la página siguiente)

TABLA 1. NUEVOS PARES MPC IDENTIFICADOS (CONT.).

N.º	DESIGN. PROV.	DESIGNACIÓN GAIA	COMP.	AR	DEC	MP AR	MP DEC	MAG G	PARALAJE	ρ (")	θ (°)
94	LOC 226	Gaia DR2 1138470107887650688	A	8 13 37,91	+78 10 01,88	-28,57	-50,61	15,514	4,19	1,629	107,68
		Gaia DR2 1138470112183201280	B	8 13 38,42	+78 10 01,38	-28,81	-51,65	16,948	4,23		
95	LOC 227	Gaia DR2 1138862775272525440	A	8 15 21,72	+78 42 13,20	72,04	-74,99	17,672	4,79	7,298	119,04
		Gaia DR2 1138862775273671808	B	8 15 23,90	+78 42 09,66	69,19	-75,64	18,355	4,75		
96	LOC 228	Gaia DR2 1139129784801168640	A	8 00 27,09	+79 04 58,63	-23,36	-49,79	9,960	3,00	8,049	199,34
		Gaia DR2 1139129784801207936	B	8 00 26,15	+79 04 51,04	-22,51	-48,13	17,147	3,09		
97	LOC 229	Gaia DR2 1145326975932157184	A	8 16 01,97	+80 40 12,50	-27,49	97,10	14,888	8,61	29,375	18,74
		Gaia DR2 1145326975932156544	B	8 16 05,85	+80 40 40,32	-27,25	97,40	16,041	8,55		
98	LOC 230	Gaia DR2 1149470382422626816	A	8 15 46,15	+85 04 44,06	108,1 9	22,53	14,223	12,14	1,614	174,03
		Gaia DR2 1149470382420591872	B	8 15 46,28	+85 04 42,45	111,7 0	21,78	18,345	11,80		
99	LOC 231	Gaia DR2 1151848518697212928	A	8 00 11,36	+86 11 44,55	-29,04	-45,72	18,212	3,19	10,429	104,24
		Gaia DR2 1151848518697212288	B	8 00 21,52	+86 11 41,99	-28,95	-46,04	18,231	3,59		
100	LOC 232	Gaia DR2 1137389842009696128	A	8 23 57,61	+76 44 41,62	-19,59	-44,63	15,488	2,38	36,154	314,17
		Gaia DR2 1137389910729120000	B	8 23 50,07	+76 45 06,81	-19,61	-44,81	15,767	2,44		
101	LOC 233	Gaia DR2 1137799032133467264	A	8 34 03,02	+77 24 37,05	-38,10	-46,15	16,550	6,12	2,541	77,63
		Gaia DR2 1137799032133467136	B	8 34 03,78	+77 24 37,59	-39,11	-46,84	16,984	6,27		
102	LOC 234	Gaia DR2 1137585344624288000	A	8 20 04,34	+77 03 15,29	-58,67	-82,95	18,050	5,81	7,670	284,85
		Gaia DR2 1137588265202049408	B	8 20 02,13	+77 03 17,25	-58,92	-83,48	18,526	5,63		
103	LOC 235	Gaia DR2 1138082530038506496	A	8 24 11,23	+78 07 06,69	72,28	84,27	12,227	9,34	2,197	148,75
		Gaia DR2 1138082534334619264	B	8 24 11,60	+78 07 04,81	73,63	86,01	15,068	10,56		
104	LOC 236	Gaia DR2 1138124693733376256	A	8 27 50,47	+78 42 49,73	-17,99	106,24	14,160	7,11	2,053	265,15
		Gaia DR2 1138124693732068736	B	8 27 49,77	+78 42 49,56	-17,52	106,63	18,037	6,84		
105	LOC 237	Gaia DR2 1138102600421732864	A	8 21 26,76	+78 24 58,81	-28,22	-57,34	15,649	3,33	2,953	40,56
		Gaia DR2 1138102600421732992	B	8 21 27,40	+78 25 01,05	-27,94	-56,49	17,688	3,38		
106	LOC 238	Gaia DR2 1138100092160837632	A	8 20 42,53	+78 17 34,29	-18,29	-45,64	18,042	0,70	10,511	281,08
		Gaia DR2 1138100087864931584	B	8 20 39,14	+78 17 36,31	-17,84	-46,02	18,134	0,43		
107	LOC 239	Gaia DR2 1138237909070549632	A	8 24 23,55	+79 02 02,29	-55,40	-48,69	14,210	11,60	1,081	337,72
		Gaia DR2 1138237909071609088	B	8 24 23,41	+79 02 03,29	-54,66	-45,55	17,196	10,69		

(Continúa en la página siguiente)

TABLA 1. NUEVOS PARES MPC IDENTIFICADOS (CONT.).

N.º	DESIGN. PROV.	DESIGNACIÓN GAIA	COMP.	AR	DEC	MP AR	MP DEC	MAG G	PARALAJE	ρ (")	θ (°)
108	LOC 240	Gaia DR2 1145107550346497536	A	8 35 46,39	+80 39 38,18	14,18	-80,70	11,588	6,06	7,055	50,46
		Gaia DR2 1145107554643125376	B	8 35 48,63	+80 39 42,68	14,05	-82,05	16,926	6,00		
109	LOC 241	Gaia DR2 1149195156621319552	A	8 31 45,88	+83 59 11,02	-47,06	-56,94	11,763	3,80	6,243	50,42
		Gaia DR2 1149195160917961344	B	8 31 48,95	+83 59 14,99	-46,43	-58,07	15,447	3,56		
110	LOC 242	Gaia DR2 1149194538149040896	A	8 29 44,80	+83 56 02,83	-71,04	-46,04	12,183	6,93	2,164	256,09
		Gaia DR2 1149194542442677120	B	8 29 43,47	+83 56 02,31	-68,30	-47,32	12,245	6,99		
111	LOC 243	Gaia DR2 1151181012059816192	A	8 32 12,41	+86 14 14,59	-42,74	-	106,93	12,483	6,16	3,591
		Gaia DR2 1151181016355254400	B	8 32 15,85	+86 14 13,39	-43,46	-	107,46	16,606		
112	LOC 244	Gaia DR2 1125314936593639424	A	8 44 08,21	+76 31 22,17	-56,48	32,04	12,710	3,74	8,524	282,88
		Gaia DR2 1125314936593639552	B	8 44 05,84	+76 31 24,07	-55,75	32,05	14,062	3,70		
113	LOC 245	Gaia DR2 1125751270911054080	A	8 49 49,94	+77 16 33,79	16,88	-86,35	17,673	2,34	2,812	277,09
		Gaia DR2 1125751270909455872	B	8 49 49,10	+77 16 34,14	16,44	-86,78	18,660	1,96		
114	LOC 246	Gaia DR2 1137946607209724672	A	8 44 35,55	+78 15 39,62	-22,26	-53,61	12,689	2,20	4,870	88,04
		Gaia DR2 1137946607209724416	B	8 44 37,15	+78 15 39,79	-22,22	-53,66	18,877	1,45		
115	LOC 247	Gaia DR2 1137932794594854528	A	8 53 52,62	+78 36 40,95	-39,11	-82,29	12,729	5,28	1,218	187,90
		Gaia DR2 1137932794593325312	B	8 53 52,56	+78 36 39,74	-39,26	-81,73	16,168	5,67		
116	LOC 248	Gaia DR2 1144238528139961600	A	8 54 23,80	+79 40 53,12	-93,84	-50,45	10,224	7,97	6,712	2,23
		Gaia DR2 1144238596859438592	B	8 54 23,90	+79 40 59,83	-94,57	-49,13	14,945	7,99		
117	LOC 249	Gaia DR2 1144294087836991744	A	8 40 04,17	+79 52 00,65	-61,34	-65,09	16,421	6,36	14,980	46,05
		Gaia DR2 1144294255338999552	B	8 40 08,26	+79 52 11,05	-61,44	-64,62	18,085	6,03		
118	LOC 250	Gaia DR2 1146161780134931584	A	8 56 43,85	+83 53 45,54	-52,32	-58,88	16,083	5,69	2,247	301,57
		Gaia DR2 1146161780133840256	B	8 56 42,65	+83 53 46,72	-51,51	-57,78	18,998	5,44		
119	LOC 251	Gaia DR2 1152376215559353088	A	8 47 01,13	+87 16 56,91	49,27	16,85	12,119	4,85	27,109	177,43
		Gaia DR2 1152376219855048448	B	8 47 02,84	+87 16 29,83	49,48	17,01	15,356	4,85		
120	LOC 252	Gaia DR2 1152913086471061504	A	8 47 05,25	+89 41 17,74	-19,57	-48,86	16,986	6,87	5,527	115,89
		Gaia DR2 1152913086477760128	B	8 48 06,17	+89 41 15,33	-20,95	-44,97	18,120	6,73		
121	LOC 253	Gaia DR2 1125575104239807360	A	9 05 43,03	+76 53 48,43	12,52	-52,03	16,823	4,95	4,016	172,53
		Gaia DR2 1125575104236757376	B	9 05 43,18	+76 53 44,45	13,05	-51,02	17,814	4,73		

(Continúa en la página siguiente)

TABLA 1. NUEVOS PARES MPC IDENTIFICADOS (CONT.).

N.º	DESIGN. PROV.	DESIGNACIÓN GAIA	COMP.	AR	DEC	MP AR	MP DEC	MAG G	PARALAJE	ρ (")	θ (°)
122	LOC 254	Gaia DR2 1125545284279683840	A	9 13 20,87	+77 01 44,58	-32,51	-49,03	13,575	12,01	8,917	167,49
		Gaia DR2 1125545279982974720	B	9 13 21,44	+77 01 35,87	-32,04	-50,14	16,026	11,90		
123	LOC 255	Gaia DR2 1144570752450456192	A	9 14 54,15	+80 28 16,90	-28,75	-41,57	11,975	3,86	30,576	335,50
		Gaia DR2 1144570821169933440	B	9 14 49,04	+80 28 44,73	-28,19	-43,88	16,035	3,81		
124	LOC 256	Gaia DR2 1144383113919144704	A	9 12 05,45	+80 26 32,57	-17,63	-45,76	16,987	3,21	2,844	51,41
		Gaia DR2 1144382907758982144	B	9 12 06,34	+80 26 34,34	-18,44	-48,04	18,968	3,13		
125	LOC 257	Gaia DR2 1144789417825489024	A	9 16 49,89	+81 06 30,69	6,70	-51,64	16,427	0,87	53,346	35,54
		Gaia DR2 1144812881230509440	B	9 17 03,27	+81 07 14,10	6,90	-51,28	18,433	1,04		
126	LOC 258	Gaia DR2 1146029254624176128	A	9 02 37,17	+82 53 59,72	-19,55	-43,21	16,017	2,83	2,734	20,18
		Gaia DR2 1146029250329904000	B	9 02 37,68	+82 54 02,28	-19,68	-43,37	17,161	2,95		
127	LOC 259	Gaia DR2 1151206854878603904	A	9 12 39,10	+86 36 06,47	-14,86	-56,87	17,215	5,06	2,008	96,80
		Gaia DR2 1151206854879371136	B	9 12 41,34	+86 36 06,23	-14,68	-56,38	18,797	4,58		
128	LOC 260	Gaia DR2 1130464361863028224	A	9 39 34,19	+76 10 35,41	11,22	-50,76	12,136	3,37	16,737	320,40
		Gaia DR2 1130464323207330944	B	9 39 31,21	+76 10 48,31	10,45	-50,06	17,918	3,35		
129	LOC 261	Gaia DR2 1130497587730067968	A	9 29 36,91	+76 05 56,19	-32,68	-43,85	16,929	5,61	1,862	127,09
		Gaia DR2 1130497587728981760	B	9 29 37,32	+76 05 55,06	-32,20	-43,56	17,021	5,72		
130	LOC 262	Gaia DR2 1130785934654738304	A	9 26 21,00	+77 02 31,96	-42,16	-30,39	12,926	5,17	2,890	204,23
		Gaia DR2 1130785934654738432	B	9 26 20,65	+77 02 29,32	-43,84	-31,25	15,357	5,17		
131	LOC 263	Gaia DR2 1131680868399980928	A	9 34 58,00	+77 51 25,96	-42,18	-54,47	14,829	5,20	1,643	202,74
		Gaia DR2 1131680868398964352	B	9 34 57,79	+77 51 24,44	-41,84	-54,14	18,348	4,40		
132	LOC 264	Gaia DR2 1131544288440466176	A	9 22 01,01	+77 12 27,12	-12,68	-41,02	16,719	1,83	8,178	169,52
		Gaia DR2 1131544284143680768	B	9 22 01,46	+77 12 19,07	-12,20	-40,73	17,331	1,89		
133	LOC 265	Gaia DR2 1147319394080662656	A	9 39 53,47	+83 10 15,34	-42,71	-37,43	16,838	2,69	5,313	257,25
		Gaia DR2 1147319458504564608	B	9 39 50,57	+83 10 14,17	-42,65	-37,49	18,817	2,74		
134	LOC 266	Gaia DR2 1147299293633781504	A	9 39 20,88	+82 56 53,20	-54,91	-41,80	18,183	3,13	1,419	74,71
		Gaia DR2 1147299289337194752	B	9 39 21,63	+82 56 53,58	-54,23	-42,25	18,295	3,19		
135	LOC 267	Gaia DR2 1147622000296385792	A	9 37 06,26	+84 05 43,84	-60,17	-47,23	17,590	3,81	9,185	182,10
		Gaia DR2 1147621996000373376	B	9 37 06,04	+84 05 34,66	-60,06	-47,80	18,252	3,92		

(Continúa en la página siguiente)

TABLA 1. NUEVOS PARES MPC IDENTIFICADOS (CONT.).

N.º	DESIGN. PROV.	DESIGNACIÓN GAIA	COMP.	AR	DEC	MP AR	MP DEC	MAG G	PARALAJE	ρ (")	θ (°)
136	LOC 268	Gaia DR2 1152408689807613952	A	9 38 19,97	+87 50 04,36	35,33	-40,36	16,335	3,45	7,713	347,53
		Gaia DR2 1152408689807614080	B	9 38 17,03	+87 50 11,89	35,06	-40,38	16,554	3,36		
137	LOC 269	Gaia DR2 1152428652815620864	A	9 32 03,14	+88 06 39,16	-83,71	-14,34	11,808	4,88	16,941	65,87
		Gaia DR2 1152428652815620096	B	9 32 34,40	+88 06 46,09	-84,06	-15,59	15,764	4,90		
138	LOC 270	Gaia DR2 1130550433008119808	A	9 47 10,17	+76 17 39,07	-63,42	-4,58	8,466	11,38	6,592	327,20
		Gaia DR2 1130550428712066816	B	9 47 09,16	+76 17 44,61	-62,35	-4,43	15,975	11,53		
139	LOC 271	Gaia DR2 1131261713950522880	A	9 56 33,66	+77 53 11,74	40,78	-6,01	10,849	5,09	8,167	335,06
		Gaia DR2 1131261713951505024	B	9 56 32,57	+77 53 19,15	40,93	-6,12	15,405	5,18		
140	LOC 272	Gaia DR2 1130874101743450624	A	9 48 41,89	+77 28 36,81	-34,80	-40,52	11,317	4,03	1,837	288,09
		Gaia DR2 1130874101741762304	B	9 48 41,35	+77 28 37,38	-35,30	-40,24	12,940	4,15		
141	LOC 273	Gaia DR2 1130857329894846336	A	9 40 47,38	+77 21 24,28	-86,40	-73,14	16,754	5,43	6,513	115,06
		Gaia DR2 1130857334189742336	B	9 40 49,18	+77 21 21,52	-85,96	-77,46	17,318	5,50		
142	LOC 274	Gaia DR2 1130963883739789184	A	9 43 38,03	+78 09 15,71	-59,70	-67,28	15,243	5,17	1,319	3,47
		Gaia DR2 1130963883738078720	B	9 43 38,06	+78 09 17,02	-61,60	-63,44	17,742	5,19		
143	LOC 275	Gaia DR2 1132132664599518592	A	9 53 04,96	+78 50 12,48	-40,16	-34,04	17,143	3,52	1,255	221,39
		Gaia DR2 1132132664598512512	B	9 53 04,68	+78 50 11,54	-42,47	-32,23	18,669	3,75		
144	LOC 276	Gaia DR2 1132331710563892352	A	9 58 48,18	+79 53 15,83	66,58	-19,74	16,431	2,84	4,674	75,34
		Gaia DR2 1132331706268726912	B	9 58 49,90	+79 53 17,01	66,68	-19,65	18,444	3,39		
145	LOC 277	Gaia DR2 1132598513932881408	A	9 49 34,46	+80 26 36,77	-278,8 7	-409,45	13,831	6,13	2,923	225,50
		Gaia DR2 1132598513932881536	B	9 49 33,62	+80 26 34,72	-278,9 5	-407,95	16,766	6,02		
146	LOC 278	Gaia DR2 1144738290534515328	A	9 48 17,11	+81 36 44,61	-43,64	-35,30	11,183	2,96	1,641	169,99
		Gaia DR2 1144738290532935680	B	9 48 17,24	+81 36 42,99	-44,19	-35,13	13,252	2,67		
147	LOC 279	Gaia DR2 1144664515880186496	A	9 57 02,63	+81 10 06,88	-140,3 8	-105,33	12,420	9,27	1,282	358,16
		Gaia DR2 1144664520174720384	B	9 57 02,61	+81 10 08,16	-141,6 9	-100,09	14,843	9,29		
148	LOC 280	Gaia DR2 1147426493385107328	A	9 44 50,22	+83 55 30,61	-34,14	-43,41	15,899	2,91	6,621	260,42
		Gaia DR2 1147427245003550848	B	9 44 46,10	+83 55 29,51	-34,11	-43,40	17,240	2,86		
149	LOC 281	Gaia DR2 1146521354796239360	A	9 44 51,66	+82 29 01,69	-42,52	-18,78	17,372	1,91	1,015	81,67
		Gaia DR2 1146521354797008000	B	9 44 52,17	+82 29 01,83	-42,09	-18,92	17,767	1,73		

(Continúa en la página siguiente)

TABLA 1. NUEVOS PARES MPC IDENTIFICADOS (CONT.).

N.º	DESIGN. PROV.	DESIGNACIÓN GAIA	COMP.	AR	DEC	MP AR	MP DEC	MAG G	PARALAJE	ρ ("")	θ (°)
150	LOC 282	Gaia DR2 1147745145599328896	A	9 46 46,22	+84 37 52,48	-43,27	-38,17	13,015	2,26	3,066	36,36
		Gaia DR2 1147745145599328640	B	9 46 47,51	+84 37 54,95	-43,17	-37,76	13,089	2,32		
151	LOC 283	Gaia DR2 1147526136626345728	A	9 48 46,92	+84 10 26,76	-50,34	-25,78	14,804	5,53	17,236	31,04
		Gaia DR2 1147526892540589952	B	9 48 52,76	+84 10 41,53	-50,76	-25,27	16,466	5,56		
152	LOC 284	Gaia DR2 1151634427463338240	A	9 55 52,75	+87 27 32,59	29,20	-44,85	16,403	2,62	5,596	78,77
		Gaia DR2 1151634427463338112	B	9 56 01,00	+87 27 33,68	29,24	-44,46	16,428	2,69		
153	LOC 285	Gaia DR2 1127699468076068608	A	10 16 19,74	+76 15 35,04	-75,73	-104,77	15,855	9,77	24,215	326,81
		Gaia DR2 1127699674233490688	B	10 16 16,02	+76 15 55,31	-80,64	-95,66	18,804	6,68		
154	LOC 286	Gaia DR2 1127497432814541696	A	10 03 15,15	+76 05 53,31	-11,22	-40,18	16,851	3,27	17,193	78,77
		Gaia DR2 1127497428518783232	B	10 03 19,83	+76 05 56,66	-12,29	-43,17	17,322	0,58		
155	LOC 287	Gaia DR2 1128089416747273344	A	10 17 49,72	+77 27 55,82	17,67	-52,56	8,649	2,48	6,719	200,83
		Gaia DR2 1128089416747331072	B	10 17 48,99	+77 27 49,54	17,71	-52,67	17,170	2,40		
156	LOC 288	Gaia DR2 1131082424836953600	A	10 07 08,30	+77 51 50,71	147,2 2	23,49	13,452	8,54	12,433	282,40
		Gaia DR2 1131085379772963456	B	10 07 04,45	+77 51 53,38	142,3 7	25,14	18,170	9,07		
157	LOC 289	Gaia DR2 1131008482680020480	A	10 08 25,49	+77 25 33,68	-36,14	-40,17	17,668	5,09	3,125	202,78
		Gaia DR2 1131008482678582784	B	10 08 25,12	+77 25 30,79	-35,63	-40,82	18,736	5,61		
158	LOC 290	Gaia DR2 1131416332773986816	A	10 10 08,37	+78 44 51,89	-47,38	-28,53	9,376	6,99	3,773	182,78
		Gaia DR2 1131416328479447552	B	10 10 08,31	+78 44 48,12	-45,74	-27,99	12,917	6,35		
159	LOC 291	Gaia DR2 1131397774219621760	A	10 11 36,30	+78 30 36,23	-32,81	-43,56	12,185	2,84	23,765	230,39
		Gaia DR2 1131397774219688960	B	10 11 30,17	+78 30 21,08	-32,50	-41,19	18,965	2,94		
160	LOC 292	Gaia DR2 1131364690087264768	A	10 02 15,76	+78 35 52,35	40,69	7,42	15,653	6,11	4,955	246,68
		Gaia DR2 1131364587008049792	B	10 02 14,22	+78 35 50,39	40,70	7,72	17,067	6,20		
161	LOC 293	Gaia DR2 1132565631663114112	A	10 06 03,53	+80 32 59,36	15,19	-50,59	14,925	5,47	1,097	88,69
		Gaia DR2 1132565631661642112	B	10 06 03,98	+80 32 59,39	15,62	-54,66	16,725	5,43		
162	LOC 294	Gaia DR2 1132564772668188032	A	10 05 04,89	+80 31 47,05	-90,90	-26,79	17,108	2,91	1,272	293,27
		Gaia DR2 1132564772669656576	B	10 05 04,41	+80 31 47,55	-92,52	-28,56	18,288	3,04		
163	LOC 295	Gaia DR2 1146200881517604480	A	10 05 35,45	+81 54 03,32	-51,23	-66,30	11,434	3,36	3,929	67,26
		Gaia DR2 1146200877223061248	B	10 05 37,16	+81 54 04,84	-52,05	-66,86	14,779	3,35		

(Continúa en la página siguiente)

TABLA 1. NUEVOS PARES MPC IDENTIFICADOS (CONT.).

N.º	DESIGN. PROV.	DESIGNACIÓN GAIA	COMP.	AR	DEC	MP AR	MP DEC	MAG G	PARALAJE	ρ ("")	θ (°)
164	LOC 296	Gaia DR2 1134148756608571264	A	10 11 19,04	+81 16 03,08	-43,20	-40,49	13,013	4,12	9,195	65,88
		Gaia DR2 1134148752312563968	B	10 11 22,72	+81 16 06,83	-42,73	-39,72	18,446	4,13		
165	LOC 297	Gaia DR2 1146215518766031232	A	10 16 31,45	+81 58 22,83	-68,43	-9,70	14,274	4,70	5,163	188,46
		Gaia DR2 1146215514471208192	B	10 16 31,08	+81 58 17,73	-66,75	-8,77	18,822	4,87		
166	LOC 298	Gaia DR2 1146215965442634368	A	10 14 08,29	+81 57 17,18	-42,09	45,92	14,570	4,98	2,941	20,01
		Gaia DR2 1146215965442634496	B	10 14 08,77	+81 57 19,95	-41,82	45,58	16,274	4,93		
167	LOC 299	Gaia DR2 1146203527217423488	A	10 13 28,96	+81 41 50,81	-40,42	-16,93	17,693	1,25	9,321	178,59
		Gaia DR2 1146203522920969856	B	10 13 29,07	+81 41 41,50	-41,67	-16,32	18,548	1,06		
168	LOC 300	Gaia DR2 1146596911861690624	A	10 14 17,73	+83 00 05,03	-64,56	-21,07	15,078	7,95	1,659	246,85
		Gaia DR2 1146596911860749184	B	10 14 16,90	+83 00 04,38	-65,56	-19,42	15,125	8,11		
169	LOC 301	Gaia DR2 1148156053710236928	A	10 14 28,50	+85 12 52,99	43,72	-11,56	11,319	3,66	4,808	101,17
		Gaia DR2 1148156053710236672	B	10 14 32,27	+85 12 52,06	41,76	-12,03	13,358	3,73		
170	LOC 302	Gaia DR2 1127759563258893312	A	10 29 04,44	+76 37 54,88	-86,22	-19,84	12,797	5,19	2,735	140,57
		Gaia DR2 1127759563257738752	B	10 29 04,94	+76 37 52,77	-86,73	-19,80	16,955	5,07		
171	LOC 303	Gaia DR2 1127783786874325760	A	10 31 19,03	+76 44 11,30	-41,63	-19,65	13,431	2,51	6,026	108,87
		Gaia DR2 1127783786874325632	B	10 31 20,69	+76 44 09,35	-41,50	-18,95	18,383	2,24		
172	LOC 304	Gaia DR2 1129367358495084288	A	10 37 49,24	+77 29 09,65	-70,77	-39,25	9,527	12,79	1,701	343,10
		Gaia DR2 1129367358496238592	B	10 37 49,09	+77 29 11,27	-69,75	-39,07	12,997	13,00		
173	LOC 305	Gaia DR2 1128138241935360128	A	10 25 55,06	+77 57 22,14	-41,58	-30,03	13,958	3,56	4,668	295,50
		Gaia DR2 1128138241935360384	B	10 25 53,71	+77 57 24,14	-41,59	-29,92	17,251	3,35		
174	LOC 306	Gaia DR2 1127796431257988608	A	10 35 44,75	+77 00 36,66	-65,37	-27,85	17,204	8,47	12,364	296,48
		Gaia DR2 1127796426961716480	B	10 35 41,47	+77 00 42,17	-66,59	-26,23	18,448	8,47		
175	LOC 307	Gaia DR2 1133833574728266112	A	10 35 11,74	+80 36 57,73	-77,07	-38,72	17,683	5,21	1,468	202,75
		Gaia DR2 1133833574726832128	B	10 35 11,51	+80 36 56,38	-79,06	-38,46	17,702	4,66		
176	LOC 308	Gaia DR2 1134118142081654016	A	10 20 14,72	+81 12 01,02	-77,91	-20,54	12,204	10,86	17,309	72,82
		Gaia DR2 1134118176441323648	B	10 20 21,93	+81 12 06,13	-78,19	-19,57	15,291	10,74		
177	LOC 309	Gaia DR2 1146696074065523584	A	10 23 36,73	+83 30 48,64	-57,28	-7,61	10,566	6,62	1,820	281,93
		Gaia DR2 1146694596597817088	B	10 23 35,68	+83 30 49,02	-52,56	-7,52	13,730	6,52		

(Continúa en la página siguiente)

TABLA 1. NUEVOS PARES MPC IDENTIFICADOS (CONT.).

N.º	DESIGN. PROV.	DESIGNACIÓN GAIA	COMP.	AR	DEC	MP AR	MP DEC	MAG G	PARALAJE	ρ ("")	θ (°)
178	LOC 310	Gaia DR2 1146418236926438528	A	10 28 10,99	+82 52 03,49	-88,73	-59,74	12,575	9,73	1,629	193,25
		Gaia DR2 1146418241222404352	B	10 28 10,79	+82 52 01,91	-84,11	-60,03	16,147	8,69		
179	LOC 311	Gaia DR2 1146638452784227072	A	10 33 13,78	+83 27 05,20	85,07	-10,37	17,083	8,08	1,512	298,70
		Gaia DR2 1146638452785303936	B	10 33 13,01	+83 27 05,92	85,06	-11,04	18,538	8,45		
180	LOC 312	Gaia DR2 1146342787236876288	A	10 36 44,18	+82 24 20,13	-22,43	-47,52	17,538	2,36	2,337	204,73
		Gaia DR2 1146342787235581568	B	10 36 43,69	+82 24 18,00	-21,81	-47,11	18,609	2,35		
181	LOC 313	Gaia DR2 1147860250722763392	A	10 30 37,79	+84 19 51,07	-39,53	59,56	11,167	10,54	2,359	206,42
		Gaia DR2 1147860182003286528	B	10 30 37,09	+84 19 48,96	-43,76	60,26	15,434	10,41		
182	LOC 314	Gaia DR2 1147498369661548288	A	10 25 07,12	+84 22 40,30	-44,64	-26,80	15,024	8,52	3,066	32,06
		Gaia DR2 1147498373957610752	B	10 25 08,22	+84 22 42,90	-47,40	-24,14	15,596	8,49		
183	LOC 315	Gaia DR2 1147876567301924864	A	10 34 55,82	+84 33 17,23	-9,77	-50,40	17,526	2,89	4,116	316,35
		Gaia DR2 1147876571598493824	B	10 34 53,83	+84 33 20,21	-10,42	-50,06	17,930	2,69		
184	LOC 316	Gaia DR2 1128515408783223424	A	10 49 16,63	+76 48 53,22	-67,43	-37,82	16,382	4,39	4,170	282,24
		Gaia DR2 1128515404488151168	B	10 49 15,44	+76 48 54,10	-67,77	-37,78	17,950	4,21		
185	LOC 317	Gaia DR2 1129493974131672704	A	10 55 28,75	+78 05 45,51	-61,83	-19,66	13,047	2,95	12,578	348,46
		Gaia DR2 1129493974131673088	B	10 55 27,93	+78 05 57,83	-61,12	-20,16	17,030	2,93		
186	LOC 318	Gaia DR2 1129621414401326336	A	10 48 37,67	+78 22 25,46	40,65	-21,89	16,027	1,94	54,292	277,01
		Gaia DR2 1129621513184808320	B	10 48 19,84	+78 22 32,09	40,66	-21,75	17,671	1,86		
187	LOC 319	Gaia DR2 1132924897087267584	A	10 54 23,59	+80 06 56,32	-50,25	-33,18	15,437	5,81	1,105	180,25
		Gaia DR2 1132924897086081152	B	10 54 23,59	+80 06 55,22	-50,77	-33,75	16,908	5,29		
188	LOC 320	Gaia DR2 1134334196116325760	A	10 40 56,17	+82 26 27,92	-43,54	-8,86	13,980	2,64	1,608	328,89
		Gaia DR2 1134334196114921856	B	10 40 55,75	+82 26 29,30	-42,54	-8,24	14,672	2,55		
189	LOC 321	Gaia DR2 1147915432462517632	A	10 48 45,17	+84 56 30,37	47,43	24,53	15,269	4,39	4,888	138,42
		Gaia DR2 1147915432462517248	B	10 48 47,62	+84 56 26,72	47,47	24,25	17,370	4,26		
190	LOC 322	Gaia DR2 1128394767445917824	A	11 04 31,18	+76 58 45,72	-29,12	-41,56	17,249	3,13	7,952	337,48
		Gaia DR2 1128394767445918080	B	11 04 30,27	+76 58 53,07	-29,19	-41,95	18,023	3,53		
191	LOC 323	Gaia DR2 1128620893179740032	A	11 17 29,86	+77 33 23,57	-54,90	-27,58	15,101	6,53	4,590	151,23
		Gaia DR2 1128620820165503232	B	11 17 30,55	+77 33 19,55	-55,02	-26,58	18,298	6,57		

(Continúa en la página siguiente)

TABLA 1. NUEVOS PARES MPC IDENTIFICADOS (CONT.).

N.º	DESIGN. PROV.	DESIGNACIÓN GAIA	COMP.	AR	DEC	MP AR	MP DEC	MAG G	PARALAJE	ρ (")	θ (°)
192	LOC 324	Gaia DR2 1129501017878029440	A	11 01 46,60	+78 17 15,89	-45,59	-13,26	16,606	5,00	2,590	205,40
		Gaia DR2 1129501017878029312	B	11 01 46,23	+78 17 13,55	-45,34	-14,06	17,307	5,08		
193	LOC 325	Gaia DR2 1133346830378267392	A	11 19 28,95	+80 52 38,62	-42,80	-12,89	17,829	2,03	1,619	68,08
		Gaia DR2 1133346834673262592	B	11 19 29,58	+80 52 39,22	-42,41	-13,05	18,000	2,37		
194	LOC 326	Gaia DR2 1134731738288900480	A	11 08 17,55	+82 44 34,52	-89,10	-29,30	8,135	9,15	13,974	72,59
		Gaia DR2 1134731772648638592	B	11 08 24,59	+82 44 38,71	-89,88	-28,91	15,925	9,28		
195	LOC 327	Gaia DR2 1148284490411455488	A	11 11 14,13	+85 53 19,49	-20,20	-65,73	9,460	5,64	26,833	339,33
		Gaia DR2 1148284554835220864	B	11 11 05,32	+85 53 44,60	-19,79	-66,25	12,949	5,66		
196	LOC 328	Gaia DR2 1148295382448527104	A	11 00 38,20	+85 51 19,87	-44,74	-11,06	13,906	3,31	7,918	197,64
		Gaia DR2 1148295313729050112	B	11 00 35,99	+85 51 12,33	-44,31	-11,04	16,022	3,33		
197	LOC 329	Gaia DR2 1147055850591061760	A	11 07 11,59	+84 04 37,25	-47,34	-26,85	14,417	8,01	2,748	38,64
		Gaia DR2 1147055854885833472	B	11 07 12,70	+84 04 39,39	-47,52	-28,24	14,776	7,97		
198	LOC 330	Gaia DR2 1146958410669456000	A	11 19 15,34	+84 02 45,02	44,43	16,86	16,619	5,61	8,168	66,94
		Gaia DR2 1146958406372931456	B	11 19 20,17	+84 02 48,22	44,17	16,46	18,595	5,66		
199	LOC 331	Gaia DR2 1080610924111423360	A	11 27 46,43	+76 36 27,71	-37,33	-58,11	11,749	4,78	6,450	354,28
		Gaia DR2 1080610919816854400	B	11 27 46,25	+76 36 34,13	-37,59	-58,53	16,950	4,76		
200	LOC 332	Gaia DR2 1130250987887875584	A	11 20 35,14	+80 07 09,73	-42,50	-16,13	15,378	7,90	6,184	312,66
		Gaia DR2 1130250983591612544	B	11 20 33,37	+80 07 13,92	-41,88	-15,92	16,967	7,80		
201	LOC 333	Gaia DR2 1130238102985839232	A	11 28 40,41	+80 02 50,10	-47,93	-8,37	15,567	4,82	10,390	255,98
		Gaia DR2 1130238098689513088	B	11 28 36,53	+80 02 47,59	-47,30	-8,43	18,691	4,85		
202	LOC 334	Gaia DR2 1133326936089688192	A	11 23 41,79	+80 40 50,98	-45,65	-7,80	17,343	3,00	59,630	309,69
		Gaia DR2 1133327696300256256	B	11 23 22,90	+80 41 29,06	-45,63	-7,93	18,626	2,73		
203	LOC 335	Gaia DR2 1134568598251207808	A	11 34 38,75	+82 37 57,94	-58,50	-27,04	10,127	4,70	3,216	181,14
		Gaia DR2 1134568598251207680	B	11 34 38,72	+82 37 54,73	-58,10	-27,57	13,886	4,61		
204	LOC 336	Gaia DR2 1148027372193199232	A	11 20 55,54	+85 25 30,39	59,38	13,98	12,400	8,65	1,273	189,17
		Gaia DR2 1148027307769088768	B	11 20 55,37	+85 25 29,13	61,11	12,88	14,132	8,70		
205	LOC 337	Gaia DR2 1147252697532478592	A	11 20 55,01	+85 00 33,50	-28,06	-44,12	17,475	1,06	2,464	161,58
		Gaia DR2 1147252697532649600	B	11 20 55,61	+85 00 31,16	-28,00	-44,17	18,044	1,08		

(Continúa en la página siguiente)

TABLA 1. NUEVOS PARES MPC IDENTIFICADOS (CONT.).

N.º	DESIGN. PROV.	DESIGNACIÓN GAIA	COMP.	AR	DEC	MP AR	MP DEC	MAG G	PARALAJE	ρ (")	θ (°)
206	LOC 338	Gaia DR2 1151715104129204992	A	11 23 04,27	+87 53 37,78	21,68	42,09	12,843	14,20	3,703	156,75
		Gaia DR2 1151715104129204480	B	11 23 06,92	+87 53 34,38	23,34	43,83	18,563	13,52		
207	LOC 339	Gaia DR2 1151486233910805504	A	11 33 37,82	+87 20 48,25	-124,99	-105,37	10,642	4,47	19,422	281,35
		Gaia DR2 1151486302630286848	B	11 33 10,39	+87 20 52,08	-124,37	-104,22	19,321	4,33		
208	LOC 340	Gaia DR2 1080756952999485056	A	11 49 19,87	+77 27 52,81	-47,15	-21,66	14,273	4,12	1,113	140,67
		Gaia DR2 1080756952998635904	B	11 49 20,09	+77 27 51,95	-45,96	-20,18	17,925	3,35		
209	LOC 341	Gaia DR2 1080818697449358080	A	11 43 25,46	+77 38 56,87	-47,66	8,76	15,068	3,47	3,971	271,33
		Gaia DR2 1080818693153934976	B	11 43 24,22	+77 38 56,97	-48,20	9,15	18,102	3,03		
210	LOC 342	Gaia DR2 1130058985669833984	A	11 40 44,85	+79 39 27,19	-48,82	-12,77	11,388	8,93	3,060	296,52
		Gaia DR2 1130058985668750080	B	11 40 43,83	+79 39 28,56	-49,53	-12,86	16,189	8,96		
211	LOC 343	Gaia DR2 1129264725957432960	A	11 48 23,24	+79 20 52,63	-41,19	-13,00	13,417	5,45	5,150	100,13
		Gaia DR2 1129264829036647936	B	11 48 25,07	+79 20 51,72	-43,07	-13,38	15,991	4,85		
212	LOC 344	Gaia DR2 1130019403251157888	A	11 53 34,72	+79 34 37,67	-44,90	-5,66	14,054	1,80	26,071	128,83
		Gaia DR2 1130025278766417792	B	11 53 42,20	+79 34 21,32	-45,31	-5,13	18,723	1,75		
213	LOC 345	Gaia DR2 1130060355763031680	A	11 40 26,58	+79 43 19,29	-33,92	41,10	16,651	4,52	1,485	26,56
		Gaia DR2 1130060360059373952	B	11 40 26,82	+79 43 20,62	-33,74	41,80	18,796	5,04		
214	LOC 346	Gaia DR2 113030918898257408	A	11 58 00,82	+80 27 17,56	-23,57	-41,17	12,608	3,31	1,498	267,41
		Gaia DR2 1130309193284759040	B	11 58 00,22	+80 27 17,49	-24,27	-42,77	16,125	2,96		
215	LOC 347	Gaia DR2 1133689469985278976	A	11 54 06,12	+81 56 00,43	-58,84	-17,42	15,856	1,36	1,114	156,28
		Gaia DR2 1133689469984115456	B	11 54 06,33	+81 55 59,41	-61,37	-18,27	16,745	1,99		
216	LOC 348	Gaia DR2 1130305860388665856	A	11 50 47,94	+80 23 48,77	-72,60	-28,15	17,738	4,09	1,453	258,81
		Gaia DR2 1130305860390182400	B	11 50 47,37	+80 23 48,49	-72,15	-30,07	17,766	4,24		
217	LOC 349	Gaia DR2 1134531455373888512	A	11 56 05,95	+82 39 02,22	-60,82	-71,40	15,044	9,67	2,576	10,10
		Gaia DR2 1134531455373888640	B	11 56 06,18	+82 39 04,76	-60,19	-70,80	16,907	9,68		
218	LOC 350	Gaia DR2 1151699500511854592	A	11 41 46,90	+87 42 15,69	-81,70	-29,92	14,992	12,93	1,882	187,83
		Gaia DR2 1151699504806757504	B	11 41 46,47	+87 42 13,83	-81,34	-29,79	16,454	12,92		

TABLA 2. NUEVOS SISTEMAS TRIPLES IDENTIFICADOS.

N.º	DESIGN. PROV.	DESIGNACIÓN GAIA	COMP.	AR	DEC	MP AR	MP DEC	MAG G	PARALAJE	ρ (")	θ (°)
1	LOC 351 AB	Gaia DR2 1149684203074221568	A	6 46 25,00	+84 06 11,64	-128,40	-47,59	14,980	7,77	23,734	219,08
		Gaia DR2 1149684099995007232	B	6 46 15,29	+84 05 53,21	-126,70	-47,53	16,442	7,83		
	LOC 351 AC	Gaia DR2 1149684203074221568	A	6 46 25,00	+84 06 11,64	-128,40	-47,59	14,980	7,77	2,569	2,71
		Gaia DR2 1149684203072966784	C	6 46 26,37	+84 06 14,91	-128,04	-45,70	20,150	7,10		
	LOC 351 BC	Gaia DR2 1149684099995007232	B	6 46 15,29	+84 05 53,21	-126,70	-47,53	16,442	7,83	27,616	38,22
		Gaia DR2 1149684203072966784	C	6 46 26,37	+84 06 14,91	-128,04	-45,70	20,150	7,10		
2	LOC 352 AB	Gaia DR2 1137518381790542848	A	8 05 49,29	+76 44 51,86	-30,59	-70,63	11,938	5,58	1,873	291,00
		Gaia DR2 1137518381789221760	B	8 05 48,78	+76 44 52,53	-31,79	-70,85	12,204	5,56		
	LOC 352 AC	Gaia DR2 1137518381790542848	A	8 05 49,29	+76 44 51,86	-30,59	-70,63	11,938	5,58	11,163	344,07
		Gaia DR2 1137518416150281728	C	8 05 48,40	+76 45 02,59	-32,03	-70,86	15,087	5,60		
	LOC 352 BC	Gaia DR2 1137518381789221760	B	8 05 48,78	+76 44 52,53	-31,79	-70,85	12,204	5,56	10,144	352,60
		Gaia DR2 1137518416150281728	C	8 05 48,40	+76 45 02,59	-32,03	-70,86	15,087	5,60		
3	LOC 353 AB	Gaia DR2 1145586598114689920	A	8 22 34,67	+82 15 05,21	13,02	-43,05	14,018	1,43	1,293	320,79
		Gaia DR2 1145586593822453376	B	8 22 34,26	+82 15 06,21	12,90	-42,64	16,986	1,57		
	LOC 353 AC	Gaia DR2 1145586598114689920	A	8 22 34,67	+82 15 05,21	13,02	-43,05	14,018	1,43	10,493	324,90
		Gaia DR2 1145586598114690176	C	8 22 31,68	+82 15 13,80	12,28	-42,42	18,360	1,24		
	LOC 353 BC	Gaia DR2 1145586593822453376	B	8 22 34,26	+82 15 06,21	12,90	-42,64	16,986	1,57	9,210	325,49
		Gaia DR2 1145586598114690176	C	8 22 31,68	+82 15 13,80	12,28	-42,42	18,360	1,24		
4	LOC 354 AB	Gaia DR2 1144267867060265472	A	8 40 56,00	+79 30 33,78	70,30	52,34	12,920	12,81	48,990	136,25
		Gaia DR2 1144267871356737536	B	8 41 08,41	+79 29 58,39	70,27	53,13	14,168	12,69		
	LOC 354 AC	Gaia DR2 1144267867060265472	A	8 40 56,00	+79 30 33,78	70,30	52,34	12,920	12,81	1,860	46,40
		Gaia DR2 1144267871356697728	C	8 40 56,49	+79 30 35,06	68,30	50,95	14,935	12,67		
	LOC 354 BC	Gaia DR2 1144267871356737536	B	8 41 08,41	+79 29 58,39	70,27	53,13	14,168	12,69	49,045	318,38
		Gaia DR2 1144267871356697728	C	8 40 56,49	+79 30 35,06	68,30	50,95	14,935	12,67		
5	LOC 355 AB	Gaia DR2 1150874355691761408	A	9 50 58,38	+85 44 04,65	58,43	22,21	16,567	5,03	48,110	273,63
		Gaia DR2 1150874321332023808	B	9 50 15,34	+85 44 07,69	58,43	22,35	17,564	5,11		
	LOC 355 AC	Gaia DR2 1150874355691761408	A	9 50 58,38	+85 44 04,65	58,43	22,21	16,567	5,03	44,084	274,36
		Gaia DR2 1150874321332023680	C	9 50 18,98	+85 44 08,00	57,79	22,80	17,634	5,13		
	LOC 355 BC	Gaia DR2 1150874321332023808	B	9 50 15,34	+85 44 07,69	58,43	22,35	17,564	5,11	4,072	85,63
		Gaia DR2 1150874321332023680	C	9 50 18,98	+85 44 08,00	57,79	22,80	17,634	5,13		

(Continúa en la página siguiente)

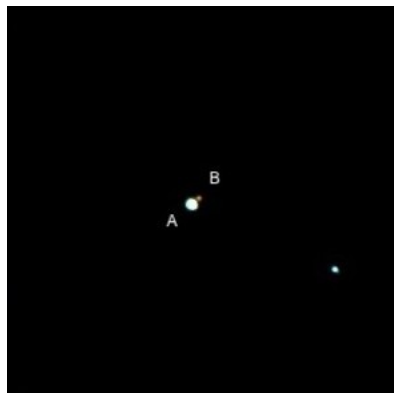
TABLA 2. NUEVOS SISTEMAS TRIPLES IDENTIFICADOS (CONT.).

N.º	DESIGN. PROV.	DESIGNACIÓN GAIA	COMP.	AR	DEC	MP AR	MP DEC	MAG G	PARALAJE	ρ ("")	θ (°)
6	LOC 356 AB	Gaia DR2 1129294550209380736	A	10 45 47,54	+77 17 37,53	53,06	-29,68	15,210	8,48	1,772	194,99
		Gaia DR2 1129294550210596480	B	10 45 47,40	+77 17 35,82	56,40	-31,40	15,283	8,92		
	LOC 356 AC	Gaia DR2 1129294550209380736	A	10 45 47,54	+77 17 37,53	53,06	-29,68	15,210	8,48	74,093	324,46
		Gaia DR2 1129306335600859264	C	10 45 34,22	+77 18 38,31	54,96	-30,46	16,498	8,72		
	LOC 356 BC	Gaia DR2 1129294550210596480	B	10 45 47,40	+77 17 35,82	56,40	-31,40	15,283	8,92	76,115	325,17
		Gaia DR2 1129306335600859264	C	10 45 34,22	+77 18 38,31	54,96	-30,46	16,498	8,72		
7	LOC 357 AB	Gaia DR2 1128330965707663616	A	11 13 40,42	+76 36 28,21	45,54	-13,07	15,632	4,85	1,001	13,46
		Gaia DR2 1128330965706491776	B	11 13 40,49	+76 36 29,18	43,55	-11,90	18,040	4,21		
	LOC 357 AC	Gaia DR2 1128330965707663616	A	11 13 40,42	+76 36 28,21	45,54	-13,07	15,632	4,85	12,743	186,58
		Gaia DR2 1128330961411802240	C	11 13 40,00	+76 36 15,55	43,79	-12,14	18,314	4,49		
	LOC 357 BC	Gaia DR2 1128330965706491776	B	11 13 40,49	+76 36 29,18	43,55	-11,90	18,040	4,21	13,736	187,12
		Gaia DR2 1128330961411802240	C	11 13 40,00	+76 36 15,55	43,79	-12,14	18,314	4,49		
8	LOC 358 AB	Gaia DR2 1151488123697266304	A	11 38 06,70	+87 18 47,29	-52,82	-12,71	13,194	3,90	25,047	21,68
		Gaia DR2 1151488123697266432	B	11 38 19,86	+87 19 10,56	-53,28	-12,47	13,831	3,75		
	LOC 358 AC	Gaia DR2 1151488123697266304	A	11 38 06,70	+87 18 47,29	-52,82	-12,71	13,194	3,90	3,006	268,96
		Gaia DR2 1151488123697266688	C	11 38 02,43	+87 18 47,24	-53,22	-12,59	13,936	3,94		
	LOC 358 BC	Gaia DR2 1151488123697266432	B	11 38 19,86	+87 19 10,56	-53,28	-12,47	13,831	3,75	26,338	207,62
		Gaia DR2 1151488123697266688	C	11 38 02,43	+87 18 47,24	-53,22	-12,59	13,936	3,94		

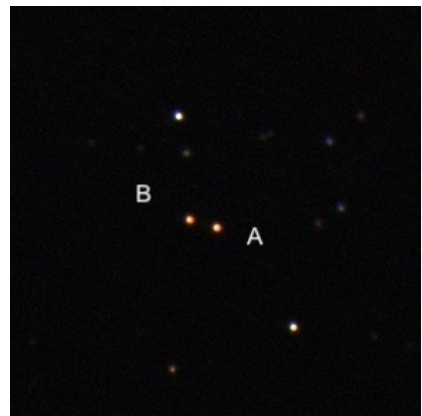
TABLA 3. NUEVO SISTEMA CUÁDRUPLE ENCONTRADO.

DESIGN. PROV.	DESIGNACIÓN GAIA	COMP.	AR	DEC	MP RA	PM DEC	MAG G	PARALAJE	ρ ("")	θ (°)
UC 2028 AB	GAIA DR2 1129490881755217152	A	10 56 11,64	+78 05 35,79	-45,50	-26,72	11,268	8,16	17,387	137,04
	GAIA DR2 1129490881755216384	B	10 56 15,47	+78 05 23,07	-47,61	-29,96	13,233	8,15		
LOC 359 AC	GAIA DR2 1129490881755217152	A	10 56 11,64	+78 05 35,79	-45,50	-26,72	11,268	8,16	15,146	134,59
	GAIA DR2 1129490881755216256	C	10 56 15,13	+78 05 25,16	-48,14	-28,07	15,979	8,19		
LOC 359 AD	GAIA DR2 1129490881755217152	A	10 56 11,64	+78 05 35,79	-45,50	-26,72	11,268	8,16	2,987	232,43
	GAIA DR2 1129490881755217280	D	10 56 10,88	+78 05 33,97	-48,20	-26,20	16,014	8,24		
LOC 359 BC	GAIA DR2 1129490881755216384	B	10 56 15,47	+78 05 23,07	-47,61	-29,96	13,233	8,15	2,340	333,27
	GAIA DR2 1129490881755216256	C	10 56 15,13	+78 05 25,16	-48,14	-28,07	15,979	8,19		

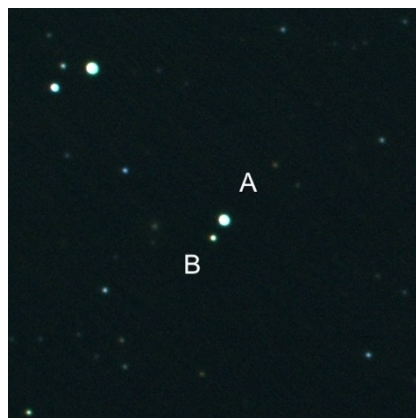
TABLA 4. ÁLBUM FOTOGRÁFICO. IMÁGENES OBTENIDAS POR EL AUTOR.



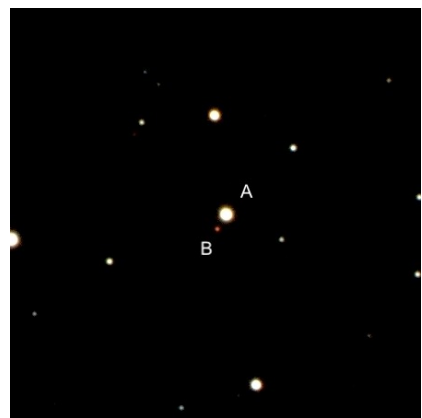
LOC 133
Tricromia Sloan g, r, i



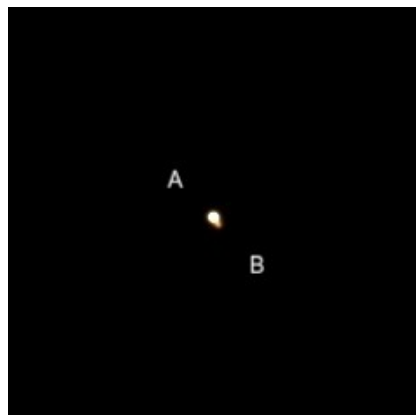
LOC 164
Tricromia Sloan g, r, i



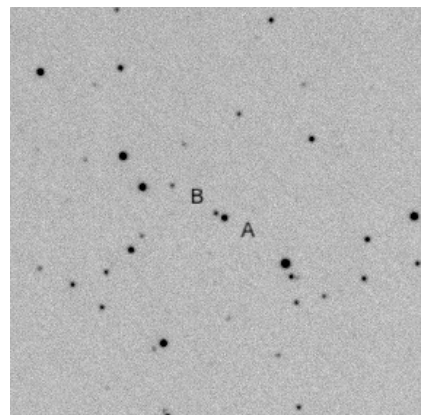
LOC 167
Tricromia Sloan g, r, i



LOC 173
Tricromia Sloan g, r, i



LOC 176
Tricromia Sloan g, r, i



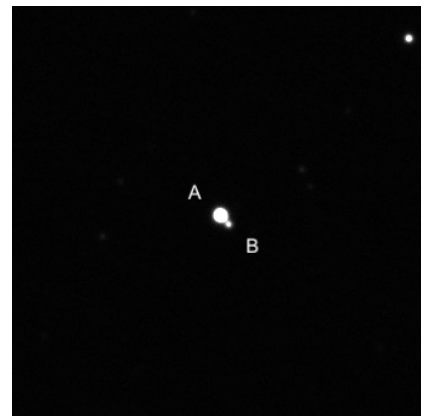
LOC 195
Sloan i

(Continúa en la página siguiente)

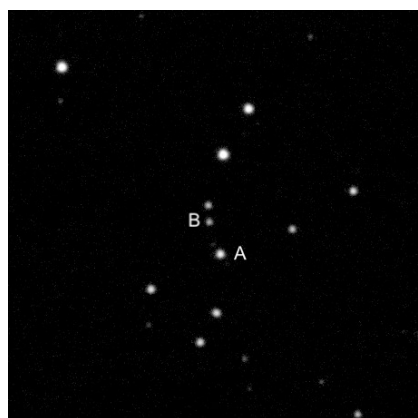
TABLA 4. ÁLBUM FOTOGRÁFICO. IMÁGENES OBTENIDAS POR EL AUTOR (CONT.).



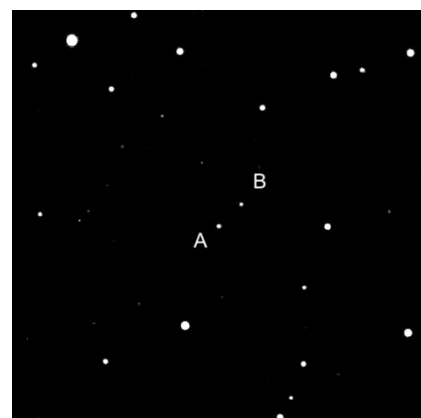
LOC 198
Tricromia Sloan g, r, i



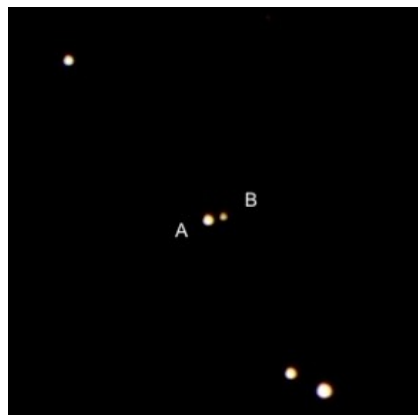
LOC 210
Sloan i



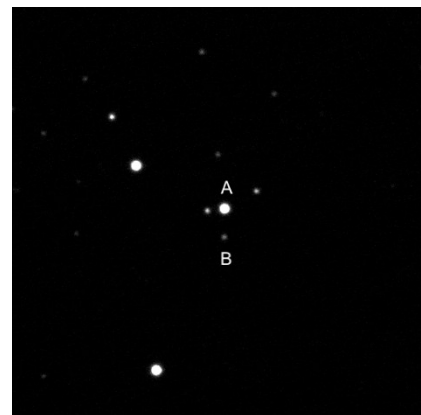
LOC 229
Sloan i



LOC 232
Sloan i



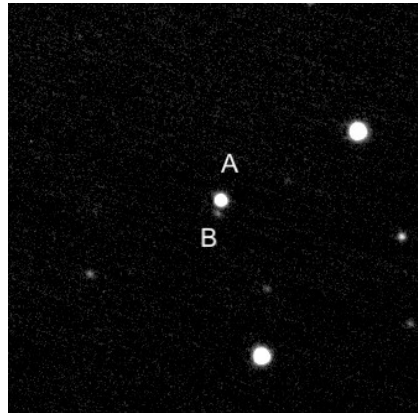
LOC 244
Tricromia Sloan g, r, i



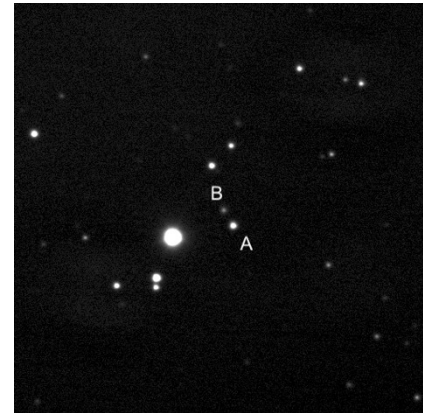
LOC 251
Sloan i

(Continúa en la página siguiente)

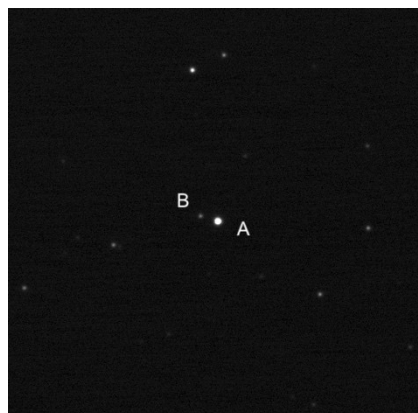
TABLA 4. ÁLBUM FOTOGRÁFICO. IMÁGENES OBTENIDAS POR EL AUTOR (CONT.).



LOC 254
Sloan r

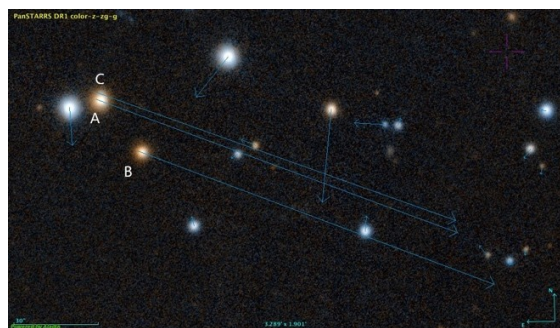


LOC 283
Clear



LOC 308
Sloan i

TABLA 5. ÁLBUM FOTOGRÁFICO. IMÁGENES DE LOS SISTEMAS TRIPLES (ALADIN SKY ATLAS).



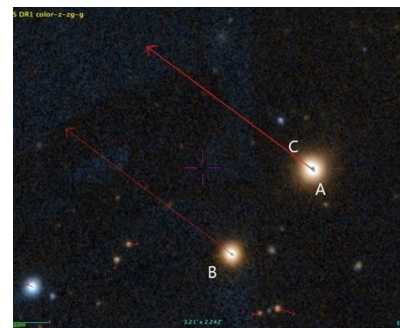
LOC 351 – Triple – DSS



LOC 352 – Triple - DSS

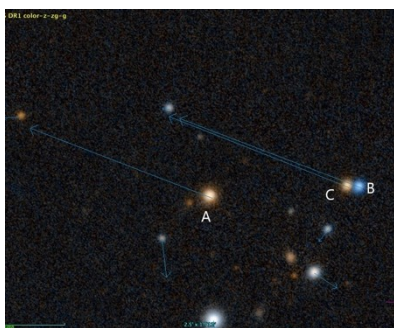


LOC 353 - Triple – DSS

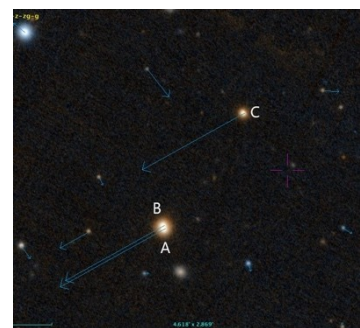


LOC 354 - Triple - DSS

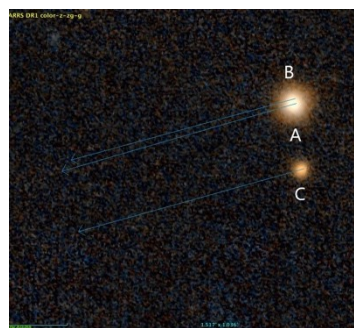
TABLA 5. ÁLBUM FOTOGRÁFICO. IMÁGENES DE LOS SISTEMAS TRIPLES (ALADIN SKY ATLAS).



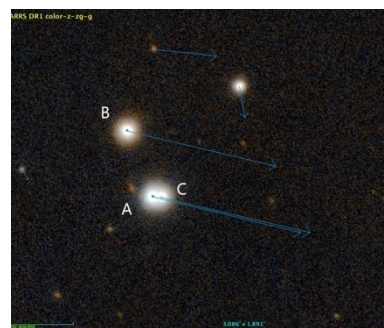
LOC 355 – Triple – DSS



LOC 356 – Triple - DSS

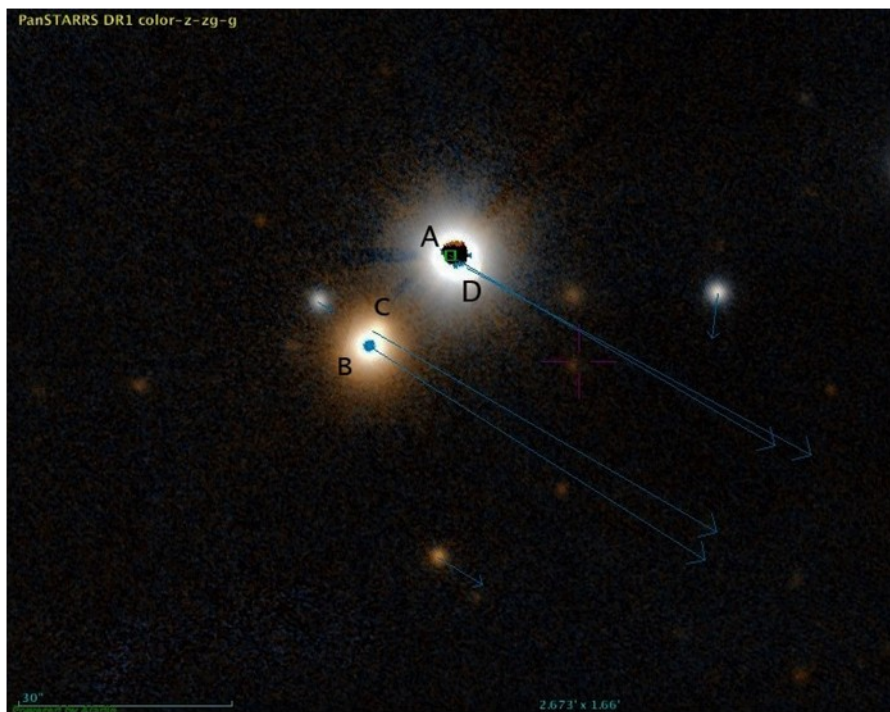


LOC 357 – Triple - DSS



LOC 358 - Triple - DSS

TABLA 6. ÁLBUM FOTOGRÁFICO. IMAGEN DEL SISTEMA CUÁDRUPLE LOC 359 (ALADIN SKY ATLAS).



Estrellas dobles con movimiento propio común y GAIA DR2: identificación de 210 nuevos pares y 3 nuevos sistemas triples (3^a serie)

MPC Double Stars and GAIA DR2: identification of 210 new binaries, and 3 triple systems (3rd Series)

Gianpiero Locatelli

Maritime Alps Observatory (Italia) — IAU MPC K32

■ Correo-e: locatellivet@inode.it

En este artículo se presenta el descubrimiento de nuevos pares de movimiento propio común obtenidos por medio de una búsqueda en el catálogo *Gaia DR2* entre las declinaciones +76° y +90° y entre los 270° y los 360° en ascensión recta. La existencia de los nuevos pares ha sido confirmada sobre placas del *Digital Sky Survey*.

In this paper we present the discovery of new common proper motion pairs obtained by means of a search in the Gaia DR2 catalog between the declinations +76° and +90° and between 270° and 360° in right ascension. The actual existence of the new pairs has been ascertained by examination of *Digital Sky Survey* plates.

Introducción

ESTE ARTÍCULO ES SIMILAR a otro artículo que aparece en esta misma publicación a nombre del mismo autor. Todas las consideraciones previas mencionadas anteriormente son parecidas. Solo cambian la zona de investigación y, por supuesto, los resultados. Ha sido rastreada una zona de cielo por encima de los 76° hasta los 90° en declinación norte y entre los 270° y los 360° en ascensión recta, es decir un cuarto de cielo por encima de los +76° en declinación. En fin, sumando los dos trabajos que se presentan en este número, se ha investigado una mitad del cielo desde la declinación ya citada hasta el polo norte.

Metodología

La búsqueda se configura como minería de datos sobre el catálogo *Gaia DR2*, llevada a cabo por medio de un software expresamente concebido. Los criterios de selección pueden resumirse así:

- Distancia entre 1 y 60 arcosegundos
- Magnitud G entre 8 y 19
- Movimiento propio de al menos 40 arcseg/año en AR o DEC
- Diferencia entre los movimientos propios no superior al 10 por ciento.

Todos los nuevos pares han sido visualizados sobre placas del DSS (*Digital Sky Survey*) o Pan

STARRS DR1 (*Panoramic Survey Telescope & Rapid Response System*) por medio del observatorio virtual *Aladin Sky Atlas*.

Igualmente, todos los nuevos sistemas han sido contrastados por su eventual presencia en el catálogo de referencia para las estrellas dobles, el *Washington Double Stars catalog* (WDS).

Resultados

La búsqueda de nuevos pares de movimiento propio común ha traído como resultados 210 nuevos pares y 3 sistemas triples; precisamente dos sistemas triples y una nueva componente de un sistema doble ya clasificado en el WDS.

La tabla 1 informa sobre los sistemas dobles encontrados.

Algunas breves notas

LOC 382 y LOC 475 presentan una magnitud de la componente B un poco superior a los parámetros iniciales de búsqueda.

En las imágenes DSS, LOC 527 parece un sistema triple, pero la tercera componente tiene una paraleja con un valor doble respecto a las demás, por esta razón solo se describió el sistema doble.

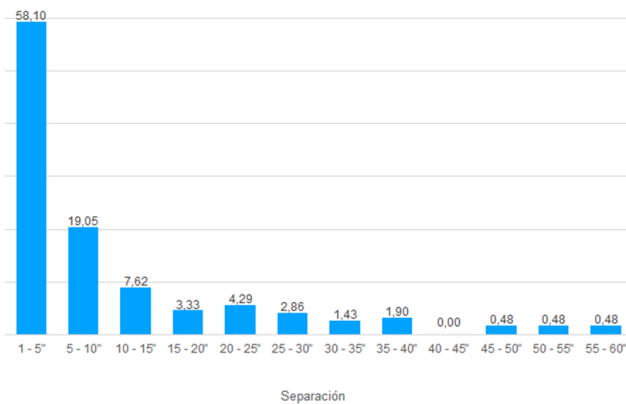


Figura 1. Distribución porcentual de separaciones de los sistemas de movimiento propio común encontrados.

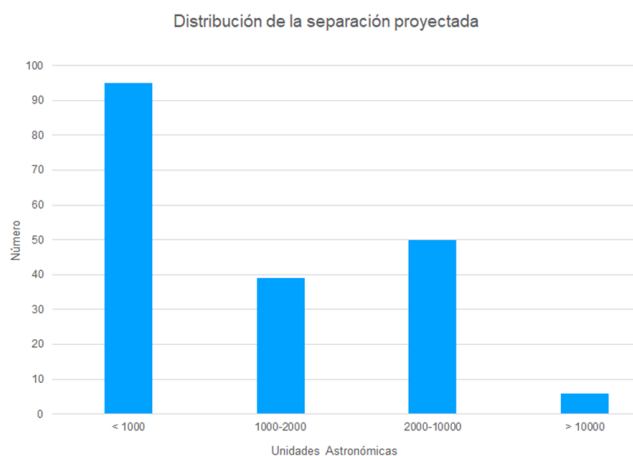


Figura 2. Distribución de la separación proyectada en unidades astronómicas de los sistemas descubiertos.

Un caso muy peculiar es el de la pareja provisionalmente nombrada como LOC 538. En el momento de contrastar su eventual existencia en el WDS se encontró al par TDT 3901. Los datos del WDS describen un par formado por dos estrellas con magnitudes bastante parecidas (11,09 la primaria y 11,50 la secundaria) separadas de 0,5 segundos de arco y con un ángulo de posición de 73°. Sin embargo, analizando los datos de *Gaia DR2*, parece que hay algo raro. Nuestra búsqueda encontró una pareja formada por la componente primaria de TDT 3901 y una componente secundaria de magnitud 18,49 (banda G *Gaia*) alejada 9,15° y con AP de 235,51°. Del mismo modo en el catálogo *Gaia* no aparece ninguna componente con magnitud alrededor de 11 con una distancia de 0,5"; acostumbrados como estamos a la precisión de los datos de *Gaia*, todo parece muy extraño. En la opinión del autor puede darse esta situación: la pareja TDT 3901 es un error y LOC 538 es un nuevo sistema doble, por lo demás LOC 538 debería de ser LOC 538AC, es decir una nueva componente de un par ya clasificado.

En la tabla 2 se encuentran los tres sistemas triples descubiertos.

Hablando de jerarquía, en el caso de LOC 570 esta parece ser del tipo A,BC y en caso de LOC 571 AC,B.

En el último caso, hay que precisar que solo se

encontró una nueva componente de un sistema doble ya clasificado en el WDS, el par LDS 2004. Los pares que se obtienen tendrían que ser LDS 2004 AB, LOC 572AC y LOC 572BC, con jerarquía AB,C.

Igual que en los trabajos anteriores, también esta vez se han analizado estadísticamente, de manera muy sencilla, los resultados obtenidos. Las magnitudes, en banda G *Gaia*, se situaron entre 8,23 y 18,57 con promedio de 14,22 en caso de la componente primaria y entre 12,60 y 19,77 con promedio de 16,95 en caso de la componente secundaria. El dato de la separación se encuentra en línea con los trabajos anteriores: la gran mayoría (mucho más de la mitad) de las separaciones está por debajo de los 5 segundos de arco (ver la figura 1). Además, analizando la distribución de las líneas de separación proyectadas (figura 2) se puede ver que exactamente la mitad de los sistemas dobles descubiertos presenta un valor inferior a las 1000 unidades astronómicas. La probabilidad que dentro de este subconjunto se encuentren sistemas con carácter físico es bastante alta. Solo habrá que ponerse a estudiar esos sistemas.

Galería de imágenes

Desgraciadamente, por causas técnicas y por la premura de tiempo, las imágenes de los sistemas descubiertos, obtenidas por el mismo autor, han sido muy pocas. Se pueden encontrar en la tabla 3.

Todas estas imágenes han sido tomadas utilizando un telescopio Schmidt-Cassegrain de 0,25 metros de diámetro, reductor de focal y cámara con chip KAF 8300. La escala de placa resultante es de 0,77"/píxel. Han sido utilizados filtros Sloan, junto al nombre de la imagen aparece el filtro específico. Ⓢ

Agradecimientos

Este trabajo ha utilizado los siguientes recursos:

Gaia Archive – European Space Agency (ESA)
<https://gea.esac.esa.int/archive/>

Aladin Sky Atlas - Centre de données astronomiques de Strasbourg (CDS)
<http://cdsweb.u-strasbg.fr>

Washington Double Star Catalog (WDS) - United States Naval Observatory
<https://ad.usno.navy.mil/wds/>

Igualmente, se ha utilizado la siguiente bibliografía:

Benavides, R, González, J. L., Masa, E.: *Observación de estrellas dobles*. Ed. Marcombo (2017).

Locatelli, G.: *Estrellas dobles y GAIA DR2: identificación de 123 nuevos pares y 2 nuevos sistemas triples con mpc*. OED n. 22. Enero - Junio 2019

TABLA 1. NUEVOS PARES MPC IDENTIFICADOS (CONT.).

N.º	DESIGN. PROV.	DESIGNACIÓN GAIA	COMP.	AR	DEC	MP AR	MP DEC	MAG G	PARALAJE	ρ (")	θ (°)
1 LOC 360	Gaia DR2 2269237415266752128	A	18 02 51,79	+76 28 02,67	37,61	47,79	12,872	11,50		1,286	244,12
	Gaia DR2 2269237419563762560	B	18 02 51,46	+76 28 02,11	37,15	50,34	14,916	11,57			
2 LOC 361	Gaia DR2 2269560710341753728	A	18 12 23,61	+76 33 48,85	-43,88	135,61	17,727	17,67		3,224	324,60
	Gaia DR2 2269560710340167296	B	18 12 23,07	+76 33 51,48	-42,37	137,58	18,630	17,77			
3 LOC 362	Gaia DR2 2269583864509262720	A	18 17 27,02	+76 52 16,46	-14,25	46,69	17,972	2,31		7,052	289,27
	Gaia DR2 2269583864509016448	B	18 17 25,07	+76 52 18,79	-13,99	46,88	18,212	2,27			
4 LOC 363	Gaia DR2 2293774322910822016	A	18 12 00,18	+78 13 50,27	101,1 3	105,47	16,244	6,19		2,143	66,50
	Gaia DR2 2293774327206669312	B	18 12 00,82	+78 13 51,12	-99,82	105,35	17,681	6,18			
5 LOC 364	Gaia DR2 2296822551397125632	A	18 05 23,52	+83 51 15,48	-41,63	46,94	13,613	7,79		3,567	151,46
	Gaia DR2 2296822551397125760	B	18 05 24,58	+83 51 12,35	-38,95	46,44	14,468	7,73			
6 LOC 365	Gaia DR2 2302882028697195136	A	18 09 07,80	+84 39 48,44	-10,40	75,94	15,988	5,93		10,837	135,87
	Gaia DR2 2302882024400146176	B	18 09 13,21	+84 39 40,66	-10,22	75,92	16,701	5,89			
7 LOC 366	Gaia DR2 2296833409074442496	A	18 00 39,72	+84 00 34,07	-42,87	66,33	16,311	4,05		6,469	85,96
	Gaia DR2 229683340354966144	B	18 00 43,84	+84 00 34,52	-40,05	66,62	17,998	3,92			
8 LOC 367	Gaia DR2 2269307891385600384	A	18 31 52,10	+76 05 18,31	-8,73	-46,87	17,184	2,59		1,123	136,90
	Gaia DR2 2269307891386799744	B	18 31 52,31	+76 05 17,49	-8,69	-48,17	17,648	2,89			
9 LOC 368	Gaia DR2 2293559471467263872	A	18 23 41,01	+77 40 43,70	8,05	48,32	12,746	3,82		8,536	262,40
	Gaia DR2 2293559372684442752	B	18 23 38,37	+77 40 42,57	8,00	47,71	14,668	3,79			
10 LOC 369	Gaia DR2 2293477489132403200	A	18 34 25,64	+77 07 37,55	15,06	44,77	17,636	2,16		23,505	296,85
	Gaia DR2 2293477489131900416	B	18 34 19,36	+77 07 48,16	15,10	44,77	18,559	2,23			
11 LOC 370	Gaia DR2 2293615482136863360	A	18 39 31,15	+78 00 20,42	12,79	42,88	15,595	5,94		3,349	320,20
	Gaia DR2 2293615482136863232	B	18 39 30,46	+78 00 22,99	13,87	43,82	17,490	5,86			
12 LOC 371	Gaia DR2 2294105417645961856	A	18 32 36,54	+79 01 47,17	-65,75	-67,60	14,287	9,19		9,598	28,71
	Gaia DR2 2294106890819234176	B	18 32 38,15	+79 01 55,58	-70,11	-68,11	18,721	9,53			
13 LOC 372	Gaia DR2 2296137761809241728	A	18 24 39,79	+81 23 07,57	-10,21	53,69	9,771	2,67		22,138	63,19
	Gaia DR2 2296137761810706048	B	18 24 48,58	+81 23 17,56	-9,64	53,91	17,416	2,38			
14 LOC 373	Gaia DR2 2295996607714198016	A	18 23 42,34	+80 39 13,48	-38,01	50,20	12,285	8,27		5,130	303,35
	Gaia DR2 2295996612005424256	B	18 23 40,58	+80 39 16,30	-37,29	50,27	12,600	8,31			

(Continúa en la página siguiente)

TABLA 1. NUEVOS PARES MPC IDENTIFICADOS (CONT.).

N.º	DESIGN. PROV.	DESIGNACIÓN GAIA	COMP.	AR	DEC	MP AR	MP DEC	MAG G	PARALAJE	ρ (")	θ (°)
15	LOC 374	Gaia DR2 2295988537467119232	A	18 32 53,33	+81 47 50,48	-8,95	-41,56	13,826	9,65	5,654	286,60
		Gaia DR2 2295988537467118976	B	18 32 50,80	+81 47 52,09	-8,51	-43,73	17,071	9,37		
16	LOC 375	Gaia DR2 2296162706980793216	A	18 20 12,14	+81 49 11,31	4,81	52,58	16,434	5,67	2,921	234,62
		Gaia DR2 2296162706980793088	B	18 20 11,02	+81 49 09,62	4,52	52,20	16,609	5,55		
17	LOC 376	Gaia DR2 2296566567050436864	A	18 31 42,04	+82 18 21,41	6,72	47,71	9,976	8,13	11,497	355,79
		Gaia DR2 2296566571346098048	B	18 31 41,62	+82 18 32,88	7,35	47,56	15,617	8,24		
18	LOC 377	Gaia DR2 2296596086361452800	A	18 26 57,26	+82 34 55,66	-29,95	73,38	13,542	4,08	4,854	149,25
		Gaia DR2 2296596086361452928	B	18 26 58,54	+82 34 51,49	-29,93	73,29	17,118	3,99		
19	LOC 378	Gaia DR2 2303416112173291648	A	18 28 14,74	+85 41 50,64	5,84	41,30	12,181	3,66	3,617	242,48
		Gaia DR2 2303416116469604224	B	18 28 11,89	+85 41 48,97	6,00	40,77	15,212	3,56		
20	LOC 379	Gaia DR2 2302948407414788736	A	18 27 44,21	+84 58 44,87	-14,18	64,16	15,011	5,43	1,143	94,52
		Gaia DR2 2302948411711217792	B	18 27 45,07	+84 58 44,78	-14,79	64,89	18,206	5,58		
21	LOC 380	Gaia DR2 2303383234199975552	A	18 25 51,35	+85 26 07,45	7,45	66,16	15,243	6,73	2,212	317,73
		Gaia DR2 2303383234199975680	B	18 25 50,10	+85 26 09,08	6,79	66,31	15,451	6,79		
22	LOC 381	Gaia DR2 2303422881042514816	A	18 21 26,69	+85 54 29,96	53,76	48,76	17,661	7,65	3,290	73,29
		Gaia DR2 2303422885338166144	B	18 21 29,63	+85 54 30,91	52,45	50,84	17,718	7,54		
23	LOC 382	Gaia DR2 2302948407414790272	A	18 27 22,59	+84 59 16,33	-2,04	53,44	16,850	5,10	1,761	291,53
		Gaia DR2 2302948411711216640	B	18 27 21,34	+84 59 16,98	-2,10	55,82	19,188	5,10		
24	LOC 383	Gaia DR2 2305691280905509376	A	18 28 06,86	+88 55 06,51	-4,93	41,82	15,892	2,14	6,340	205,08
		Gaia DR2 2305691280905508992	B	18 27 57,36	+88 55 00,77	-4,96	41,81	17,771	2,15		
25	LOC 384	Gaia DR2 2292709244035909888	A	18 41 58,46	+76 55 55,64	-12,46	-50,40	15,096	2,70	1,245	260,27
		Gaia DR2 2292709244037094144	B	18 41 58,10	+76 55 55,43	-12,58	-50,75	17,006	2,20		
26	LOC 385	Gaia DR2 2292859293014959488	A	18 43 48,71	+77 50 10,93	8,40	-45,71	14,313	8,49	3,240	320,87
		Gaia DR2 2292859288719699712	B	18 43 48,07	+77 50 13,45	8,91	-45,63	16,233	8,29		
27	LOC 386	Gaia DR2 2292866645999070464	A	18 50 44,84	+77 45 25,89	-7,25	64,80	15,433	5,72	15,485	23,12
		Gaia DR2 2292866676063035264	B	18 50 46,75	+77 45 40,13	-6,60	63,86	18,142	5,89		
28	LOC 387	Gaia DR2 2292773629890598144	A	18 53 46,72	+77 07 30,31	-8,00	69,22	17,089	3,10	8,474	309,52
		Gaia DR2 2292776589124494848	B	18 53 44,76	+77 07 35,70	-7,81	69,38	17,286	3,03		

(Continúa en la página siguiente)

TABLA 1. NUEVOS PARES MPC IDENTIFICADOS (CONT.).

N.º	DESIGN. PROV.	DESIGNACIÓN GAIA	COMP.	AR	DEC	MP AR	MP DEC	MAG G	PARALAJE	ρ (")	θ (°)
29	LOC 388	Gaia DR2 2293636922613643008	A	18 44 11,47	+78 04 52,34	49,91	111,04	11,196	6,99	3,523	259,21
		Gaia DR2 2293636922613642880	B	18 44 10,36	+78 04 51,68	51,61	111,53	13,329	6,99		
30	LOC 389	Gaia DR2 2295968299581161728	A	18 44 30,11	+81 33 04,00	5,99	59,14	14,910	2,87	1,588	160,35
		Gaia DR2 2295968299579992960	B	18 44 30,36	+81 33 02,50	5,45	59,19	16,286	2,96		
31	LOC 390	Gaia DR2 2295967303148758016	A	18 46 04,13	+81 31 52,57	- 1	13,53	15,430	10,66	7,473	187,89
		Gaia DR2 2295967303148757888	B	18 46 03,66	+81 31 45,17	- 8	13,09	17,015	10,80		
32	LOC 391	Gaia DR2 229637934513296128	A	18 47 59,72	+82 03 15,12	43,83	12,21	15,749	6,25	36,694	352,12
		Gaia DR2 2296379443915067264	B	18 47 57,29	+82 03 51,47	43,55	12,04	18,988	6,28		
33	LOC 392	Gaia DR2 2296549288397414528	A	18 44 45,68	+83 15 26,93	7,11	40,53	15,970	6,01	3,365	274,78
		Gaia DR2 2296549288397414400	B	18 44 43,78	+83 15 27,21	6,60	40,67	15,988	6,01		
34	LOC 393	Gaia DR2 2296395837804633344	A	18 43 50,53	+82 28 08,34	53,30	40,36	16,656	4,95	1,907	23,05
		Gaia DR2 2296395837804633472	B	18 43 50,91	+82 28 10,10	52,83	40,29	17,675	5,10		
35	LOC 394	Gaia DR2 2302737374198725248	A	18 49 14,47	+84 37 44,31	-56,45	82,25	17,280	1,90	1,582	13,93
		Gaia DR2 2302737374197143680	B	18 49 14,74	+84 37 45,84	-55,59	82,09	18,297	2,14		
36	LOC 395	Gaia DR2 2305021506525169664	A	18 45 18,55	+86 43 26,64	-43,57	-18,04	13,774	0,67	2,106	209,35
		Gaia DR2 2305021506525169536	B	18 45 17,35	+86 43 24,80	-43,61	-17,62	17,236	0,82		
37	LOC 396	Gaia DR2 2305172036538967808	A	18 58 25,53	+87 39 56,57	30,43	141,75	13,995	16,52	23,812	141,76
		Gaia DR2 2305172036538968064	B	18 58 49,66	+87 39 37,87	31,28	145,88	15,029	16,60		
38	LOC 397	Gaia DR2 2292391515240473600	A	19 06 49,68	+76 08 54,29	6,88	62,40	15,296	3,20	1,114	98,37
		Gaia DR2 2292391515936553472	B	19 06 49,98	+76 08 54,13	7,34	62,80	18,041	3,41		
39	LOC 398	Gaia DR2 2292518203892059904	A	19 17 59,32	+76 43 20,84	38,99	45,05	15,479	2,01	19,345	104,37
		Gaia DR2 2292518203892060800	B	19 18 04,76	+76 43 16,04	39,03	45,32	17,503	2,03		
40	LOC 399	Gaia DR2 2292979552097642752	A	19 10 38,20	+77 32 28,24	50,49	38,60	15,727	4,48	1,434	94,36
		Gaia DR2 2292979552098742656	B	19 10 38,64	+77 32 28,13	49,31	38,50	18,021	4,54		
41	LOC 400	Gaia DR2 2293359639525290368	A	19 07 08,50	+78 54 05,56	47,04	86,95	13,195	5,42	1,861	94,65
		Gaia DR2 2293359639525434496	B	19 07 09,14	+78 54 05,41	46,20	86,78	17,135	5,36		
42	LOC 401	Gaia DR2 2293158841213756160	A	19 16 33,20	+78 47 32,02	-31,60	-41,26	13,842	2,80	7,754	134,17
		Gaia DR2 2293158841212901760	B	19 16 35,11	+78 47 26,62	-31,60	-41,48	17,831	2,91		

(Continúa en la página siguiente)

TABLA 1. NUEVOS PARES MPC IDENTIFICADOS (CONT.).

N.º	DESIGN. PROV.	DESIGNACIÓN GAIA	COMP.	AR	DEC	MP AR	MP DEC	MAG G	PARALAJE	p (")	θ (º)
43	LOC 402	Gaia DR2 229505725118646528	A	19 19 14,27	+80 32 46,55	-21,09	-44,03	13,049	4,24	24,427	182,94
		Gaia DR2 2295057010600477824	B	19 19 13,76	+80 32 22,16	-20,60	-43,78	17,600	4,10		
44	LOC 403	Gaia DR2 2296467374781091072	A	19 00 56,42	+82 37 00,45	32,70	68,54	14,735	4,62	8,032	56,99
		Gaia DR2 2296467374781091328	B	19 00 59,91	+82 37 04,82	32,88	67,91	14,958	4,55		
45	LOC 404	Gaia DR2 2289888068999426304	A	19 22 32,62	+76 42 02,84	8,82	48,72	14,573	5,90	3,106	346,08
		Gaia DR2 2289888068997497984	B	19 22 32,41	+76 42 05,86	8,84	50,63	17,779	6,01		
46	LOC 405	Gaia DR2 2290068457625414144	A	19 28 20,79	+77 54 11,09	29,27	49,59	14,980	5,78	4,844	310,23
		Gaia DR2 2290068457625413888	B	19 28 19,61	+77 54 14,21	29,81	48,66	15,041	5,78		
47	LOC 406	Gaia DR2 2292931104867782528	A	19 22 16,15	+77 16 27,31	42,58	33,85	16,094	4,19	1,804	354,35
		Gaia DR2 2292931104866775040	B	19 22 16,10	+77 16 29,10	42,05	34,67	18,464	4,22		
48	LOC 407	Gaia DR2 2294743271829936256	A	19 31 02,68	+79 18 32,58	6,63	41,92	16,870	4,12	2,641	135,79
		Gaia DR2 2294743267533963008	B	19 31 03,34	+79 18 30,69	6,97	41,73	17,837	4,32		
49	LOC 408	Gaia DR2 2294743027014829696	A	19 31 58,93	+79 16 57,52	19,28	44,85	18,009	4,38	12,840	168,40
		Gaia DR2 2294743031309577984	B	19 31 59,85	+79 16 44,94	18,13	45,28	18,296	4,70		
50	LOC 409	Gaia DR2 2295380163939768832	A	19 32 20,55	+81 10 04,78	-6,67	59,15	12,482	4,55	7,494	274,61
		Gaia DR2 2295380159644327808	B	19 32 17,30	+81 10 05,38	-6,24	59,34	17,720	4,49		
51	LOC 410	Gaia DR2 2295618173847179136	A	19 32 50,48	+81 55 52,26	2,12	54,05	13,335	2,04	8,145	271,91
		Gaia DR2 2295618380005608960	B	19 32 46,62	+81 55 52,53	2,07	53,97	15,365	2,01		
52	LOC 411	Gaia DR2 2294847175678977408	A	19 27 42,60	+80 13 59,06	38,64	41,91	13,665	24,55	4,671	39,07
		Gaia DR2 2294847278756327936	B	19 27 43,76	+80 14 02,69	41,06	39,61	15,248	24,50		
53	LOC 412	Gaia DR2 2295684041465714304	A	19 22 32,47	+82 13 09,87	15,46	41,41	10,232	3,42	10,185	241,09
		Gaia DR2 2295684793084330112	B	19 22 28,08	+82 13 04,95	14,33	43,19	15,589	3,42		
54	LOC 413	Gaia DR2 2301670710480194176	A	19 39 24,27	+82 40 38,39	19,55	86,90	13,372	6,10	6,282	39,40
		Gaia DR2 2301670710479154560	B	19 39 26,35	+82 40 43,25	19,08	87,45	16,871	6,17		
55	LOC 414	Gaia DR2 2301680537365344000	A	19 33 46,41	+82 43 10,12	58,60	90,85	16,651	9,52	3,259	226,17
		Gaia DR2 2301680537365343744	B	19 33 45,17	+82 43 07,87	59,04	90,14	17,478	9,65		
56	LOC 415	Gaia DR2 2305679388140130560	A	19 38 19,85	+88 54 36,05	27,70	57,56	12,438	8,04	1,339	219,56
		Gaia DR2 2305679392436068352	B	19 38 16,86	+88 54 35,01	25,51	56,54	16,365	7,88		

(Continúa en la página siguiente)

TABLA 1. NUEVOS PARES MPC IDENTIFICADOS (CONT.).

N.º	DESIGN. PROV.	DESIGNACIÓN GAIA	COMP.	AR	DEC	MP AR	MP DEC	MAG G	PARALAJE	ρ (")	θ (°)
57	LOC 416	Gaia DR2 2304855308471129856	A	19 29 17,17	+86 55 58,64	23,53	74,97	15,002	7,44	3,223	142,01
		Gaia DR2 2304855308471130112	B	19 29 19,64	+86 55 56,10	22,70	73,74	15,539	7,19		
58	LOC 417	Gaia DR2 2304791846032876928	A	19 36 46,77	+86 14 38,50	43,89	63,18	16,656	2,49	18,388	20,55
		Gaia DR2 2304791841738525440	B	19 36 53,34	+86 14 55,72	43,80	62,97	18,530	2,49		
59	LOC 418	Gaia DR2 2289600477990289536	A	19 43 00,60	+76 05 34,67	19,20	48,51	12,692	3,11	11,517	239,14
		Gaia DR2 2289600473692451840	B	19 42 57,86	+76 05 28,76	20,37	48,00	18,808	2,90		
60	LOC 419	Gaia DR2 2289744857610543616	A	19 47 01,99	+76 54 29,01	10,27	44,01	15,918	6,92	2,483	333,49
		Gaia DR2 2289744857610543488	B	19 47 01,66	+76 54 31,23	10,43	43,91	16,392	6,85		
61	LOC 420	Gaia DR2 2289987059404392064	A	19 43 52,94	+77 32 02,61	-11,29	93,04	8,231	6,35	7,878	7,19
		Gaia DR2 2289987059405297024	B	19 43 53,24	+77 32 10,42	-11,94	93,27	17,673	5,77		
62	LOC 421	Gaia DR2 2291326195849276032	A	19 55 26,87	+77 53 34,69	-82,65	73,17	10,403	5,48	3,498	290,25
		Gaia DR2 2291326195849275776	B	19 55 25,82	+77 53 35,90	-81,63	71,76	16,060	5,49		
63	LOC 422	Gaia DR2 2291521079987934336	A	19 42 07,31	+78 08 55,17	27,93	83,66	14,691	4,70	1,253	203,07
		Gaia DR2 2291521084284146688	B	19 42 07,15	+78 08 54,02	30,05	84,15	16,268	4,19		
64	LOC 423	Gaia DR2 2291768096443891200	A	19 43 58,07	+79 41 25,31	-34,53	-40,07	12,242	5,06	2,237	321,32
		Gaia DR2 2291768096443891072	B	19 43 57,55	+79 41 27,06	-34,67	-41,46	15,060	5,00		
65	LOC 424	Gaia DR2 2292118836356717056	A	19 58 54,95	+80 00 17,13	-40,30	8,79	12,018	2,47	4,796	204,47
		Gaia DR2 2292118840652107904	B	19 58 54,19	+80 00 12,76	-40,26	9,50	17,653	2,55		
66	LOC 425	Gaia DR2 2295206956499468160	A	19 40 37,09	+80 33 06,56	-82,25	-22,30	13,583	4,30	7,396	277,61
		Gaia DR2 2295206956497198592	B	19 40 34,11	+80 33 07,54	-81,44	-22,13	18,291	4,25		
67	LOC 426	Gaia DR2 2292171239252995712	A	19 54 42,15	+80 09 51,35	58,23	17,75	14,071	8,15	1,736	50,16
		Gaia DR2 2292171239254390400	B	19 54 42,67	+80 09 52,46	57,67	19,28	14,417	8,21		
68	LOC 427	Gaia DR2 2301664457007813504	A	19 40 04,51	+82 37 25,80	-5,68	56,07	12,846	3,80	2,703	242,86
		Gaia DR2 2301664353927560320	B	19 40 03,26	+82 37 24,56	-5,12	56,49	17,768	3,79		
69	LOC 428	Gaia DR2 2301869962603066752	A	19 42 01,95	+83 34 37,43	38,71	58,32	16,859	5,07	9,590	336,51
		Gaia DR2 2301869958307509248	B	19 41 59,67	+83 34 46,22	39,31	58,81	18,436	5,13		
70	LOC 429	Gaia DR2 2301441256147377792	A	19 44 21,07	+82 07 18,15	11,10	55,50	17,043	3,42	56,246	129,08
		Gaia DR2 1138523369777650816	B	19 44 42,31	+82 06 42,70	10,23	50,05	17,341	2,34		

(Continúa en la página siguiente)

TABLA 1. NUEVOS PARES MPC IDENTIFICADOS (CONT.).

N.º	DESIGN. PROV.	DESIGNACIÓN GAIA	COMP.	AR	DEC	MP AR	MP DEC	MAG G	PARALAJE	ρ ("")	θ (°)
71	LOC 430	Gaia DR2 2304953061926347520	A	19 42 14,30	+87 09 31,13	66,53	27,71	12,506	4,09	6,021	75,64
		Gaia DR2 2304953057631274752	B	19 42 22,15	+87 09 32,62	66,94	28,98	18,031	4,02		
72	LOC 431	Gaia DR2 2304947907965593472	A	19 42 38,71	+87 03 27,54	17,07	44,35	14,326	5,48	3,869	39,30
		Gaia DR2 2304947907965593600	B	19 42 41,90	+87 03 30,53	17,80	44,96	16,448	5,34		
73	LOC 432	Gaia DR2 2290411505254526848	A	20 15 56,97	+76 48 36,51	32,82	48,17	9,624	3,93	4,147	342,85
		Gaia DR2 2290411505254526464	B	20 15 56,61	+76 48 40,47	32,59	46,76	15,203	3,94		
74	LOC 433	Gaia DR2 2290592959032637696	A	20 11 46,25	+77 29 38,55	-2,75	42,15	13,922	2,51	1,704	131,78
		Gaia DR2 2290581208002116096	B	20 11 46,64	+77 29 37,41	-2,52	41,85	15,956	2,44		
75	LOC 434	Gaia DR2 2291217138039585280	A	20 00 38,72	+77 09 23,53	-16,71	-76,36	14,282	7,94	2,106	175,67
		Gaia DR2 2291217138037632512	B	20 00 38,77	+77 09 21,43	-17,37	-76,96	16,525	7,92		
76	LOC 435	Gaia DR2 2291361792537796096	A	20 06 09,73	+77 56 23,74	-5,07	-44,16	14,646	6,90	1,029	260,07
		Gaia DR2 2291361792536256768	B	20 06 09,41	+77 56 23,56	-4,95	-42,80	17,098	6,40		
77	LOC 436	Gaia DR2 2291771841655211136	A	20 15 36,17	+78 26 07,37	-23,60	-40,08	11,143	3,53	9,483	216,57
		Gaia DR2 2291771841655210880	B	20 15 34,29	+78 25 59,75	-23,70	-40,23	14,716	3,51		
78	LOC 437	Gaia DR2 2291800188439315712	A	20 11 55,02	+78 46 58,67	-27,78	46,24	16,370	0,80	34,926	230,39
		Gaia DR2 2291800081064026880	B	20 11 45,80	+78 46 36,41	-27,55	46,49	18,469	0,63		
79	LOC 438	Gaia DR2 2291868461239565440	A	20 07 01,03	+79 10 00,80	-71,16	-74,66	15,132	7,73	2,439	5,84
		Gaia DR2 2291868461239565312	B	20 07 01,12	+79 10 03,23	-70,68	-74,07	16,898	7,77		
80	LOC 439	Gaia DR2 2298328431353863936	A	20 09 26,12	+81 14 28,81	85,95	95,58	12,032	14,80	3,916	78,52
		Gaia DR2 2298328435648555520	B	20 09 27,80	+81 14 29,58	84,85	99,88	18,545	14,94		
81	LOC 440	Gaia DR2 2298366506240980736	A	20 10 45,55	+81 26 51,54	38,15	85,76	16,393	6,16	1,352	157,90
		Gaia DR2 2298366506238667520	B	20 10 45,78	+81 26 50,29	40,61	86,07	18,955	6,33		
82	LOC 441	Gaia DR2 2298475323530112256	A	20 16 43,68	+81 56 12,48	16,44	41,03	17,066	4,13	1,034	138,65
		Gaia DR2 2298475323531725056	B	20 16 44,01	+81 56 11,70	17,39	40,33	17,320	3,12		
83	LOC 442	Gaia DR2 2301934455830467712	A	20 17 46,61	+83 14 05,78	47,55	29,75	15,448	4,61	1,466	73,57
		Gaia DR2 2301934455832272384	B	20 17 47,40	+83 14 06,19	47,38	29,80	15,608	4,59		
84	LOC 443	Gaia DR2 2302004270524468352	A	20 07 42,25	+83 36 19,76	35,64	54,28	17,018	2,52	1,431	7,91
		Gaia DR2 2302004274819014144	B	20 07 42,37	+83 36 21,17	36,55	54,30	18,699	2,18		

(Continúa en la página siguiente)

TABLA 1. NUEVOS PARES MPC IDENTIFICADOS (CONT.).

N.º	DESIGN. PROV.	DESIGNACIÓN GAIA	COMP.	AR	DEC	MP AR	MP DEC	MAG G	PARALAJE	ρ (")	θ (°)
85	LOC 444	Gaia DR2 2302438749415670656	A	20 03 59,50	+85 12 30,85	-41,02	-19,82	10,667	3,88	20,008	295,91
		Gaia DR2 2302438715056036864	B	20 03 45,13	+85 12 39,59	-40,27	-18,23	17,910	3,86		
86	LOC 445	Gaia DR2 2302404939432966016	A	20 01 27,62	+84 46 59,13	83,19	50,45	16,649	9,38	45,605	182,77
		Gaia DR2 2302404909370209664	B	20 01 26,01	+84 46 13,58	83,61	51,41	18,997	9,02		
87	LOC 446	Gaia DR2 2304785695641175424	A	20 02 28,07	+86 35 11,46	31,38	49,31	13,883	5,11	2,325	333,48
		Gaia DR2 2304785695641175296	B	20 02 26,91	+86 35 13,54	31,38	47,51	15,658	4,81		
88	LOC 447	Gaia DR2 2305376545701810560	A	20 09 55,36	+87 55 44,31	-48,07	-63,35	15,290	5,27	7,163	307,12
		Gaia DR2 2305376545701810432	B	20 09 44,83	+87 55 48,63	-48,05	-63,71	15,813	5,24		
89	LOC 448	Gaia DR2 2304773978970393600	A	20 01 37,99	+86 24 38,76	29,66	46,07	15,739	8,70	1,994	340,60
		Gaia DR2 2304773978969368832	B	20 01 37,28	+86 24 40,64	28,82	47,80	15,766	8,65		
90	LOC 449	Gaia DR2 2305372903568848384	A	20 07 27,17	+87 47 08,95	32,73	40,84	18,568	1,79	1,354	306,62
		Gaia DR2 2305372903569703424	B	20 07 25,30	+87 47 09,76	32,79	41,06	18,748	1,84		
91	LOC 450	Gaia DR2 2290748746086180864	A	20 32 18,64	+77 52 54,66	-65,57	-41,96	11,351	5,14	3,188	292,93
		Gaia DR2 2290748746084150528	B	20 32 17,71	+77 52 55,90	-65,04	-42,89	15,630	5,11		
92	LOC 451	Gaia DR2 2298100183908283904	A	20 28 22,90	+81 06 35,74	-52,40	-68,66	11,977	7,56	12,740	352,48
		Gaia DR2 2298100218268022016	B	20 28 22,18	+81 06 48,37	-51,87	-68,57	16,944	7,47		
93	LOC 452	Gaia DR2 2298463813019432832	A	20 25 27,07	+81 52 02,51	-48,72	-24,16	15,023	5,43	1,111	150,01
		Gaia DR2 2298463813017912832	B	20 25 27,33	+81 52 01,55	-47,13	-24,07	17,096	5,21		
94	LOC 453	Gaia DR2 2298099389337961856	A	20 28 10,58	+81 03 17,20	41,72	66,62	17,794	5,66	11,573	278,99
		Gaia DR2 2298099599791323648	B	20 28 05,68	+81 03 19,01	42,48	66,90	18,450	5,44		
95	LOC 454	Gaia DR2 2301923937455466240	A	20 20 00,35	+83 05 35,79	97,31	193,89	11,923	6,25	7,811	145,34
		Gaia DR2 2301923941750566400	B	20 20 02,81	+83 05 29,36	97,11	194,78	18,067	5,83		
96	LOC 455	Gaia DR2 2302119650525627008	A	20 25 05,59	+83 59 55,70	39,58	71,33	14,328	12,48	2,571	185,63
		Gaia DR2 2302119654821597184	B	20 25 05,43	+83 59 53,14	40,08	73,58	14,651	12,44		
97	LOC 456	Gaia DR2 23020669126232256	A	20 31 56,92	+83 49 50,99	46,31	61,62	17,099	2,85	1,121	265,74
		Gaia DR2 2302066912621933440	B	20 31 56,23	+83 49 50,90	46,61	60,43	17,849	2,74		
98	LOC 457	Gaia DR2 2303945462600047616	A	20 21 22,79	+85 23 00,34	68,44	54,95	14,548	15,19	1,925	271,02
		Gaia DR2 2303945462600047744	B	20 21 21,20	+85 23 00,38	62,78	50,60	14,963	15,58		

(Continúa en la página siguiente)

TABLA 1. NUEVOS PARES MPC IDENTIFICADOS (CONT.).

N.º	DESIGN. PROV.	DESIGNACIÓN GAIA	COMP.	AR	DEC	MP AR	MP DEC	MAG G	PARALAJE	ρ (")	θ (°)
99	LOC 458	Gaia DR2 2303987656358910848	A	20 37 35,28	+85 51 19,30	22,63	41,39	16,009	3,48	3,645	162,69
		Gaia DR2 2303987274105383296	B	20 37 36,28	+85 51 15,82	22,87	41,43	17,672	3,41		
100	LOC 459	Gaia DR2 2304873175534823680	A	20 23 35,78	+86 47 10,02	16,25	55,12	13,283	5,45	3,317	20,74
		Gaia DR2 2304873175533754240	B	20 23 37,18	+86 47 13,12	17,33	54,39	18,239	5,73		
101	LOC 460	Gaia DR2 2278602750371512576	A	20 54 38,22	+76 53 16,57	-14,79	-50,44	12,458	4,65	6,636	81,05
		Gaia DR2 2278602750371513472	B	20 54 40,15	+76 53 17,60	-16,11	-51,31	15,369	4,73		
102	LOC 461	Gaia DR2 2278712186138120832	A	20 59 47,27	+77 22 09,81	49,01	118,03	14,342	6,47	29,183	174,93
		Gaia DR2 2278712181841688576	B	20 59 48,06	+77 21 40,74	48,64	118,11	17,552	6,55		
103	LOC 462	Gaia DR2 2278757678431699456	A	20 55 00,40	+77 23 06,03	-17,37	-64,02	15,092	6,40	2,229	297,69
		Gaia DR2 2278757678429816320	B	20 54 59,79	+77 23 07,07	-18,27	-67,84	15,990	6,41		
104	LOC 463	Gaia DR2 2290842754330631936	A	20 49 06,53	+78 17 40,65	57,14	22,61	17,212	3,58	1,205	192,70
		Gaia DR2 2290842754328574336	B	20 49 06,44	+78 17 39,47	57,97	22,96	17,544	3,99		
105	LOC 464	Gaia DR2 2296928993569896064	A	20 49 53,18	+79 00 08,58	12,74	73,89	13,466	9,17	2,064	335,64
		Gaia DR2 2296928997866081152	B	20 49 52,88	+79 00 10,46	11,63	70,72	17,289	9,33		
106	LOC 465	Gaia DR2 2296962567330611712	A	20 57 33,88	+79 23 10,63	33,97	61,64	14,242	7,27	9,882	261,08
		Gaia DR2 2296962567330610816	B	20 57 30,34	+79 23 09,10	33,88	61,37	17,130	7,24		
107	LOC 466	Gaia DR2 2298026482269563648	A	20 41 31,50	+80 41 45,98	33,32	43,25	15,329	8,18	1,183	26,27
		Gaia DR2 2298026482268268928	B	20 41 31,72	+80 41 47,04	34,21	40,43	16,726	7,51		
108	LOC 467	Gaia DR2 2298808711776319872	A	20 44 56,35	+82 05 45,81	110,8 9	73,63	11,840	10,35	22,711	231,02
		Gaia DR2 2298808681712919168	B	20 44 47,80	+82 05 31,52	110,2 2	73,86	15,936	10,41		
109	LOC 468	Gaia DR2 2298624650955274240	A	20 54 34,36	+82 09 53,42	31,14	56,59	11,848	12,09	5,490	320,38
		Gaia DR2 2298624650955273856	B	20 54 32,65	+82 09 57,65	30,53	54,56	15,912	12,28		
110	LOC 469	Gaia DR2 2298913788152768256	A	20 42 08,66	+82 50 42,80	51,48	44,39	15,730	4,21	1,574	122,49
		Gaia DR2 2298913788151613568	B	20 42 09,38	+82 50 41,95	50,74	44,13	16,266	4,20		
111	LOC 470	Gaia DR2 2298651245392776832	A	20 57 20,51	+82 18 32,67	-43,42	-16,23	16,847	2,73	3,102	262,99
		Gaia DR2 2298651245392776576	B	20 57 18,98	+82 18 32,29	-43,73	-16,27	17,665	2,43		
112	LOC 471	Gaia DR2 2303691711634752256	A	20 48 44,87	+85 05 39,90	49,46	20,17	12,452	2,46	1,512	330,85
		Gaia DR2 2303691715931140608	B	20 48 44,30	+85 05 41,22	49,31	20,23	16,744	3,04		

(Continúa en la página siguiente)

TABLA 1. NUEVOS PARES MPC IDENTIFICADOS (CONT.).

N.º	DESIGN. PROV.	DESIGNACIÓN GAIA	COMP.	AR	DEC	MP AR	MP DEC	MAG G	PARALAJE	ρ (")	θ (°)
113	LOC 472	Gaia DR2 2278448887463336192	A	21 15 55,56	+76 48 51,88	90,89	63,26	12,600	4,33	3,205	107,87
		Gaia DR2 2278448921823074816	B	21 15 56,45	+76 48 50,90	91,76	62,86	15,004	4,47		
114	LOC 473	Gaia DR2 2278483590798975232	A	21 06 35,61	+76 47 48,58	-41,12	-29,35	16,229	6,20	3,578	147,00
		Gaia DR2 2278483590798975488	B	21 06 36,18	+76 47 45,58	-42,58	-28,79	17,323	6,27		
115	LOC 474	Gaia DR2 2278535748881979392	A	21 09 13,98	+77 18 50,39	-14,85	49,00	13,190	2,90	10,598	349,65
		Gaia DR2 2278535744584876544	B	21 09 13,40	+77 19 00,81	-13,44	47,37	18,600	3,23		
116	LOC 475	Gaia DR2 2278529942086192128	A	21 08 42,07	+77 17 42,53	115,89	98,66	14,015	6,79	5,250	324,06
		Gaia DR2 2278529942084581888	B	21 08 41,14	+77 17 46,78	112,71	99,50	19,768	7,52		
117	LOC 476	Gaia DR2 2284753280979294080	A	21 08 52,37	+77 52 28,52	28,59	51,67	15,452	7,03	1,190	52,88
		Gaia DR2 2284753280976620032	B	21 08 52,67	+77 52 29,24	30,24	53,23	17,066	6,75		
118	LOC 477	Gaia DR2 2296889999563111680	A	21 02 08,26	+78 55 25,17	58,03	35,75	14,804	3,34	3,429	275,36
		Gaia DR2 2296889999561617536	B	21 02 07,07	+78 55 25,49	57,66	34,33	18,772	3,47		
119	LOC 478	Gaia DR2 2297806128970473088	A	21 14 39,71	+81 33 20,59	-26,21	-42,75	12,192	3,29	1,531	333,18
		Gaia DR2 2297806133268503296	B	21 14 39,40	+81 33 21,96	-25,32	-41,57	16,103	3,21		
120	LOC 479	Gaia DR2 2297319595075407872	A	21 06 57,20	+80 30 09,11	-33,23	40,21	12,952	2,93	3,509	208,64
		Gaia DR2 2297319599371089152	B	21 06 56,52	+80 30 06,03	-35,65	41,85	18,005	3,37		
121	LOC 480	Gaia DR2 2298536105909463936	A	21 06 02,74	+81 33 50,63	21,59	54,88	14,097	1,61	3,076	285,37
		Gaia DR2 2298536105907414144	B	21 06 01,39	+81 33 51,45	21,28	53,81	17,879	1,58		
122	LOC 481	Gaia DR2 2300567488000882560	A	21 10 30,31	+83 56 10,66	48,24	17,40	12,614	4,82	20,954	15,05
		Gaia DR2 2300567483704412800	B	21 10 33,75	+83 56 30,89	48,66	17,04	17,858	4,94		
123	LOC 482	Gaia DR2 2298672033033818880	A	21 17 00,98	+82 09 57,34	25,85	41,96	15,863	3,54	1,675	74,69
		Gaia DR2 2298672033032355968	B	21 17 01,77	+82 09 57,78	26,63	41,75	17,751	3,65		
124	LOC 483	Gaia DR2 2303655328968409472	A	21 15 12,24	+85 01 13,92	43,80	21,74	14,903	2,53	36,148	273,69
		Gaia DR2 2303654607413903104	B	21 14 44,53	+85 01 16,25	40,39	22,82	16,958	4,17		
125	LOC 484	Gaia DR2 2283843400747057280	A	21 34 03,32	+77 39 52,90	-21,08	51,26	12,956	4,51	10,396	235,10
		Gaia DR2 2283843366387318400	B	21 34 00,66	+77 39 46,96	-21,23	51,61	17,964	4,70		
126	LOC 485	Gaia DR2 2284506200100794880	A	21 24 49,59	+77 30 26,58	61,03	26,62	16,382	6,22	27,110	191,49
		Gaia DR2 2284506200100795776	B	21 24 47,93	+77 30 00,01	60,67	26,45	17,520	6,11		

(Continúa en la página siguiente)

TABLA 1. NUEVOS PARES MPC IDENTIFICADOS (CONT.).

N.º	DESIGN. PROV.	DESIGNACIÓN GAIA	COMP.	AR	DEC	MP AR	MP DEC	MAG G	PARALAJE	ρ (")	θ (°)
127	LOC 486	Gaia DR2 2284516198784660992	A	21 27 33,73	+77 44 03,84	41,78	37,55	16,777	2,99	4,170	336,82
		Gaia DR2 2284516198784660736	B	21 27 33,21	+77 44 07,68	41,96	37,48	17,371	3,02		
128	LOC 487	Gaia DR2 2284693834334646144	A	21 27 48,19	+78 29 38,56	40,51	19,38	11,949	2,52	2,065	255,82
		Gaia DR2 2284693838631640192	B	21 27 47,52	+78 29 38,05	40,68	19,40	14,317	2,58		
129	LOC 488	Gaia DR2 2284952464381842688	A	21 21 15,80	+78 52 59,83	41,31	-21,52	12,818	8,16	7,124	230,33
		Gaia DR2 2284952464381842304	B	21 21 13,91	+78 52 55,28	40,47	-22,63	14,420	8,14		
130	LOC 489	Gaia DR2 2285012795785989120	A	21 24 52,08	+79 37 51,77	44,38	31,93	14,219	5,86	1,536	31,34
		Gaia DR2 2285012800082687616	B	21 24 52,38	+79 37 53,08	46,47	32,02	16,625	5,33		
131	LOC 490	Gaia DR2 2297798191870914816	A	21 20 24,58	+81 35 23,47	-68,28	-43,09	9,933	8,75	34,890	356,25
		Gaia DR2 2297798294950527616	B	21 20 23,54	+81 35 58,28	-66,83	-44,07	15,917	8,85		
132	LOC 491	Gaia DR2 2300498111392770304	A	21 23 35,20	+83 36 40,91	40,32	29,49	15,107	3,57	1,126	64,41
		Gaia DR2 2300498115689078272	B	21 23 35,81	+83 36 41,39	41,04	29,04	17,651	3,53		
133	LOC 492	Gaia DR2 2300731001699804928	A	21 35 39,84	+84 58 45,00	52,74	33,12	12,394	6,94	1,935	314,40
		Gaia DR2 2300731005995297664	B	21 35 38,78	+84 58 46,35	52,83	32,88	17,259	6,49		
134	LOC 493	Gaia DR2 2283509802046297088	A	21 56 40,46	+76 38 56,36	-40,73	-15,35	13,304	5,64	1,474	112,89
		Gaia DR2 2283509802045134464	B	21 56 40,85	+76 38 55,79	-41,15	-16,59	16,183	5,61		
135	LOC 494	Gaia DR2 2297590147952551424	A	21 56 05,84	+81 14 45,27	56,58	71,93	10,343	4,68	26,110	359,10
		Gaia DR2 2297590354110980992	B	21 56 05,66	+81 15 11,38	58,77	71,90	16,533	4,63		
136	LOC 495	Gaia DR2 2285364025327828352	A	21 46 08,06	+80 00 44,41	117,8 5	66,47	13,450	16,08	29,986	80,51
		Gaia DR2 2285364025327882880	B	21 46 19,43	+80 00 49,35	119,1 6	67,82	15,626	16,02		
137	LOC 496	Gaia DR2 2299180110485775872	A	21 51 26,00	+81 54 03,39	41,92	17,22	14,207	2,40	5,326	251,45
		Gaia DR2 2299180110485775616	B	21 51 23,62	+81 54 01,69	41,82	17,10	17,885	2,67		
138	LOC 497	Gaia DR2 2285459717198774784	A	21 48 27,73	+80 08 20,22	50,74	45,56	15,743	2,17	3,256	314,15
		Gaia DR2 2285459717198774656	B	21 48 26,82	+80 08 22,49	50,71	45,16	17,941	2,10		
139	LOC 498	Gaia DR2 2285548296603152256	A	21 56 30,02	+80 41 34,43	-49,11	-22,18	16,246	3,91	1,440	104,02
		Gaia DR2 2285548296604402048	B	21 56 30,60	+80 41 34,08	-48,21	-23,22	17,368	4,14		
140	LOC 499	Gaia DR2 2300330852482994816	A	21 52 06,25	+83 47 37,34	44,20	24,40	16,809	2,91	10,751	268,67
		Gaia DR2 2300330818123256320	B	21 51 59,62	+83 47 37,09	44,43	24,36	17,452	2,54		

(Continúa en la página siguiente)

TABLA 1. NUEVOS PARES MPC IDENTIFICADOS (CONT.).

N.º	DESIGN. PROV.	DESIGNACIÓN GAIA	COMP.	AR	DEC	MP AR	MP DEC	MAG G	PARALAJE	ρ ("")	θ (°)
141	LOC 500	Gaia DR2 2299378469253160704	A	21 56 09,43	+82 12 01,88	44,34	13,69	17,670	2,83	5,178	199,58
		Gaia DR2 2299378469255028480	B	21 56 08,58	+82 11 57,00	45,42	13,55	18,299	2,64		
142	LOC 501	Gaia DR2 2280864514508924288	A	22 05 21,41	+76 35 10,36	85,05	83,97	8,539	6,83	4,075	210,41
		Gaia DR2 2280864514507321984	B	22 05 20,81	+76 35 06,84	86,86	83,94	14,718	6,83		
143	LOC 502	Gaia DR2 2283891568808212864	A	22 01 17,76	+76 59 58,37	42,48	30,11	16,416	2,81	4,027	129,04
		Gaia DR2 2283891573099902464	B	22 01 18,68	+76 59 55,84	42,44	30,01	17,734	2,78		
144	LOC 503	Gaia DR2 2283901812301931520	A	22 03 28,95	+77 10 17,78	18,32	46,09	14,031	4,52	6,823	176,54
		Gaia DR2 2283901812301931776	B	22 03 29,07	+77 10 10,97	18,40	46,83	16,923	4,48		
145	LOC 504	Gaia DR2 2280931584718467584	A	22 13 06,11	+77 27 08,49	165,5 1	115,72	14,228	3,39	3,099	294,90
		Gaia DR2 2280931584718467072	B	22 13 05,25	+77 27 09,79	165,8 3	114,66	17,625	3,46		
146	LOC 505	Gaia DR2 2281010990074824704	A	22 18 30,10	+77 28 38,00	44,43	10,29	14,955	3,45	1,090	347,51
		Gaia DR2 2281010990071969152	B	22 18 30,03	+77 28 39,06	43,68	9,81	17,828	2,82		
147	LOC 506	Gaia DR2 2280907086225080320	A	22 15 03,30	+77 06 49,19	72,03	24,94	16,378	4,26	9,863	194,12
		Gaia DR2 2280907081929198464	B	22 15 02,58	+77 06 39,62	71,73	24,99	18,221	4,50		
148	LOC 507	Gaia DR2 2284108005092531456	A	22 15 29,28	+78 08 03,36	48,45	3,02	13,115	2,97	26,068	314,61
		Gaia DR2 2284108005092529920	B	22 15 23,26	+78 08 21,66	48,58	2,91	15,522	2,94		
149	LOC 508	Gaia DR2 2284213180251552128	A	22 01 26,58	+78 13 45,84	44,05	-13,29	13,941	6,52	8,756	70,79
		Gaia DR2 2284212974093122048	B	22 01 29,28	+78 13 48,72	44,31	-13,58	16,002	6,48		
150	LOC 509	Gaia DR2 2284207678396182400	A	22 02 47,89	+78 05 48,06	53,61	29,13	14,549	5,13	2,543	301,86
		Gaia DR2 2284207682693440896	B	22 02 47,19	+78 05 49,40	53,57	31,11	16,103	5,36		
151	LOC 510	Gaia DR2 2284315640988833408	A	22 07 59,47	+78 30 03,87	42,45	-17,02	17,198	7,63	1,727	16,83
		Gaia DR2 2284315640990893056	B	22 07 59,64	+78 30 05,52	42,39	-17,16	17,299	7,67		
152	LOC 511	Gaia DR2 2284342475946665600	A	22 08 34,72	+78 50 19,80	64,94	41,50	17,429	5,48	2,083	346,51
		Gaia DR2 2284342475944749568	B	22 08 34,56	+78 50 21,83	65,11	40,93	18,804	5,77		
153	LOC 512	Gaia DR2 2285213289155440512	A	22 05 12,44	+79 45 28,64	6,74	-51,03	17,160	4,91	14,532	353,90
		Gaia DR2 2285213284859426176	B	22 05 11,86	+79 45 43,09	6,66	-51,09	17,480	4,85		
154	LOC 513	Gaia DR2 2287058922502084096	A	22 08 35,89	+81 07 17,15	62,87	42,32	16,358	3,36	2,371	354,55
		Gaia DR2 2287058922500132736	B	22 08 35,79	+81 07 19,51	63,49	42,96	18,553	3,59		

(Continúa en la página siguiente)

TABLA 1. NUEVOS PARES MPC IDENTIFICADOS (CONT.).

N.º	DESIGN. PROV.	DESIGNACIÓN GAIA	COMP.	AR	DEC	MP AR	MP DEC	MAG G	PARALAJE	ρ ("")	θ (°)
155	LOC 514	Gaia DR2 2299120049663491328	A	22 02 03,35	+81 47 07,68	46,48	11,76	16,430	2,15	1,773	47,38
		Gaia DR2 2299120049661971584	B	22 02 03,96	+81 47 08,88	47,03	10,99	17,215	2,00		
156	LOC 515	Gaia DR2 2284095871807752448	A	22 23 25,63	+78 26 49,45	-52,42	-38,80	12,077	5,26	15,928	218,74
		Gaia DR2 2284095841745343744	B	22 23 22,32	+78 26 37,02	-52,86	-39,12	15,379	5,27		
157	LOC 516	Gaia DR2 2284080963978675072	A	22 28 12,07	+78 23 33,50	49,65	16,02	15,573	3,33	1,097	26,94
		Gaia DR2 2284080963976643712	B	22 28 12,23	+78 23 34,48	50,62	16,54	18,376	3,24		
158	LOC 517	Gaia DR2 2286835652922224256	A	22 28 40,48	+80 58 23,61	57,90	32,70	10,062	6,23	2,286	25,03
		Gaia DR2 2286835652922224128	B	22 28 40,90	+80 58 25,68	57,08	34,21	13,778	6,13		
159	LOC 518	Gaia DR2 2287158389647613952	A	22 36 23,87	+81 50 13,88	-50,02	-11,48	11,318	3,92	54,123	222,10
		Gaia DR2 2287158290866076288	B	22 36 06,83	+81 49 33,72	-50,01	-10,95	17,680	3,84		
160	LOC 519	Gaia DR2 2299570402752841472	A	22 24 50,97	+83 29 57,34	52,33	39,32	14,581	6,37	3,243	358,81
		Gaia DR2 2299570402751708032	B	22 24 50,93	+83 30 00,58	52,47	40,84	17,654	6,00		
161	LOC 520	Gaia DR2 2300475846282086272	A	22 20 44,02	+84 36 16,49	37,03	44,30	11,753	17,85	16,371	83,05
		Gaia DR2 2300475953657761536	B	22 20 55,55	+84 36 18,47	36,11	47,79	12,661	17,80		
162	LOC 521	Gaia DR2 2301137305605827200	A	22 20 25,21	+85 28 49,93	41,61	24,83	18,457	2,91	35,431	23,60
		Gaia DR2 2301137550420596608	B	22 20 37,21	+85 29 22,40	42,67	24,43	18,910	2,69		
163	LOC 522	Gaia DR2 2281416916024489088	A	22 56 27,79	+76 53 51,01	59,38	-25,58	11,023	4,82	2,820	282,49
		Gaia DR2 2281416916024488576	B	22 56 26,98	+76 53 51,62	56,75	-25,86	17,795	6,92		
164	LOC 523	Gaia DR2 2281165261003149952	A	22 48 32,69	+76 08 00,80	88,54	36,91	11,873	3,74	4,125	247,95
		Gaia DR2 2281165265299212416	B	22 48 31,62	+76 07 59,25	88,68	36,50	17,284	3,70		
165	LOC 524	Gaia DR2 2279856193628001408	A	22 40 21,58	+76 04 37,22	54,50	14,65	11,936	5,85	20,557	269,01
		Gaia DR2 2279856262347476096	B	22 40 15,88	+76 04 36,87	54,81	14,57	15,888	5,95		
166	LOC 525	Gaia DR2 2281387057411555968	A	22 46 36,08	+76 38 32,88	55,96	44,66	13,379	8,97	14,922	33,54
		Gaia DR2 2281387053114108672	B	22 46 38,46	+76 38 45,32	58,48	46,36	18,668	8,82		
167	LOC 526	Gaia DR2 2282236189626590848	A	22 49 34,99	+77 20 05,44	73,60	36,27	14,102	5,13	2,534	125,85
		Gaia DR2 2282236189623900416	B	22 49 35,62	+77 20 03,95	76,13	38,80	18,836	5,12		
168	LOC 527	Gaia DR2 2282302847515741696	A	22 42 06,60	+77 47 21,84	44,90	17,31	18,128	3,45	2,052	82,86
		Gaia DR2 2282302847515741952	B	22 42 07,24	+77 47 22,10	45,33	16,59	18,424	3,48		

(Continúa en la página siguiente)

TABLA 1. NUEVOS PARES MPC IDENTIFICADOS (CONT.).

N.º	DESIGN. PROV.	DESIGNACIÓN GAIA	COMP.	AR	DEC	MP AR	MP DEC	MAG G	PARALAJE	ρ ("")	θ (°)
169	LOC 528	Gaia DR2 2282612188242722688	A	22 42 53,80	+78 47 03,99	29,60	44,02	12,927	2,37	6,253	283,58
		Gaia DR2 2282612080867598336	B	22 42 51,72	+78 47 05,45	30,73	43,75	18,704	2,43		
170	LOC 529	Gaia DR2 2282437228452275584	A	22 59 20,32	+78 21 28,53	43,77	26,66	16,080	6,17	1,466	91,07
		Gaia DR2 2282437228454649344	B	22 59 20,80	+78 21 28,50	42,88	27,01	16,230	6,11		
171	LOC 530	Gaia DR2 2282545599069873152	A	22 49 39,69	+78 27 36,53	41,58	21,29	16,841	3,04	7,135	304,72
		Gaia DR2 2282545594773000320	B	22 49 37,74	+78 27 40,59	41,25	21,25	18,435	3,06		
172	LOC 531	Gaia DR2 2285798568643843712	A	22 52 18,19	+79 42 30,28	316,8 0	188,77	11,714	6,40	2,321	258,42
		Gaia DR2 2285798572939018240	B	22 52 17,34	+79 42 29,82	313,5 1	186,36	17,226	6,27		
173	LOC 532	Gaia DR2 2286876815889367808	A	22 42 51,09	+81 05 26,71	16,95	43,29	13,455	3,38	1,182	287,99
		Gaia DR2 2286876781527293056	B	22 42 50,60	+81 05 27,08	15,50	43,13	13,664	3,44		
174	LOC 533	Gaia DR2 2286136363525769472	A	22 57 19,00	+81 03 30,68	-13,37	-43,21	16,517	4,52	2,341	56,41
		Gaia DR2 2286136363527331456	B	22 57 19,84	+81 03 31,98	-12,70	-44,12	16,576	4,28		
175	LOC 534	Gaia DR2 2286907499135924608	A	22 55 34,34	+81 21 08,23	80,76	88,42	16,882	3,37	1,216	135,73
		Gaia DR2 2286907499133889664	B	22 55 34,72	+81 21 07,36	79,29	87,14	18,550	3,54		
176	LOC 535	Gaia DR2 2286103859212713600	A	22 45 31,85	+80 46 23,53	41,96	35,66	17,332	3,26	1,642	216,84
		Gaia DR2 2286103859214615040	B	22 45 31,44	+80 46 22,22	41,84	36,05	17,424	3,36		
177	LOC 536	Gaia DR2 2299730965810301184	A	22 52 43,41	+83 18 56,51	42,80	59,99	11,500	3,95	38,698	335,35
		Gaia DR2 2299731030233539840	B	22 52 34,17	+83 19 31,69	43,12	60,58	17,680	3,93		
178	LOC 537	Gaia DR2 2281234259655202432	A	23 05 05,87	+76 25 49,83	53,25	-4,52	11,459	5,16	3,377	122,64
		Gaia DR2 2281234259652177536	B	23 05 06,68	+76 25 48,01	54,65	-4,54	18,145	5,21		
179	LOC 538	Gaia DR2 2281622181101403392	A	23 08 39,28	+77 55 05,84	21,48	-47,08	10,480	4,35	9,150	235,51
		Gaia DR2 2281622176805866752	B	23 08 36,87	+77 55 00,66	21,16	-47,29	18,486	3,18		
180	LOC 539	Gaia DR2 2281523774810581632	A	23 04 42,19	+77 19 21,44	-45,35	7,33	14,600	3,60	12,986	302,98
		Gaia DR2 2281523774810580480	B	23 04 38,88	+77 19 28,51	-43,70	7,67	16,868	3,73		
181	LOC 540	Gaia DR2 2281988181033713280	A	23 17 28,62	+77 58 10,86	-41,05	17,14	14,936	4,11	5,071	340,18
		Gaia DR2 2281988181033712512	B	23 17 28,07	+77 58 15,63	-41,07	16,52	16,926	3,97		
182	LOC 541	Gaia DR2 2281610155193074688	A	23 12 03,10	+77 47 23,25	44,71	12,67	15,153	2,05	4,628	141,86
		Gaia DR2 2281610086471062016	B	23 12 04,00	+77 47 19,61	45,23	11,78	18,442	1,96		

(Continúa en la página siguiente)

TABLA 1. NUEVOS PARES MPC IDENTIFICADOS (CONT.).

N.º	DESIGN. PROV.	DESIGNACIÓN GAIA	COMP.	AR	DEC	MP AR	MP DEC	MAG G	PARALAJE	ρ (")	θ (°)
183	LOC 542	Gaia DR2 2281624345764881792	A	23 05 47,68	+77 54 14,00	-14,31	56,25	16,552	5,61	1,453	224,85
		Gaia DR2 2281624345762245760	B	23 05 47,35	+77 54 12,97	-13,18	54,42	17,221	5,73		
184	LOC 543	Gaia DR2 2287290541497357312	A	23 03 45,08	+81 39 54,08	43,64	4,85	9,634	4,55	7,401	175,53
		Gaia DR2 2287290541498598272	B	23 03 45,35	+81 39 46,70	44,64	4,87	13,337	4,52		
185	LOC 544	Gaia DR2 2286421235822552576	A	23 04 54,48	+80 29 48,87	29,46	55,13	11,139	6,32	1,555	100,38
		Gaia DR2 2286421240118376704	B	23 04 55,09	+80 29 48,59	27,98	54,18	14,697	6,57		
186	LOC 545	Gaia DR2 2287662829263502336	A	23 15 23,60	+82 58 43,25	-43,51	-8,10	9,525	7,08	21,392	98,49
		Gaia DR2 2287663207220625792	B	23 15 35,14	+82 58 40,10	-44,08	-8,09	15,249	7,13		
187	LOC 546	Gaia DR2 2299995776313997056	A	23 07 24,78	+84 18 57,40	56,17	18,24	15,439	4,67	2,047	288,87
		Gaia DR2 2299995776313996800	B	23 07 23,48	+84 18 58,06	56,83	18,47	17,092	4,76		
188	LOC 547	Gaia DR2 2299885133660510336	A	23 16 09,90	+84 10 00,30	-51,46	12,65	18,221	5,45	3,160	22,95
		Gaia DR2 2299885137954944000	B	23 16 10,70	+84 10 03,21	-50,31	12,98	18,588	5,28		
189	LOC 548	Gaia DR2 2304635646663494016	A	23 13 19,67	+87 52 52,83	62,86	12,09	12,924	2,58	8,428	216,54
		Gaia DR2 2304635646663494144	B	23 13 10,62	+87 52 46,05	62,84	12,14	16,211	2,56		
190	LOC 549	Gaia DR2 2281970245250822528	A	23 36 11,98	+78 26 00,15	53,61	-61,10	12,789	5,35	4,284	323,62
		Gaia DR2 2281970245250822016	B	23 36 11,13	+78 26 03,60	53,93	-60,50	15,570	5,43		
191	LOC 550	Gaia DR2 2282844769310969728	A	23 22 24,70	+79 02 23,32	-12,97	-46,34	13,170	5,02	3,257	135,58
		Gaia DR2 2282844769310970368	B	23 22 25,50	+79 02 20,99	-11,68	-46,65	15,025	5,10		
192	LOC 551	Gaia DR2 2286206835350872448	A	23 25 05,35	+80 38 31,70	29,70	82,01	9,673	6,33	17,038	277,90
		Gaia DR2 2286206904070348160	B	23 24 58,43	+80 38 34,04	29,85	82,46	16,684	6,49		
193	LOC 552	Gaia DR2 2299791610748715008	A	23 20 23,10	+83 27 49,59	109,2 2	7,45	14,810	7,87	4,957	10,92
		Gaia DR2 2299791679468191616	B	23 20 23,65	+83 27 54,46	110,1 6	6,87	16,930	7,80		
194	LOC 553	Gaia DR2 2287593972347905408	A	23 22 50,12	+82 40 40,13	-57,26	-8,99	16,038	3,68	10,686	127,06
		Gaia DR2 2287593968051035392	B	23 22 54,58	+82 40 33,69	-57,23	-8,64	18,592	3,84		
195	LOC 554	Gaia DR2 2299873520068460160	A	23 36 02,12	+84 08 56,41	73,06	-19,68	8,688	11,88	8,996	209,61
		Gaia DR2 2299873318205918336	B	23 35 59,22	+84 08 48,59	74,09	-20,71	18,507	12,22		
196	LOC 555	Gaia DR2 2299888505210937600	A	23 28 27,11	+84 13 32,59	66,44	-1,77	9,544	5,72	4,618	263,37
		Gaia DR2 2299888505210937728	B	23 28 24,07	+84 13 32,05	66,87	-1,90	14,947	5,75		

(Continúa en la página siguiente)

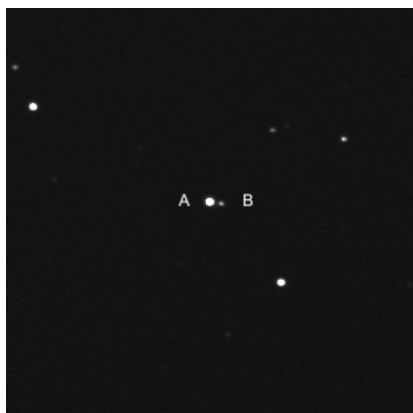
TABLA 1. NUEVOS PARES MPC IDENTIFICADOS (CONT.).

N.º	DESIGN. PROV.	DESIGNACIÓN GAIA	COMP.	AR	DEC	MP AR	MP DEC	MAG G	PARALAJE	ρ (")	θ (°)
197	LOC 556	Gaia DR2 2299868610922440960	A	23 21 56,17	+84 00 27,09	-52,47	-10,95	15,751	4,59	3,407	181,48
		Gaia DR2 2299868542203187584	B	23 21 56,11	+84 00 23,68	-52,28	-11,56	16,537	4,49		
198	LOC 557	Gaia DR2 2300933900251509120	A	23 27 12,08	+85 20 28,23	91,03	41,58	18,260	3,77	4,198	243,76
		Gaia DR2 2300933900251508992	B	23 27 08,99	+85 20 26,37	92,41	42,36	18,593	3,85		
199	LOC 558	Gaia DR2 2305488627168630144	A	23 29 35,56	+88 46 05,83	55,88	15,08	11,160	4,03	34,258	83,75
		Gaia DR2 2305488588514867712	B	23 31 21,18	+88 46 09,56	55,47	14,44	17,445	4,13		
200	LOC 559	Gaia DR2 2281910974702099712	A	23 56 21,96	+78 48 13,45	79,07	-34,03	10,366	9,16	4,133	51,68
		Gaia DR2 2281910974700042368	B	23 56 23,07	+78 48 16,01	79,76	-35,95	16,724	8,95		
201	LOC 560	Gaia DR2 2282060778863994752	A	23 40 49,54	+78 25 08,38	45,12	-14,85	11,749	5,13	13,888	52,06
		Gaia DR2 2282060783161016704	B	23 40 53,18	+78 25 16,92	48,78	-14,20	16,946	2,88		
202	LOC 561	Gaia DR2 2281914651194089728	A	23 54 45,73	+78 50 13,24	47,82	-9,78	14,328	4,12	3,395	291,31
		Gaia DR2 2281914646898301568	B	23 54 44,64	+78 50 14,48	49,78	-9,63	14,388	4,32		
203	LOC 562	Gaia DR2 2282087068360800128	A	23 45 56,67	+78 47 02,83	76,92	20,99	16,466	6,00	5,067	327,55
		Gaia DR2 2282087064065139968	B	23 45 55,74	+78 47 07,11	76,30	21,34	18,755	6,44		
204	LOC 563	Gaia DR2 2282195920012193664	A	23 54 15,95	+79 33 15,02	189,4 9	-84,47	12,920	12,18	1,945	268,23
		Gaia DR2 2282195920010374912	B	23 54 15,24	+79 33 14,96	190,0 3	-87,39	13,342	12,08		
205	LOC 564	Gaia DR2 2282114659230881152	A	23 51 56,19	+79 01 08,73	80,17	18,22	14,878	5,13	27,068	275,50
		Gaia DR2 2282114861092999296	B	23 51 46,76	+79 01 11,32	79,85	18,25	16,452	5,14		
206	LOC 565	Gaia DR2 2282988702255237248	A	23 44 49,40	+79 46 51,28	60,44	26,47	15,036	5,74	3,492	329,55
		Gaia DR2 2282988702255236608	B	23 44 48,74	+79 46 54,29	59,67	26,99	17,038	5,79		
207	LOC 566	Gaia DR2 2283195788398926848	A	23 44 49,04	+80 06 29,84	-51,96	-13,51	11,794	3,54	11,031	347,05
		Gaia DR2 2283195788398926720	B	23 44 48,08	+80 06 40,59	-52,59	-13,20	18,846	3,38		
208	LOC 567	Gaia DR2 2286403544853263360	A	23 59 33,48	+81 44 41,47	53,94	16,63	12,170	6,84	15,115	145,33
		Gaia DR2 2286403544853331968	B	23 59 37,48	+81 44 29,04	54,11	16,49	15,975	6,83		
209	LOC 568	Gaia DR2 2300190046275639040	A	23 59 53,24	+85 15 05,43	58,79	8,52	11,527	3,17	3,083	160,72
		Gaia DR2 2300190046273815936	B	23 59 54,06	+85 15 02,52	58,77	8,22	14,486	3,13		
210	LOC 569	Gaia DR2 2299837614141863040	A	23 56 12,93	+84 05 37,07	43,78	-9,08	12,518	3,04	5,872	94,97
		Gaia DR2 2299837618438608128	B	23 56 16,72	+84 05 36,56	43,80	-9,35	15,874	2,96		

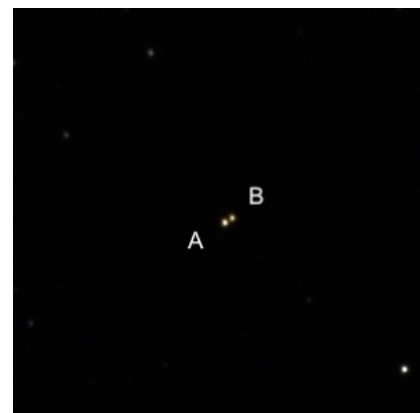
TABLA 2. NUEVOS SISTEMAS TRIPLES IDENTIFICADOS.

DEN. PROV.	DESIG. PROV.	DESIGNACIÓN GAIA	COMP.	AR	DEC	MP AR	MP DEC	MAG G	PARALA- JE	VEL. RADIAL	ρ (")	θ (")	OBS.
		22785077113353509	A	21 12 08,91	+76 59 47,34	27,34	45,18	16,944	2,82		23,986	109,25	
	LOC 570 AB	22785077113353527	B	21 12 15,62	+76 59 39,43	27,12	47,95	17,866	2,70				
		04	Gaia DR2										
		22785077113353509	A	21 12 08,91	+76 59 47,34	27,34	45,18	16,944	2,82		24,548	108,58	
		12	Gaia DR2										
		22785077113353527	C	21 12 15,81	+76 59 39,51	29,02	42,76	18,670	2,70				
		64	Gaia DR2										
		22785077113353527	B	21 12 15,62	+76 59 39,43	27,12	47,95	17,866	2,70		0,646	82,89	
		04	Gaia DR2										
		22785077113353592	C	21 12 15,81	+76 59 39,51	29,02	42,76	18,670	2,70				
		64	Gaia DR2										
		229776778004869	A	21 11 49,90	+81 20 39,75	46,51	66,90	16,791	4,04		12,737	87,30	
		92	Gaia DR2										
		22977677835036049	B	21 11 55,53	+81 20 40,35	46,23	67,01	18,294	4,22				
		92	Gaia DR2										
		22977677835036049	A	21 11 49,90	+81 20 39,75	46,51	66,90	16,791	4,04				
		12	Gaia DR2										
		22977677835036051	C	21 11 49,60	+81 20 37,80	45,57	67,06	18,621	4,12		2,065	199,00	
		20	Gaia DR2										
		22977677835036049	B	21 11 55,53	+81 20 40,35	46,23	67,01	18,294	4,22				
		92	Gaia DR2										
		22977677835036051	C	21 11 49,60	+81 20 37,80	45,57	67,06	18,621	4,12		13,628	259,22	
		20	Gaia DR2										
		2299278437604633	A	22 41 08,15	+82 42 25,01	42,40	11,43	11,875	3,38	-40,3744194 4	6,652	340,09	LDS 2004
		60	Gaia DR2										
		2299278437613930	B	22 41 06,96	+82 42 31,26	42,79	11,73	15,529	3,44				
		24	Gaia DR2										
		2299278437604633	A	22 41 08,15	+82 42 25,01	42,40	11,43	11,875	3,38	-40,3744194 4	65,501	4,67	comp C de LDS 2004
		60	Gaia DR2										
		22992786499190126	C	22 41 10,95	+82 43 30,29	40,14	10,66	18,323	2,03				
		08	Gaia DR2										
		2299278437613930	B	22 41 06,96	+82 42 31,26	42,79	11,73	15,529	3,44				
		24	Gaia DR2										
		22992786499190126	C	22 41 10,95	+82 43 30,29	40,14	10,66	18,323	2,03		59,516	7,33	
		08	Gaia DR2										

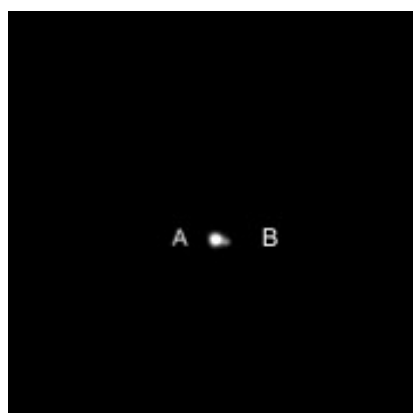
TABLA 3. ÁLBUM FOTOGRÁFICO. IMÁGENES OBTENIDAS POR EL AUTOR.



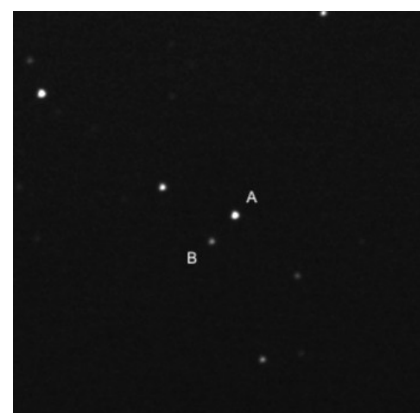
LOC 368
Sloan r



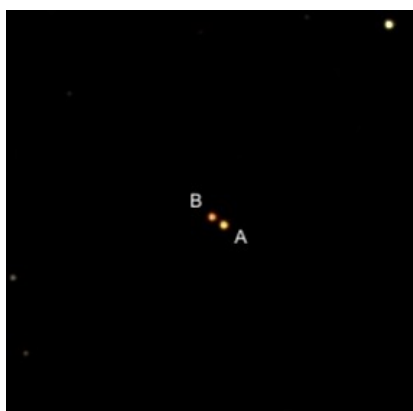
LOC 373
Tricromia Sloan g, r, i



LOC 388
Sloan i

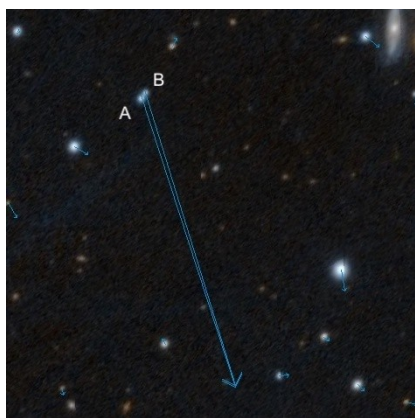


LOC 396
Sloan r

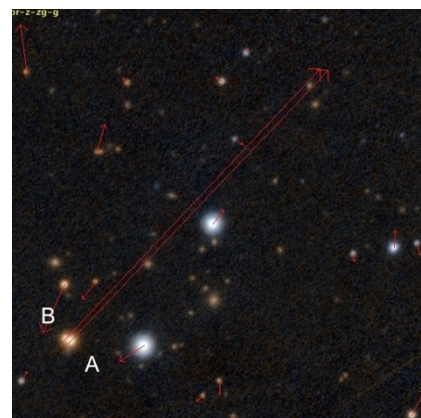


LOC 403
Tricromia Sloan g, r, i

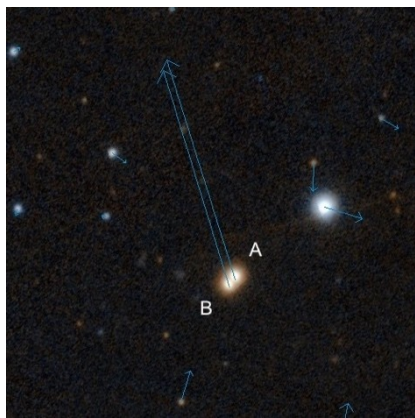
TABLA 4. ÁLBUM FOTOGRÁFICO. SELECCIÓN DE NUEVOS SISTEMAS DOBLES (ALADIN SKY ATLAS).



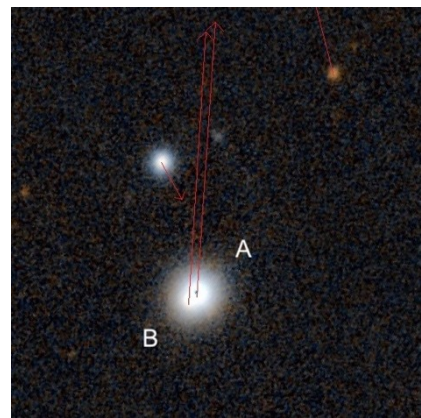
LOC 361 - DSS



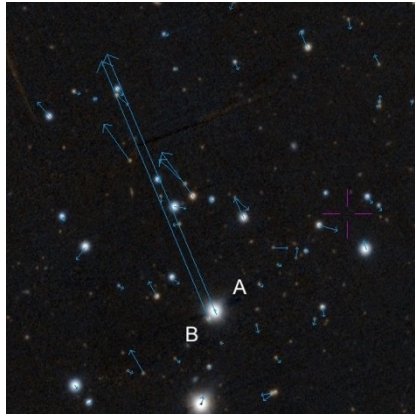
LOC 363 - DSS



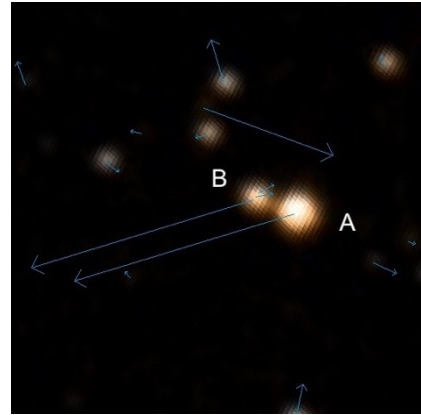
LOC 416 - DSS



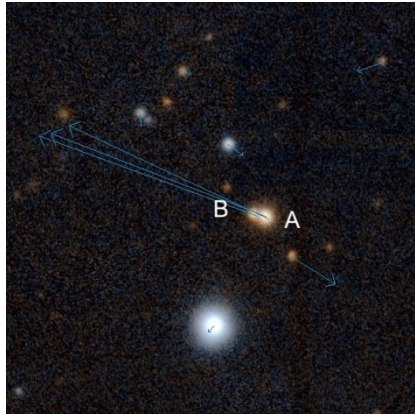
LOC 433 - DSS



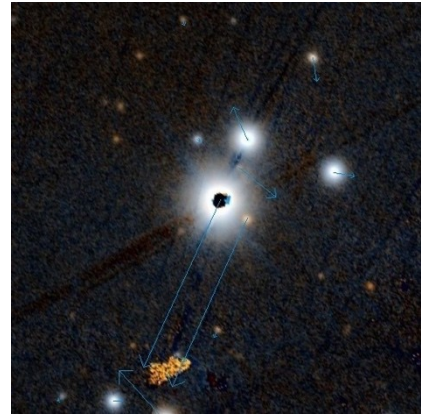
LOC 454 - DSS



LOC 508 - DSS

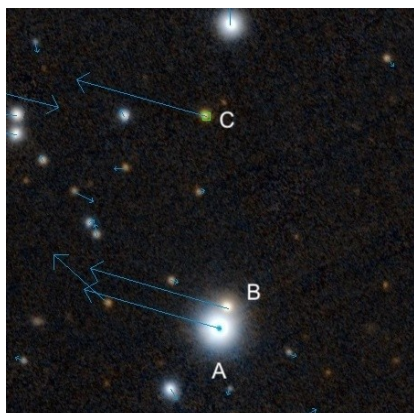


LOC 527 - DSS

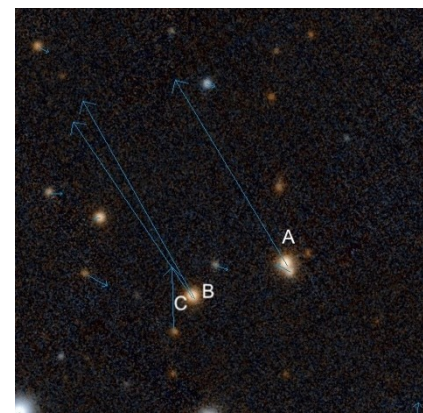


TDT 3901 - DSS

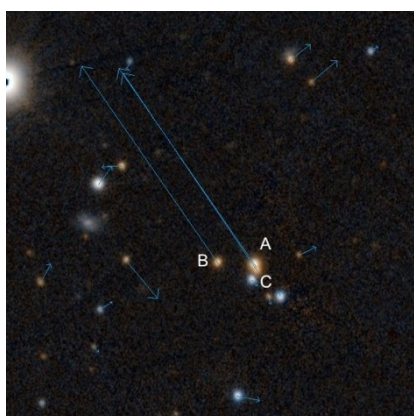
TABLA 5. ÁLBUM FOTOGRÁFICO. IMÁGENES DE LOS NUEVOS SISTEMAS TRIPLES (ALADIN SKY ATLAS).



LDS 2004 – DSS



LOC 570 – Triple - DSS



LOC 571 – Triple - DSS

Propuesta de sistemas dobles no catalogados

Proposal of double systems not cataloged

Antonio Egea Gómez

■ Correo-e: aegeaprimero@gmail.com

Explorando con *Aladin Sky Atlas* las imágenes del *Digital Sky Survey* (DSS) junto a los datos del catálogo *GAIA_RD2*, se ha llevado a cabo un estudio de los posibles sistemas que a primera vista parecen enlazados gravitacionalmente debido a su proximidad y movimiento propio común. Se han hallado 200 sistemas que no están catalogados en el *WDS catalog* y que se proponen como nuevos.

Exploring with Aladin the Digital Sky Survey (DSS) images together with the data from the GAIARD2 catalog, a study of the possible systems that at first sight seem linked gravitationally due to their proximity and common own movement has been carried out. 200 systems have been found that are not catalogued in the WDS catalog and that are proposed as new.

Introducción

LA MEDICIÓN DEL ÁNGULO Y SEPARACIÓN se ha llevado a cabo sobre el catálogo GAIA, superpuesto a las imágenes del *Digitized Sky Survey* (DSS) para facilitar la correcta identificación de los sistemas encontrados. En esta tarea, se utiliza el filtro que dibuja el movimiento propio de estrellas con el cual, la simple inspección de las flechas que indican este movimiento, permite intuir un probable enlazamiento gravitacional.

De esta manera, se pueden observar decenas de binarias que no están catalogadas, al menos en el *WDS Catalog*, pero que sin embargo no quedan al alcance de mi observatorio ya que la mayor parte de ellas son de magnitud mayor de 16, llegando hasta 19 en algún caso.

Presentación de datos

En la tabla 1, de todos los valores que proporciona GAIA, se han tomado las coordenadas de la principal, de la secundaria y el identificador de cada una de las estrellas del par. Además, se proporciona la paralaje y los movimientos propios en ascensión recta y en declinación. Así se pueden inspeccionar estos datos para valorar si es lícito considerar que el par tiene posibilidades de ser físico.

La estrella principal, la más brillante en el filtro G del catálogo, está marcada como A, siendo B la secundaria. Si existe una tercera componente queda marcada con C y así sucesivamente.

Finalmente, en las dos columnas finales se dan las mediciones obtenidas sobre catálogo del ángulo y separación del par.

No se incluyen los valores de la desviación típica ni otros valores para cuantificar el error, ya que solo se ha medido sobre una muestra y además, queda imprecisa la fecha exacta de la adquisición de los valores del catálogo.

Conclusiones

El estudio del catálogo en combinación con las imágenes en *Aladin*, resulta ser una herramienta eficaz para el descubrimiento de nuevos sistemas gravitacionales de estrellas. Con la paciencia que caracteriza este tipo de trabajos, se podrían encontrar decenas, más bien cientos de sistemas aún no conocidos a lo largo de todo el cielo. ☺

Agradecimientos

Este estudio ha hecho uso del *Washington Double Star Catalog* mantenido por el Observatorio Naval de los Estados Unidos.

This research has made use of "Aladin sky atlas" developed at CDS, Strasbourg Observatory, France

AstroimageJ: AstroImageJ Astronomical Journal open access paper Collins, Kielkopf, Stassun, and Hessman 2017, AJ, 153, 77

This work has made use of data from the European Space Agency (ESA) mission Gaia (<https://www.cosmos.esa.int/gaia>), processed by the Gaia Data Processing and Analysis Consortium (DPAC, <https://www.cosmos.esa.int/web/gaia/dpac/consortium>). Funding for the DPAC has been provided by national institutions, in particular the institutions participating in the Gaia Multilateral Agreement.

TABLA 1. CARACTERÍSTICAS DE LOS NUEVOS SISTEMAS CATALOGADOS (CONT.).

DESIG. PROV.		GAIA ID.	RA	DE	PARALAX	PMRA	PMDE	θ (°)	ρ (")
GMZ24	A	232997753860303104	64,42137480635	45,65727143180	1,1226	0,702	-11,190	195,8	7,621
	B	232997753860304128	64,42055149170	45,65523428576	1,1546	1,177	-11,478		
GMZ25	A	232981737923208448	65,11435262355	45,93477227274	7,2596	-18,129	-26,597	9,6	3,354
	B	232981742218455808	65,11457513920	45,93569101061	7,3449	-17,880	-27,623		
GMZ26	A	232962775646923520	65,16599875033	45,66193660502	1,0107	5,563	-20,816	100,8	27,11
	B	232962775646921728	65,17658158735	45,66052710979	1,0448	6,378	-15,630		
GMZ27	A	232766405441933824	65,30721511056	45,43256882478	3,8579	-12,284	-12,672	273,9	20,88
	B	232766031784214784	65,29896745765	45,43296325973	3,8445	-12,220	-12,620		
GMZ28	A	232967139333996672	65,47687432756	45,75198603543	3,6030	34,765	-29,148	221,1	5,357
	B	232967139333996800	65,47547182957	45,75086487294	4,2399	34,410	-29,022		
GMZ29	A	232778538728872960	65,57563814964	45,69417630026	4,3648	33,336	-38,990	326,3	63,30
	B	232779294643116416	65,56167427568	45,70881342028	3,3309	49,286	-53,232		
GMZ30	A	161880482779344512	72,28626220316	34,07001855968	1,6485	30,759	12,049	5,7	8,023
	B	161880478482747264	72,28653071573	34,07223592564	1,7454	31,169	11,997		
GMZ31	A	200135374233790464	72,41121240974	39,66283227379	1,2732	-1,423	-12,437	97,0	13,90
	B	200135378529840256	72,41619207943	39,66236297606	1,3312	-1,222	-12,309		
GMZ32	A	199544803344868352	72,53760187904	39,09355195878	5,5133	27,364	27,470	291,0	5,60
	B	199545559259112576	72,53573044776	39,09410881734	5,5686	28,235	27,967		
GMZ33	A	161971089409305600	72,56865300508	34,73907837868	4,4357	18,165	-70,135	206,2	4,142
	B	161971085114077184	72,56803560450	34,73804557901	4,4446	17,617	-69,442		
GMZ34	A	161698547964722560	72,94965683421	34,02986479577	5,5007	8,234	-37,606	84,8	14,69
	B	161698479245245184	72,95456077346	34,03023572350	5,5147	7,009	-35,203		
GMZ35	A	162017131459419648	73,15136391338	34,74019424884	2,0514	16,745	-7,888	176,1	20,87
	B	162017131459420544	73,15184144095	34,73440934932	1,8795	16,678	-7,760		
GMZ36	A	160963868038874496	74,24911906715	33,73675205630	2,6449	-0,322	-21,460	167,5	4,407
	B	160963863744262784	74,24943816568	33,73555711187	2,6528	0,130	-22,374		
GMZ37	A	156284621428998912	76,91600624534	30,11591448103	1,7279	-8,179	-25,370	283,5	15,11
	B	156284690148476928	76,91128839739	30,11689326506	1,7900	-8,504	-25,063		
GMZ38	A	156003829352688640	77,68130439611	29,48154884692	9,6696	18,529	-30,898	140,7	4,655
	B	156003829351825408	77,68224570507	29,48054866887	9,7379	19,234	-32,286		
GMZ39	A	156105435394746112	77,99830066624	29,71844031054	1,9560	9,749	-22,373	211,9	20,76
	B	156105431097589504	77,99479411373	29,71354372675	1,9806	10,101	-22,643		
GMZ40	A	261767364654409728	79,28288806217	50,98781815973	2,0367	21,995	-20,185	109,1	17,31
	B	261767364654410112	79,29010479114	50,98624484841	1,8359	17,819	-12,125		
GMZ41	A	261767368952978944	79,29296484338	50,98956562063	1,0463	8,338	-9,297	297,2	24,09
	B	261767437671513856	79,28350886214	50,99262579330	1,1161	9,692	-10,257		
GMZ42	A	262916633480734208	79,56950487396	51,54668486380	3,6083	8,826	-25,821	108,6	4,731
	B	262916633480734080	79,57150753169	51,54626520419	3,5970	10,311	-24,844		
GMZ43	A	187739690596781184	80,75585390948	39,19297589424	5,1823	-2,574	-30,813	AB	47,9
	B	187739514498716416	80,76521595842	39,19953429072	5,0736	-3,936	-36,405	AC	93,9
	C	187739484438350464	80,75726806136	39,19290194092	5,2011	-2,436	-30,565		3,955
GMZ44	A	3446427958998637696	80,77115939900	29,39149307285	2,6190	14,876	-19,673	209,4	5,527
	B	3446427959002728448	80,77029476683	29,39015523756	2,6655	14,711	-19,947		
GMZ45	A	344567555608211712	80,84375727004	29,28085858692	2,2780	-4,882	-10,727	123,1	10,03
	B	3445675759901781120	80,84643335020	29,27933819643	2,3235	-4,200	-12,044		
GMZ46	A	209212564274981632	80,90649207040	46,43541513559	3,5401	1,259	-26,542	21,9	12,75
	B	209212568570472960	80,90840837603	46,43870263620	3,4896	1,521	-26,702		
GMZ47	A	3445757536079905664	81,48797208091	29,27906502031	1,0246	3,374	-10,148	180,6	7,414
	B	3445757501720168320	81,48794907716	29,27700560920	1,0248	3,040	-8,405		

(Continúa en la página siguiente)

TABLA 1. CARACTERÍSTICAS DE LOS NUEVOS SISTEMAS CATALOGADOS (CONT.).

DESIG. PROV.		GAIA ID.	RA	DE	PARALAX	PMRA	PMDE	θ (º)	ρ (")
GMZ94	A	957211359737128320	99,48821103711	40,22505068230	2,1746	5,876	-28,494	148,1	2,677
	B	957211359737128576	99,48872541534	40,22441928420	2,4209	5,039	-28,716		
GMZ95	A	945163701594567168	99,71489594512	39,66402075438	6,2153	12,971	-39,456	185,1	4,951
	B	945163697299259392	99,71473833446	39,66265080836	5,9773	13,437	-39,566		
GMZ96	A	945190291735288960	99,74004663039	40,05690033725	6,1888	-30,570	-111,069	173,7	1,832
	B	945190296029793920	99,73997351055	40,05740613871	6,3279	-29,188	-112,586		
GMZ97	A	945166514796347008	99,82483718364	39,81300482896	3,6082	2,806	-32,420	295,9	10,02
	B	945178167044380928	99,82157647199	39,81422096857	3,5836	2,047	-32,765		
GMZ98	A	945100617115042176	100,27359895467	39,36727402192	4,9366	-18,762	-57,831	151,1	3,692
	B	945100617115042304	100,27424087342	39,36637637912	5,0218	-18,404	-58,258		
GMZ99	A	945554779840144000	100,31451831292	40,09865720071	2,8992	-17,945	-16,887	319,1	4,153
	B	945554779841139072	100,31353029980	40,09952864421	2,7791	-17,785	-17,235		
GMZ100	A	945506680502663424	100,37746261381	40,03684889406	10,2019	-46,321	-45,820	150,6	3,619
	B	945506680502663552	100,37810809036	40,03597356732	9,4519	-51,772	-46,649		
GMZ101	A	945099375868681216	100,50424417718	39,45713869855	11,4563	-35,992	-64,096	184,6	3,881
	B	945099380164435328	100,50413278746	39,45606407316	11,4710	-37,983	-63,558		
GMZ102	A	945286709458154112	100,57306791889	39,44172354327	2,8807	-14,667	-26,584	124,3	2,387
	B	945286705166546048	100,57377721503	39,44134973768	3,0270	-15,248	-26,271		
GMZ103	A	945580622659407360	100,58493351423	40,30707777331	8,2673	182,207	-166,382	9,7	1,576
	B	945580622657768064	100,58502990075	40,30750940527	8,4801	181,732	-164,451		
GMZ104	A	943902454381707008	100,80494545069	37,49761136156	1,0024	-7,818	-16,664	307,8	9,457
	B	943902454381710464	100,80232835661	37,49922059182	1,2640	-7,857	-17,566		
GMZ105	A	943902733555278208	100,86107989711	37,52353724409	5,8473	17,456	-68,044	295,1	91,92
	B	943902974073450112	100,83191715494	37,53436508464	6,2101	17,419	-71,994		
GMZ106	A	944002101918549504	100,86736167713	37,76598658831	1,0787	-0,806	-13,105	6,7	49,67
	B	944003648106980352	100,86938688127	37,77969151308	1,2293	-0,937	-13,185		
GMZ107	A	945536607834678656	100,95538820760	40,30357463446	1,8515	-2,008	-30,425	275,0	5,044
	B	945536603539548672	100,95355799389	40,30369604476	1,7649	-2,077	-30,040		
GMZ108	A	943949183625797248	101,02156099138	37,55026839416	1,6460	-1,575	-24,375	135,2	55,14
	B	943949084842464896	101,03515904413	37,53939099120	1,6710	-1,513	-24,433		
GMZ109	A	945236028844141056	101,59446019289	39,34848663149	4,6343	-12,840	-47,211	342,1	8,568
	B	945236024548677376	101,59351462185	39,35075153891	4,4714	-12,203	-47,536		
GMZ110	A	966859260736570624	101,61864801875	48,64907703581	11,6359	29,724	-29,298	238,2	8,189
	B	966859260736766336	101,61572204835	48,64787822429	11,6453	28,108	-27,255		
GMZ111	A	966858470463456896	101,77169685285	48,63260956849	4,3076	-9,467	-39,236	310,6	3,273
	B	966858470464386816	101,77274133519	48,63201805918	4,2828	-9,563	-38,701		
GMZ112	A	943970834556691968	101,77822557388	37,81684978635	5,4863	-22,074	-3,330	192,8	2,201
	B	943970834556692096	101,77805416663	37,81625363821	5,3643	-23,705	-2,991		
GMZ113	A	945412874120757888	101,78323220003	40,04873711996	1,7104	-5,828	-19,166	329,9	2,745
	B	945412878415348608	101,78273291295	40,04939692943	1,6723	-6,082	-17,312		
GMZ114	A	945460019978229504	101,91549664200	40,63619836698	2,4901	-5,592	-26,538	24,3	48,38
	B	945460050041262592	101,92279040745	40,64844596151	2,5651	-7,733	-34,400		
GMZ115	A	945347732353614976	102,06121539411	39,82623864483	3,0365	-4,027	-17,112	191,2	17,84
	B	945347728057490048	102,05996305107	39,82137740833	3,1214	-4,010	-18,894		
GMZ116	A	951399856669804672	102,72283268490	40,59793297746	2,3858	-16,932	-39,657	305,1	38,39
	B	951399749293341824	102,71134007382	40,60406483007	2,3674	-17,973	-39,096		
GMZ117	A	950636860021964288	102,79821450785	40,32968883914	2,6273	5,977	-63,081	358,8	15,5
	B	950636864318412928	102,79809396141	40,33399427070	2,9360	6,946	-63,807		

(Continúa en la página siguiente)

TABLA 1. CARACTERÍSTICAS DE LOS NUEVOS SISTEMAS CATALOGADOS (CONT.).

DESIG. PROV.		GAIA ID.	RA	DE	PARALAX	PMRA	PMDE	θ (°)	ρ (")
GMZ118	A	944107758114246272	102,87827913638	37,70625078231	2,4693	-10,314	-24,672	247,6	76,86
	B	944084354836342144	102,85333803058	37,69811545433	4,3849	-10,051	-24,855		
GMZ119	A	951394908867534336	102,90510185452	40,50928376857	0,3527	20,292	-23,087	184,0	5,108
	B	951394908865515776	102,90497227743	40,50786831259	0,4396	20,202	-24,182		
GMZ120	A	944554980173620096	103,07263662790	39,67087563289	1,2309	-6,941	-10,089	154,5	8,159
	B	944554980173617792	103,07390316442	39,66882961770	1,1909	-7,104	-9,529		
GMZ121	A	944553846302003968	103,16226835611	39,65140879613	2,3718	-15,291	-17,501	213,4	11,50
	B	944553850597303808	103,15998643650	39,64874136669	2,3212	-15,400	-17,773		
GMZ122	A	978822535659264768	103,26938338969	48,69618982240	7,1129	-9,934	-17,992	275,2	6,087
	B	978822531363817600	103,26683229421	48,69634249880	7,1208	-10,071	-16,756		
GMZ123	A	950593330529920384	103,88852158398	40,36912918714	7,1622	-28,482	-73,463	127,2	11,26
	B	950593330529920128	103,89179213581	40,36724026421	7,5348	-28,335	-74,166		
GMZ124	A	950592192362447360	103,91941404162	40,29313532755	3,9133	-10,409	-70,474	265,7	4,177
	B	950592196658556672	103,91789699632	40,29304836524	3,0652	-11,908	-70,959		
GMZ125	A	950267394051537408	104,04318914426	38,96849181930	8,8394	2,546	-28,061	297,7	13,00
	B	950267424115127424	104,03907384379	38,97016818524	8,8804	0,179	-26,861		
GMZ126	A	978858883966500352	104,18385560387	48,76003025977	0,1025	6,888	2,206	269,7	16,86
	B	978858883966500736	104,17684246804	48,75927670096	0,8578	6,600	2,196		
GMZ127	A	978882287244447360	104,19999708184	48,76621847900	3,0102	-3,489	8,772	106,3	1,857
	B	978882287244447232	104,20074820316	48,76607415695	2,9191	-3,348	8,517		
GMZ128	A	950504781188071040	104,35560361802	40,49678997157	2,2374	4,114	-35,219	127,9	2,703
	B	950504785482909696	104,35638265355	40,49632862163	2,1664	4,057	-35,497		
GMZ129	A	978867542620478720	104,58151737678	48,73243037165	4,0162	-23,669	-21,468	271,5	1,987
	B	978867546916755840	104,58068099935	48,73244480557	4,2865	-24,671	-21,220		
GMZ130	A	978650633888217728	104,60800362677	48,35408188031	2,1558	11,048	-27,940	44,4	26,16
	B	978650560872899584	104,61565609972	48,35927283898	2,2687	11,282	-27,704		
GMZ131	A	978649873678109568	104,67690995954	48,34023674188	2,6524	1,787	-56,879	3,1	3,806
	B	978649873678508416	104,67682498851	48,33918109411	2,1029	1,627	-56,085		
GMZ132	A	947276752488445184	104,73013421104	38,97482515921	1,7203	-14,577	-16,470	346,7	9,902
	B	947276752488447104	104,72931828874	38,97750151071	1,8072	-14,805	-16,344		
GMZ133	A	978684890547343360	104,82464961472	48,74270944588	1,5802	28,522	4,227	93,7	2,552
	B	978684890545428736	104,82572219403	48,74266408641	1,5461	28,360	4,356		
GMZ134	A	950519697610175232	104,92219033791	40,60121064315	1,6795	14,411	-21,557	219,5	2,076
	B	950519697609101824	104,92170774566	40,60076550681	1,9506	14,554	-22,271		
GMZ135	A	940947688680899584	105,07005393981	37,56807550036	3,5441	5,188	-33,445	108,3	11,78
	B	940947624257539456	105,07397444577	37,56704937045	3,3421	4,474	-33,656		
GMZ136	A	947322489595814272	105,33022056215	38,97197043553	4,7322	1,953	-21,423	71,8	5,204
	B	947322489595813760	105,33198715939	38,97242117967	4,7716	1,775	-21,957		
GMZ137	A	946902235634735232	105,41768771668	37,51873848310	5,4806	-21,773	7,738	85,6	0,947
	B	946902235636060544	105,41801835291	37,51875872146	5,5464	-23,000	8,390		
GMZ138	A	94688532507901696	105,51956736666	37,37179716666	4,7829	-22,827	-14,587	201,9	41,47
	B	946885532507416576	105,51415701782	37,36111023687	4,2295	-23,769	-14,365		
GMZ139	A	946885846040855808	105,58848133081	37,39646085932	3,3751	-14,293	-19,008	187,3	18,41
	B	946885811681144064	105,58766258080	37,39138960610	3,2059	-14,844	-18,899		
GMZ140	A	946897700150573952	105,63779540319	37,61350712820	3,0560	-15,310	-53,464	202,6	1,081
	B	946897700149231616	105,63764950965	37,61322984588	2,5649	-10,500	-47,365		
GMZ141	A	946138934048276352	105,71722500992	37,32514998232	1,0996	-10,478	-20,276	308,5	35,37
	B	946139689962520832	105,70755855603	37,33126856667	1,0930	-10,303	-20,362		

(Continúa en la página siguiente)

TABLA 1. CARACTERÍSTICAS DE LOS NUEVOS SISTEMAS CATALOGADOS (CONT.).

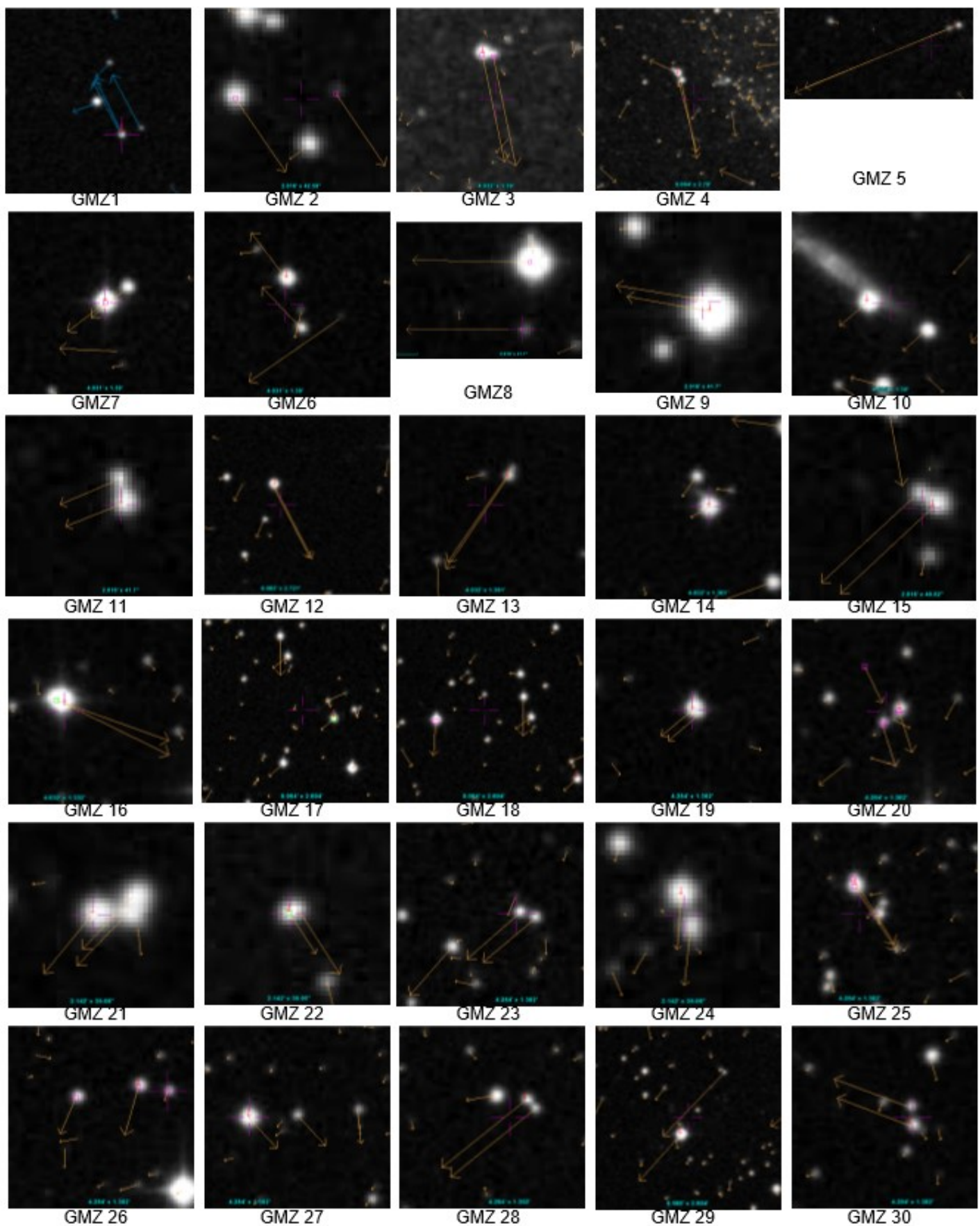
DESIG. PROV.		GAIA ID.	RA	DE	PARALAX	PMRA	PMDE	θ (°)	ρ (")
GMZ142	A	946113920158927616	105,73407945628	37,01370107060	8,9144	58,469	-66,235	134,3	2,658
	B	946113920157258880	105,73341717556	37,01421642865	8,8971	58,940	-64,018		
GMZ143	A	946142473101318912	105,81013482865	37,47235252176	3,0060	-1,129	-30,620	179,6	6,241
	B	946142473099497600	105,81015049552	37,47061884169	2,7816	-0,358	-34,216		
GMZ144	A	946058532260769536	106,06100334596	36,80690351353	3,3355	-9,357	-12,922	82,1	8,909
	B	946058527965496064	106,06406506569	36,80724247379	3,3748	-9,494	-12,622		
GMZ145	A	946147901940083840	106,13747834023	37,32099682694	4,0629	-6,819	-29,886	108,2	1,344
	B	946147901938328192	106,13792422534	37,32088034801	4,1093	-7,435	-29,829		
GMZ146	A	946002109274625536	107,24613589371	37,52013429122	3,3269	13,006	-21,709	341,4	7,410
	B	946002109274625664	107,24530679437	37,52208467377	2,6063	12,913	-22,597		
GMZ147	A	945821656223496448	107,30366267389	36,65453852176	0,8424	-12,757	-4,109	20,1	1,217
	B	945821656222334208	107,30380760303	36,65485593759	0,3662	-12,363	-4,322		
GMZ148	A	946024447399359744	107,33543406712	37,51064439720	2,9030	-14,447	-36,932	57,9	31,65
	B	946024821061684480	107,34482006800	37,51532096138	2,6878	-14,071	-42,377		
GMZ149	A	945921952299989248	107,35754331784	36,85366292642	2,3797	0,564	-51,053	321,7	3,877
	B	945921952299989376	107,35671013240	36,85450854530	2,1327	0,186	-50,957		
GMZ150	A	946024790996739712	107,36868312675	37,51387815683	1,7731	-1,301	-22,452	215,2	1,520
	B	94602479095595008	107,36837591503	37,51353330866	1,4482	-1,130	-22,372		
GMZ151	A	946002354087709312	107,60174358888	37,19594392418	4,4047	-60,851	-68,716	281,3	9,348
	B	946002354087709952	107,59854634079	37,19645086466	4,4140	-61,065	-68,407		
GMZ152	A	945937551621148288	107,79982492380	36,98119665325	0,8554	-4,867	-9,776	319,0	2,022
	B	945937551620116224	107,79936325425	36,98162027227	0,2855	-4,816	-9,371		
GMZ153	A	945939819363864448	107,86686505870	37,05637583139	2,3496	-8,414	-31,901	92,2	5,081
	B	945939613205434112	107,86863230138	37,05632055723	2,1687	-8,239	-31,829		
GMZ154	A	946341244187260416	107,99759461357	37,51369998234	2,1397	-8,213	-16,943	93,4	5,548
	B	946341244187260160	107,99953398734	37,51360950987	2,1986	-8,517	-16,926		
GMZ155	A	946341347266471936	108,00742866072	37,53131075882	9,1163	-39,514	-60,262	150,0	69,96
	B	946341278546995968	108,01967951526	37,51447514924	9,1295	-39,991	-60,203		
GMZ156	A	946343202692328832	108,13480589092	37,57807767707	5,7557	-13,823	-37,656	151,2	22,00
	B	946340247754829440	108,13851973533	37,57272085507	5,9860	-12,858	-38,313		
GMZ157	A	946351272934762880	108,14691261311	37,76058976595	2,7002	-18,078	-13,776	219,0	10,31
	B	946351242870995200	108,14463244932	37,75836352623	2,6677	-18,398	-13,617		
GMZ158	A	898265304421025152	108,64135300902	37,09389817443	0,9246	9,596	-7,735	347,8	19,18
	B	898265300124960000	108,63994415280	37,09910709112	0,6438	9,857	-7,826		
GMZ159	A	946356809148668800	108,76622703129	37,70070385479	4,8926	11,966	-28,906	79,2	20,22
	B	946356843508406784	108,77320103747	37,70175195151	4,9293	12,578	-28,664		
GMZ160	A	748417739458177536	159,78488006977	33,13710066561	11,8689	-166,285	-44,205	0,2	1,951
	B	74841774375352192	159,78488231899	33,13764269372	10,4841	-164,876	-41,888		
GMZ161	A	748348543240305792	160,18592547646	32,77726171193	2,1827	-2,806	-19,982	241,0	6,643
	B	748348538947567616	160,18400582390	32,77636741721	2,5759	-1,947	-18,233		
GMZ162	A	749862124075268992	160,59146476018	33,18497871005	1,5947	14,856	-20,745	276,3	46,14
	B	749862085420428800	160,57624377473	33,18639330506	1,9503	18,858	-19,827		
GMZ163	A	737871709256129280	160,93663775695	33,13791865867	0,5057	4,896	-10,830	45,6	17,33
	B	737872082918553472	160,94074698272	33,14128497374	0,3061	4,021	-10,802		
GMZ164	A	737807009868779520	161,17802544595	32,90890404669	1,2423	3,231	-18,701	43,3	2,022
	B	737807009868779392	161,17848389587	32,90931296144	1,3344	3,210	-18,658		
GMZ165	A	737805802983168384	161,19464124641	32,87841804981	0,2175	-0,944	-17,830	300,8	2,909
	B	737805802984956032	161,19381445392	32,87883143755	-0,2100	-0,893	-17,678		

(Continúa en la página siguiente)

TABLA 1. CARACTERÍSTICAS DE LOS NUEVOS SISTEMAS CATALOGADOS.

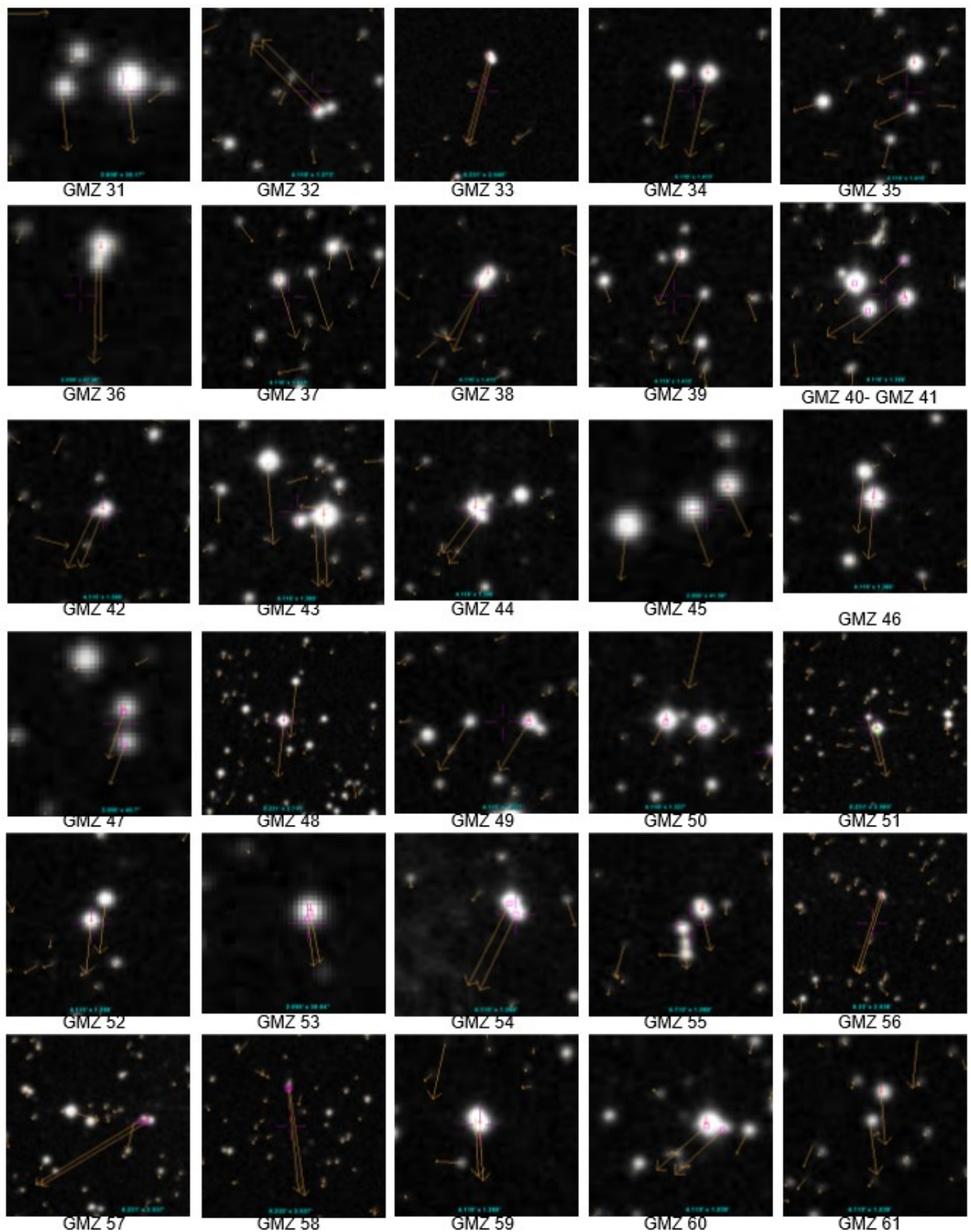
DESIG. PROV.		GAIA ID.	RA	DE	PARALAX	PMRA	PMDE	θ (°)	ρ (")
GMZ190	A	758442987696176512	169,45421292846	33,83771731608	2,0572	-22,838	-6,882	6,1	7,406
	B	758442983401326592	169,45447530376	33,83976306961	0,5503	-24,405	-6,026		
GMZ191	A	758449305593140352	169,55763775108	33,90395624695	2,3031	-34,203	-15,842	193,5	8,758
	B	758449309887831424	169,55695510954	33,90159046234	1,9486	-33,246	-15,724		
GMZ192	A	757717791058286208	169,86270098697	33,82657709241	1,8221	-37,621	-12,028	189,9	12,15
	B	757717786763320960	169,86200323256	33,82325358775	2,1532	-36,929	-12,083		
GMZ193	A	757705932653579648	170,34649765232	33,80670694741	2,6992	-12,490	-13,952	351,9	3,689
	B	757705932655134464	170,34632404070	33,80772156289	2,8491	-12,345	-14,419		
GMZ194	A	759216287967996672	170,47657171843	34,12950562061	2,4674	17,891	-13,528	237,7	9,980
	B	759216180593816320	170,47374175824	34,12802312121	3,7097	18,350	-13,100		
GMZ195	A	759215424679974144	170,51043160742	34,11814463757	2,5580	-39,044	-32,641	91,6	2,418
	B	759215424679568896	170,51124251793	34,11812550278	2,6066	-40,369	-32,561		
GMZ196	A	759172268847973888	170,84551316152	34,13592240794	2,4375	-22,036	-37,532	107,9	2,700
	B	759172268849293696	170,84637526045	34,13569172606	1,6621	-21,327	-38,138		
GMZ197	A	1475010997738904320	202,47132395525	36,42798900975	1,2218	-13,559	4,310	144,7	15,95
	B	1475010997739056128	202,47450477746	36,42437313749	1,1511	-12,268	3,735		
GMZ198	A	1474979013118837504	202,93770095744	36,45644727869	3,1467	-23,076	5,993	229,4	13,71
	B	1474979013118837632	202,94129548738	36,45892558280	3,0418	-22,959	5,987		
GMZ199	A	2060277910470476160	300,82599102624	37,59313602015	0,4663	-3,989	-6,752	304,1	11,90
	B	2060277880439662208	300,82253680707	37,59499189623	0,0990	-3,058	-5,560		
GMZ200	A	1959235132637471616	329,76092285832	40,02266650695	2,2756	-5,430	-10,870	113,8	12,79
	B	1959235132637472512	329,76516723989	40,02123397439	1,1953	-6,269	-10,974		

TABLA 2. ÁLBUM FOTOGRÁFICO.



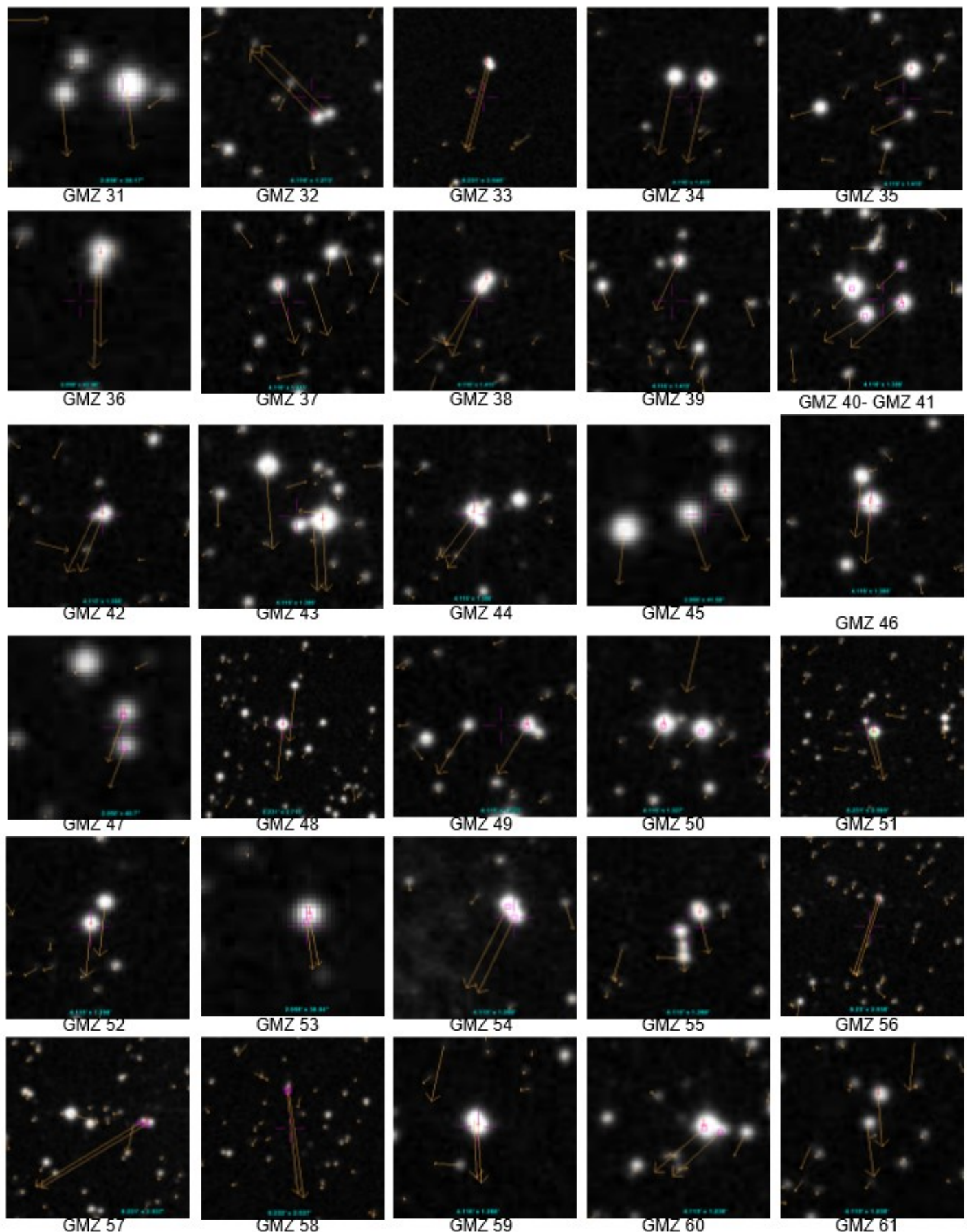
(Continúa en la página siguiente)

TABLA 2. ÁLBUM FOTOGRÁFICO (CONT.).



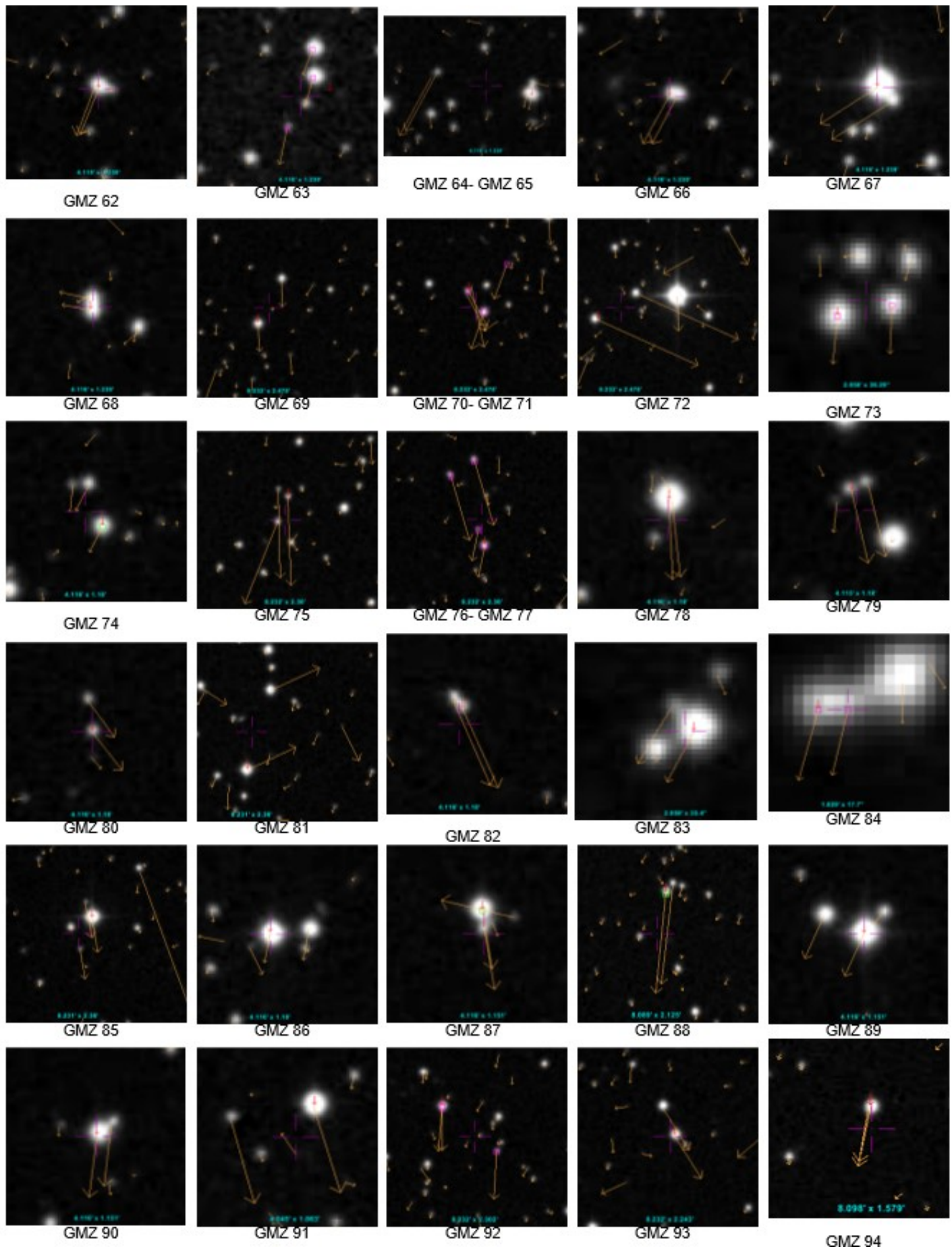
(Continúa en la página siguiente)

TABLA 2. ÁLBUM FOTOGRÁFICO (CONT.).



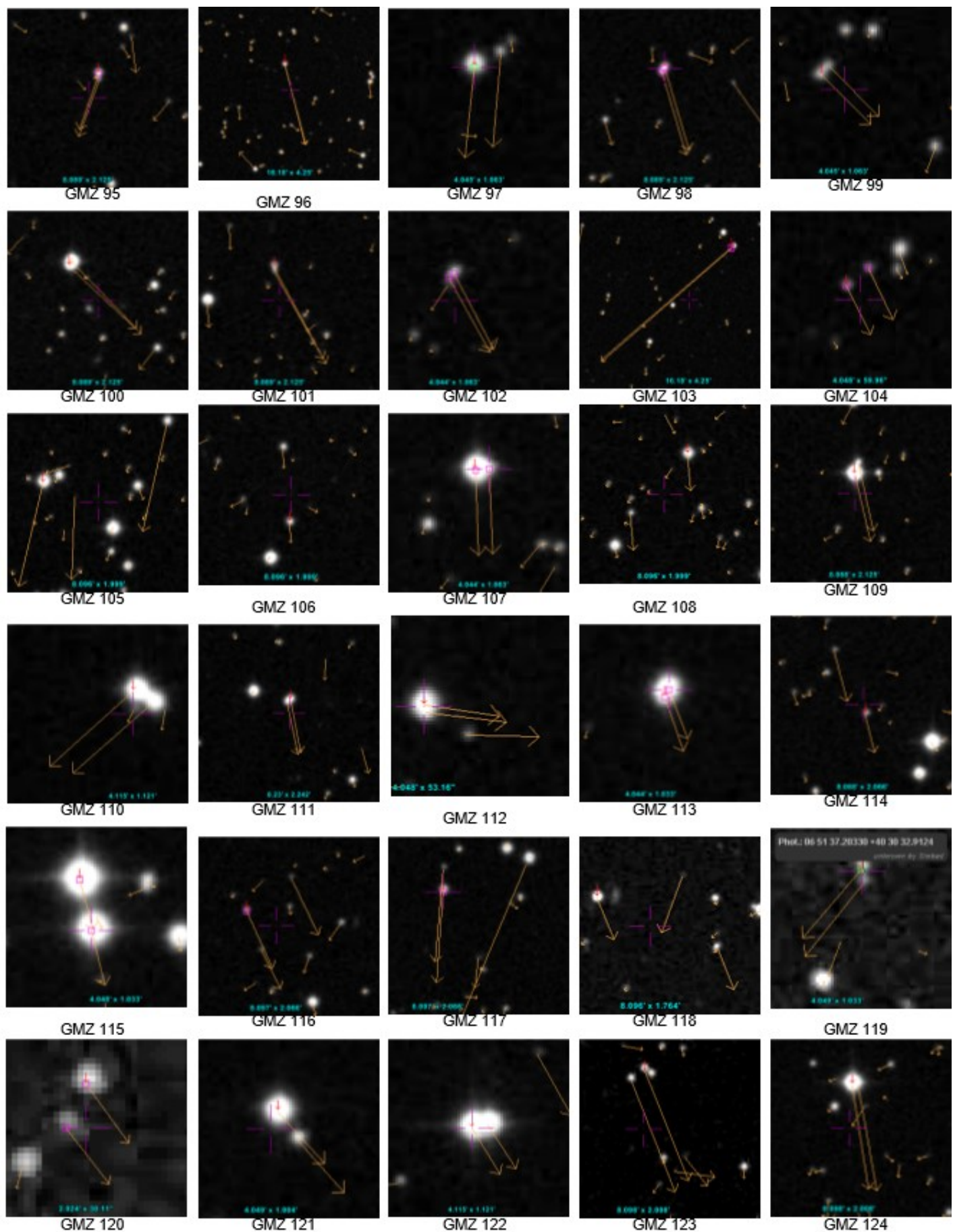
(Continúa en la página siguiente)

TABLA 2. ÁLBUM FOTOGRÁFICO (CONT.).



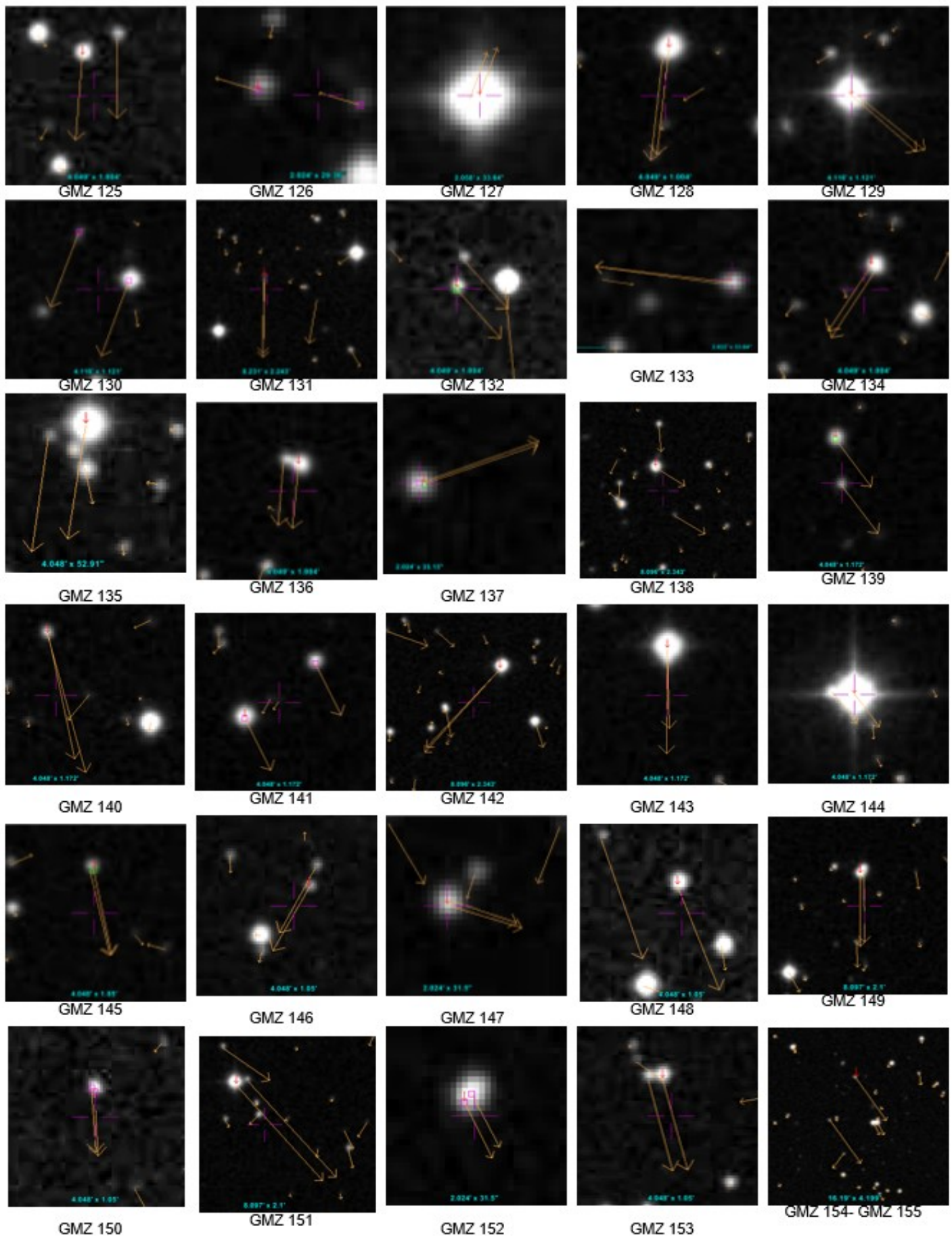
(Continúa en la página siguiente)

TABLA 2. ÁLBUM FOTOGRÁFICO (CONT.).



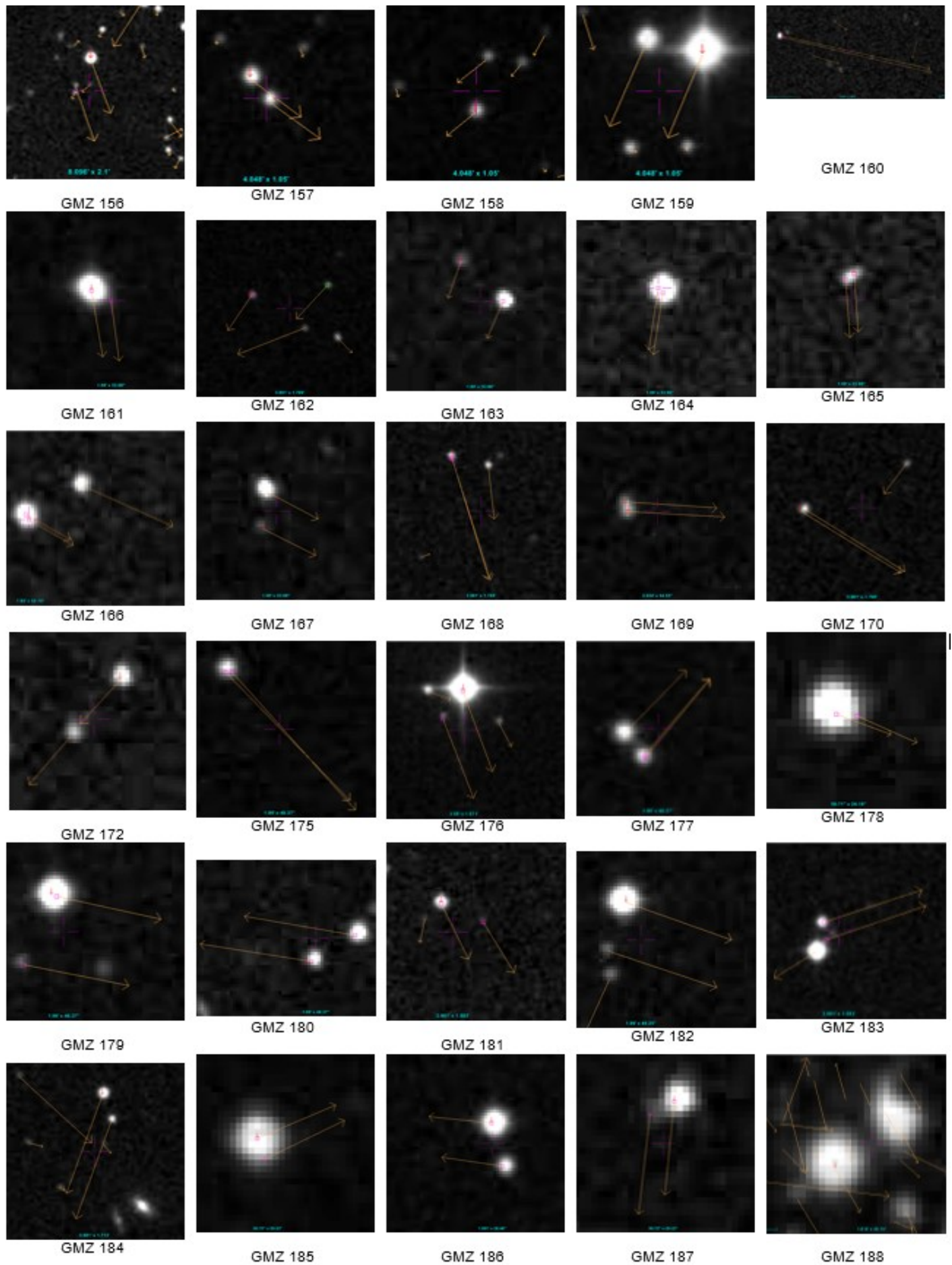
(Continúa en la página siguiente)

TABLA 2. ÁLBUM FOTOGRÁFICO (CONT.).



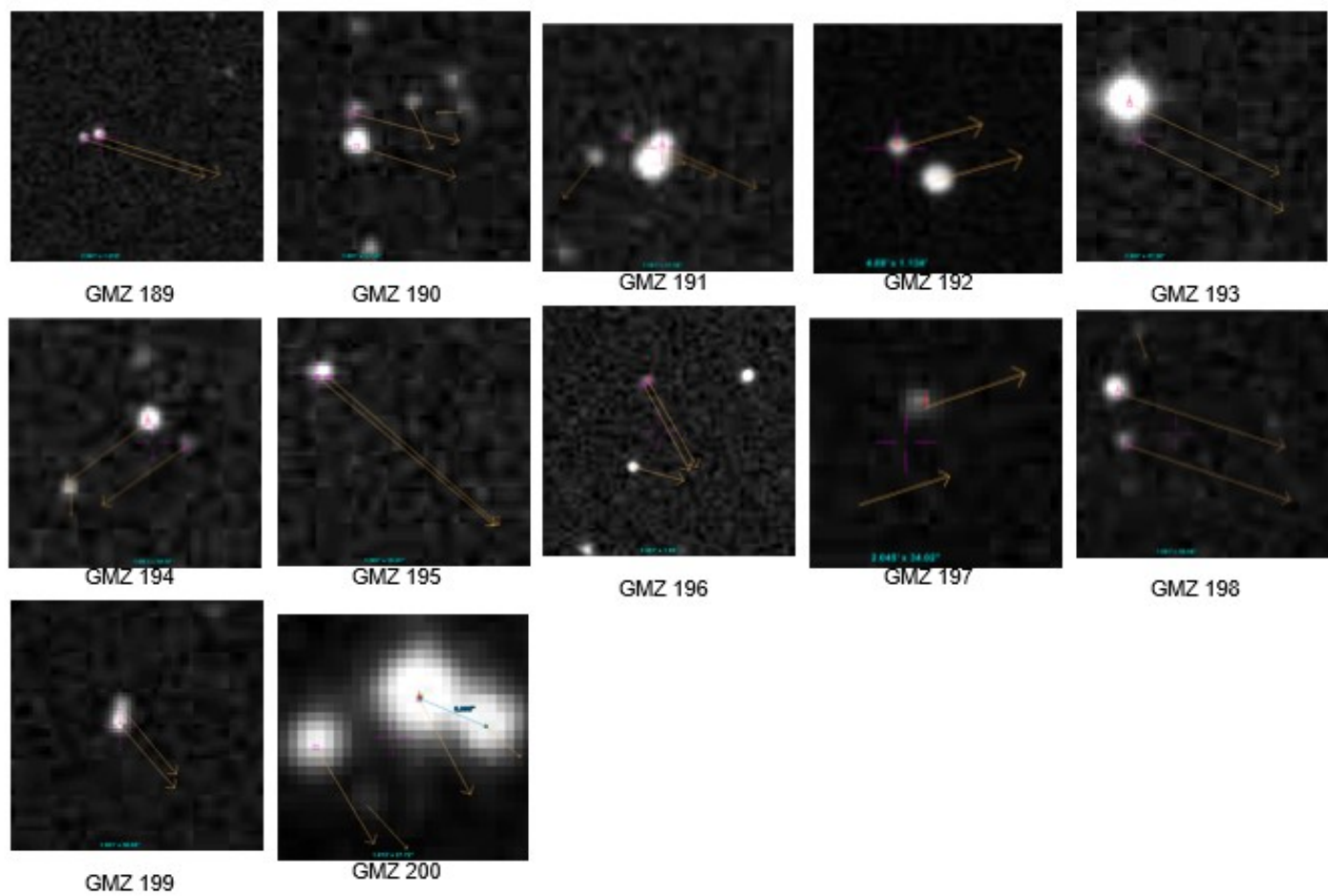
(Continúa en la página siguiente)

TABLA 2. ÁLBUM FOTOGRÁFICO (CONT.).



(Continúa en la página siguiente)

TABLA 2. ÁLBUM FOTOGRÁFICO (CONT.).



Actualización de la astrometría de sistemas dobles

Update of the astrometry of double systems

Antonio Egea Gómez

■ Correo-e: aegeaprimero@gmail.com

En este trabajo se presentan mediciones de estrellas dobles, algunos de ellos sistemas triples, con una última fecha de observación anterior al año 2015. En la exploración de estos sistemas se han encontrado y medido 5 sistemas nuevos que no se encontraban catalogados en el *WDS Catalog*.

In this work the measurements of double stars are presented, some of them triple, with a last date of observation previous to the year 2015. In the exploration of these systems, we have found and measured 5 new systems that were not listed in WDS.

Introducción

ENTRE SEPTIEMBRE DEL AÑO 2018 y finales de abril del 2019 se ha realizado esta campaña en la que se han buscado en el catálogo WDS pares cuya última fecha de observación fuera anterior al año 2015.

Dado que mi equipo funciona bien en la medición de sistemas hasta magnitud 16 y que dichas parejas presentan una variación muy pequeña; es decir, deben tener un periodo orbital seguramente muy largo y dado que la mayor parte de los sistemas catalogados se han medido en el mencionado 2015, me pareció que repetir con tan poco margen las mediciones era un esfuerzo gratuito, por lo que decidí buscar fechas anteriores a este año.

Si bien para las condiciones de mi lugar de observación y equipo, muchos de los posibles sistemas realmente no estaban a mi alcance debido a su pequeña separación, he podido encontrar los suficientes como para mantenerme ocupado todos estos meses.

He de decir que no realizo la técnica de *lucky imaging* que tan buenos resultados permite obtener a los observadores que la aplican, como R. Benavides y L. Ribé (pido perdón pero desconozco en España más nombres). De aplicar dicha técnica, las posibilidades de medición se amplían enormemente pues binarias tan cercanas no se han incluido en la campaña del año 2015

Equipo

El telescopio es un Celestron 11 con cámara

ASI1600MM sin refrigerar y cámara de guiado Lodesstar montada en una guía fuera de eje. Todo el conjunto se encuentra colocado en una montura EQ8, bajo un cielo de pena.

Instrumentación y soporte informático

Para encontrar la orientación de las imágenes y la escala, se ha utilizado el programa *Xparallax*. En el caso de este equipo, la escala resulta ser de 0,26 arcsec/pix lo cual proporciona una longitud focal efectiva de 3100 mm frente a la nominal de 2800 mm. Se utilizó un filtro IR al hacer las mediciones para estabilizar en la medida de lo posible la turbulencia atmosférica.

El programa que proporciona el ángulo y la separación es *Reduc*. Aunque se acude a *AstroimageJ*, cada vez más frecuentemente, para calcular ángulos y separaciones de pares en los cuales la distancia superaba la que se puede medir en *Reduc* y cuando este no proporciona una respuesta adecuada.

La captura de imágenes se realizó con un programa comercial y para el guiado se utilizó *PHD2* cuyo comportamiento asociado a la guía fuera de eje y a la cámara Lodesstar es excelente.

Adquisición de imágenes

Como he comentado anteriormente, se han seleccionado sistemas con fecha de observación anterior al año 2015. Cuando en unos pocos casos las estrellas se han acercado a la magnitud 16, el tiempo de exposición ha sido de hasta 420 segundos por imagen, esto

obliga a tratar con tomas de corriente obscura (*darks*). No se utilizaron tomas de campo plano (*flats*).

Presentación de datos

Como es habitual, se proporcionan las desviaciones típicas de las mediciones del ángulo y separación. También el número de imágenes adquirido para cada sistema (tabla 1). De esta manera, se puede obtener con facilidad el error estándar de la media y, bien a mano, o con un programa estadístico, en este caso R, se obtiene el intervalo de confianza de la media.

Cuando el número de imágenes es 5 o mayor, el intervalo dado se halla mediante la técnica *bootstrap* con la opción t (*Student-boot*) al 95% de confianza, mientras que si el número de imágenes es menor de 5 se da el intervalo t (*Student*), también al 95%.

Con esto se pretende, acotar las medidas dentro de unos márgenes de error que sean comprensibles y aceptados, en especial, a aquellos que pudieran hacer uso de estos datos para el cálculo de órbitas.

En la tabla 2 la paralaje está indicada como prlx. El movimiento propio como pmra para ascensión recta y pmde para declinación. Además, se proporcionan los datos de la desviación típica para theta y rho, obtenidos de las observaciones realizadas de cada sistema y por fin, se dan los intervalos de confianza para ambos valores, que a mi juicio deberían acompañar siempre a los datos y estar incluidos en los catálogos. Este punto es necesario a la hora de consultar los datos que son de una medida física y deben de estar acompañados de una estimación de su error correspondiente. Finalmente los subíndices 1 y 2 se refieren, naturalmente, a la estrella principal y a la secundaria respectivamente.

Conclusiones

La mayoría de estos sistemas están identifica-

dos como inciertos. De este modo, se hace necesario actualizar el conocimiento que se tiene de ellos. Para esto, se proporciona una tabla con las paralajes y movimientos propios de cada sistema obtenidos del catálogo GAIA, al objeto de decidir si tienen posibilidades de estar enlazados gravitacionalmente. 

Agradecimientos

Este estudio ha hecho uso del *Washington Double Star Catalog* mantenido por el Observatorio Naval de los Estados Unidos.

A Florent Losse por el consentimiento de utilización del programa *Reduc*.

Xparallax VIU. <https://sourceforge.net/projects/xparallaxviu/files/latest/download>

WdsPick <http://www.astrosurf.com/legalet/software/wdspick/WdsPick-2.1.zip>

Stelle Doppie: <http://stelledoppie.goaction.it/index2.php>, por Gianluca Sordiglioni.

This research has made use of "Aladin sky atlas" developed at CDS, Strasbourg Observatory, France

AstroimageJ: AstroImageJ Astronomical Journal open access paper Collins, Kielkopf, Stassun, and Hessman 2017, AJ, 153, 77

A los editores de esta publicación por su esfuerzo de ya más de 10 años.

Referencias

Benavides, R., González, J. L., Masa, E. R., Observación de estrellas dobles, MARCOMBO S. A., 2017.

Introduction to Stellar Astrophysics Vol 1,2 y 3. Böhm Vitense, Erika. Cambridge University Press. 1989.

TABLA 1. ASTROMETRÍA RELATIVA DE LOS SISTEMAS OBSERVADOS.

WDS ID.	DESCUBRIDOR	MAGNITUDES	E. BESSEL	THETA (°)	RHO (")	IMG	NOCH	NOT
15501+3639	ALI369	11,90-11,90	2018,47781	337,88	8,166	6	1	1
16074+3548	ALI370	12,00-13,00	2018,47783	146,51	13,002	13	1	2
17135+2935	BRT257	11,91-12,80	2018,48061	181,66	5,811	4	1	3
19481+3710	HLM31	12,31-12,42	2018,72403	293,67	11,6	7	1	4
20006+2451	BKO752BC	13,00-13,60	2018,74035	241,46	6,719	5	1	5
20006+2451	POU4183AB	13,00-13,00	2018,74035	212,38	3,743	5	1	6
20007+2445	BKO753	13,00-13,50	2018,74035	25,43	5,715	6	1	7
20007+3232	DAM313CD	12,00-12,00	2018,74308	297,56	3,769	6	1	8
20007+3232	ES2430AB	9,74-12,20	2018,74308	266,54	6,485	6	1	9
20007+3232	ES2430AC	9,74-12,00	2018,74308	40,07	16,907	5	1	10
20011+3940	BRT2228	12,99-13,22	2018,76224	264,94	4,282	5	1	11
20021+3204	BRT274	12,40-13,00	2018,73496	6,61	4,724	4	1	12
20026+2633	BKO755	11,90-12,00	2018,74313	311,27	8,182	5	1	13
20028+2628	BRT207	13,11-13,13	2018,74313	310,54	3,970	4	1	14
20031+3733	ES2045	12,50-13,00	2018,74582	134,79	3,685	5	1	15
20108+3320	SEI952	12,82-13,02	2018,76229	194,31	5,857	6	1	16
20349+3358	SEI1173	11,31-11,58	2018,81148	294,76	4,634	4	1	17
20542+4508	LDS5915	12,10-15,10	2018,75406	43,42	18,034	4	1	18
21006+5432	HJ1605DE	11,38-12,60	2018,74050	117,88	21,285	4	1	19
21008+3940	SEI1364	11,21-12,40	2018,74039	114,08	12,064	5	1	20
21023+4139	ROE21	11,29-12,00	2017,82600	223,82	9,082	7	1	21
21040+2841	HJ 1609AB	11,04-11,22	2018,72410	35,81	8,084	6	1	22
21068+2513	POU5166	14,00-14,10	2018,76235	301,62	4,313	5	1	23
21069+3313	TDT2760	12,63-12,87	2018,75688	150,32	4,077	5	1	24
21099+4257	LDS2492	15,37-15,64	2018,74321	135,42	21,456	5	1	25
21104+4253	BRT1144BC	11,80-12,10	2018,74327	308,7	3,337	3	1	26
21129+4003	LDS2495	15,00-15,80	2018,74603	173,08	5,042	5	1	27
21233+3810	ALI690	13,60-13,60	2018,73228	65,23	8,804	6	1	28
21550+4404	BRT1153	11,48-11,60	2018,74054	65,77	4,823	6	1	29
21585+5428	STI2603	11,52-11,90	2018,74060	52,62	4,970	5	1	30
21588+3745	ES2527	11,95-12,67	2018,76241	321,73	8,205	5	1	31
21590+5432	ES684	10,04-13,30	2018,74060	275,63	4,170	3	1	32
21591+3900	MLB789	12,60-13,10	2018,76247	358,72	9,814	6	1	33
21591+4001	MLB1022	12,11-14,10	2018,75694	246,25	8,085	5	1	34
22006+4406	LYS13	11,00-12,50	2018,72691	178,79	8,733	5	1	35
22011+4431	GRV530	12,37-12,58	2017,82324	214,01	71,241	4	1	36
22015+5114	HJ1716AB	11,68-11,70	2018,74331	87,75	5,804	5	1	37
22019+5506	HJ1718CD	12,25-14,60	2018,74589	83,61	4,958	4	1	38
22058+3618	SEI1558	12,19-12,40	2018,74609		5	1		39
22074+4523	DYL8	13,00-13,00	2018,72697	44,4	6,829	4	1	40
22075+3841	MLB792	13,80-14,80	2018,73235	231,7	5,205	4	1	41
22157+3051	FMR13	14,00-14,10	2017,73299	217,48	3,735	5	1	42
22334+5632	BKO922	13,20-14,90	2018,86904	266,13	4,049	4	1	43
22337+5632	CRI27	10,11-12,32	2018,86904	4,98	22,346	8	1	44
22341+3900	ALI993	12,70-12,80	2018,73242	72,23	8,305	5	1	45

(Continúa en la página siguiente)

TABLA 1. ASTROMETRÍA RELATIVA DE LOS SISTEMAS OBSERVADOS (CONT.).

WDS ID.	DESCUBRIDOR	MAGNITUDES	E. BESSEL	THETA (°)	RHO (")	IMG	NOCH	NOT
22445+3717	ALI461	11,60-11,80	2018,81165	0,79	10,479	7	1	46
22449+3710	ALI462	12,80-13,00	2018,81165	115,19	12,543	8	1	47
22507+4005	MLB966	13,70-14,30	2018,84174	120,78	7,179	6	1	48
23575+4321	UC5052	13,70-13,80	2018,84182	136,72	3,557	7	1	49
07314+3528	HJ3293	11,50-12,40	2019,21954	301,03	12,277	4	1	50
07414+5536	STI2196	10,40-11,20	2019,22775	160,7	3,1	4	1	51
07430+5110	GIC66	12,66-12,99	2019,21405	115,43	45,63	5	1	52
07430+2327	BLL 22	11,39-12,21	2019,23324	127,71	69,83	3	1	53
08010+3454	MLB932AB	13,40-14,10	2019,20590	54,65	4,578	4	1	54
08010+3454	MLB932AC	13,40-12,54	2019,20590	229,63	51,16	5	1	55
08364+5916	STI675	11,60-13,10	2019,21413	259,7	7,21	5	1	56
09186+5231	HJ2492AB	13,00-14,40	2019,20607			1		57
09186+5231	HJ2492AC	13,00-9,14	2019,20607	129,08	236,902	3	1	58
09193+5230	VBS15	12,80-13,30	2019,20607	177,52	16,609	3	1	59
09211+6024	LDS1227	9,04-12,33	2019,23872	150,79	164,903	6	1	60
09368+5755	ES1783AB	10,04-10,75	2019,23875	239,75	120,35	6	1	61
09368+5755	ES1783Ba,Bb	11,10-11,90	2019,23875	14,88	1,94	6	1	62
09427+7004	OSV3AB	10,73-11,51	2019,21410	77,09	88,650	5	1	63
09427+7004	LDS1698BC	11,51-12,20	2019,21410			1		64
09468+2322	POU3057	11,78-12,20	2019,21969	16,7	4,91	3	1	65
09559+2344	POU3063	13,00-13,20	2019,23337	10	4,644	5	1	66
10020+2714	LDS3948	13,32-13,95	2019,20329	130,47	143,966	5	1	67
10110+6653	HJ3321	12,79-13,00	2019,21420	147,5	3,4	3	1	68
10145+2434	GRV814	11,31-12,06	2019,20324	204,76	22,145	5	1	69
10192+0711	HJ2527	11,84-12,64	2019,24166	251,22	20,85	5	1	70
10305+2243	POU3081	13,60-13,70	2019,23344	273,16	7,25	4	1	71
10379+2825	LDS1254	14,20-15,70	2019,23617	16,67	8,53	4	1	72
10387+2502	LDS4004AB	15,24-15,49	2019,23892	252,81	184,72	5	1	73
10387+2502	LDS4004BC	15,49-15,50	2019,23892	293,57	26,74	5	1	74
10465+2707	HJ 490	11,51-15,55	2019,23898	272,52	18,85	5	1	75
11049+0634	GIC 95	13,11-13,26	2019,23355	91,96	27,428	5	1	76
11051+1026	LDS4055AC	14,40-14,50	2019,24171	97,775	245,294	5	1	77
11076+2346	BRT3297	11,40-11,80	2019,20611	160,51	4,736	5	1	78
11126+2544	LDS 918	14,40-14,80	2019,23350	67,9	15,877	5	1	79

TABLA 2. PARALAJE, MOVIMIENTOS PROPIOS Y DESVIACIÓN TÍPICA DE LOS PARES OBSERVADOS.

NOT.	PRLX 1	PRLX 2	PMRA 1	PMRA 2	PMDE 1	PMDE 2	$\sigma(\theta)$	$\sigma(\rho)$	$\theta(^{\circ})$ INTERVALO	$\rho(^{\circ})$ INTERVALO
1	27,349	27,442	19,052	19,257	-44,773	-45,237	0,08	0,005	337,7-338,1	8,154-8,181
2	33,661	34,563	11,901	10,850	-34,301	-33,450	0,008	0,027	146,3-146,7	12,98-13,02
3	0,849	0,6195	1,197	0,002	-16,624	-11,580	0,86	0,24	180,29-183,02	5,430-6,193
4	24,796	0,4084	-9,126	-5,106	-6,826	-9,039	0,07	0,005	293,5-293,9	11,59-11,61
5	0,9891	0,447	1,933	-0,729	-0,685	-4,554	0,15	0,025	241,1-241,8	6,659-6,774
6	10,409	0,9891	2,517	1,933	-1,251	-0,685	0,13	0,01	212,0-212,7	3,723-3,771
7	0,614	14,851	-1,454	8,700	-10,354	5,361	0,15	0,013	25,11-25,85	5,672-5,783
8	no data	24,287	no data	1,837	no data	-3,556	0,04	0,01	297,4-297,7	3,746-3,794
9	12,480	23,760	3,141	1,975	-1,554	-3,895	0,05	0,011	266,4-266,6	6,451-6,511
10	12,480	no data	3,141	no data	-1,554	no data	0,05	0,013	39,93-40,21	16,87-16,93
11	0,3495	0,5249	-2,328	-5,143	-6,996	-5,221	0,15	0,012	264,6-265,4	4,261-4,314
12	0,7897	12,678	0,148	-8,210	-6,334	-18,264	0,23	0,016	6,24-6,97	4,699-4,750
13	0,6726	0,4336	-3,078	-2,770	-2,898	-4,211	0,13	0,015	310,9-311,6	8,146-8,223
14	0,8164	no data	0,143	no data	-1,993	no data	0,13	0,01	310,05-311,03	3,927-4,013
15	0,9042	0,3575	3,871	-2,434	1,866	-6,885	0,11	0,012	134,5-135,0	3,655-3,717
16	23,956	22,506	13,700	4,117	-44,876	-16,500	0,03	0,002	194,2-194,4	5,851-5,860
17	11,766	10,606	-2,177	-2,000	-7,495	-7,714	0,19	0,04	294,46-295,05	4,563-4,705
18	42,099	51,590	-75,534	13,933	-121,728	-73,722	0,08	0,008	43,17-43,68	18,004-18,063
19	28,602	17,547	3,422	10,593	2,169	4,365	0,02	0,011	117,80-117,96	21,243-21,327
20	30,356	30,849	-2,087	-1,555	-19,805	-19,883	0,03	0,012	114,0-114,2	12,03-12,09
21	13,173	12,995	-2,157	-2,379	-4,152	-3,977	0,01	0,005	223,8-223,8	9,071-9,094
22	28,276	28,915	-10,543	-11,017	-9,008	-8,934	0,09	0,009	35,56-36,07	8,059-8,112
23	0,4483	10,986	-0,965	-5,137	-4,035	-13,261	0,12	0,01	301,3-301,9	4,290-4,337
24	11,948	15,578	2,553	-15,938	-1,655	-3,141	0,06	0,014	150,2-150,5	4,048-4,122
25	176,419	177,165	196,168	195,642	-17,429	-17,278	0,06	0,028	135,2-135,6	21,38-21,52
26	13,343	14,251	1,051	1,215	-4,842	-4,838	0,13	0,002	308,38-309,03	3,333-3,340
27	29,789	0,0464	22,437	0,303	26,055	0,829	0,18	0,021	172,6-173,5	5,004-5,101
28	29,096	0,3879	-16,424	-2,299	-1,240	-3,462	0,08	0,007	65,05-65,44	8,782-8,822
29	10,427	no data	-3,290	no data	2,529	no data	0,17	0,017	65,37-66,20	4,784-4,862
30	13,316	14,195	1,684	2,576	-1,096	-1,870	0,1	0,012	52,39-52,88	4,939-4,996
31	29,928	33,242	22,909	23,355	7,694	7,175	0,13	0,012	321,5-322,1	8,179-8,233
32	0,9117	0,9049	-0,949	-0,169	-2,827	-2,110	0,39	0,024	274,65-276,60	4,110-4,229
33	12,536	0,8164	-0,557	-6,250	-2,701	-7,844	0,06	0,016	358,6-358,9	9,773-9,860
34	22,756	0,2679	-5,430	-3,669	-10,870	-3,452	0,07	0,008	246,1-246,4	8,066-8,107
35	12,489	0,761	-1,532	-2,445	-6,594	-9,064	0,14	0,017	178,5-179,1	8,680-8,765
36	39,622	28,488	-20,958	-23,085	-25,113	-37,455	0,01	0,052	214,0-214,03	71,159-71,324
37	11,770	12,210	4,677	4,571	-1,921	-1,799	0,08	0,016	87,57-87,94	5,768-5,840
38	0,5452	0,3908	-9,566	-3,173	-7,504	-2,464	0,17	0,005	82,95-84,27	4,942-4,974
39	No existe componente B									
40	0,4255	0,4161	-6,050	-6,338	-4,800	-4,730	0,04	0,012	44,23-44,55	6,785-6,872
41	10,390	0,6803	13,468	-8,488	-16,060	-2,018	0,37	0,005	231,11-232,29	5,197-5,213
42	0,6267	15,718	4,889	3,400	-1,695	-4,533	0,13	0,009	217,2-217,8	3,716-3,757
43	10,115	10,714	-2,818	-2,710	-3,801	-3,808	0,85	0,036	264,78-267,48	3,991-4,106
44	0,3153	0,8703	-3,428	0,027	-2,627	-0,143	0,03	0,018	4,901-5,047	22,30-22,39
45	11,601	10,855	-0,161	0,044	4,279	4,209	0,03	0,009	72,13-72,28	8,285-8,327
46	21,349	25,595	27,352	24,843	11,434	-7,830	0,07	0,005	0,611-0,964	10,46-10,49

(Continúa en la página siguiente)

TABLA 2. PARALAJE, MOVIMIENTOS PROPIOS Y DESVIACIÓN TÍPICA DE LOS PARES OBSERVADOS (CONT.).

NOT.	PRLX 1	PRLX 2	PMRA 1	PMRA 2	PMDE 1	PMDE 2	$\sigma(\theta)$	$\sigma(\rho)$	$\theta(^{\circ})$ INTERVALO	$\rho(^{\circ})$ INTERVALO
47	25,745	24,953	-22,287	-22,353	-25,304	-25,548	0,04	0,011	115,1-115,3	12,52-12,58
48	12,962	no data	-8,873	no data	-6,593	no data	0,12	0,003	120,4-121,1	7,173-7,186
49	198,922	199,671	117,869	114,483	-104,666	-98,304	0,18	0,016	316,3-317,1	3,513-3,608
50	0,5173	11,313	5,304	0,535	-6,496	-2,884	0,06	0,025	300,9-301,1	12,237-12,317
51	45,351	46,289	-26,224	-27,035	-48,983	-47,827	0,7	0,03	159,5-161,6	3,05-3,14
52	296,411	296,757	-96,213	-99,588	-641,905	-637,697	0,07	0,04	115,34-115,51	45,58-45,68
53	11,286	31,635	-7,535	-24,623	-6,920	-46,842	0,01	0,06	127,70-127,72	69,68-69,98
54	0,6825	0,7446	-3,220	-3,179	-2,742	-2,974	0,09	0,025	54,51-54,80	4,538-4,617
55	0,6825	0,5732	-3,220	-3,887	-2,742	-3,203	0,03	0,06	229,59-229,69	51,10-51,23
56	15,238	15,759	-2,566	-2,603	-3,555	-3,489	0,22	0,16	259,45-259,98	7,02-7,41
57	B es la galaxia NGC2800									
58	0,595	38,048	-2,998	-17,484	-9,591	-19,851	0,01	0,009	129,05-129,10	236,88-236,92
59	16,613	0,4768	-11,853	-6,962	-11,019	-6,076	0,08	0,022	177,33-177,71	16,555-16,663
60	218,501	sd	-199,205	sd	-148,537	sd	0,007	0,023	150,78-150,80	164,877-164,936
61	93,921	64,565	250,892	39,994	-313,089	9,381	0,02	0,05	239,73-239,77	120,29-120,41
62	64,565	64,971	39,994	41,272	9,381	10,691	1,08	0,03	13,1-16,5	1,89-1,99
63	843,568	841,959	-671,954	-671,125	-271,231	-256,525	0,03	0,017	77,05-77,12	88,629-88,672
64	C no se encuentra en la posición indicada									
65	17,709	17,604	4,413	3,657	-17,857	-16,394	0,2	0,02	16,4-17,00	4,87-4,96
66	12,563	13,442	4,693	4,607	-5,028	-5,105	0,22	0,022	9,72-10,27	4,62-4,67
67	59,643	70,300	-18,108	71,393	-126,238	-98,962	0,01	0,012	130,02-130,46	144,01-144,23
68	0,7091	25,528	2,575	-16,506	-7,226	1,501	0,7	0,1	146,7-148,2	3,2-3,6
69	24,682	25,309	-30,872	-30,853	-10,697	-11,084	0,1	0,014	204,64-204,88	22,128-22,163
70	86,842	19,466	20,813	14,169	4,963	-1,698	0,07	0,04	251,14-251,30	20,79-20,90
71	15,459	16,165	0,787	0,657	-12,214	-12,240	0,26	0,04	272,74-273,57	7,19-7,31
72	59,643	70,300	-18,108	71,393	-126,238	-98,962	0,2	0,05	16,35-16,99	8,45-8,61
73	28,630	69,878	22,718	54,517	-157,907	-100,420	0,02	0,05	252,78-252,82	184,67-184,79
74	69,878	70,101	54,517	55,033	-100,420	-99,952	0,05	0,02	293,50-293,63	26,71-26,77
75	0,5465	0,906	-8,639	-29,400	-8,184	-20,168	0,06	0,02	272,44-272,59	18,83-18,88
76	138,945	139,401	-342,157	-340,453	58,924	57,396	0,07	0,023	91,87-92,06	27,40-27,46
77	120,729	115,604	-160,397	-154,838	-4,319	-80,185	0,002	0,026	245,26-245,33	97,773-97,778
78	50,115	49,749	-86,704	-86,647	57,374	57,987	0,12	0,016	160,35-160,66	4,72-4,76
79	82,758	72,661	-106,759	-106,892	-21,644	-21,584	0,11	0,02	67,76-68,03	15,85-15,90

TABLA 3. NUEVOS SISTEMAS PROPUESTOS.

	E. BESSEL.	$\theta(^{\circ})$	$\sigma(\theta)$	$\rho(^{\circ})$	$\sigma(\rho)$	IMG	$\theta(^{\circ})$ INTERV	$\rho(^{\circ})$ INTERV
GMZ 201	2018,75694	113,79	0,25	12,778	0,035	5		
GMZ 202	HJ2492AD	2019,20607	160,2	0,7	1,2	0,7	3	159,4-169,9
GMZ 203	AB	2019,24166	218,682	0,004	165,26	0,04	5	218,67-218,69
	AC	2019,24166	275,587	0,005	230,24	0,03	5	275,58-275,62
GMZ 204		2019,24166	345	1	9,5	0,8	3	344-346
GMZ 205		2019,23898	189,0	0,6	3,56	0,07	3	188,2-189,8
								3,48-3,61

TABLA 4. COORDENADAS, PARALAJES Y MOVIMIENTOS PROPIOS DE LOS NUEVOS SISTEMAS PROPUESTOS.

		ID	RA	DE	PARA	PMRA	PMDE	
GMZ 201	A	1959235132637471616	329,76092285832	40,02266650695	2,2756	-5,430	-10,870	
	B	1959235132637472512	329,76516723989	40,02123397439	1,1953	-6,269	-10,974	
GMZ 202	HJ2492AD	A	1022474556029547008	139,64024526048	52,51700647683	0,5954	-2,998	-9,591
		D	1022474556030913408	139,64043080595	52,51669363839	1,1542	-2,536	-9,568
GMZ 203	AB	A	3863338480210278400	154,77605877984	7,22691783285	3,4062	10,495	-37,206
	AC	B	3863337758655773952	154,74712657497	7,19101381334	3,4511	11,812	-44,083
		C	3875347724165918976	154,71181976456	7,23316559956	1,6687	12,427	-48,124
GMZ 204	A	3863337311979174272	154,79246056356	7,17688951175	8,6842	20,813	4,963	
	B	3863337311979174144	154,79177251943	7,17943324835	8,5978	20,884	5,547	
GMZ 205	A	730847028250574976	161,62532670301	27,11719407544	0,9060	-29,400	-20,168	
	B	730846650294227328	161,62521286003	27,11649331874	1,0172	-29,617	-20,229	

Medidas de sistemas dobles cerrados con la técnica Lucky Imaging (6^a serie)

Close Double-Star measurements using Lucky Imaging technique (6th Series)

Lluís Ribé de Pont

Agrupación Astronómica de Sabadell (AAS), Observatorio Les Pedritxes (Matadepera, Barcelona).

■ Correo-e: luisribedepont@gmail.com

Presentamos las medidas de sistemas dobles cerrados obtenidos con la técnica de *Lucky Imaging*.

We present close stars measurements with *Lucky Imaging* technique.

Introducción

RECOJO EN ESTE ARTÍCULO las observaciones que he hecho en abril y junio de 2018 en Matadepera, población cercana a Barcelona.

Equipo

He utilizado un telescopio Schmidt-Cassegrain *Celestron* de 280 mm, sobre una montura ecuatorial alemana computarizada GM2000 HPS II de 10 *Micron*. La focal del telescopio es de 2800 mm f/10.

Las imágenes han sido tomadas con una cámara ZWO ASI 290 mm. Contiene el sensor CMOS IMX290, con un tamaño de píxel de 2,9 μm x 2,9 μm . He trabajado a foco primario con una resolución de 0,24"/píxel.

Para paliar la turbulencia he utilizado un filtro IR.

Obtención de imágenes

Para capturar las imágenes he utilizado el programa *FireCapture*. Puede grabar tanto vídeos en formato AVI como imágenes en formato BMP y FIT. Yo trabajo con formato FIT. También permite grabar *subframes*, de modo que he seleccionado únicamente la parte donde sale la estrella. He obtenido 2000 imágenes por cada sistema.

Calibración y reducción

Para medir las estrellas abro las 2000 imágenes con *Reduc* y las ordeno en función de su calidad. Después, según su separación las mido de dos maneras. Para las menos cerradas utilizo la función “*AutoReduc*”, seleccionando las 50 mejores imágenes, aunque puede variar según las condiciones atmosféricas de turbulencia. Para los pares más cerrados, los hago manualmente: Primero amplio la imagen mediante la función “*QuadPx*” y a continuación la mido con “*Surface*”.

Astrometría relativa

Como algunos de estos pares son sistemas orbitales, he calculado los residuos O-C (Observado-Calculado) en la tabla 1 (página siguiente), para mostrar la mayor o menor calidad de las medidas. “Calculado” es lo que corresponde a las efemérides en 2019. En la tabla 1 he señalado también el grado de cada órbita, siendo una escala donde el valor 1 corresponde a las órbitas definitivas y el 5 para aquellas otras aún muy preliminares e imprecisas. Podemos comprobar que en *theta* los residuos son ligeramente mayores que en *rho*, donde las diferencias son realmente mínimas. Esto puede deberse tanto a la dificultad de medir este tipo de estrellas tan cerradas, como también a una órbita desfasada donde todas las observaciones más recientes se están alejando de las efemérides previstas.

En la tabla 2 se muestran los resultados obtenidos de los pares observados. Cada uno de ellos ha sido

WDSC	SISTEMA	O-C (theta)	O-C (rho)	ÉPOCA	GRADO
05013+5015	STF 619	0,63	0,133	2019,159	5
05364+2200	STF 742	-1,02	0,052	2019,159	5
05474+2939	BU 560	0,14	0,003	2019,159	4
05535+3720	BU 1053	0,44	0,002	2019,227	5
06462+5927	STF 948 AB	-0,96	0,055	2019,227	4
06482+5542	STF 958 AB	0,38	0,052	2019,227	5
07346+3153	STF 1110 AB	0,15	0,097	2019,129	3
08095+3213	STF 1187 AB	0,75	0,143	2019,129	5
08369+2315	AG 154	0,31	0,019	2019,129	5
09013+1516	STF 1300 AB	0,38	0,087	2019,129	4
10163+1744	STT 215	0,08	0,008	2019,236	4
10200+1950	STF 1424 AB	0,05	0,221	2019,236	4
10387+0544	STF 1457	-1,01	0,059	2019,236	4
10596+2527	AG 342	0,13	0,252	2019,236	5
11080+5249	STF 1510	-0,16	0,193	2019,236	5
11156+5947	STF 1523 AB	-1,23	-0,012	2019,236	1
22038+6438	STF 2863 AB	0,78	-0,201	2019,041	5

Tabla 1. Residuos de O-C de los sistemas orbitales observado. Los valores de *theta* son en grados y los de *rho* en segundos de arco.

observado una sola noche. Recogemos los errores de las mediciones de *theta* y *rho*, como “σ”.

Álbum fotográfico

En la Tabla 3 se muestran las imágenes de los pares observados. Se han obtenido con la función “ELI” del programa *Reduc*. Son recortes de 128 x128 píxeles. Todas las imágenes están orientadas con el norte arriba y el este a la izquierda. ☺

Referencias

Argyle, R. W., Observing and measuring Visual Double Stars, 2004.

Benavides Palencia, R., 2012, *Medición de 28 sistemas dobles usando Lucky Imaging*, El Observador de Estrellas Dobles, nº 9, 91-98.

Benavides Palencia, R., 2014, *Medidas de estrellas dobles mediante la técnica de lucky imaging con filtro IR*, El Observador de Estrellas Dobles, nº 12, 21-30.

Benavides Palencia, R., 2015, *Medidas de sistemas cerrados mediante la técnica Lucky Imaging con filtro IR Pass (Segunda serie)*, El Observador de Estrellas Dobles, nº 16, 50-71.

Benavides, R., González, J. L., Masa, E. R., *Observación de estrellas dobles*, MARCOMBO S. A., 2017.

Hartkopf, W. I. et al., *Fourth Catalog of Interferometric Measurements of Binary Stars*, U.S. Naval Observatory.

Hartkopft, W. I. et al., *Sixth Catalog of Orbits of Visual Binary Stars*, U.S. Naval Observatory.

Mason, B. D. et al., *The Washington Double Star Catalog (WDS)*, U.S. Naval Observatory.

Ribé de Pont, Ll.; 2017, Medidas de sistemas cerrados con la técnica de Lucky Imaging, El Observador de Estrellas Dobles, nº 18, 25-31.

Ribé de Pont, Ll.; 2017, Medidas de sistemas cerrados con la técnica de Lucky Imaging (Segunda serie), El Observador de Estrellas Dobles, nº 19, 19-33.

Ribé de Pont, Ll.; 2018, Medidas de sistemas cerrados con la técnica de Lucky Imaging (Tercera serie), El Observador de Estrellas Dobles, nº 20, 12-17.

Ribé de Pont, Ll.; 2018, Medidas de sistemas cerrados con la técnica de Lucky Imaging (Cuarta serie), El Observador de Estrellas Dobles, nº 21, 46-50.

Ribé de Pont, Ll.; 2019, Medidas de sistemas cerrados con la técnica de Lucky Imaging (Quinta serie), El Observador de Estrellas Dobles, nº 22, 45-52.

Para realizar este trabajo he usado los siguientes programas:

-Firecapture versión 2.6: captura de imágenes. <http://www.firecapture.de/>

-TheSky 6: conectado con el telescopio para buscar los sistemas dobles. <http://www.bisque.com>

-Reduc versión 5.36: medida y apilado de los sistemas dobles. <http://www.astrosurf.com/hfosaf/>

Este trabajo ha hecho uso del *Washington Double Star Catalog*, *Sixth Catalog of Orbit of Visual Binary Stars* y del *Fourth Catalog of Interferometric Measurements of Binary Stars*, todos ellos mantenidos por el Observatorio Naval de los Estados Unidos.

TABLA 2. ASTROMETRÍA RELATIVA DE LOS PARES OBSERVADOS (CONT.).

ID. WDS	SISTEMA	CONST.	MAG. A	MAG. B	RHO	σ RHO	THETA	σ THETA	ÉPOCA	NOTA
04448+0517	STF 589 AB	Ori	8,78	8,92	4,856	0,035	275,30	0,51	2019,159	
04464+2950	MLB 686	Tau	9,8	10	2,092	0,046	242,04	0,39	2019,159	
04563+5206	STF 608 AB,C	Aur	8,19	9,5	4,738	0,046	114,05	0,45	2019,159	
04583+1357	STF 620	Ori	8,77	9,81	4,579	0,06	237,96	0,53	2019,159	
05000+7003	STF 604	Cam	9,09	9,36	2,053	0,059	38,44	0,51	2019,159	
05010+1430	D 6	Ori	9,11	9,46	1,22	0,053	99,07	0,87	2019,159	
05013+5015	STF 619	Aur	9,51	9,88	4,293	0,45	161,43	0,48	2019,159	1
05026+5450	AG 84	Cam	9,4	9,8	2,449	0,039	152,55	0,46	2019,159	
05103+3718	STF 644 AB	Aur	6,96	6,78	1,587	0,034	220,81	0,58	2019,159	
05110+3203	STF 648 AB	Aur	8,14	8,93	4,707	0,05	61,66	0,49	2019,159	
05142+5446	A 1304	Aur	9,14	9,93	1,948	0,03	89,75	0,39	2019,159	
05143+6949	STF 638	Cam	7,52	9,06	5,259	0,048	221,47	0,48	2019,159	
05152+0826	STF 664	Ori	7,77	8,42	4,756	0,044	176,79	0,43	2019,159	
05157+1944	STF 665	Tau	9,08	9,55	1,642	0,034	253,74	0,71	2019,159	
05167+1826	STF 670 AB	Tau	7,72	8,28	2,645	0,38	164,75	0,49	2019,159	
05172+3320	STF 666	Aur	7,85	7,89	3,15	0,046	75,39	0,47	2019,159	
05240+2458	STF 694 AB	Tau	8,65	8,54	1,546	0,09	16,54	0,62	2019,159	
05247+3945	AG 94	Aur	9,88	9,96	2,833	0,035	292,72	0,49	2019,159	
05263+3020	STF 706	Aur	9	9,87	3,826	0,048	43,40	0,43	2019,159	
05290+3746	BU 890	Aur	9,31	9,31	1,136	0,055	285,84	0,57	2019,159	
05293+2509	STF 716 AB	Tau	5,83	6,68	4,931	0,038	209,29	0,49	2019,159	
05339+4447	STF 727	Aur	8,13	9,16	2,262	0,04	60,18	0,40	2019,159	
05351+0956	STF 738 AB	Ori	3,51	5,45	4,329	0,047	44,12	0,49	2019,159	
05352+3358	AG 97	Aur	8,97	9,67	2,05	0,044	270,78	0,40	2019,159	
05364+2200	STF 742	Tau	7,09	7,47	4,208	0,04	274,98	0,38	2019,159	2
05371+4150	STF 736	Aur	7,45	8,57	2,670	0,025	359,93	0,52	2019,159	
05431+2522	STF 776 AB	Tau	8,51	9,78	2,623	0,05	97,73	0,34	2019,159	
05434+2213	STF 777	Tau	9,35	9,75	4,704	0,037	84,21	0,48	2019,159	
05436+6633	STF 739 AB,C	Cam	8,84	9,94	2,195	0,04	251,15	0,51	2019,159	
05436+6633	ES 1530	Aur	9,9	9,9	5,362	0,048	197,02	0,44	2019,159	
05474+2939	BU 560	Aur	7,77	8,24	1,702	0,044	123,94	0,54	2019,159	3
05499+3147	STF 796 AB	Aur	7,24	8,23	3,723	0,047	62,18	0,49	2019,159	
05501+3935	STF 791 AB	Aur	9,07	9,98	5,009	0,048	90,58	0,52	2019,159	
05507+2027	J 1047	Ori	9,5	9,6	2,127	0,07	288,69	0,68	2019,159	
05511+2008	HU 40	Ori	9,1	10,1	3,840	0,052	17,79	0,47	2019,159	
05511+6545	STF 780 AB	Cam	6,95	8,23	3,982	0,05	105,48	0,47	2019,159	
05524+4649	ES 1321 AB	Aur	7,84	9,6	5,584	0,043	350,78	0,51	2019,159	
05525+4009	STF 802 AB	Aur	8,92	9,57	2,397	0,044	105,66	0,49	2019,227	
05529+3427	STF 807 AB	Aur	8,01	9,72	2,436	0,056	153,15	0,46	2019,227	
05535+3720	BU 1053	Aur	6,91	8,83	1,899	0,057	0,44	0,37	2019,227	4

TABLA 2. ASTROMETRÍA RELATIVA DE LOS PARES OBSERVADOS (CONT.).

ID. WDS	SISTEMA	CONST.	MAG. A	MAG. B	RHO	σ RHO	THETA	σ THETA	ÉPOCA	NOTA
05542+3029	STF 811	Aur	7,97	9,3	5,22	0,047	234,07	0,44	2019,227	
05544+1854	STF 813	Ori	8,82	8,97	3,084	0,049	149,87	0,49	2019,227	
05545+1434	J 679 AB	Ori	9,4	10	2,932	0,067	356,43	0,51	2019,227	
05557+0859	STF 820	Ori	9,1	9,79	5,122	0,046	109,69	0,42	2019,227	
05584+2938	STF 821	Aur	8,33	9,44	2,239	0,043	4,03	0,42	2019,227	
06016+1248	J 254 AB	Ori	9,3	9,6	2,298	0,04	16,67	0,31	2019,227	
06038+1816	HDS 824	Ori	8,15	9,25	2,315	0,038	148,52	0,51	2019,227	
06080+0744	J 255 AB	Ori	9,3	9,4	2,983	0,047	129,36	0,05	2019,227	
06080+2214	J 1050	Gem	9,8	9,8	2,442	0,052	357,54	0,46	2019,227	
06085+0548	STF 854	Ori	8,81	9,78	5,706	0,049	320,72	0,51	2019,227	
06085+1358	STF 848 AB	Ori	7,28	8,15	2,605	0,044	110,40	0,48	2019,227	
06113+3040	STF 861 BC	Aur	9,06	9,25	1,712	0,041	315,05	0,42	2019,227	
06117+1723	STF 867 AB	Ori	7,53	8,88	2,286	0,042	159,47	0,44	2019,227	
06128+2426	AG 107	Gem	9,56	9,82	1,50	0,04	178,70	0,46	2019,227	
06146+1725	J 683	Ori	8,82	9,42	1,442	0,062	2,85	0,27	2019,227	
06147+1435	STF 877	Ori	7,55	7,96	5,73	0,05	263,48	0,44	2019,227	
06155+1035	STF 880	Ori	8,4	8,71	5,601	0,041	55,31	0,48	2019,227	
06192+3947	STF 883 AB	Aur	9,27	9,7	3,472	0,05	265,17	0,48	2019,227	
06197+2128	AG 109	Gem	9,44	9,67	2,431	0,032	16,41	0,59	2019,227	
06228+1734	STF 899	Gem	7,41	8,01	2,195	0,47	17,33	0,48	2019,227	
06234+1432	J 1254 CD	Ori	9,65	9,7	5,046	0,47	326,08	0,43	2019,227	
06254+1632	J 909	Ori	9,7	9,7	3,189	0,48	245,18	0,49	2019,227	
06273+0749	J 261	Mon	9,4	10	3,979	0,077	102,47	0,38	2019,227	
06275+2432	AG 112 AB	Gem	9,83	9,88	2,84	0,057	208,96	0,48	2019,227	
06284+0834	AG 114	Mon	9,23	10	5,013	0,026	0,84	0,46	2019,227	
06336+1032	A 2818	Mon	9,91	9,98	1,503	0,72	343,65	0,74	2019,227	
06336+1032	STF 918 AB	Aur	7,26	8,19	4,937	0,048	335,59	0,39	2019,227	
06347+3832	STF 928 AB	Aur	7,93	8,61	3,365	0,043	131,25	0,57	2019,227	
06363+3800	BU 194	Aur	8,55	8,93	1,6	0,132	277,85	0,67	2019,227	
06373+0604	J 985	Mon	9,4	9,8	4,166	0,043	80,72	0,54	2019,227	
06385+5218	STF 935	Aur	9,16	9,86	3,644	0,046	324,99	0,39	2019,227	
06386+2124	J 694	Gem	9,6	9,7	3,168	0,048	316,75	0,49	2019,227	
06387+4135	STF 941 AB	Aur	7,25	8,17	1,951	0,056	82,51	0,80	2019,227	
06410+0542	STF 949	Mon	9,17	9,7	3,555	0,04	289,32	0,53	2019,227	
06415+0950	STF 3118 AB	Mon	9,78	9,87	2,799	,0,32	173,91	0,50	2019,227	
06443+4414	ES 1383	Aur	9,5	9,5	2,725	0,044	338,75	0,55	2019,227	
06449+5927	STF 946	Lyn	7,3	9,11	4,017	0,044	129,18	0,51	2019,227	
06452+3050	STF 957 AB	Gem	7,45	9,4	3,794	0,043	90,07	0,44	2019,227	
06457+1419	J 724	Gem	9,4	9,8	3,26	0,044	170,68	0,29	2019,227	
06459+2741	BRT 145	Gem	9,6	10	4,296	0,045	108,40	0,43	2019,227	

TABLA 2. ASTROMETRÍA RELATIVA DE LOS PARES OBSERVADOS (CONT.).

ID. WDS	SISTEMA	CONST.	MAG. A	MAG. B	RHO	σ RHO	THETA	σ THETA	ÉPOCA	NOTA
06462+5927	STF 948 AB	Lyn	5,44	6	1,859	0,05	64,24	0,50	2019,227	5
06482+5542	STF 958 AB	Lyn	6,28	6,34	4,493	0,046	256,78	0,56	2019,227	6
06504+4345	STF 964	Aur	8,86	9,73	1,587	0,046	183,16	0,50	2019,227	
06549+0930	STF 986	Mon	8,26	9,02	5,459	0,048	163,23	0,36	2019,227	
06554+4834	STF 977 AB	Aur	8,76	9,88	2,011	0,026	128,80	0,45	2019,227	
06555+3010	STF 991 AB	Gem	7,95	9,21	3,839	0,049	165,02	0,51	2019,227	
07016+2634	STF 1008	Gem	8,7	9,96	2,346	0,32	271,72	0,40	2019,227	
07018+6617	MLB 400	Cam	9,5	9,8	2,288	0,029	54,90	0,29	2019,227	
07029+2223	J 997	Gem	9,6	9,6	2,369	0,065	156,30	0,47	2019,227	
07030+2427	AG 134 AB	Gem	9,96	9,89	1,786	0,062	23,40	0,20	2019,227	
07031+5410	STF 1001 BC	Lyn	9,4	9,31	1,597	0,06	5,35	0,48	2019,129	
07031+5410	STF 1001 AB	Lyn	7,82	9,4	9,082	0,038	66,13	0,46	2019,129	
07031+5410	STF 1001 AC	Lyn	7,82	9,31	9,945	0,039	58,05	0,42	2019,129	
07049+7240	STF 980	Cam	9,2	10,44	3,681	0,04	194,46	0,49	2019,129	
07057+5245	STF 1009 AB	Lyn	6,87	7,01	4,395	0,04	147,66	0,38	2019,129	
07096+3828	STF 1021 A,BC	Aur	9,54	9,6	4,202	0,04	14,66	0,50	2019,129	
07096+3828	STF 1024 AB	Aur	8,97	9,16	1,377	0,08	315,40	0,74	2019,129	
07198+1322	STF 1068 AB	Gem	9,29	9,8	4,116	0,045	349,62	0,43	2019,129	
07214+3402	STF 1070 AB	Gem	8,65	9,3	1,725	0,039	324,21	0,55	2019,129	
07241+2127	STF 1081 AB	Gem	7,68	8,52	1,92	0,036	233,95	0,50	2019,129	
07274+1519	STF 1094	Gem	7,58	8,52	2,498	0,038	97,28	0,49	2019,129	
07294+1132	STF 1099	CMi	8,54	8,94	3,924	0,046	343,69	0,45	2019,129	
07306+0515	STF 1103	CMi	7,12	8,64	4,193	0,045	243,83	0,41	2019,129	
07310+2510	AG 335	Gem	9,77	10,63	3,684	0,051	299,67	0,40	2019,129	
07345+1218	STF 1116	Gem	7,81	8,5	1,725	0,039	94,62	0,53	2019,129	
07346+3153	STF 1110 AB	Gem	1,93	2,97	5,409	0,043	52,65	0,48	2019,129	7
07357+4303	MAD 3	Lyn	9,9	9,9	3,723	0,049	119,78	0,51	2019,129	
07367+3523	STF 1174 AB,C	Lyn	8,97	9,33	6,003	0,047	213,61	0,44	2019,129	
07385+3343	STF 1119	Gem	8,08	9,35	3,316	0,046	353,17	0,50	2019,129	
07415+3325	STF 1123	Gem	9,25	9,79	3,625	0,43	166,97	0,37	2019,129	
07463+1344	SCJ 8	Gem	8,71	9,48	2,279	0,036	26,36	0,48	2019,129	
07470+6403	STF 1127 AB	Cam	7,02	8,45	5,604	0,039	339,53	0,45	2019,129	
07474+4718	ES 588	Lyn	9,5	9,8	2,537	0,045	306,39	0,43	2019,129	
07503+2432	STF 1147	Gem	9,66	9,68	2,155	0,042	175,37	0,47	2019,129	
07527+2003	COU 928	Gem	9,2	9,7	5,616	0,038	98,60	0,45	2019,129	
07597+4637	STF 1161	Lyn	8,21	9,82	2,897	0,049	197,83	0,54	2019,129	
07598+1341	STF 1170	Cnc	8,74	9,09	2,395	0,038	108,13	0,49	2019,129	
08033+2616	STT 186	Cnc	7,71	7,93	1,083	0,089	74,63	0,99	2019,129	
08047+0532	J 1001	CMi	9,4	9,4	3,365	0,105	161,43	0,62	2019,129	
08054+0550	STF 1182	CMi	7,48	8,76	4,867	0,039	74,81	0,38	2019,129	

TABLA 2. ASTROMETRÍA RELATIVA DE LOS PARES OBSERVADOS (CONT.).

ID. WDS	SISTEMA	CONST.	MAG. A	MAG. B	RHO	σ RHO	THETA	σ THETA	ÉPOCA	NOTA
08054+0812	STF 1181	Cnc	8,28	9,26	5,120	0,037	140,50	0,45	2019,129	
08056+2732	STF 1177	Cnc	6,69	7,41	3,593	0,041	349,77	0,47	2019,129	
08091+3714	HU 849	Lyn	9,67	9,8	1,136	0,051	283,34	0,55	2019,129	
08095+3213	STF 1187 AB	Cnc	7,19	7,98	3,115	0,046	20,45	0,49	2019,129	8
08122+1739	STF 1196 AC	Cnc	5,3	5,85	6,298	0,027	60,57	0,56	2019,129	
08127+2933	STF 1197	Cnc	9,01	9,67	1,78	0,048	100,75	0,49	2019,129	
08181+3050	STF 1212	Cnc	8,63	10,1	5,456	0,042	240,60	0,45	2019,129	
08267+2432	STF 1224 A,BC	Cnc	6,92	7,53	5,894	0,041	52,10	0,40	2019,129	
08268+2656	STF 1223	Cnc	6,16	6,21	5,366	0,048	218,38	0,45	2019,129	
08298+5112	STF 1225	Lyn	9,6	9,75	3,782	0,037	192,06	0,48	2019,129	
08369+2315	AG 154	Cnc	9,62	9,76	2,701	0,038	1,01	0,47	2019,129	9
08432+3849	BU 209	Lyn	8,72	9,01	1,179	0,045	9,14	0,55	2019,129	
08466+3829	STF 1259	Lyn	9,45	9,95	5,159	0,049	341,33	0,46	2019,129	
08500+3935	STF 1279	Lyn	9,16	9,25	1,141	0,047	88,38	0,29	2019,129	
08505+2308	AG 157	Cnc	9,76	9,89	2,257	0,04	76,43	0,45	2019,129	
08508+3504	STF 1282 AB	Lyn	7,59	7,76	3,519	0,047	278,59	0,42	2019,129	
08514+5732	STF 1275 AB	UMa	8,68	8,87	1,907	0,043	198,44	0,49	2019,129	
08542+3035	STF 1291 AB	Cnc	6,09	6,37	1,565	0,053	308,61	0,44	2019,129	
08547+1637	AG 338 AB	Cnc	9,01	9,22	2,027	0,04	164,73	0,42	2019,129	
08548+4335	STF 1289	Lyn	8,21	8,91	3,722	0,041	6,88	0,48	2019,129	
08593+3457	STF 1296	Lyn	9,05	9,95	1,9	0,04	75,59	0,31	2019,129	
09005+2244	STF 1297 AB	Cnc	8,88	9,96	5,063	0,043	159,42	0,47	2019,129	
09013+1516	STF 1300 AB	Cnc	9,47	9,73	5,095	0,043	178,68	0,53	2019,129	10
09051+3931	AG 160	Lyn	9,97	9,83	3,895	0,043	59,68	0,49	2019,129	
09074+2259	STF 1311 AB	Cnc	6,92	7,13	7,781	0,049	198,71	0,43	2019,129	
09080+8102	STF 1284	Cam	8,15	9,62	2,597	0,034	167,05	0,40	2019,129	
09508+3138	STF 1393	Dra	10,41	10,95	9,662	0,049	254,28	0,60	2019,236	
09572+4554	STF 1394	UMa	8,89	9,75	4,617	0,053	250,45	0,51	2019,236	
10029+0742	STF 1403	Leo	9,55	9,94	3,074	0,05	333,65	0,57	2019,236	
10123+1621	STF 1413	Leo	9,76	9,77	1,797	0,049	270,20	0,59	2019,236	
10151+1907	STF 1417	Leo	9,24	9,31	2,426	0,035	77,59	0,36	2019,236	
10163+1744	STT 215	Leo	7,25	7,46	1,495	0,08	176,18	0,49	2019,236	11
10170+1007	STF 1419	Leo	8,87	9,86	4,549	0,047	224,76	0,55	2019,236	
10200+1950	STF 1424 AB	Leo	2,37	3,64	4,946	0,036	126,35	0,46	2019,236	12
10236+2617	A 1991	Leo	10,13	10,38	1,528	0,106	190,63	0,15	2019,236	
10256+0847	STF 1431	Leo	7,76	9,07	3,635	0,43	75,53	0,51	2019,236	
10301+2048	STF 1439	Leo	8,32	8,87	1,429	0,118	72,95	0,98	2019,236	
10321+8136	TDS 594	Cam	9,93	9,96	2,828	0,064	105,89	0,44	2019,236	
10338+2321	STF 1447	Leo	7,52	8,88	4,554	0,028	123,56	0,50	2019,236	
10387+0544	STF 1457	Sex	7,69	8,16	1,902	0,047	333,89	0,54	2019,236	13

TABLA 2. ASTROMETRÍA RELATIVA DE LOS PARES OBSERVADOS (CONT.).

ID. WDS	SISTEMA	CONST.	MAG. A	MAG. B	RHO	σ RHO	THETA	σ THETA	ÉPOCA	NOTA
10402+3824	STF 1459	LMi	8,34	8,85	4,577	0,05	152,65	0,54	2019,236	
10406+4209	STF 1460	UMa	8,72	8,9	3,929	0,05	161,43	0,58	2019,236	
10432+4438	STF 1465	UMa	9,79	10,1	2,234	0,048	10,66	0,43	2019,236	
10447+2042	STF 1468	Leo	9,68	9,65	4,354	0,05	333,57	0,44	2019,236	
10545+4730	STF 1483	UMa	9,52	9,61	2,37	0,049	244,13	0,46	2019,236	
10556+2445	STF 1487	Leo	4,48	6,3	6,762	0,46	112,41	0,49	2019,236	
10572+1134	BRT 1270	Leo	10,6	10,7	4,806	0,054	354,17	0,55	2019,236	
10595+1248	HEI 360	Leo	9,9	10	3,841	0,02	102,18	0,64	2019,236	
10596+2527	AG 342	LMi	8,57	9,22	5,50	0,049	116,03	0,50	2019,236	14
11023+3049	STF 1501	LMi	9,89	10,19	1,288	0,033	184,68	0,29	2019,236	
11024+8313	STF 1479	Cam	8,93	9,96	4,50	0,048	24,71	0,44	2019,236	
11080+5249	STF 1510	UMa	7,65	9,03	5,689	0,48	327,94	0,50	2019,236	15
11154+2734	STF 1521	Leo	7,66	8,06	3,774	0,45	97,49	0,45	2019,236	
11156+5947	STF 1523 AB	UMa	4,33	4,8	2,087	0,04	155,27	0,55	2019,236	16
11195+4728	STF 1525	UMa	9,9	9,93	2,287	0,043	173,03	0,48	2019,236	
11245+2037	STF 1537	Leo	8,23	9,07	2,269	0,04	358,07	0,51	2019,236	
22038+6438	STF 2863 AB	Cep	4,45	6,4	8,243	0,076	274,28	0,44	2019,041	17
22080+6107	STF 2870	Cep	8,85	9,64	5,759	0,082	270,85	0,49	2019,041	
22118+5944	STF 2880	Cep	7,43	9,3	4,187	0,08	353,88	0,43	2019,041	
22282+2332	STF 2910	Peg	9,05	9,67	5,772	0,071	331,95	0,51	2019,970	
22306+5332	STF 2917 AB	Lac	8,28	8,56	4,868	0,051	70,46	0,41	2019,970	
22323+5512	AG 283	Lac	8,94	9,46	2,663	0,027	331,86	0,31	2019,970	
22496+6633	STF 2948	Cep	7,26	8,6	2,634	0,044	2,76	0,54	2019,970	
22497+4031	STF 2946	Lac	8,12	8,25	5,649	0,067	261,81	0,55	2019,970	
22542+7620	STF 2963	Cep	7,95	8,53	1,899	0,06	1,90	0,41	2019,970	
22562+7250	STF 2965 DE	Cep	8,42	9,38	2,913	0,054	220,45	0,44	2019,970	
22565+6252	STF 2961	Cep	8,48	8,61	1,860	0,033	348,91	0,48	2019,970	
22567+7830	STF 2971	Cep	8,04	8,87	5,575	0,042	4,93	0,47	2019,970	
23050+3322	STF 2974	Peg	8,07	8,46	2,749	0,071	167,65	0,54	2019,970	
23109+8149	STF 2996	Cep	8,95	9,2	5,055	0,065	105,93	0,50	2019,970	
23320+4349	STF 3024	And	8,63	9,35	4,934	0,076	308,65	0,50	2019,970	
23363+2854	STF 3026	Peg	9,42	9,94	3,236	0,065	274,75	0,38	2019,970	
23374+7142	STF 3029	Cep	9,46	10,09	5,046	0,076	316,18	0,38	2019,970	

Notas

1. STF 619. Es de grado 5. Clase espectral G.
2. STF 742. Periodo orbital de 2959 años y es de grado 5. Clase espectral F8. Está a 220 años-luz.
3. BU 560. Periodo orbital 811 años y es de grado 4. Clase espectral F8. Está a 259 años-luz.

4. BU 1053. Periodo orbital 511 años. Órbita de grado 5. Clase espectral F5. Está a 223 años-luz.
5. STF 948 AB. 12 Lyn. Periodo orbital de 907 años. Órbita de grado 4. Clase espectral A3V. Está a 215 años-luz.
6. STF 958 AB. Periodo orbital de 2200 años. Órbita de grado 5. Clase espectral dF5+dF6. Está a 44 años-luz.

7. STF 1110 AB. Castor. Periodo 459,8 años. Órbita de grado 3. Clase espectral A1V+A4Vm. Está a 51 años-luz.

8. STF 1187 AB. Periodo orbital de 1385 años. Órbita de grado 5. Clase espectral F2. Está a 211 años-luz.

9. AG 154. HO Cnc. Periodo orbital 1162,85 años. Órbita de grado 5. Clase espectral K5. Está a 143,7 años-luz.

10. STF 1300 AB. Periodo orbital de 1131,83 años. Órbita de grado 4. Clase espectral M0V:p. Está a 52,1 años-luz.

11. STT 215. Periodo orbital de 702,4 años. Órbita de grado 4. Clase espectral A9IV. Está a 374 años-luz.

12. STF 1424 AB. Algieba. Periodo orbital de 554

años. Órbita de grado 4. Clase espectral K0III. Está a 126,7 años-luz.

13. STF 1457. Periodo orbital de 488 años-luz. Órbita de grado 4. Clase espectral F5V-. Está a 334,7 años-luz.

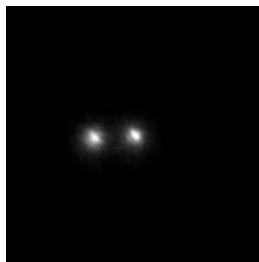
14. AG 342. Periodo orbital de 397 años. Órbita de grado 5. Clase espectral K2+K5.

15. STF 1510. Periodo de 6600 años. Órbita de grado 5. Clase espectral F8V. Está a 182 años-luz.

16. STF 1523 AB. Alula Australis. Periodo orbital de 59,87 años. Órbita de grado 1. Clase espectral F9V+G9V. Está a 33,99 años-luz.

17. STF 2863 AB. Alkurrah. Periodo orbital de 3800 años. Órbita de grado 5. Clase espectral A3m. Está a 96,5 años-luz.

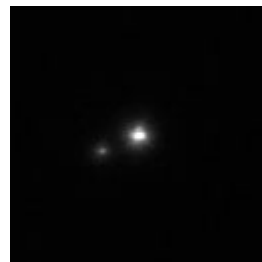
TABLA 3. ÁLBUM FOTOGRÁFICO.



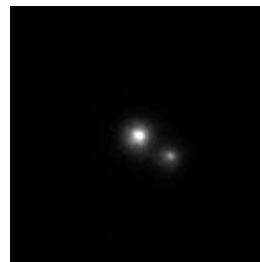
STF 589 AB



MLB 686



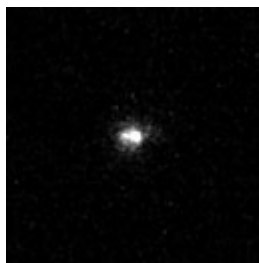
STF 608 AB,C



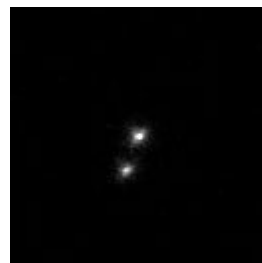
STF 620



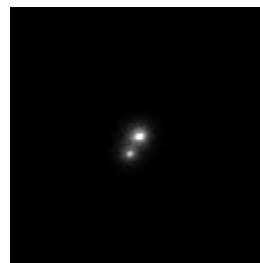
STF 604



D6



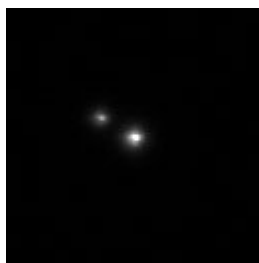
STF 619



AG 84



STF 644 AB



STF 648 AB



A 1304



STF 638

TABLA 3. ÁLBUM FOTOGRÁFICO.

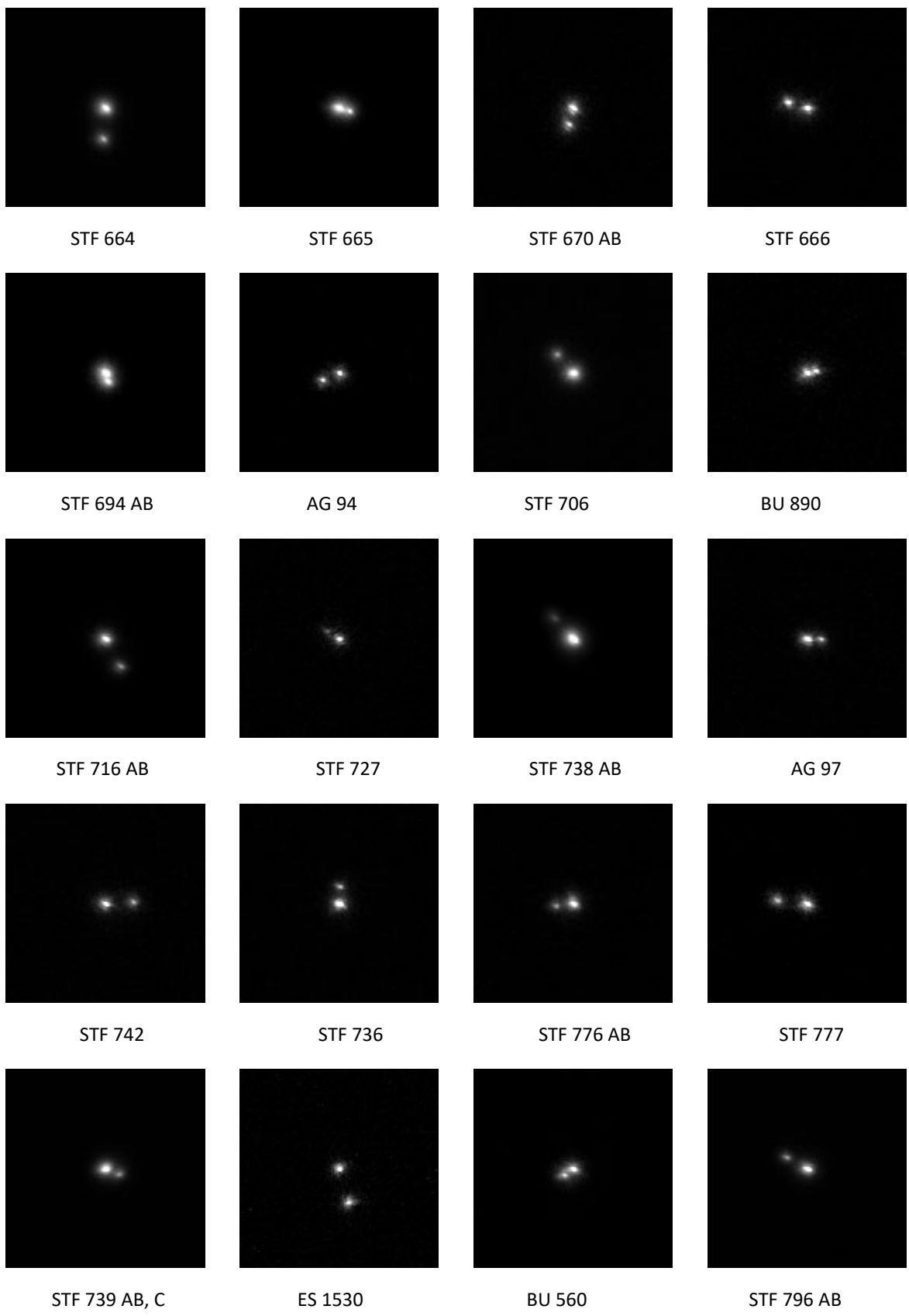


TABLA 3. ÁLBUM FOTOGRÁFICO.

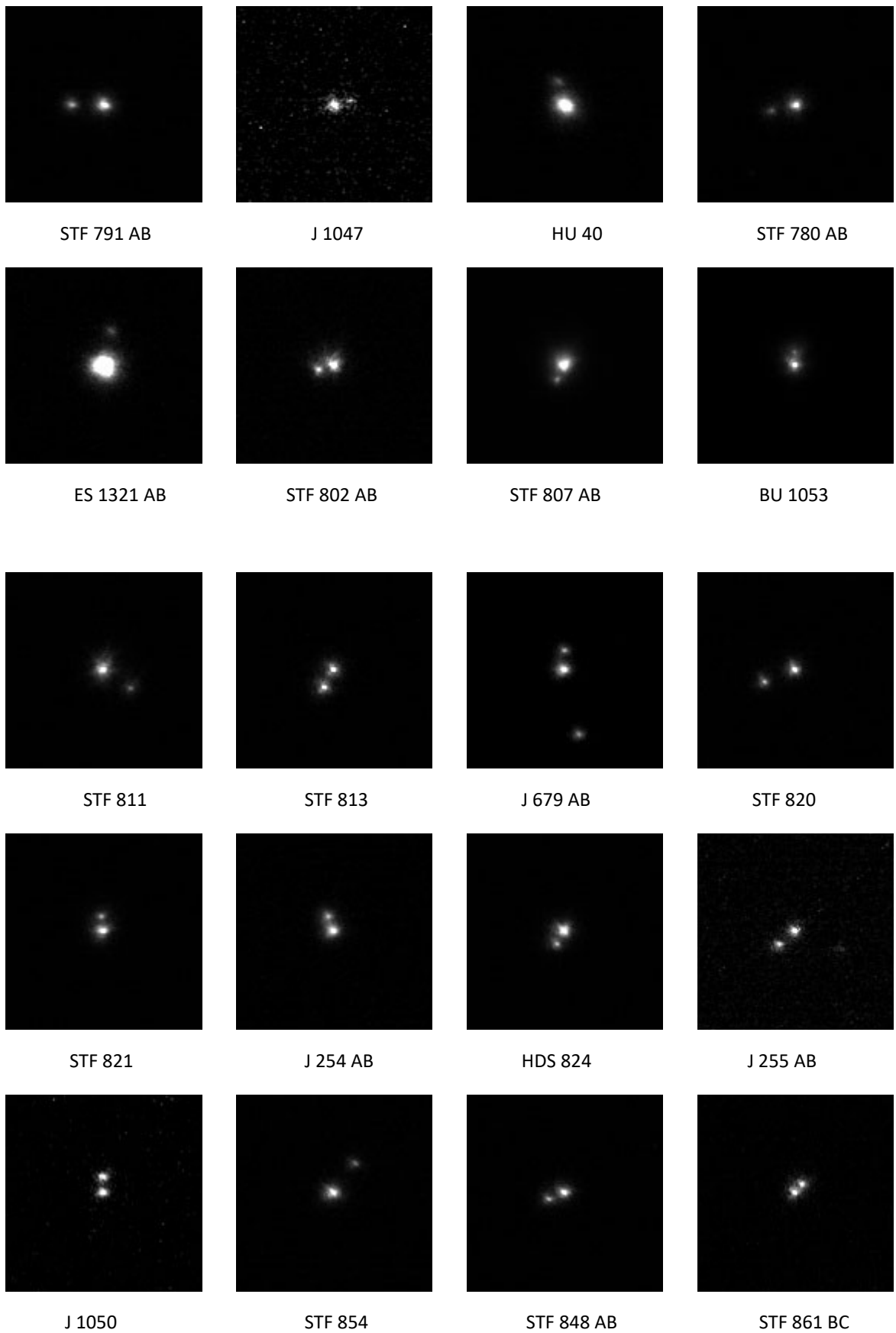


TABLA 3. ÁLBUM FOTOGRÁFICO.

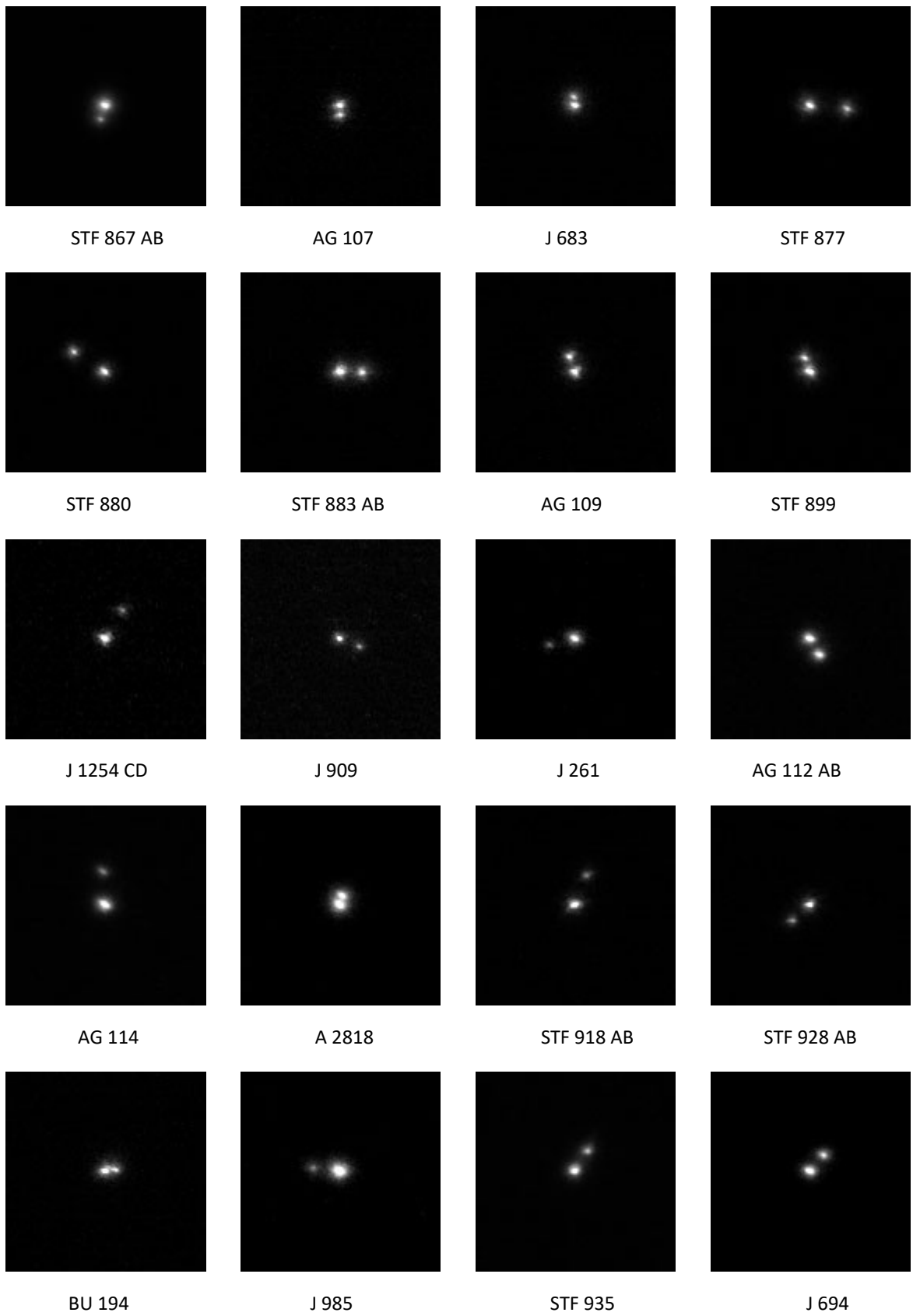


TABLA 3. ÁLBUM FOTOGRÁFICO.

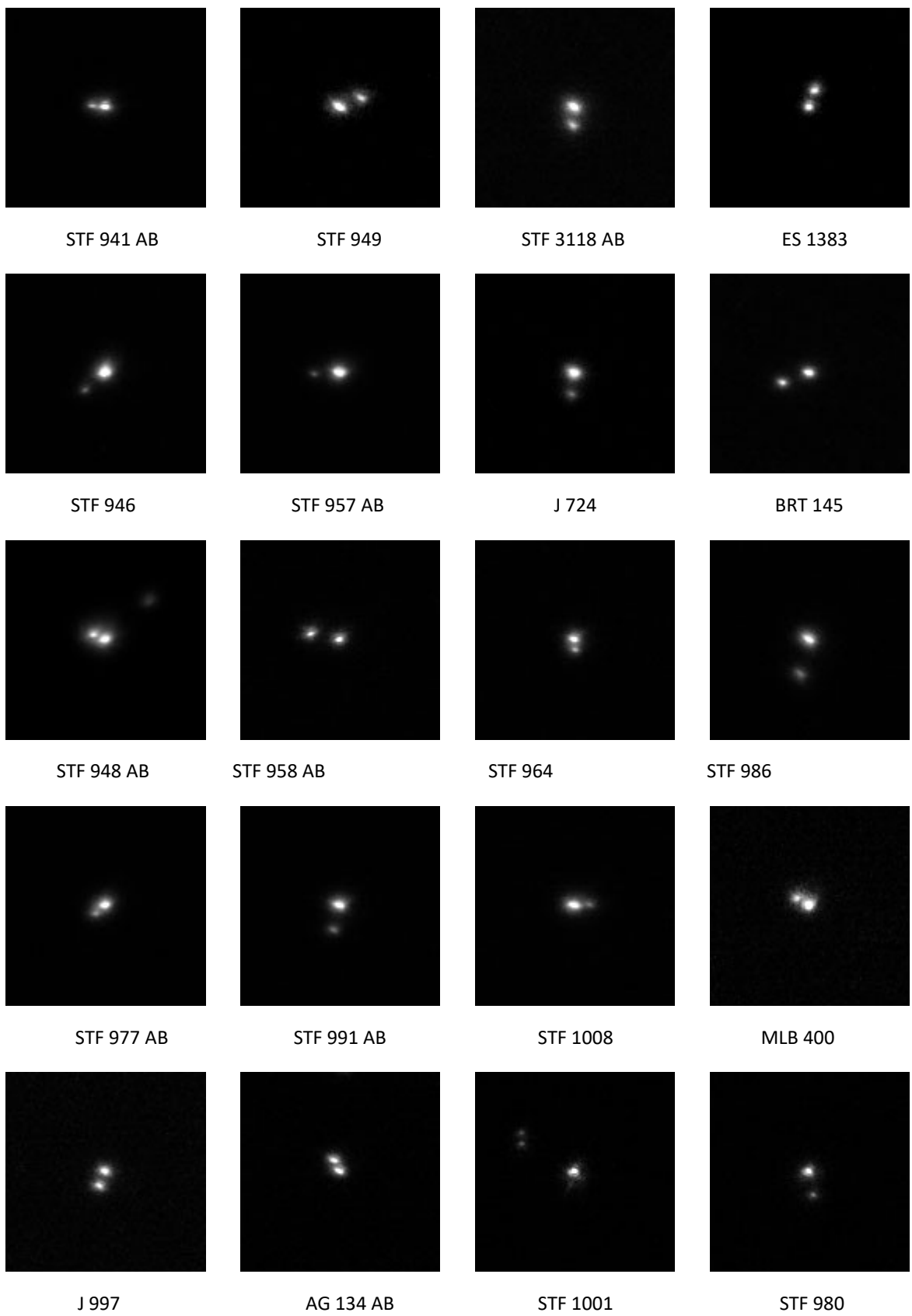


TABLA 3. ÁLBUM FOTOGRÁFICO.

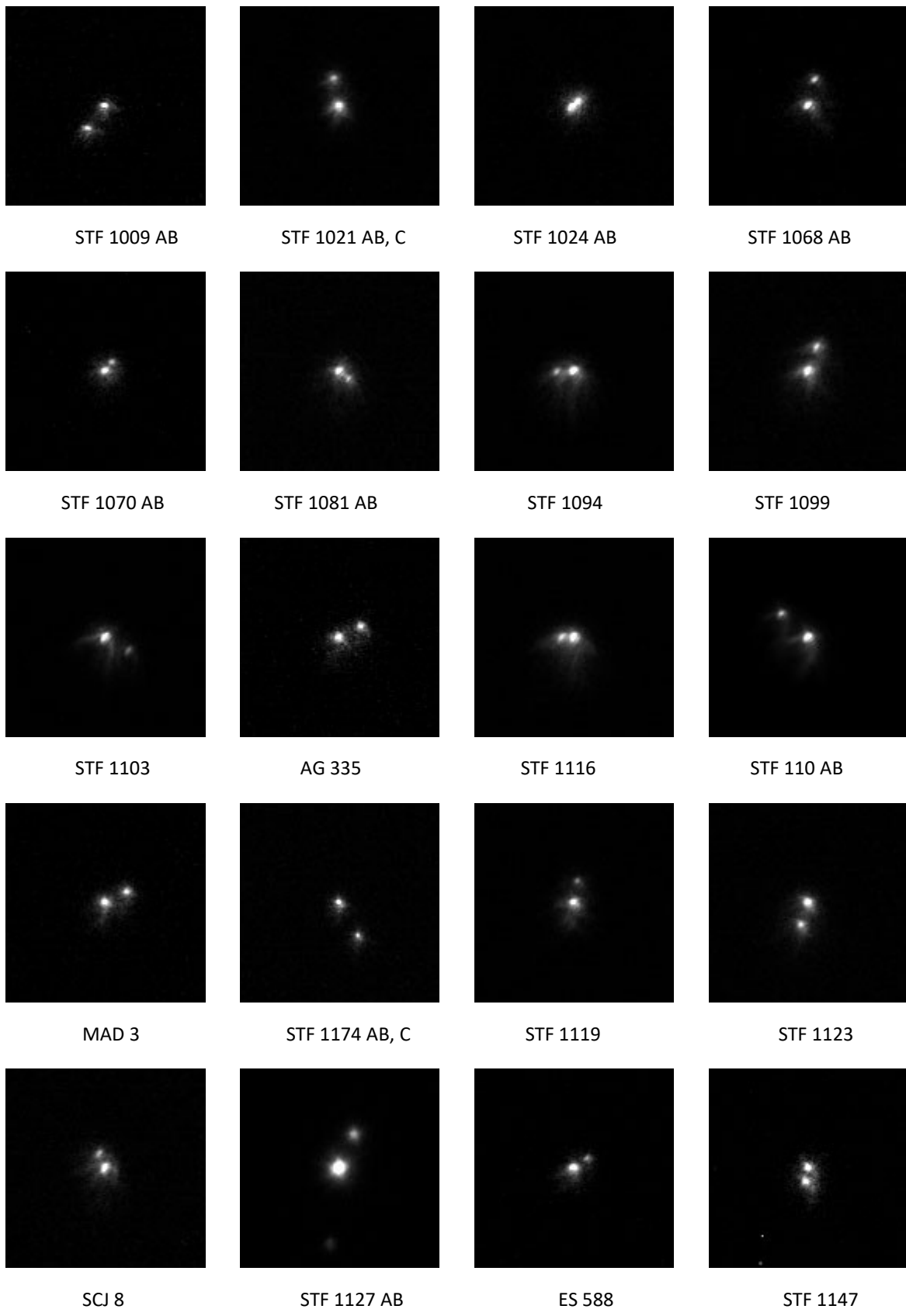


TABLA 3. ÁLBUM FOTOGRÁFICO.

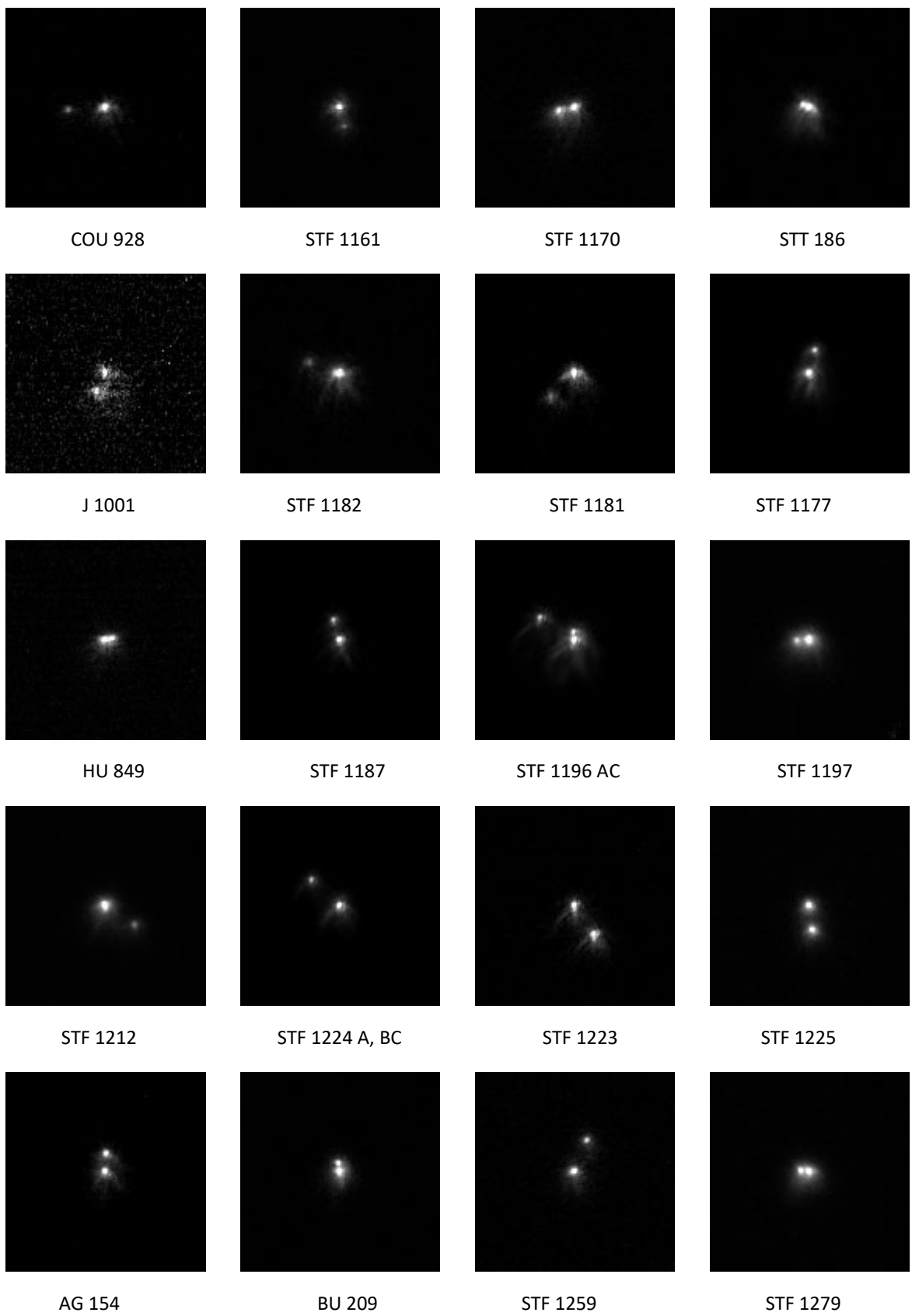


TABLA 3. ÁLBUM FOTOGRÁFICO.

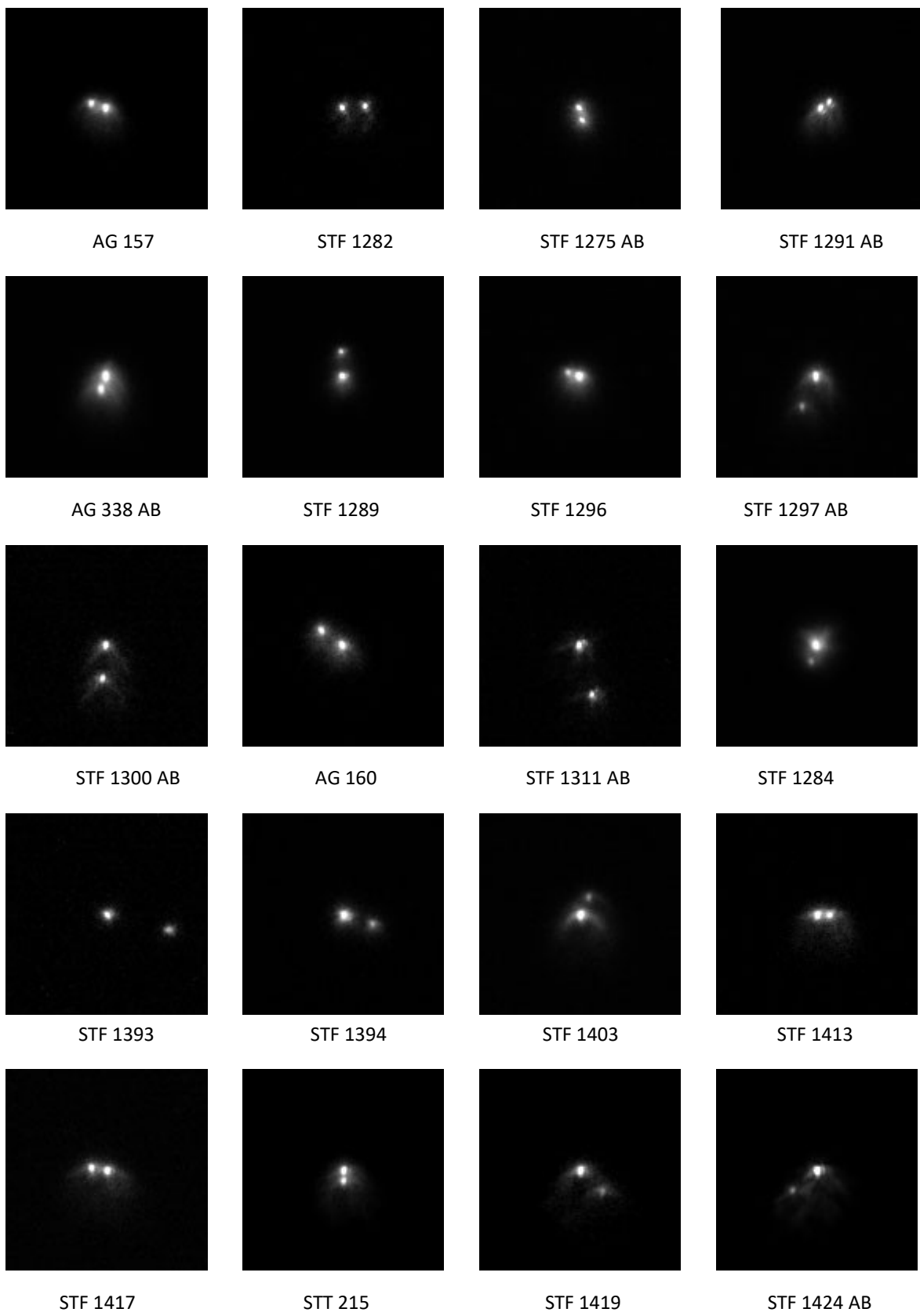


TABLA 3. ÁLBUM FOTOGRÁFICO.

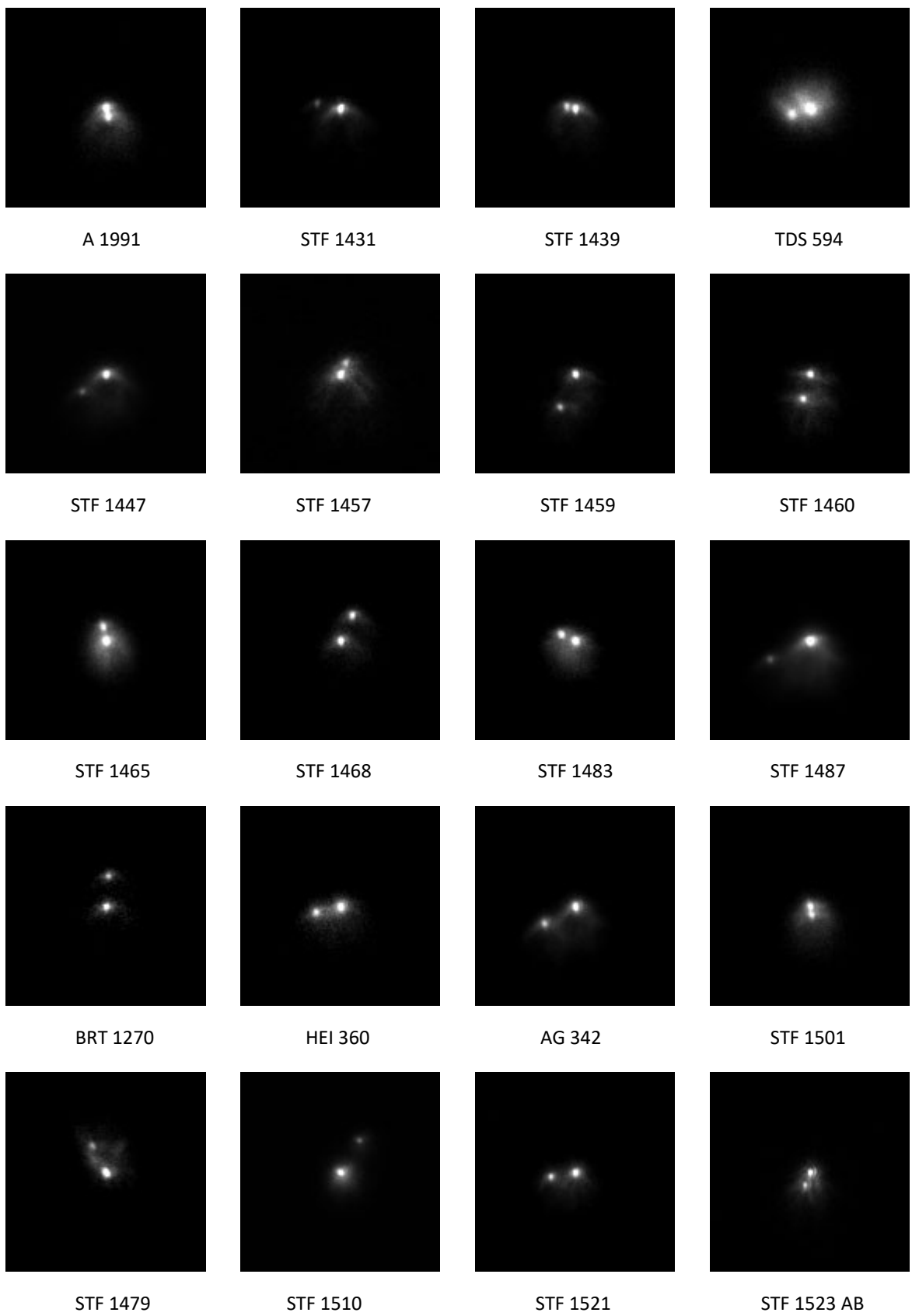


TABLA 3. ÁLBUM FOTOGRÁFICO.

